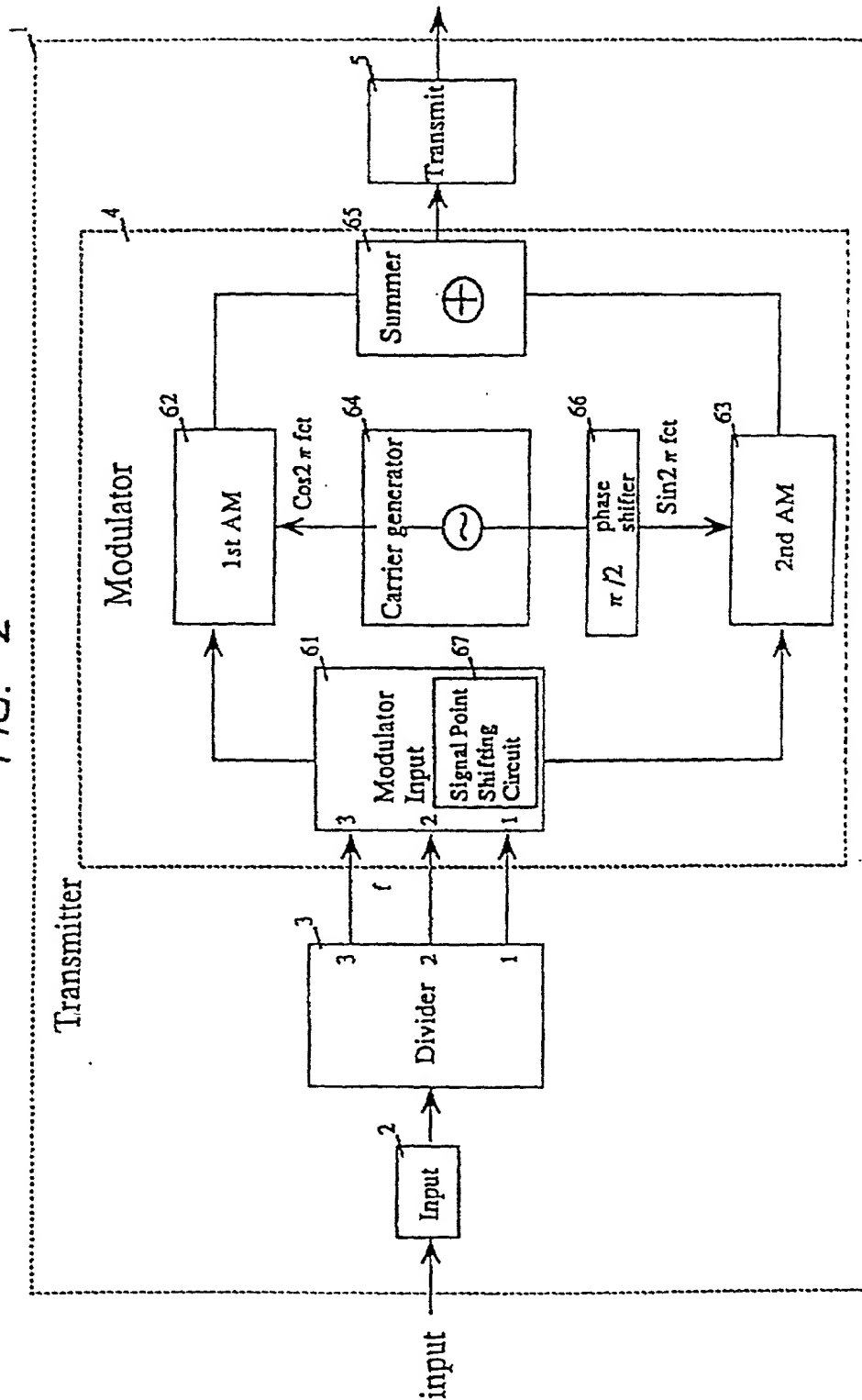




FIG. 2



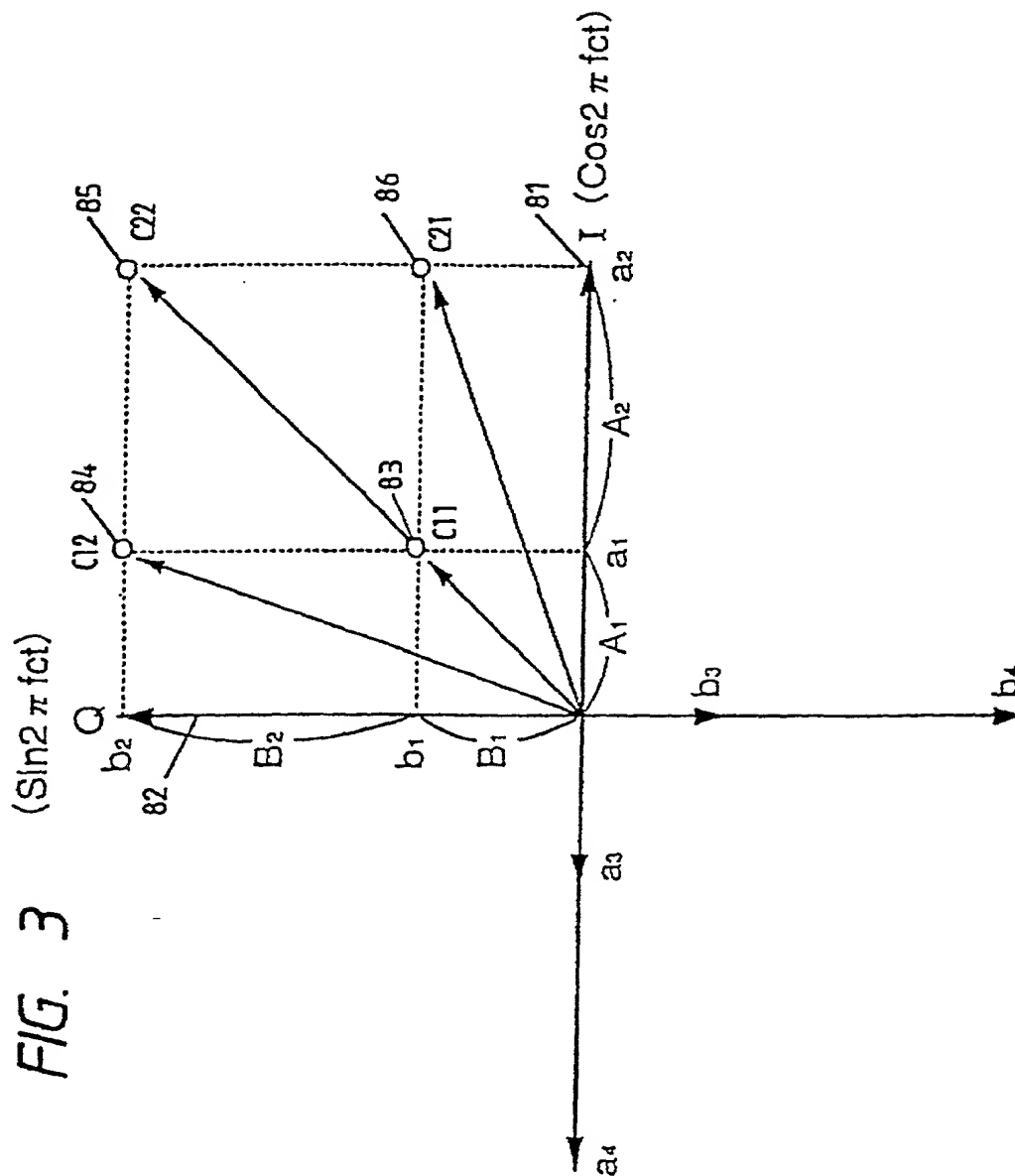


FIG. 3 (Sin 2π fct)

FIG. 4  
( $\sin^2 \pi fct$ )



FIG. 5  
( $\sin^2 \pi fct$ )

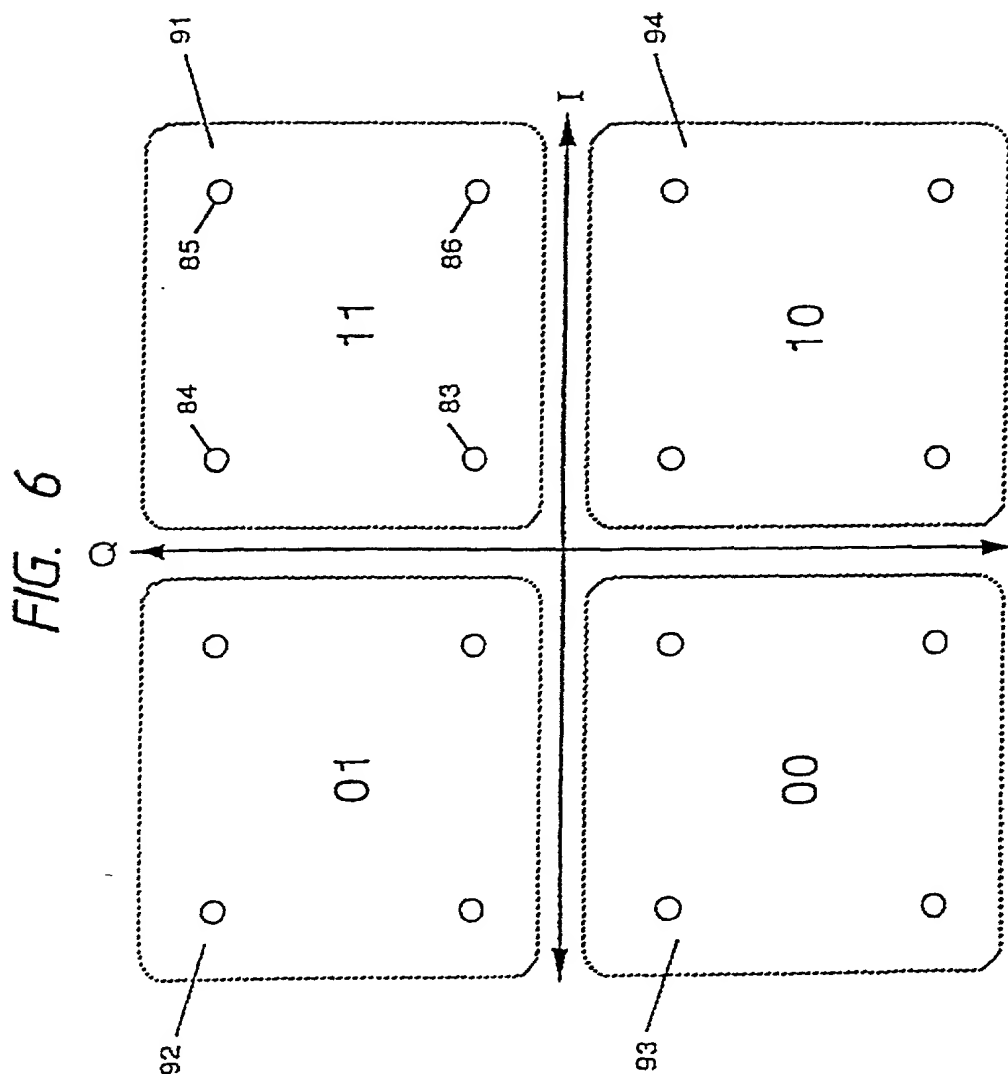
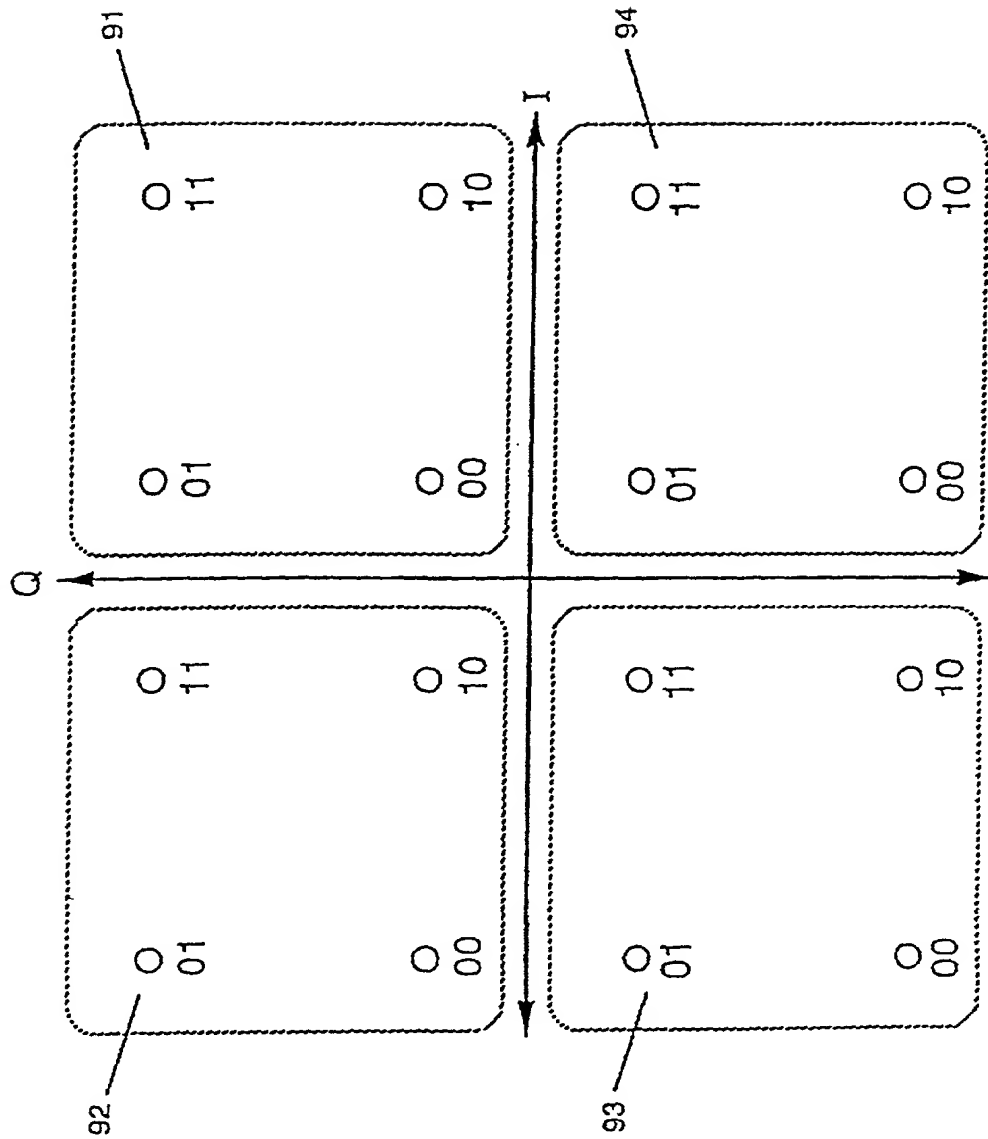


FIG. 7



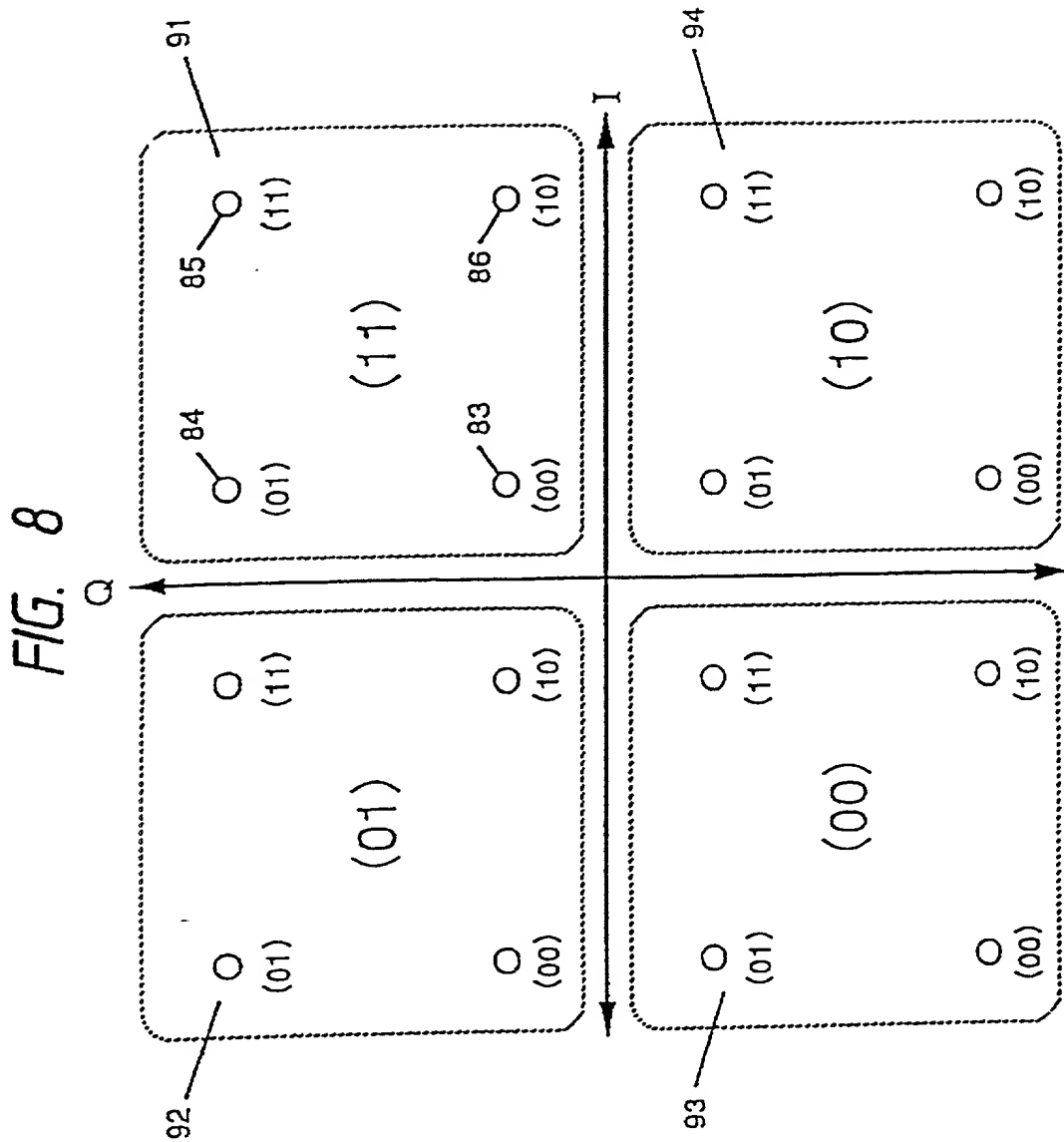


FIG. 9

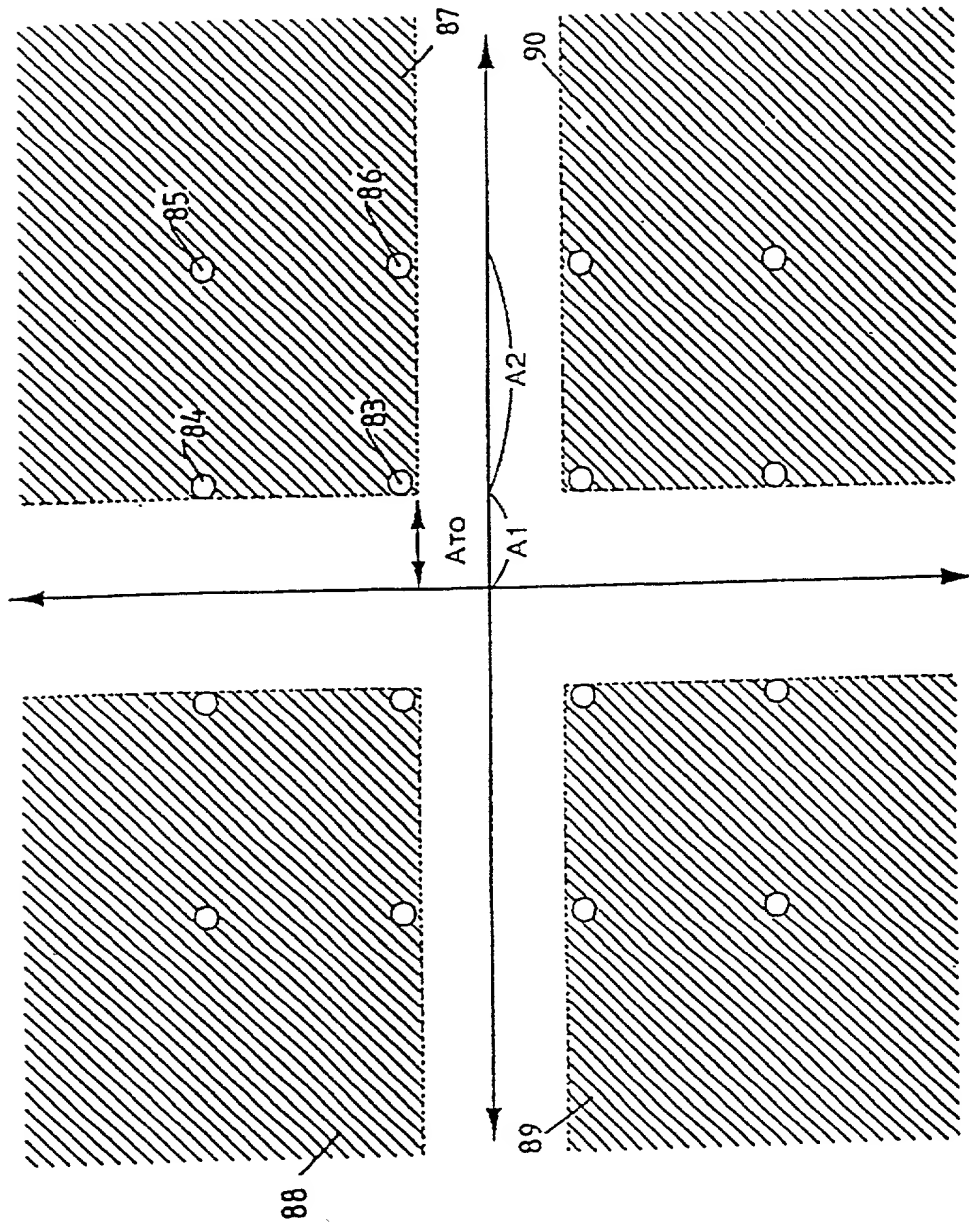


FIG. 10

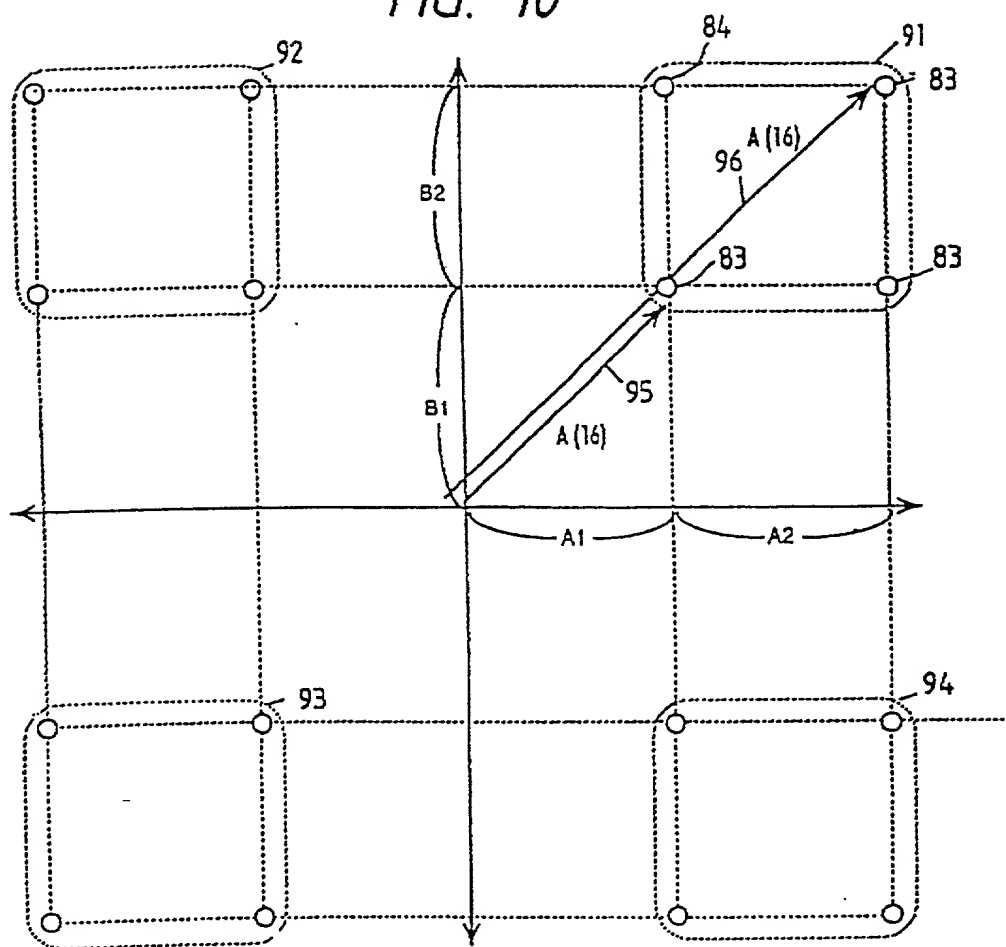


FIG. 11

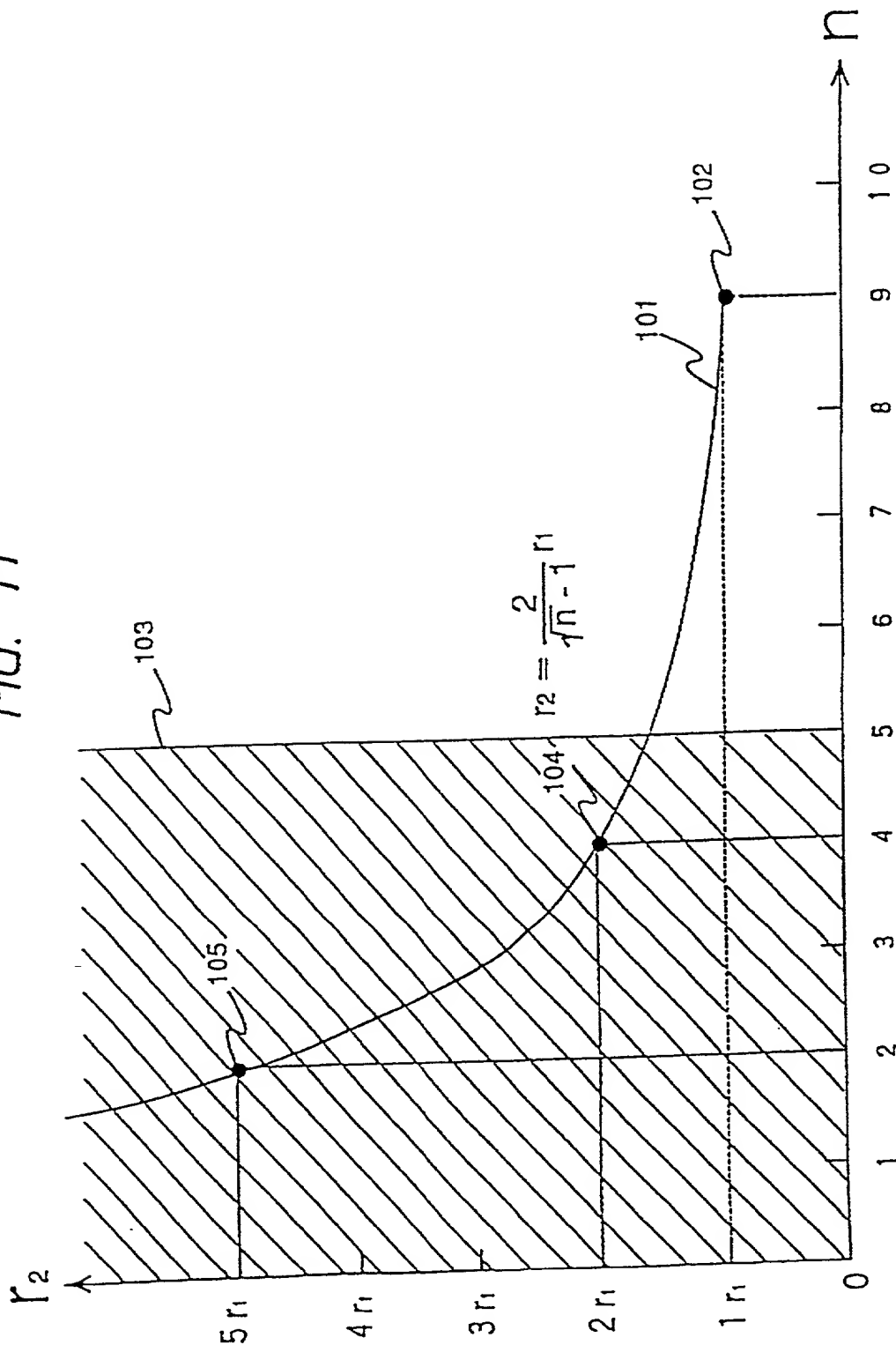


FIG. 12

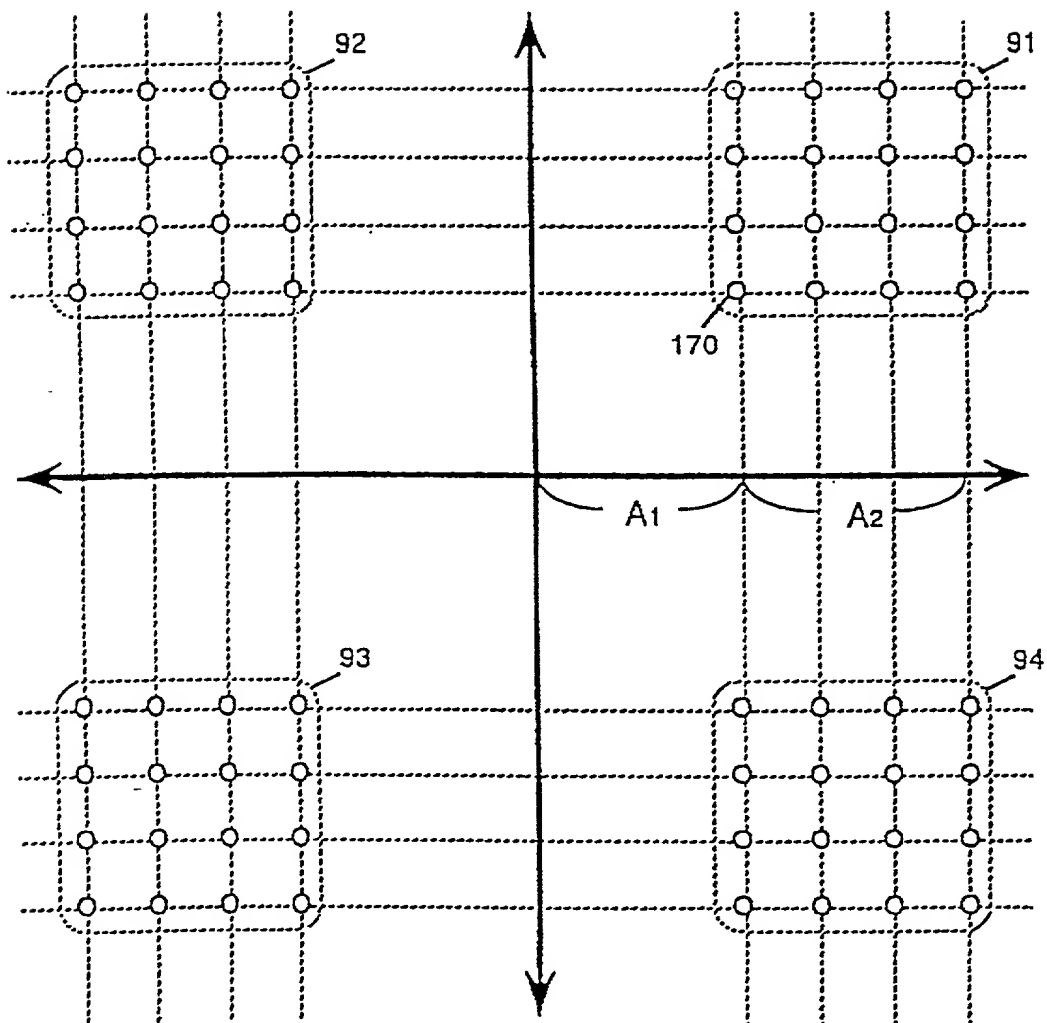
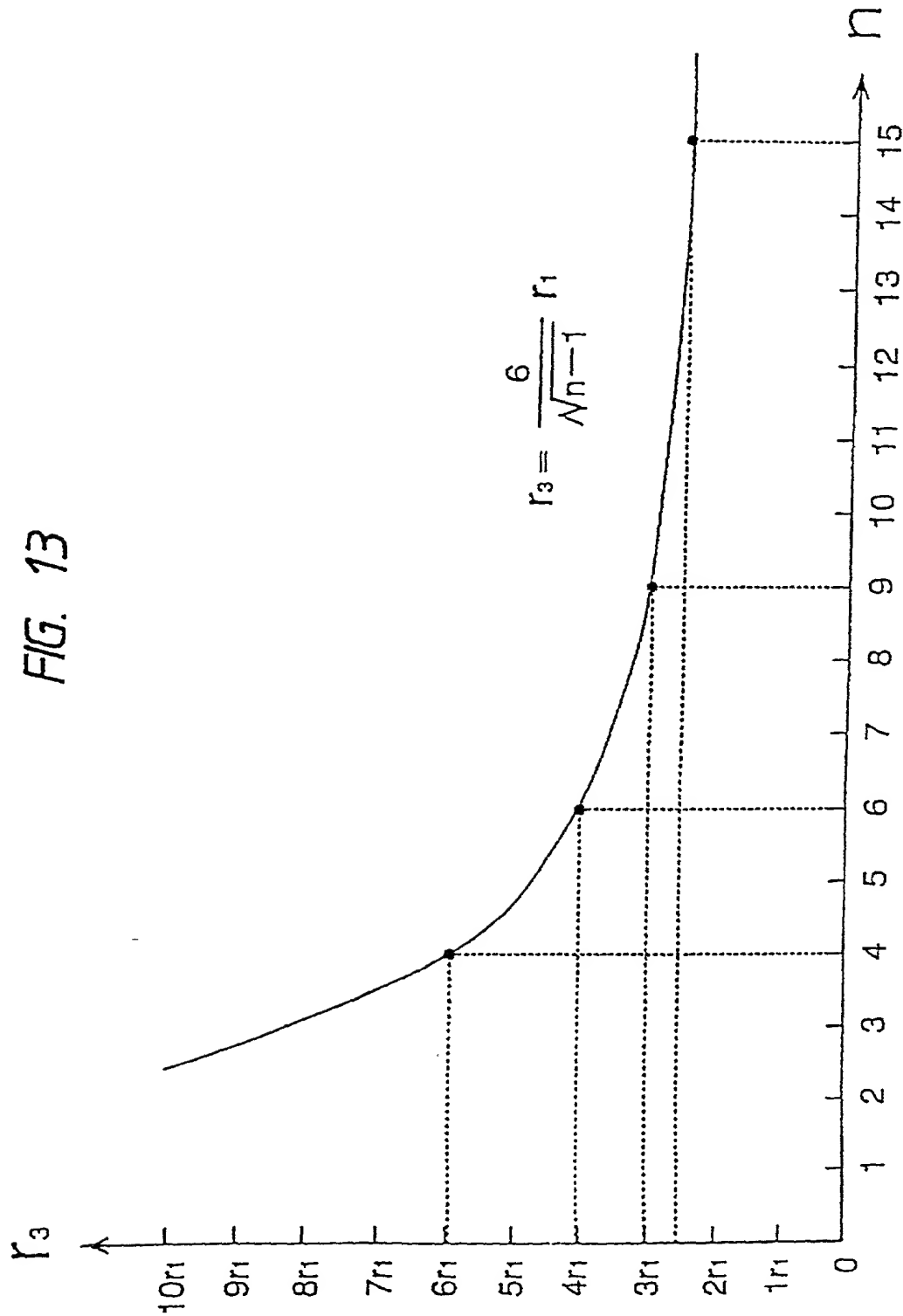
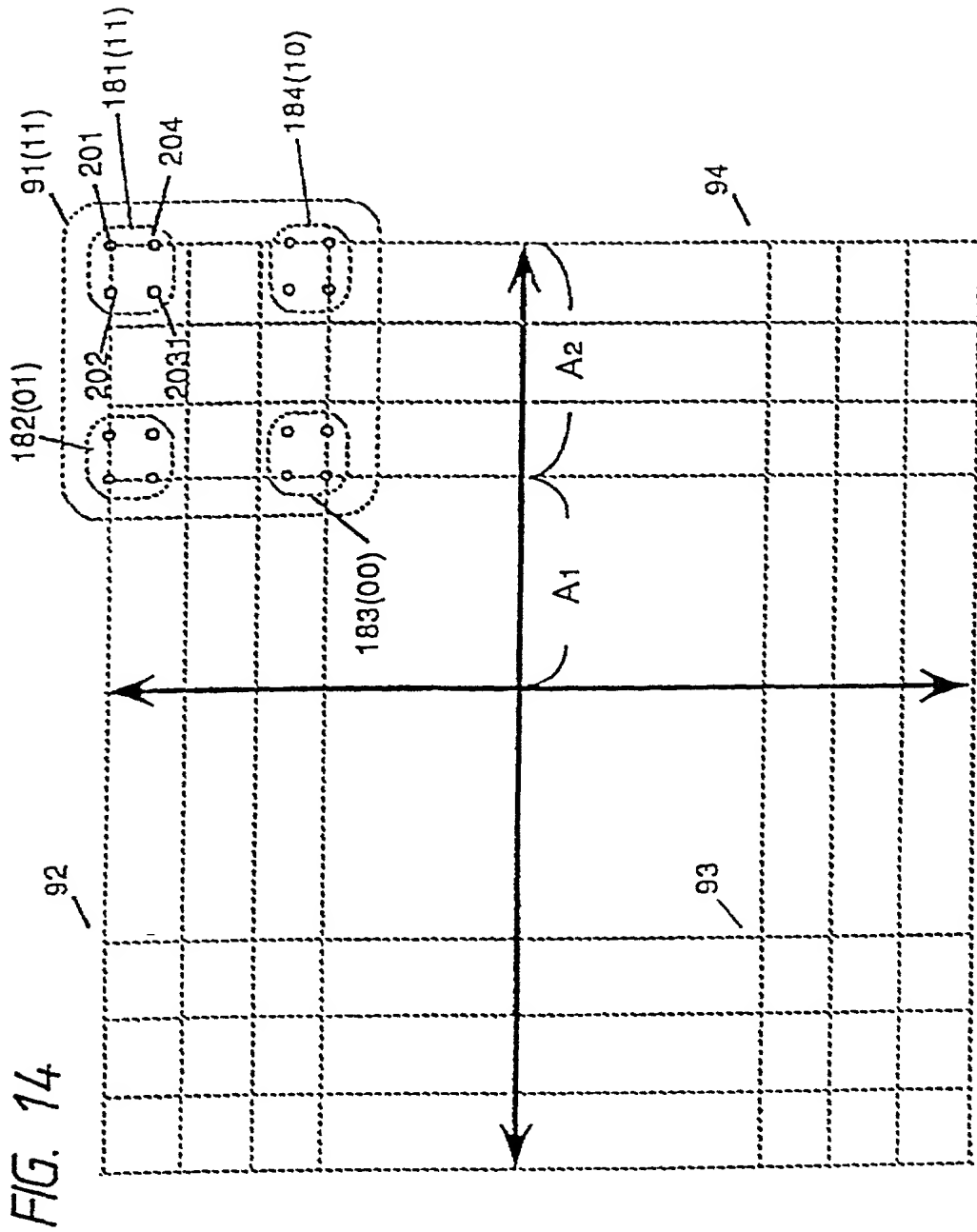




FIG. 13





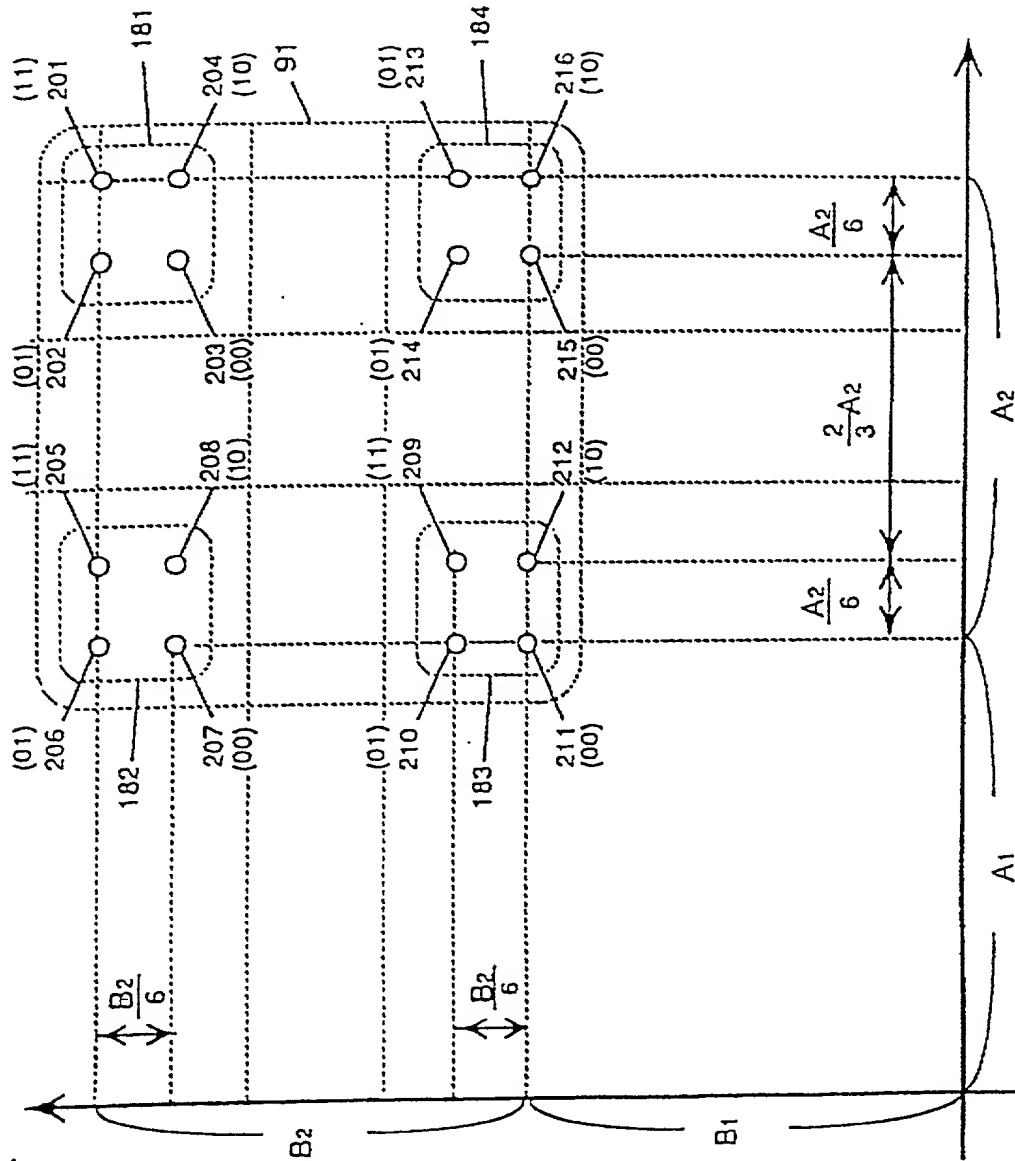


FIG. 16

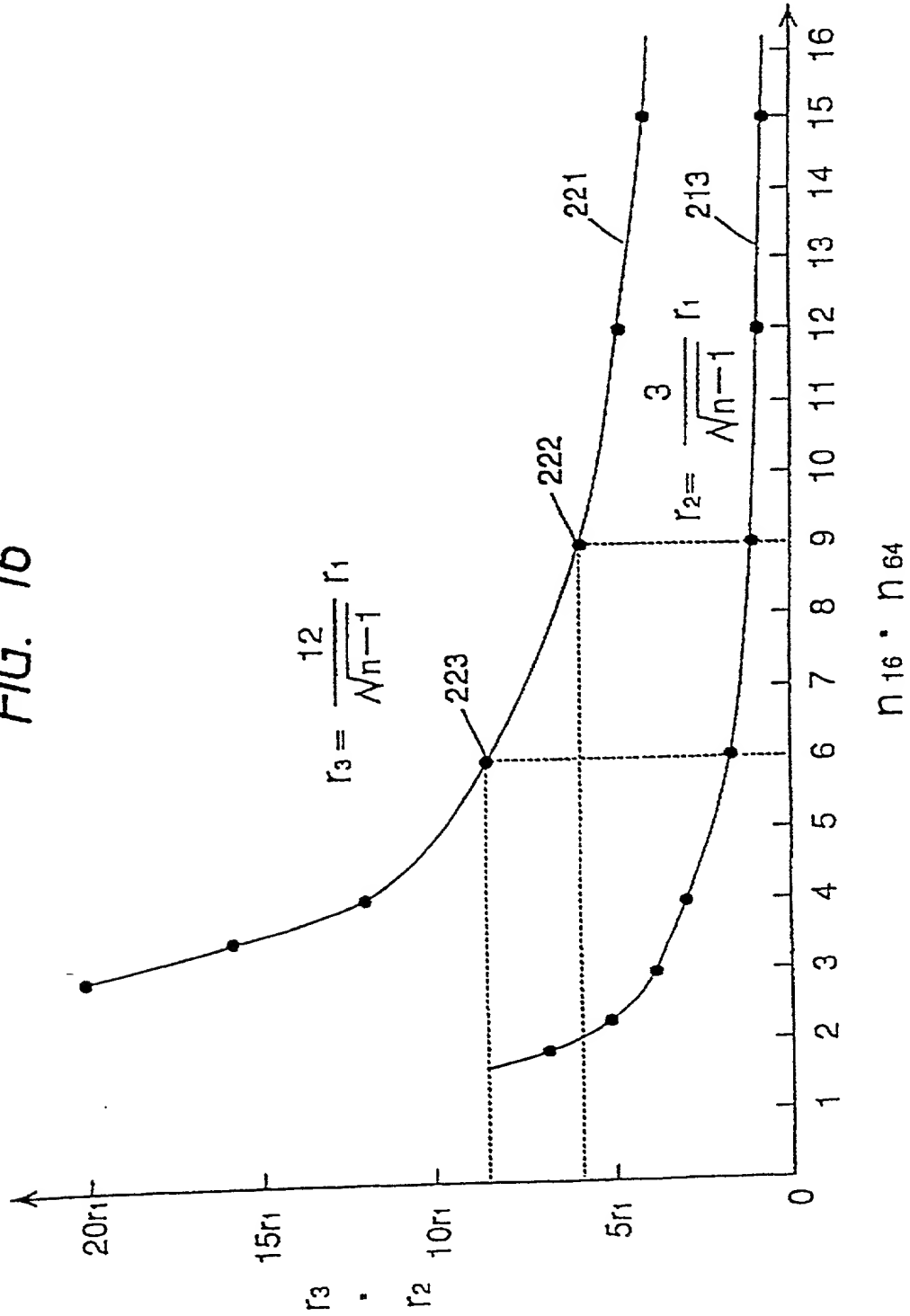


FIG. 17

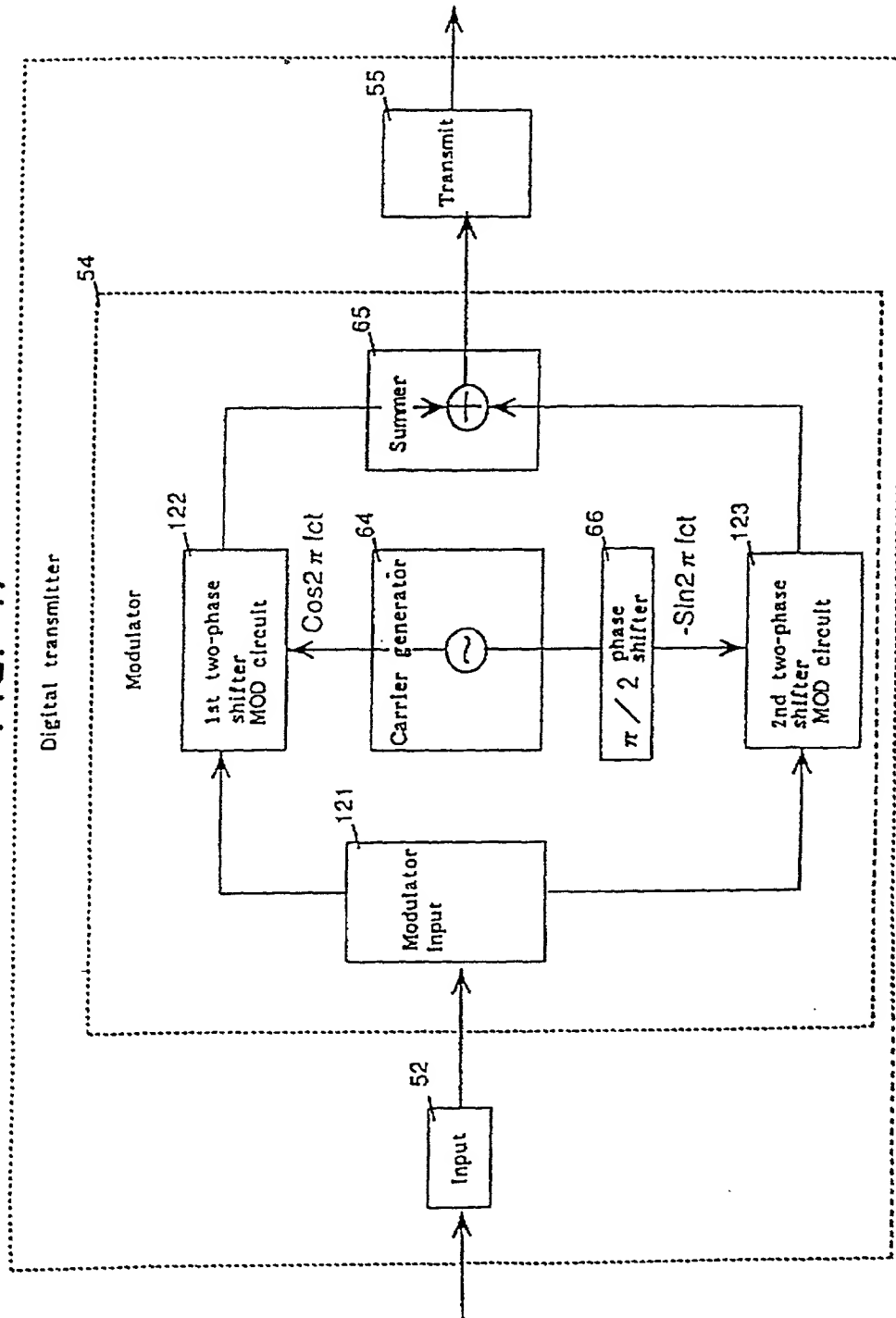


FIG. 18

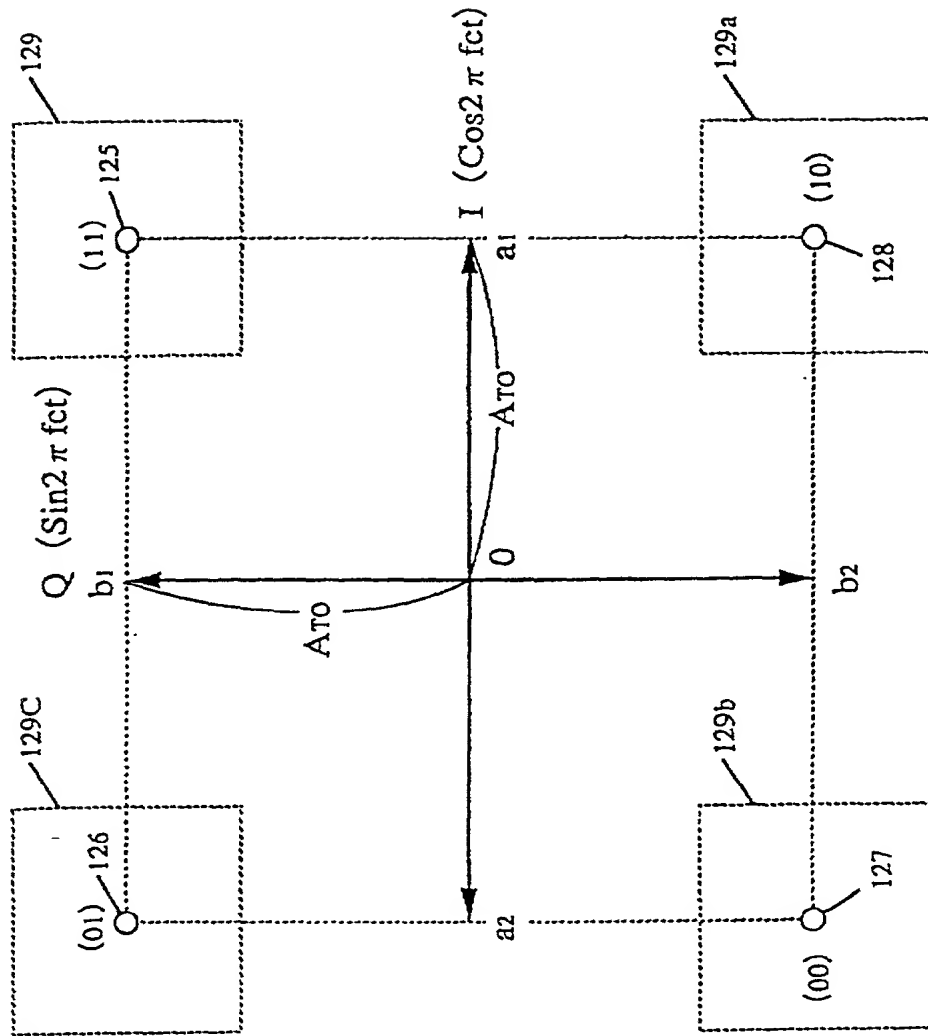
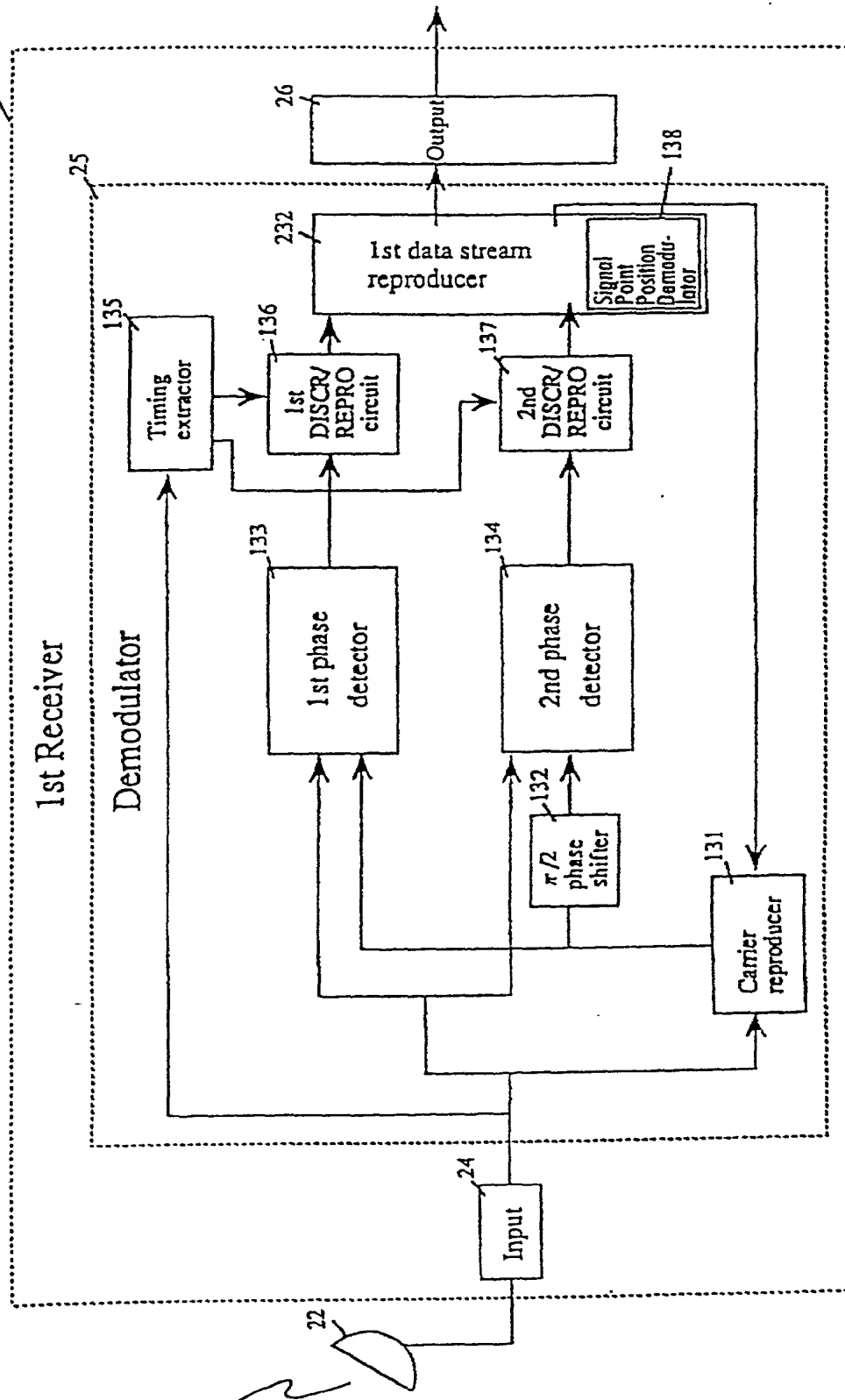


FIG. 19



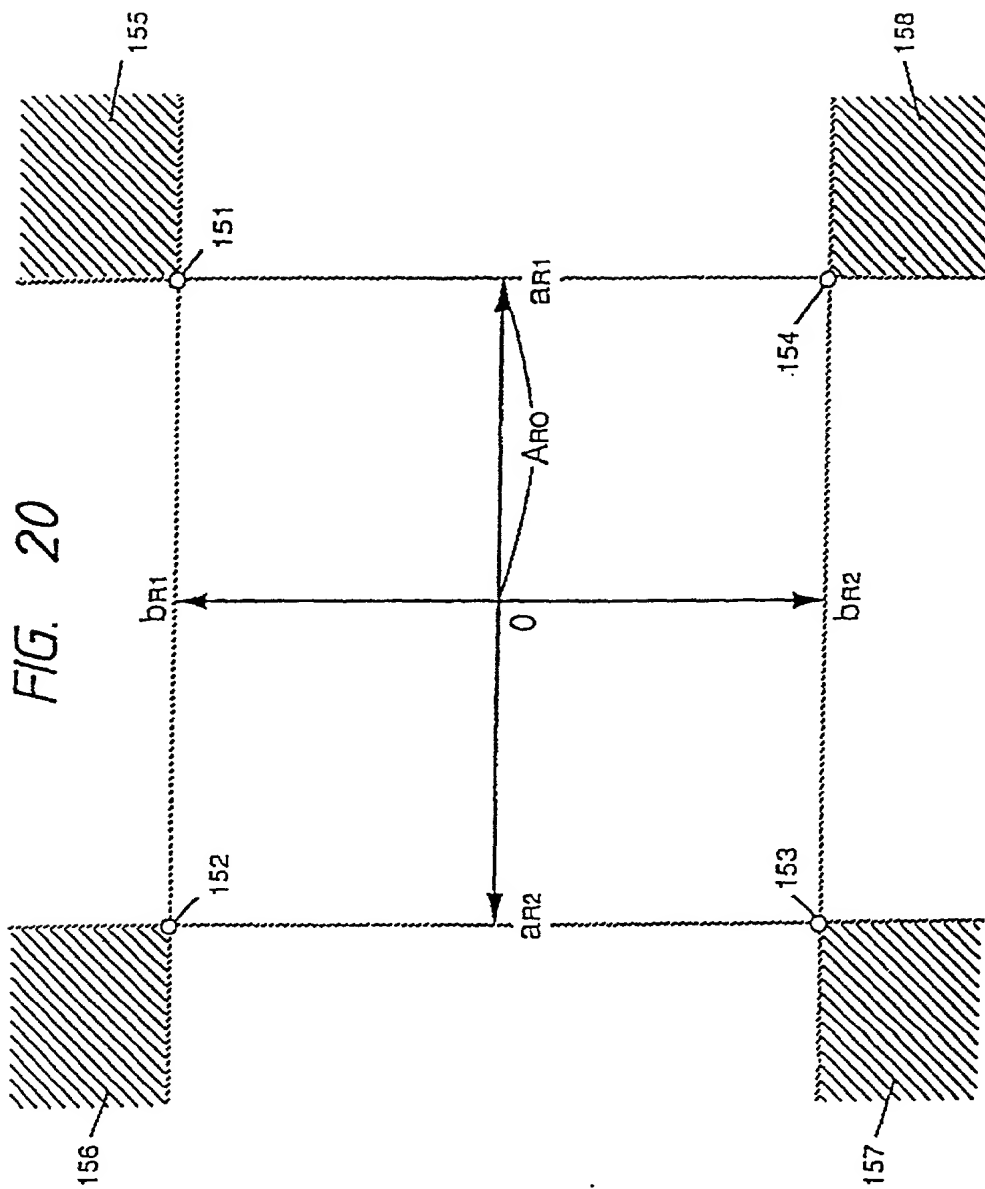


FIG. 20

000227-8900460



FIG. 21

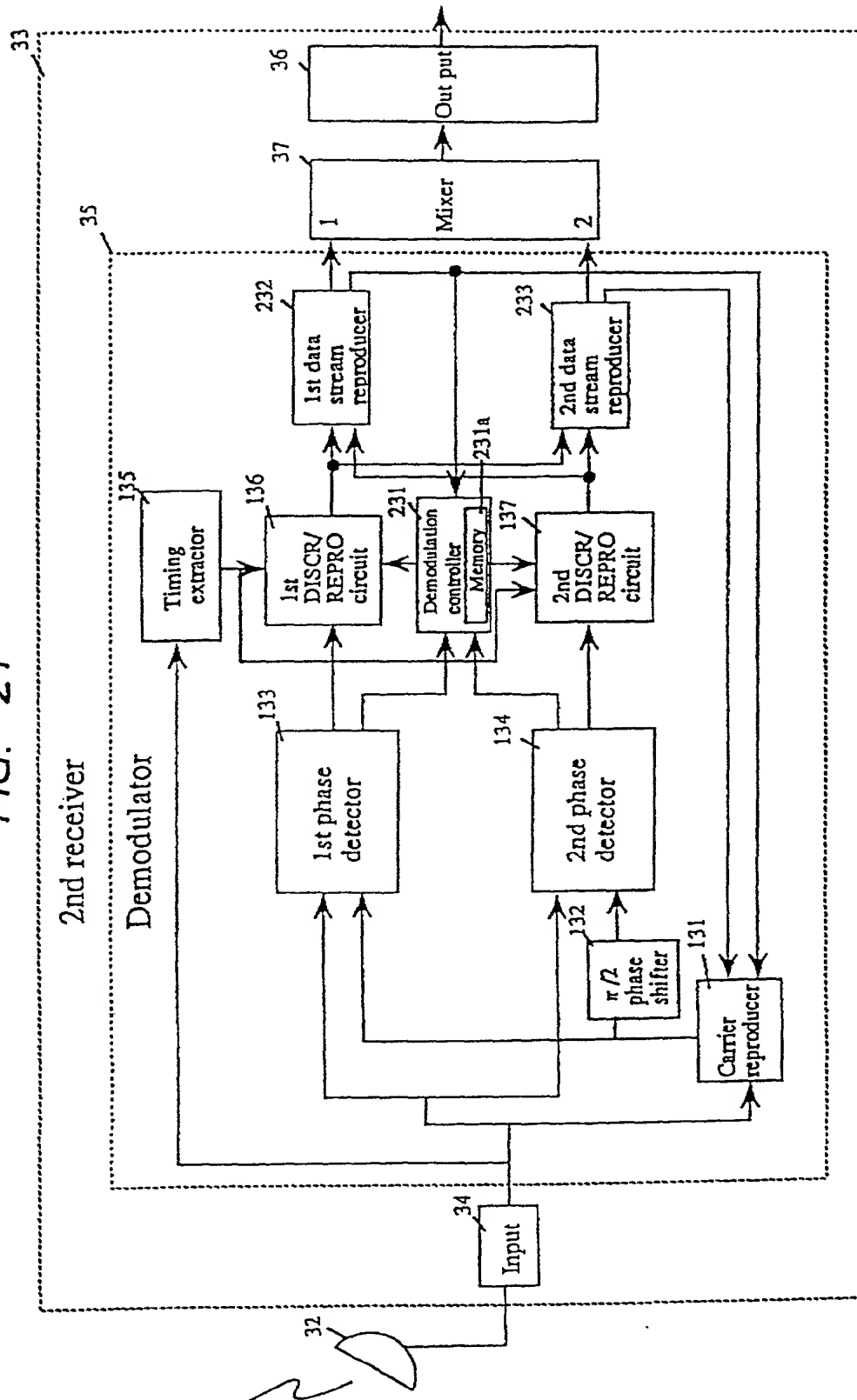
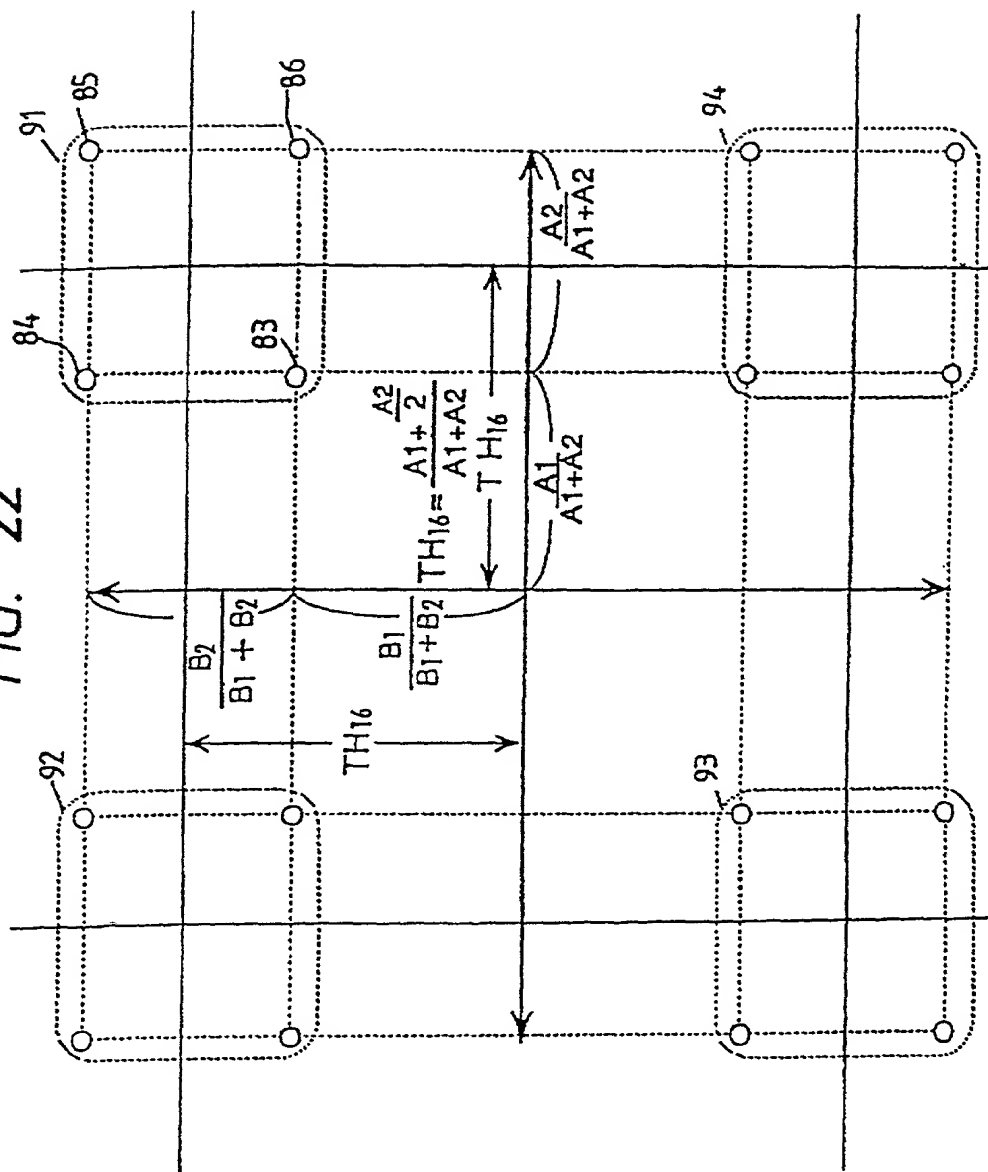


FIG. 22



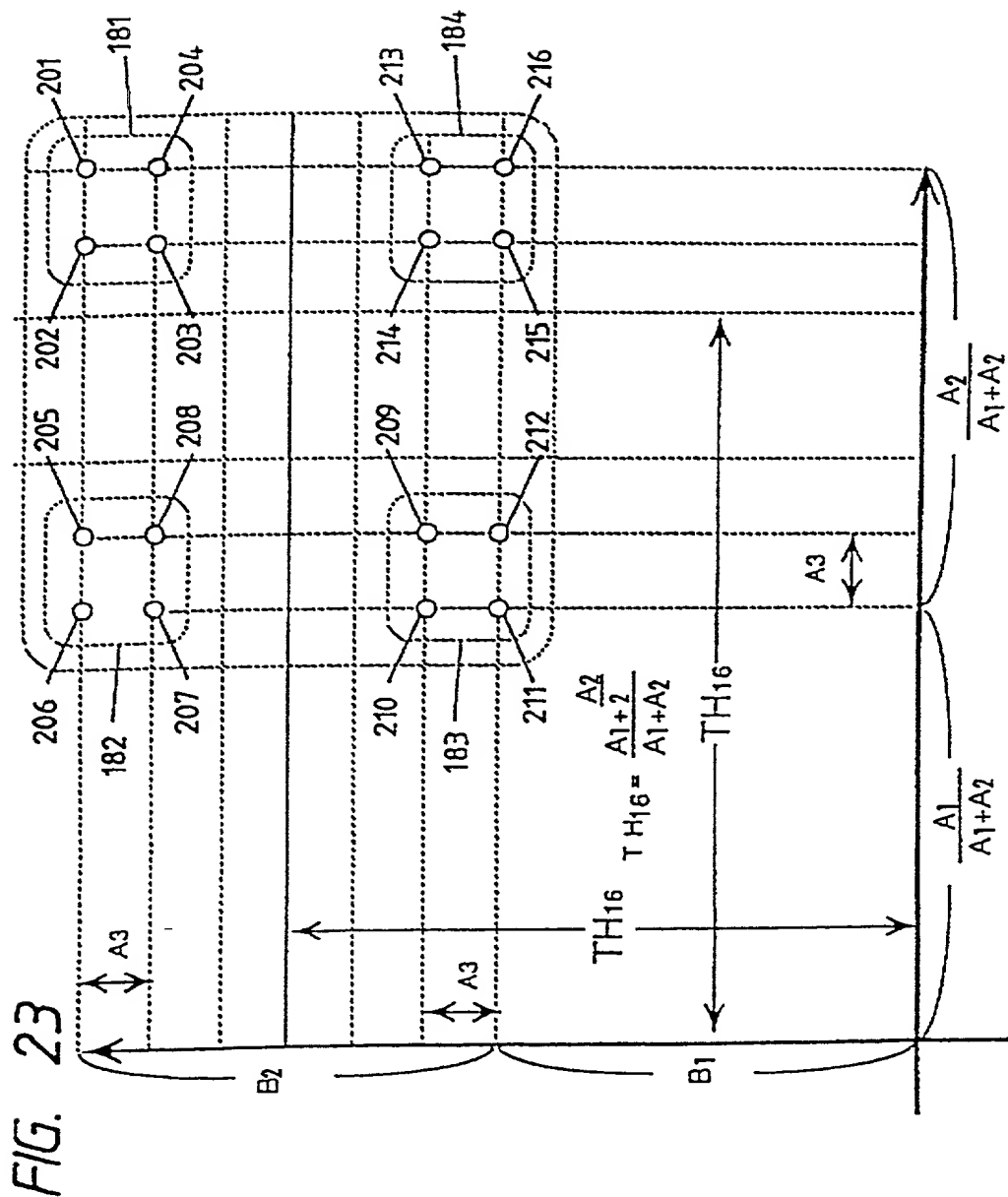
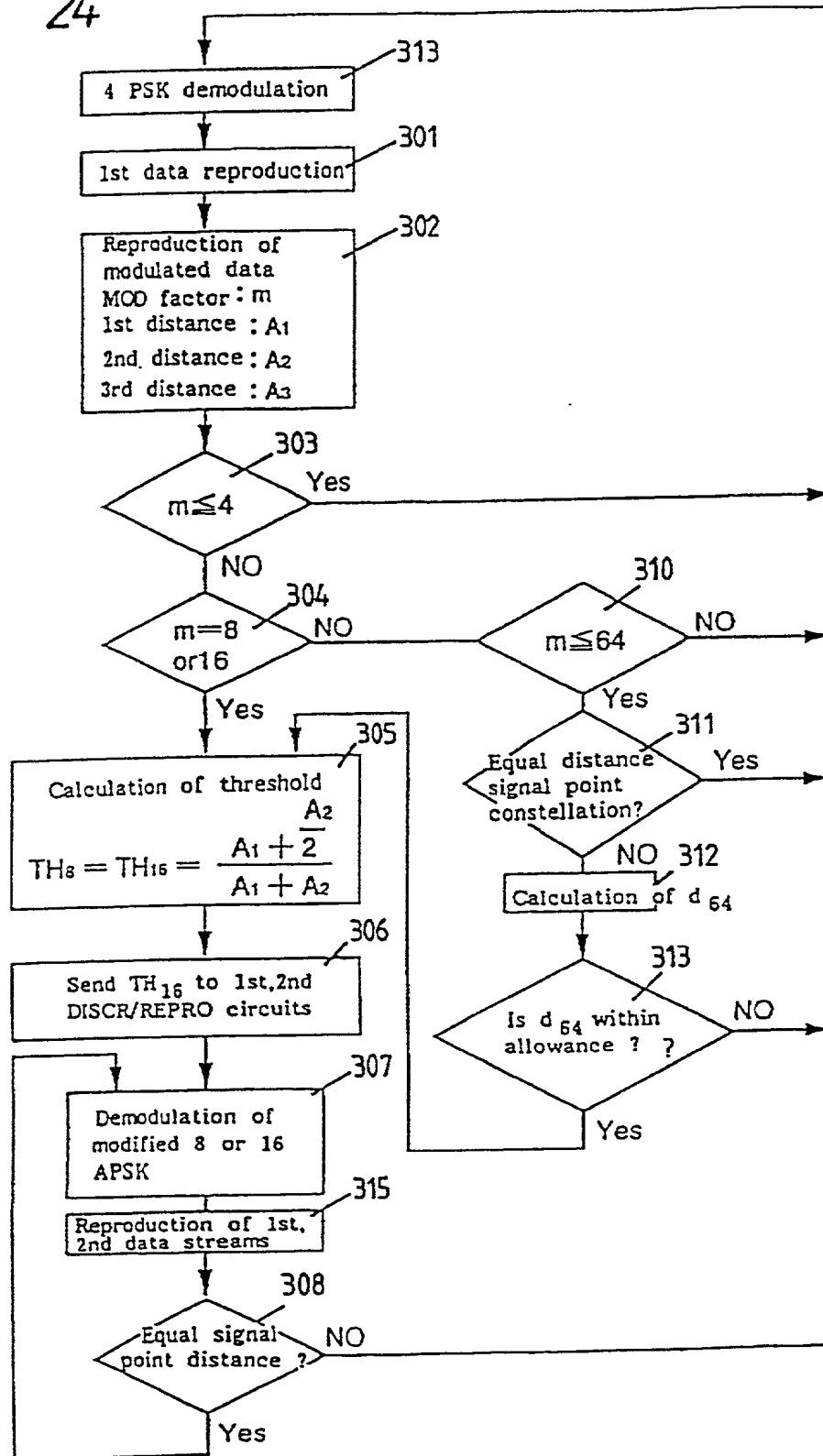


FIG. 24



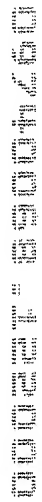
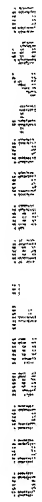
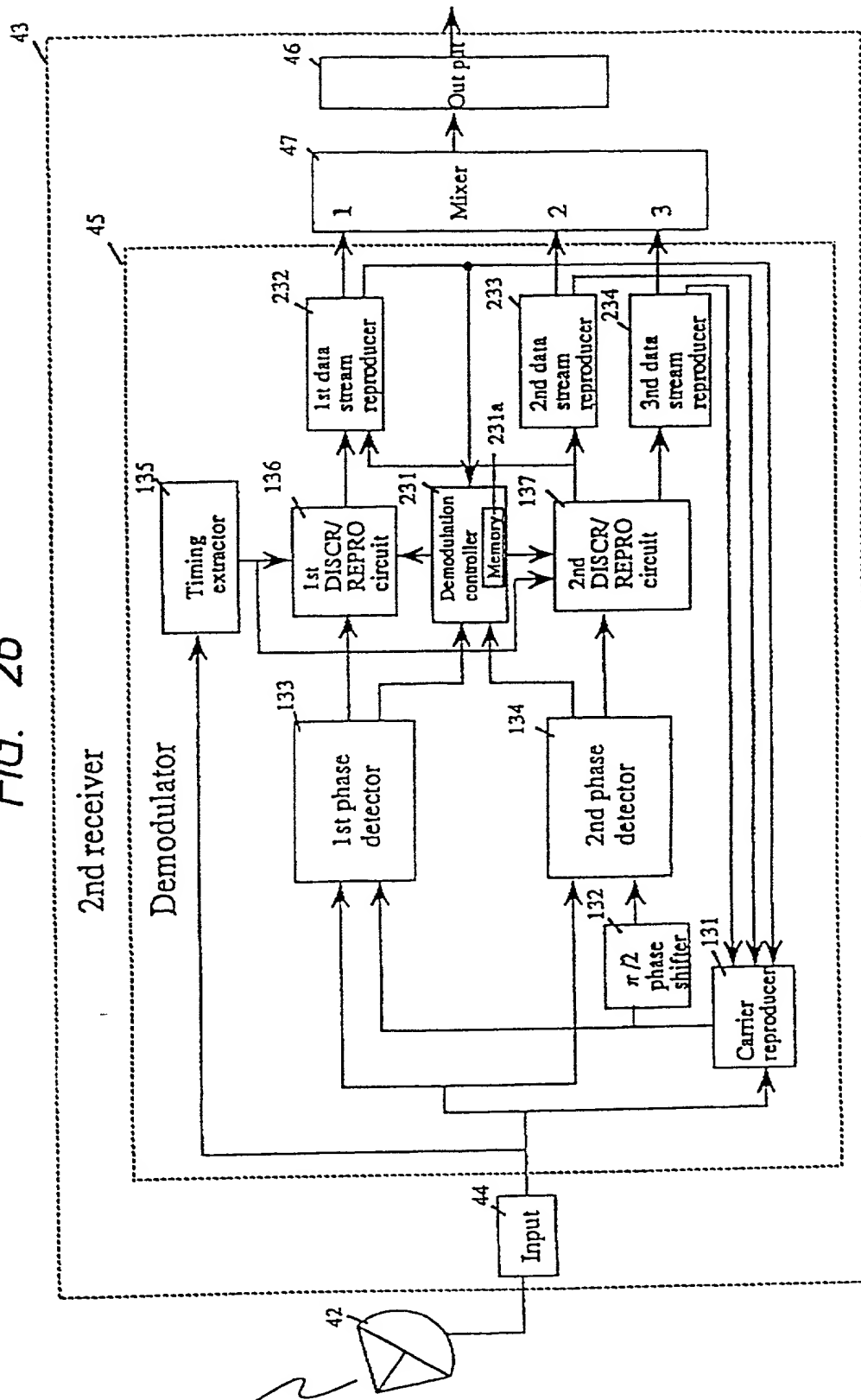
[illegible][illegible]

FIG. 26



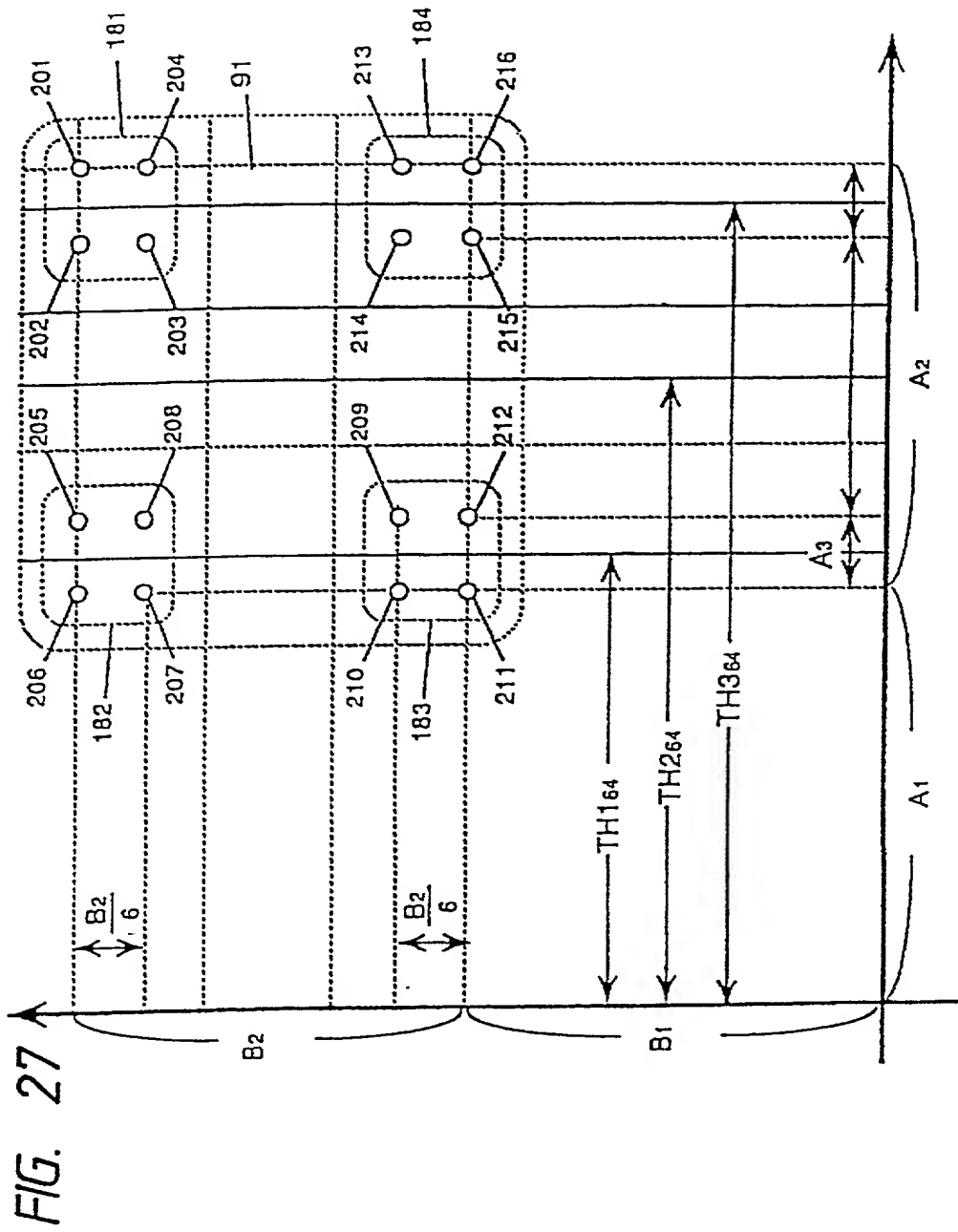


FIG. 28

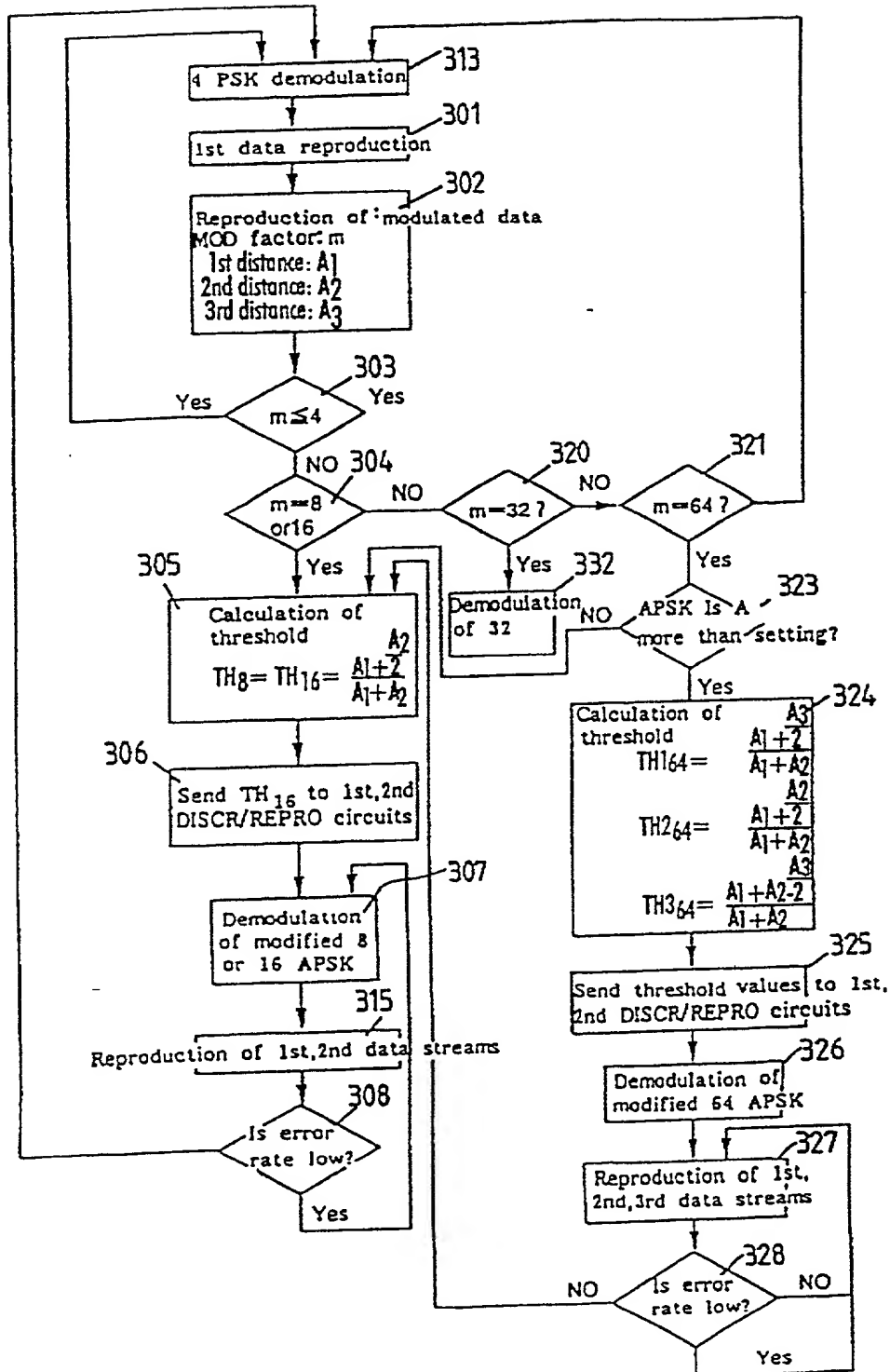




FIG. 29

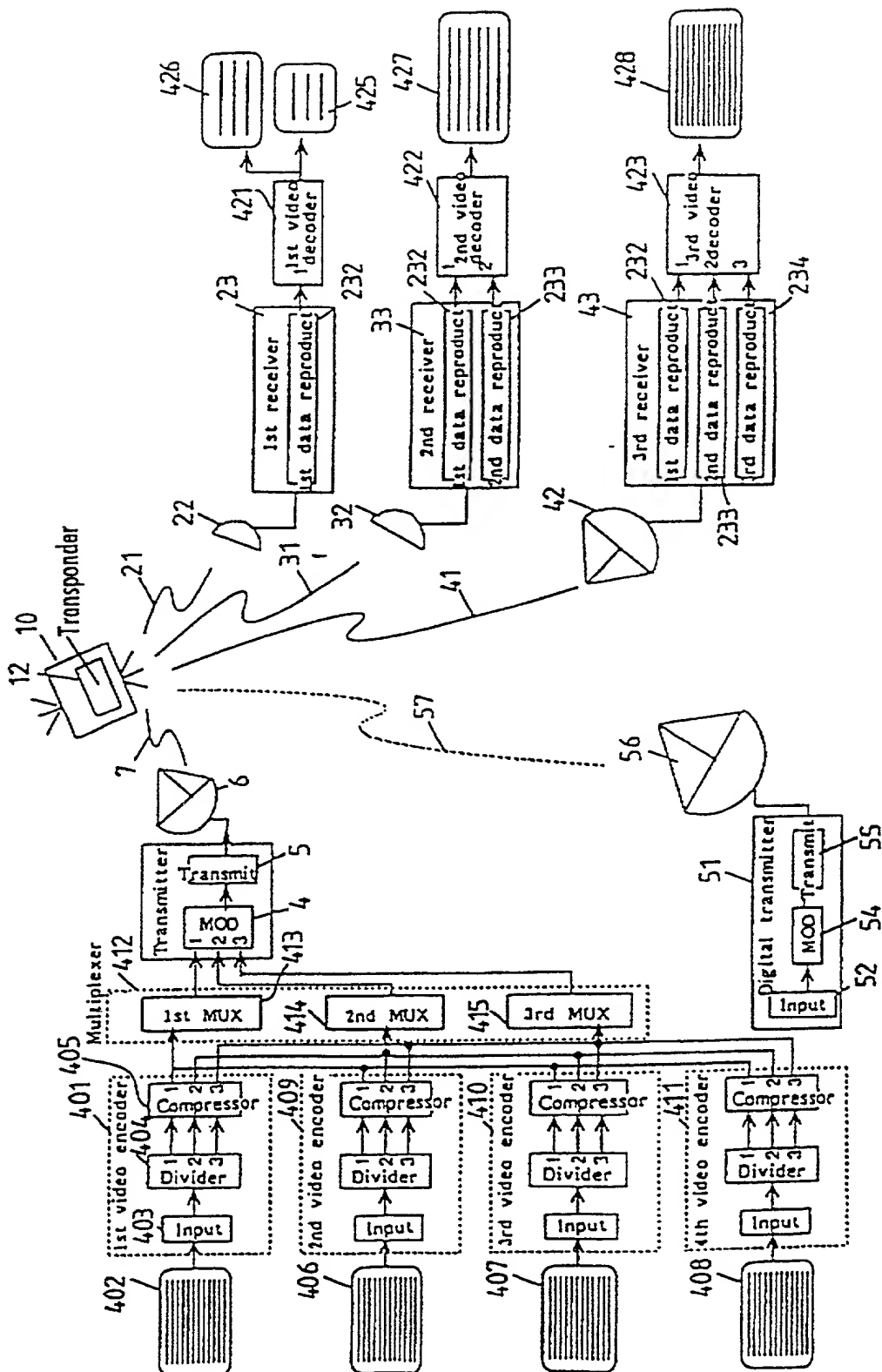


FIG. 30

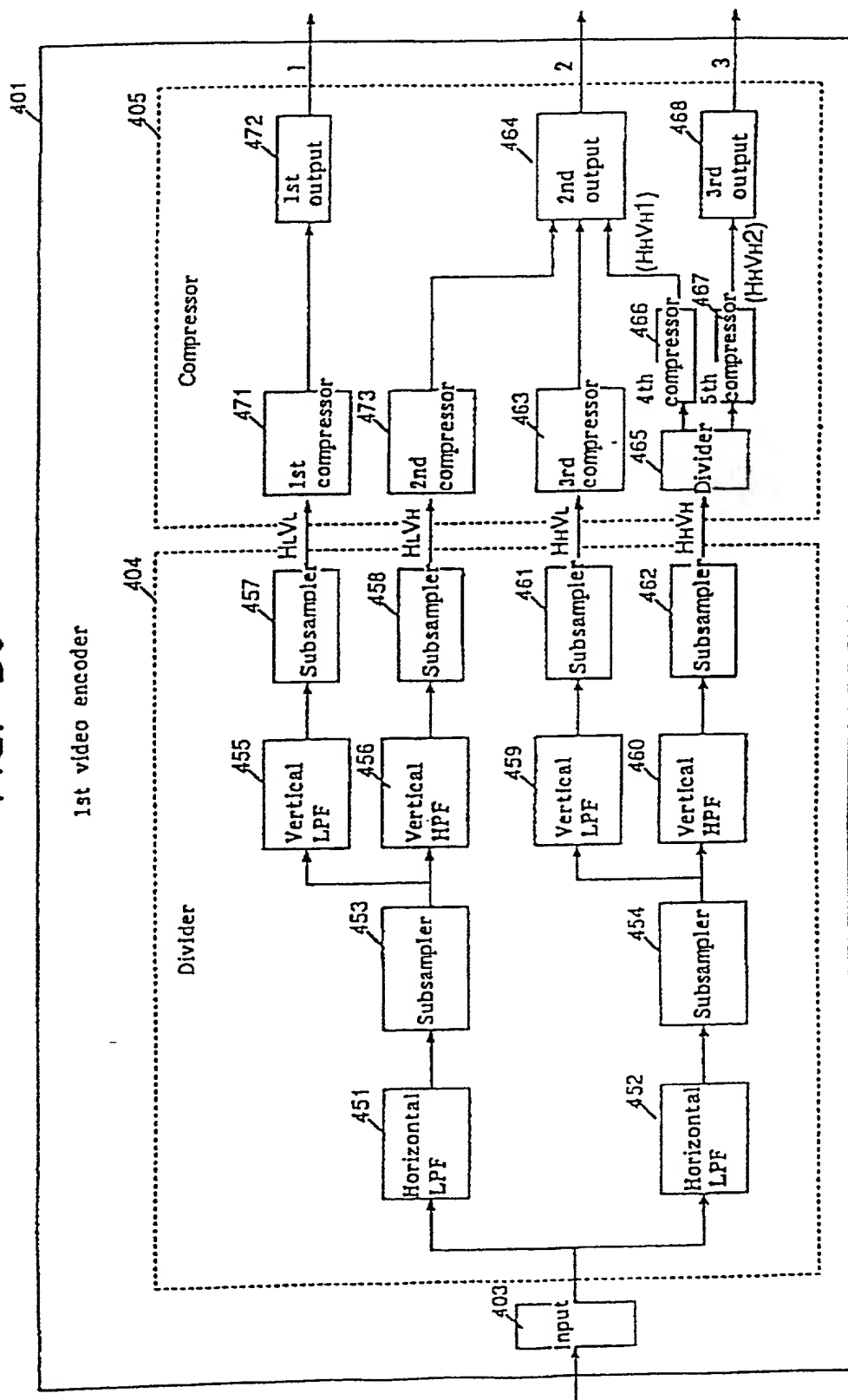


FIG. 31

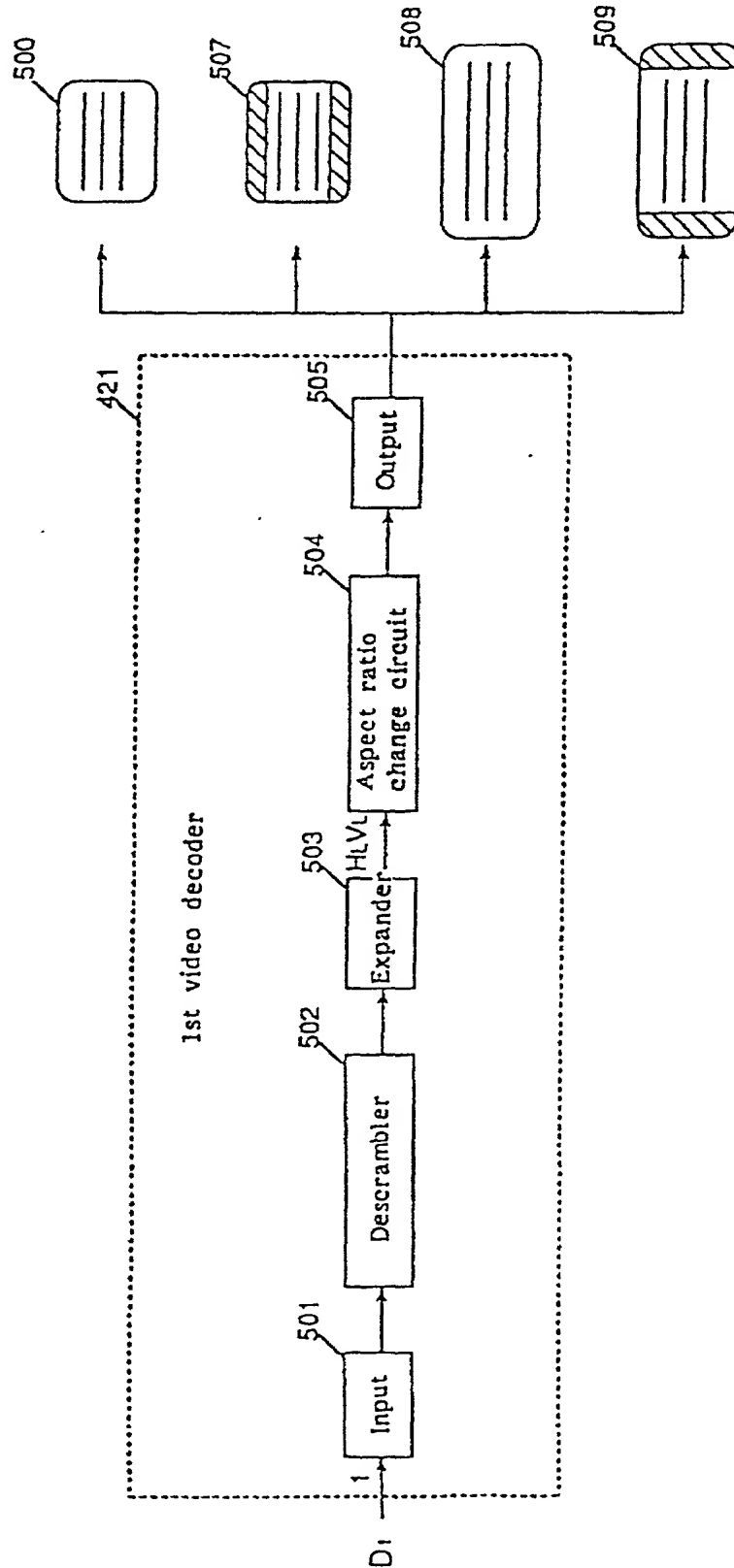


FIG. 32

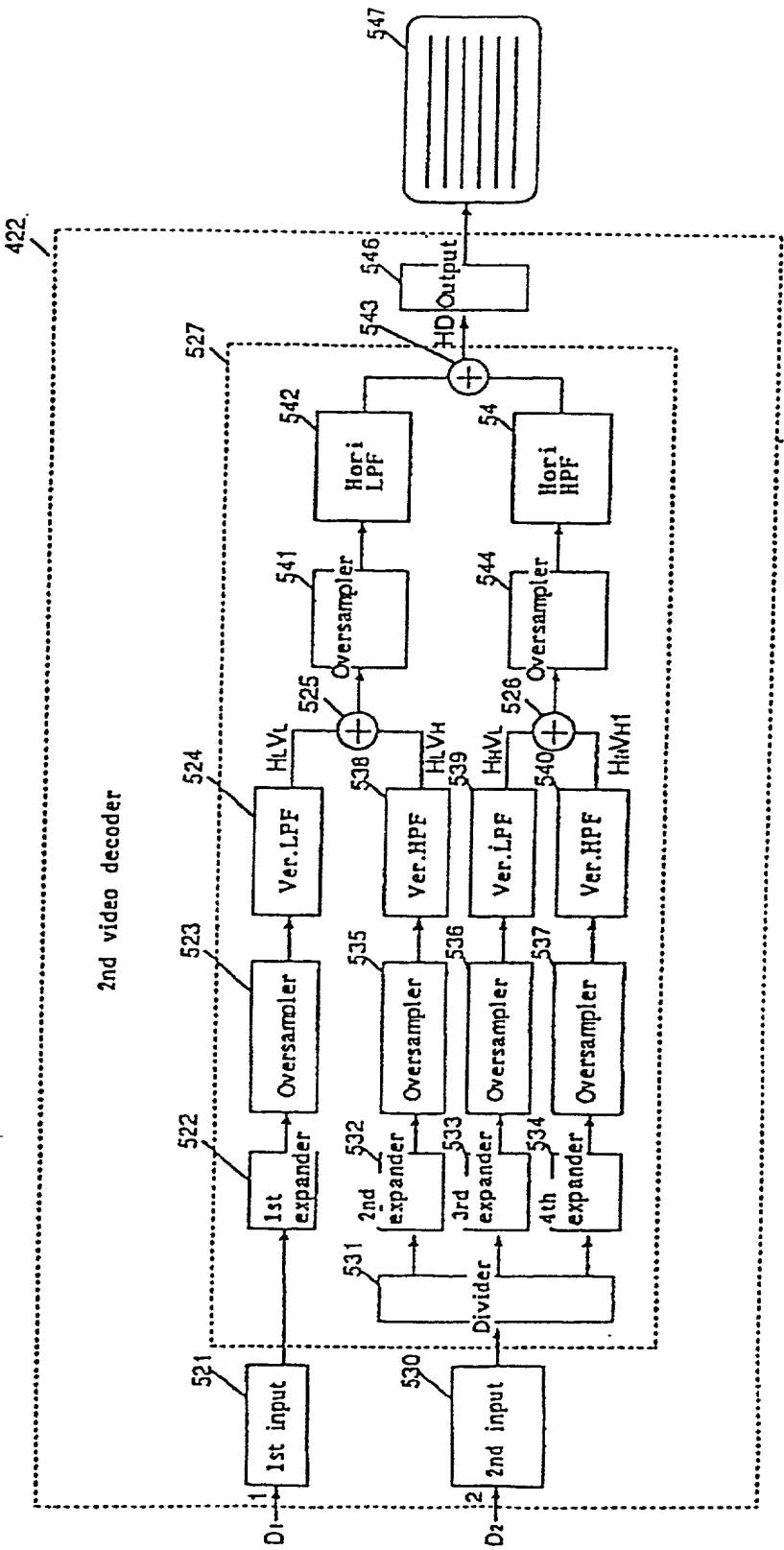
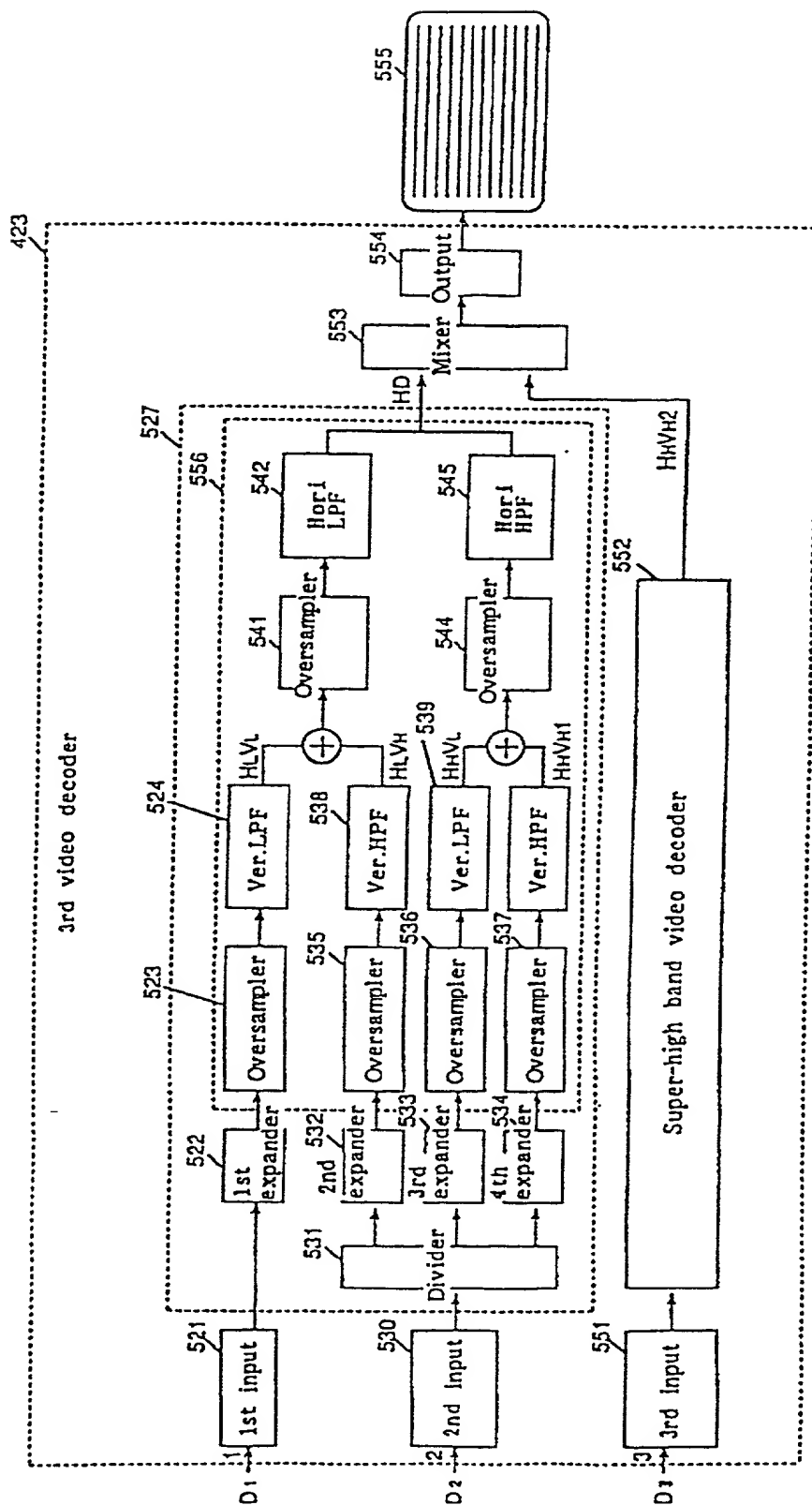
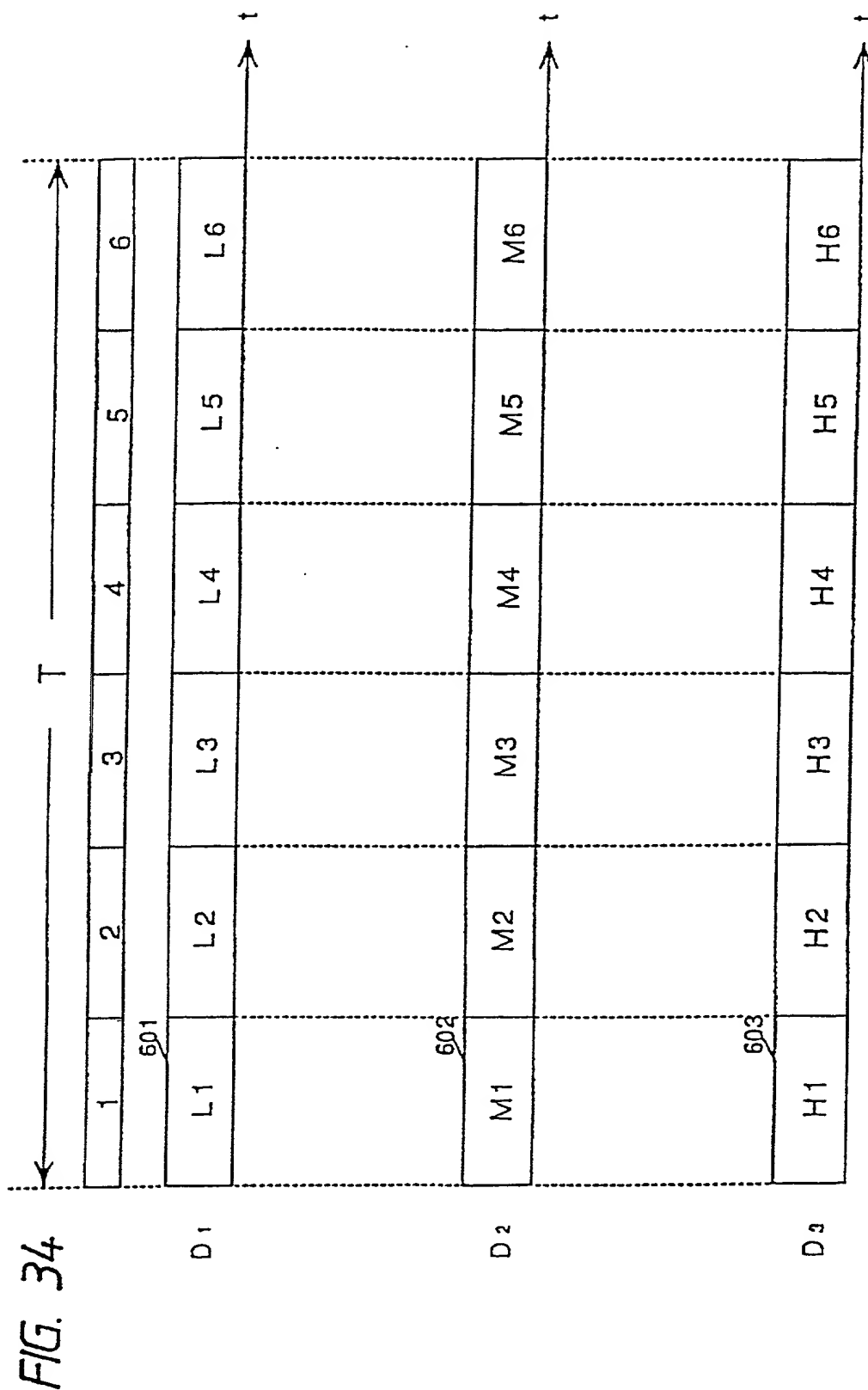


FIG. 33





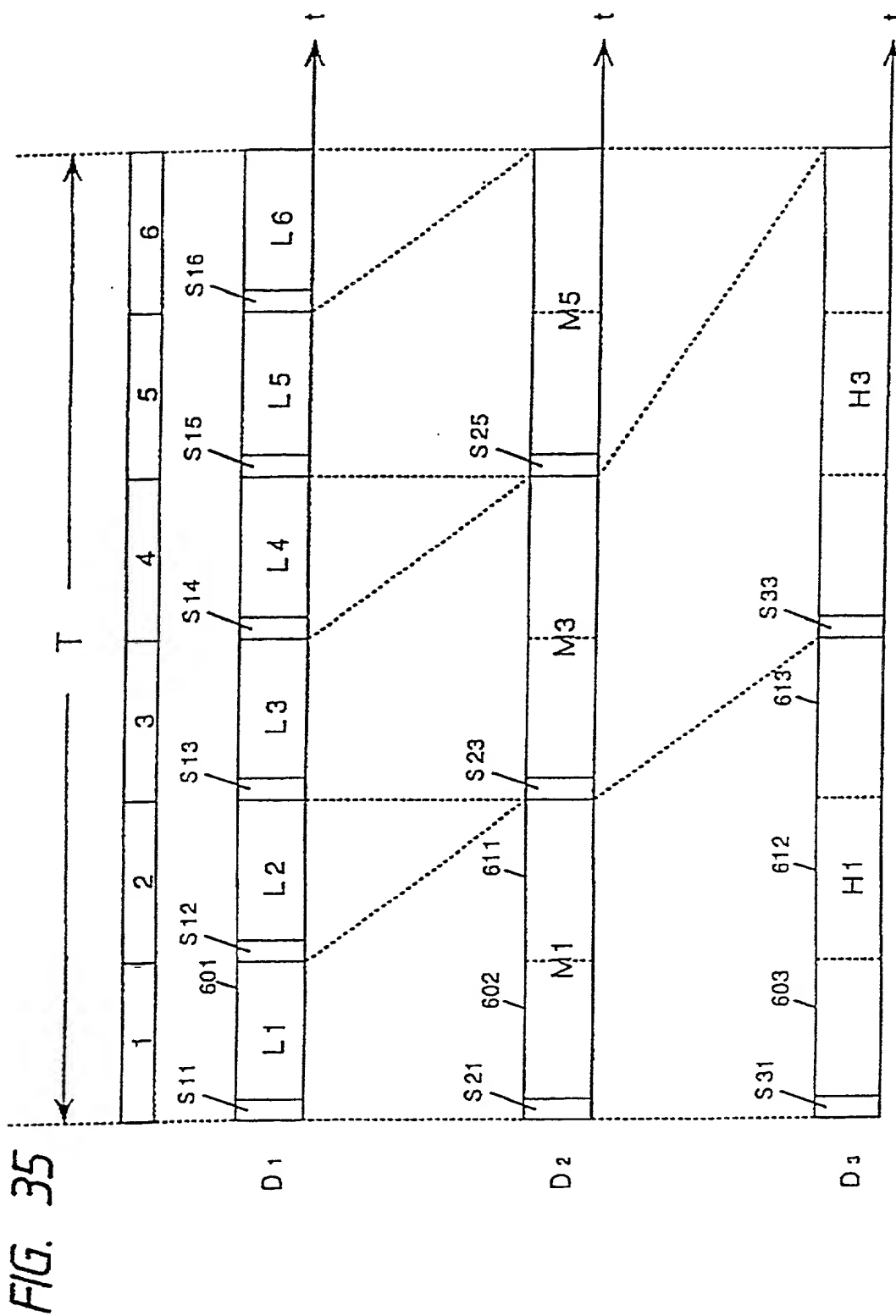


FIG. 36

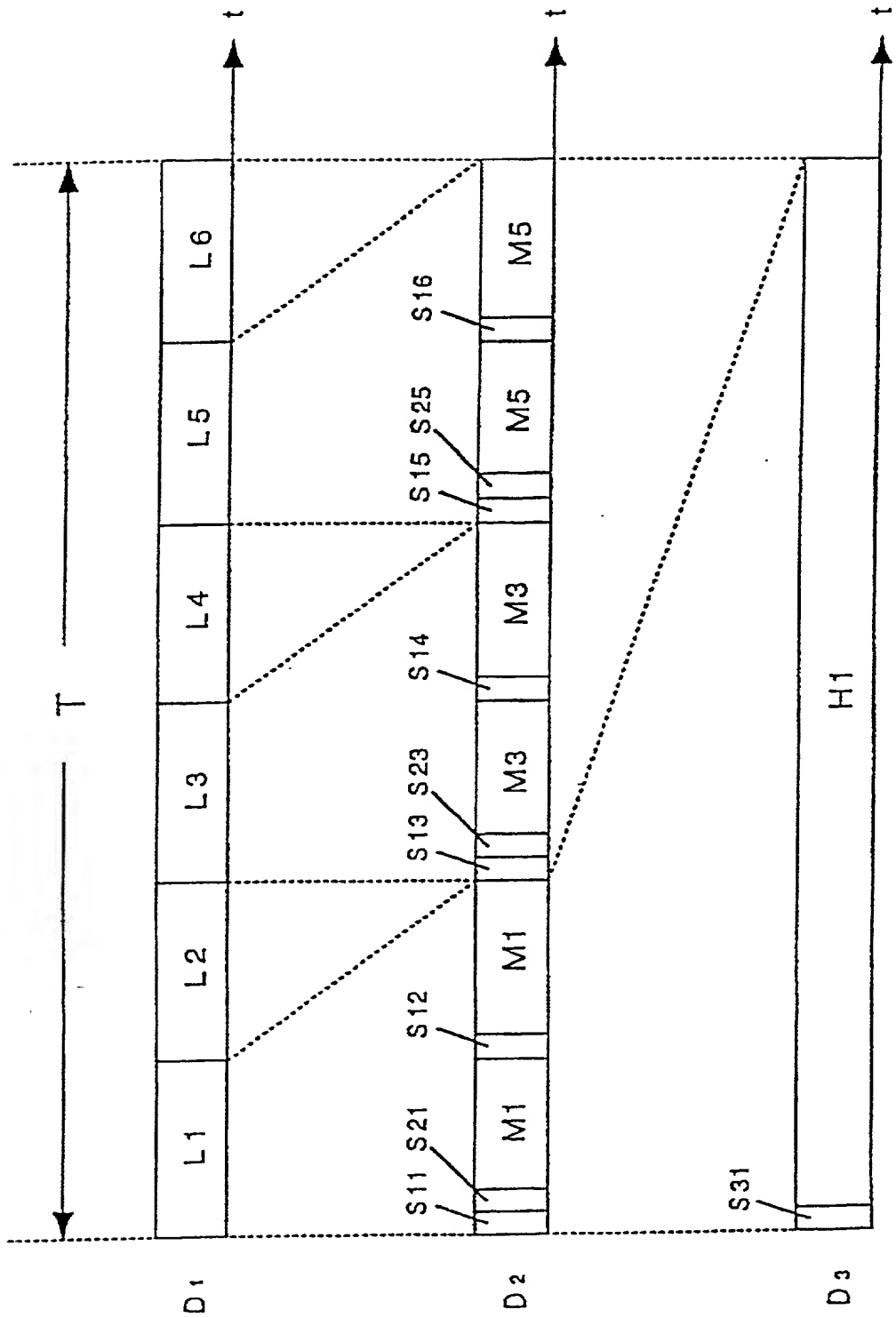




FIG. 37

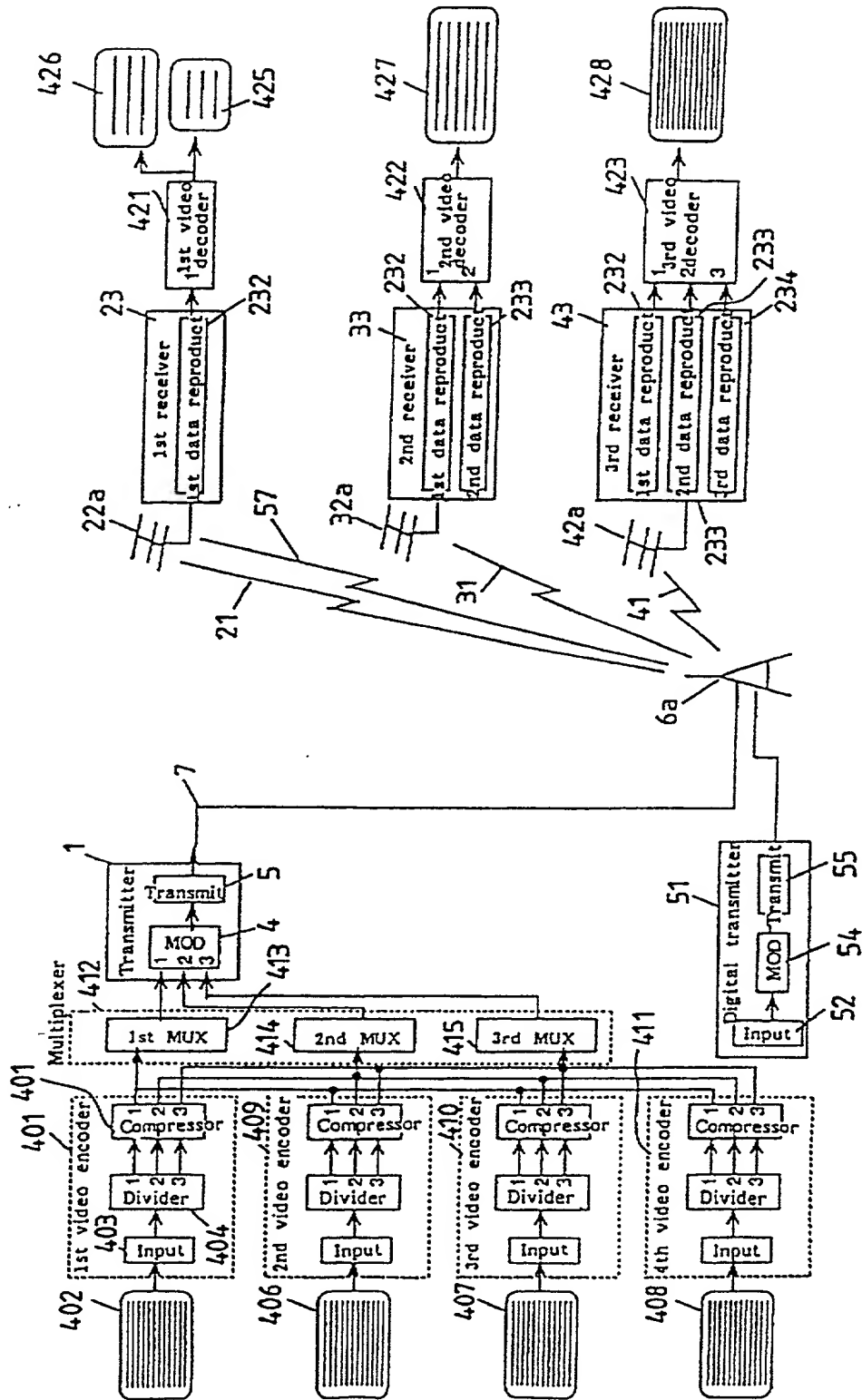
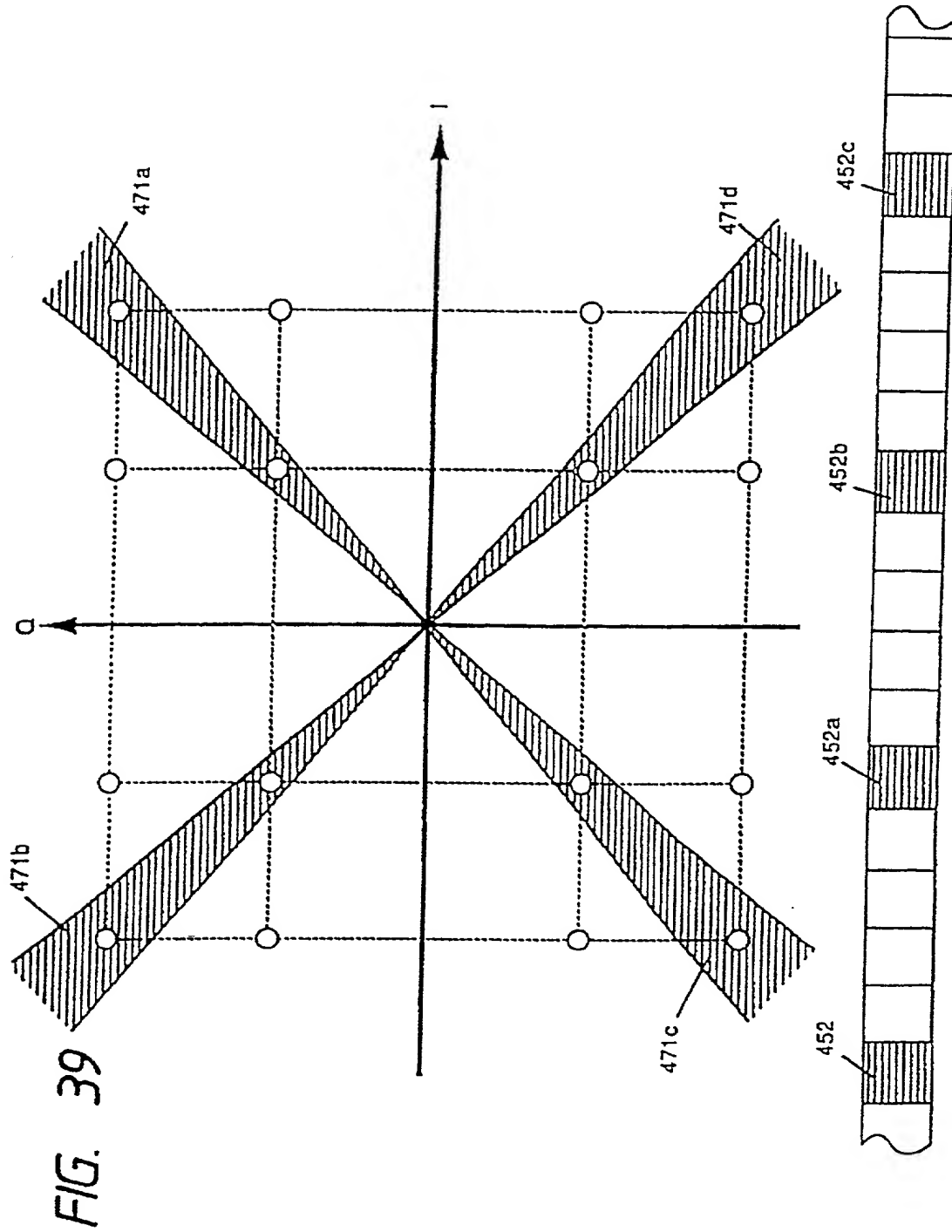


FIG. 38



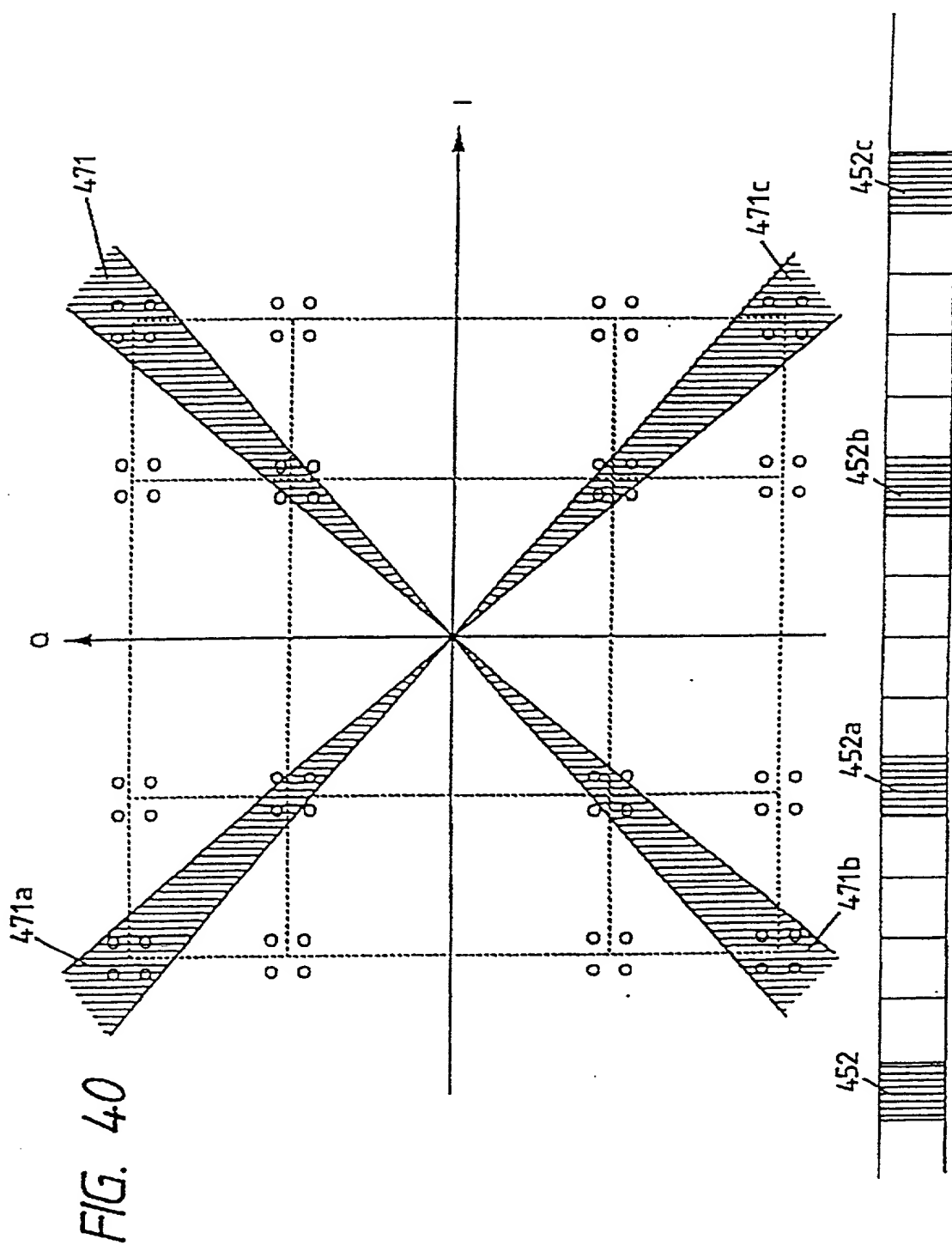


FIG. 40

FIG. 41

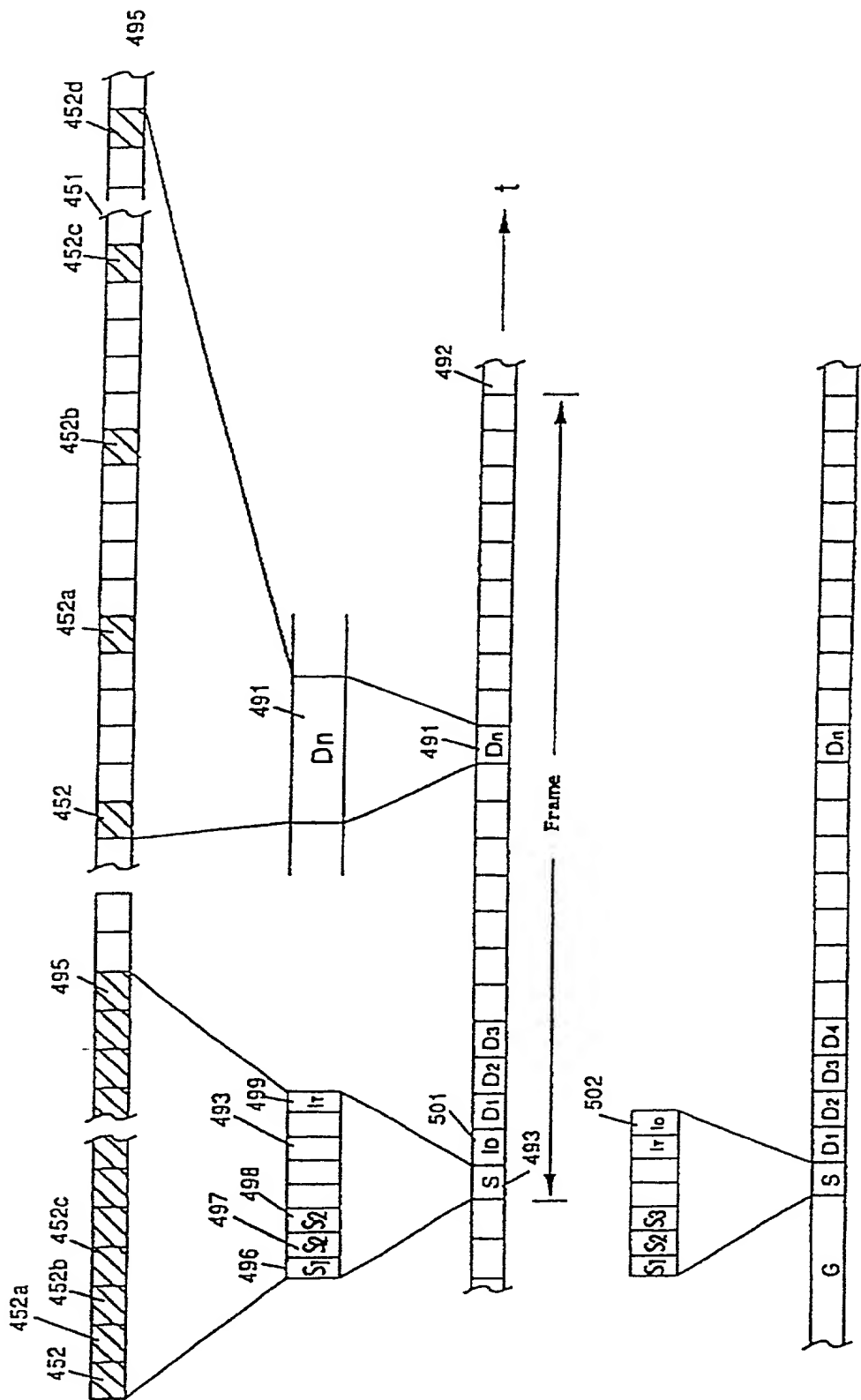




FIG. 43

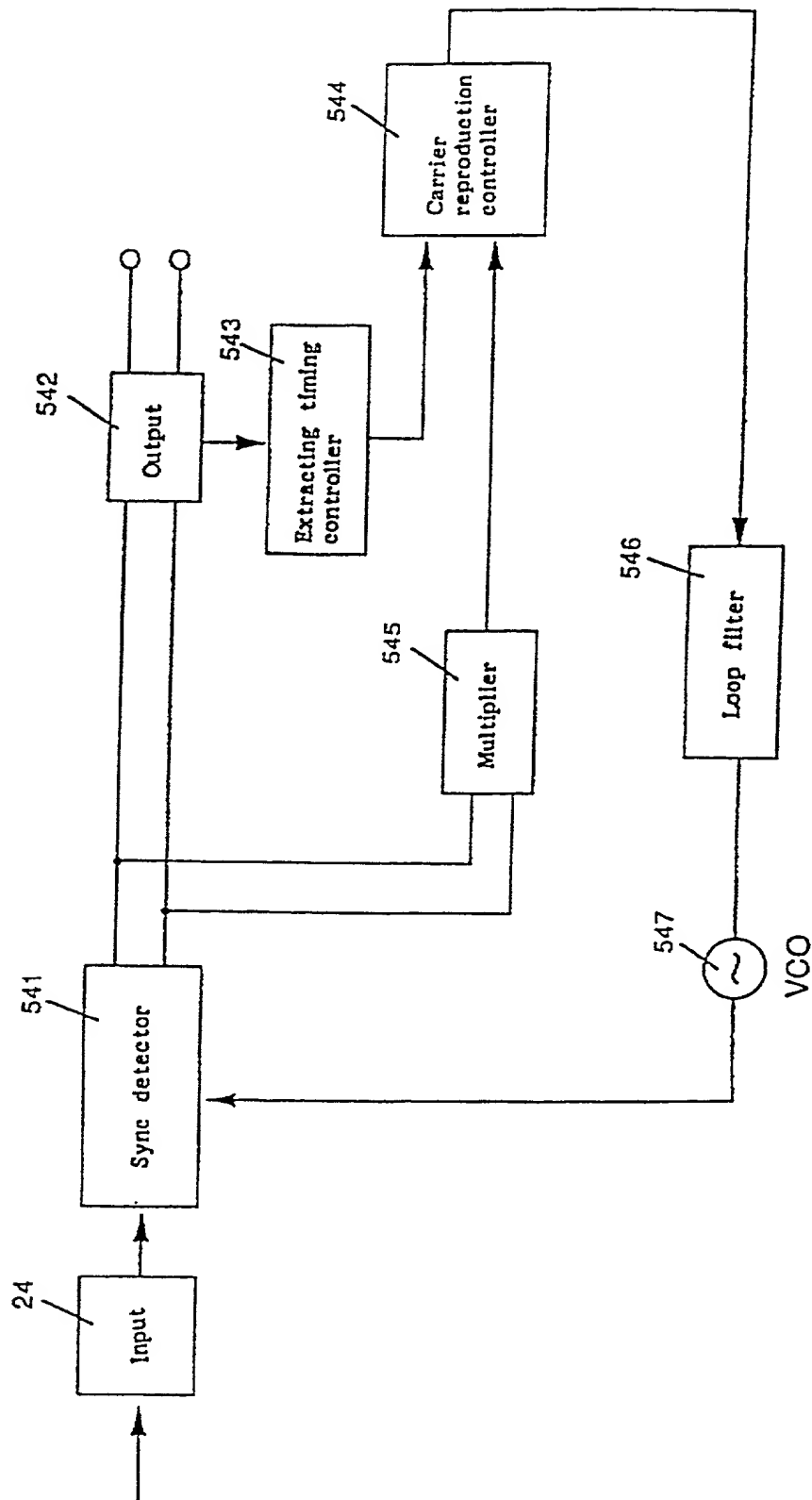


FIG. 44

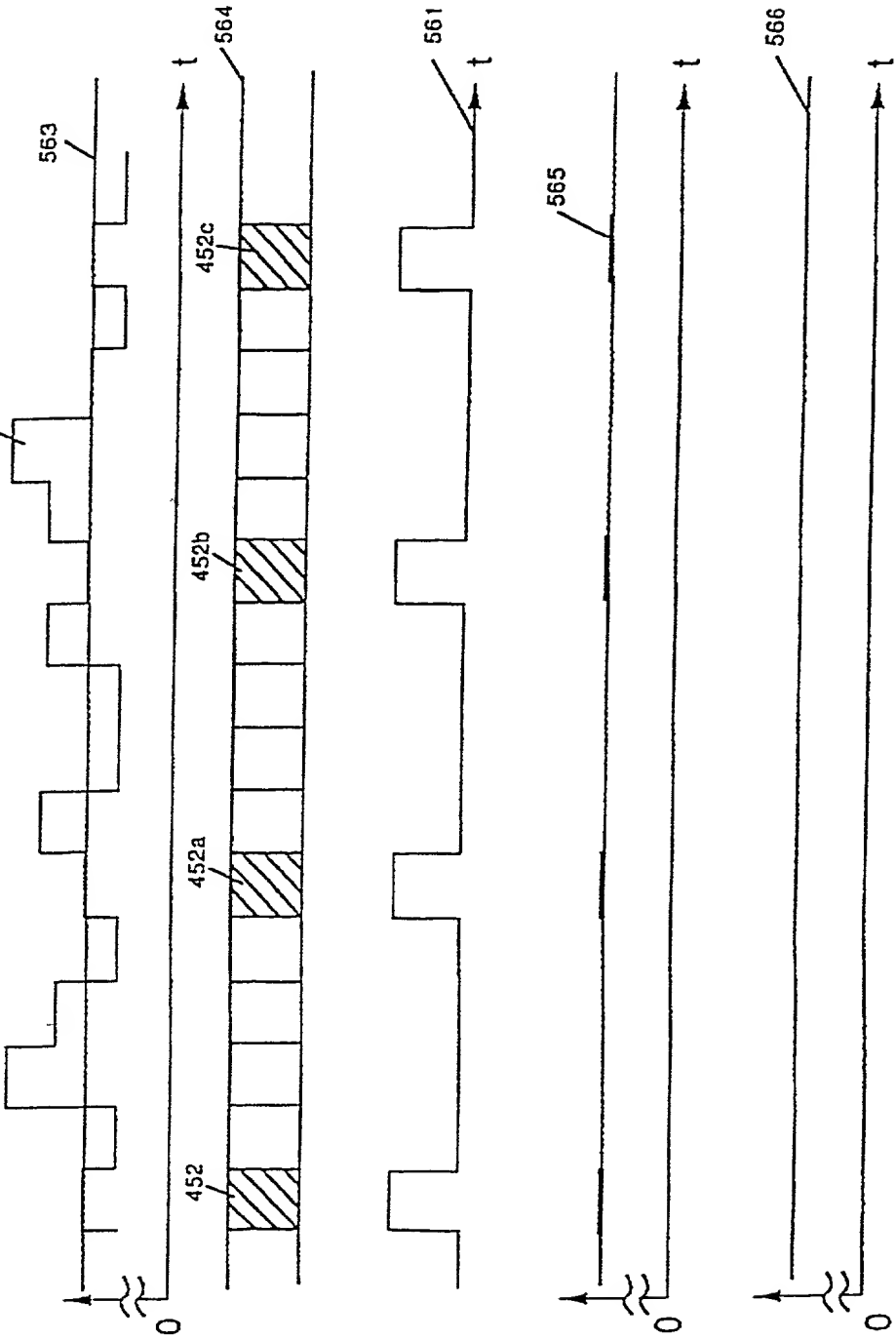




FIG. 45

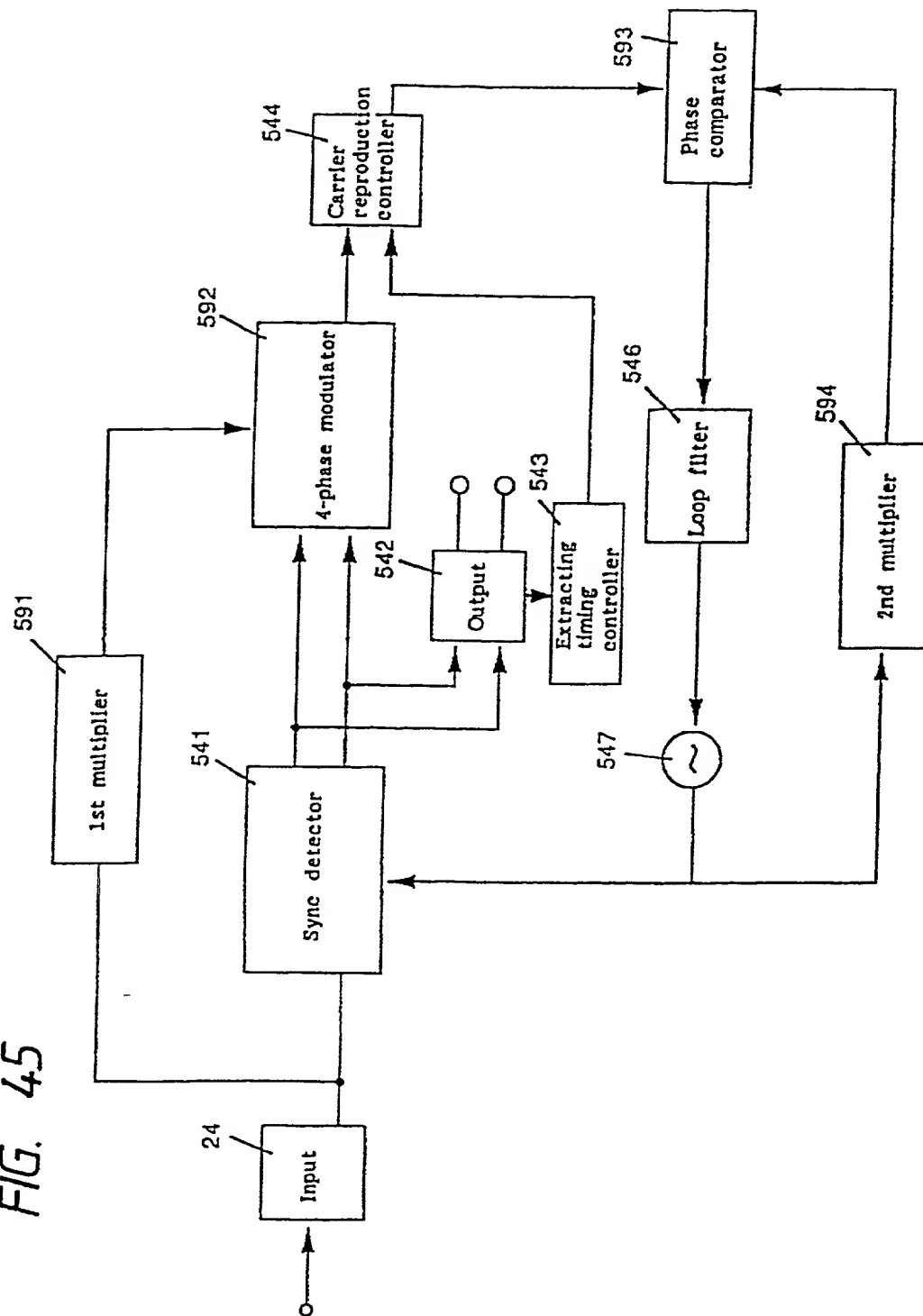
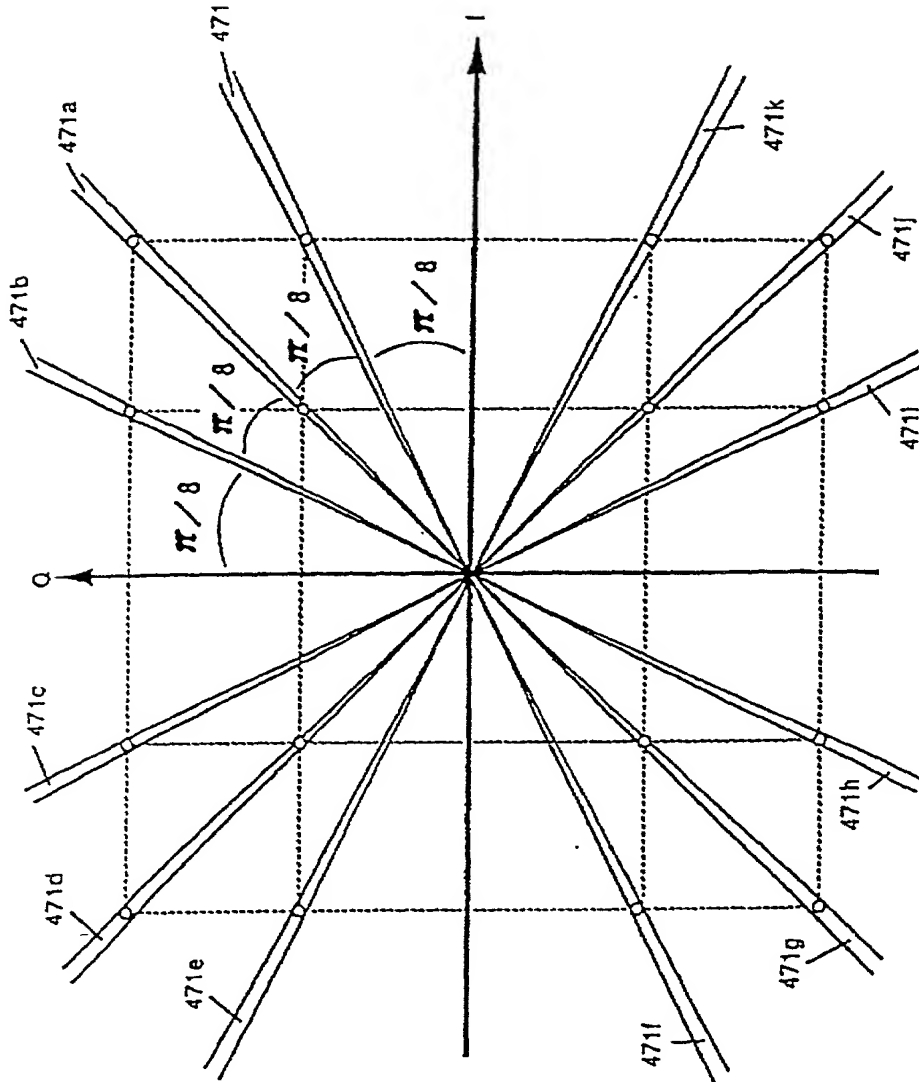
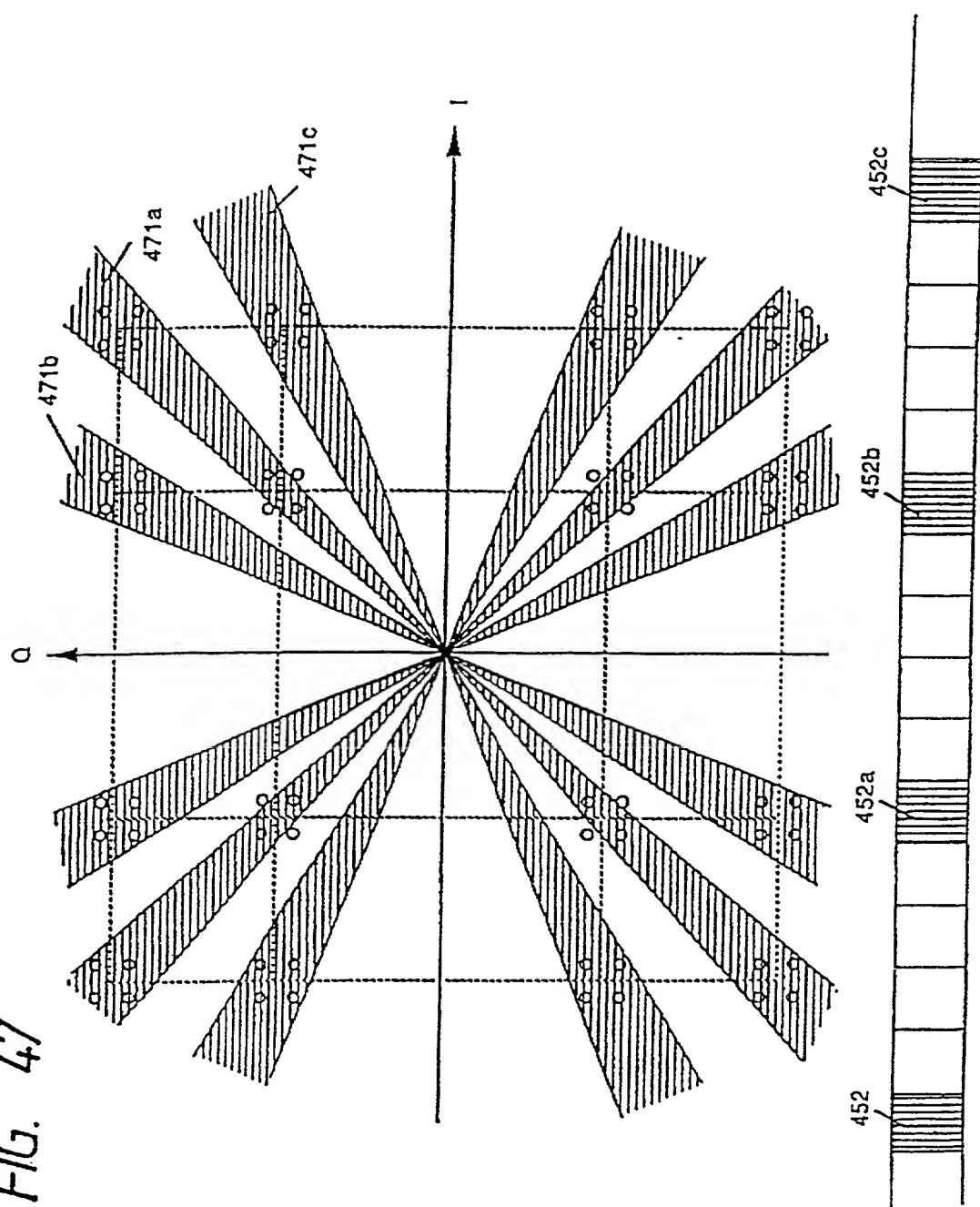


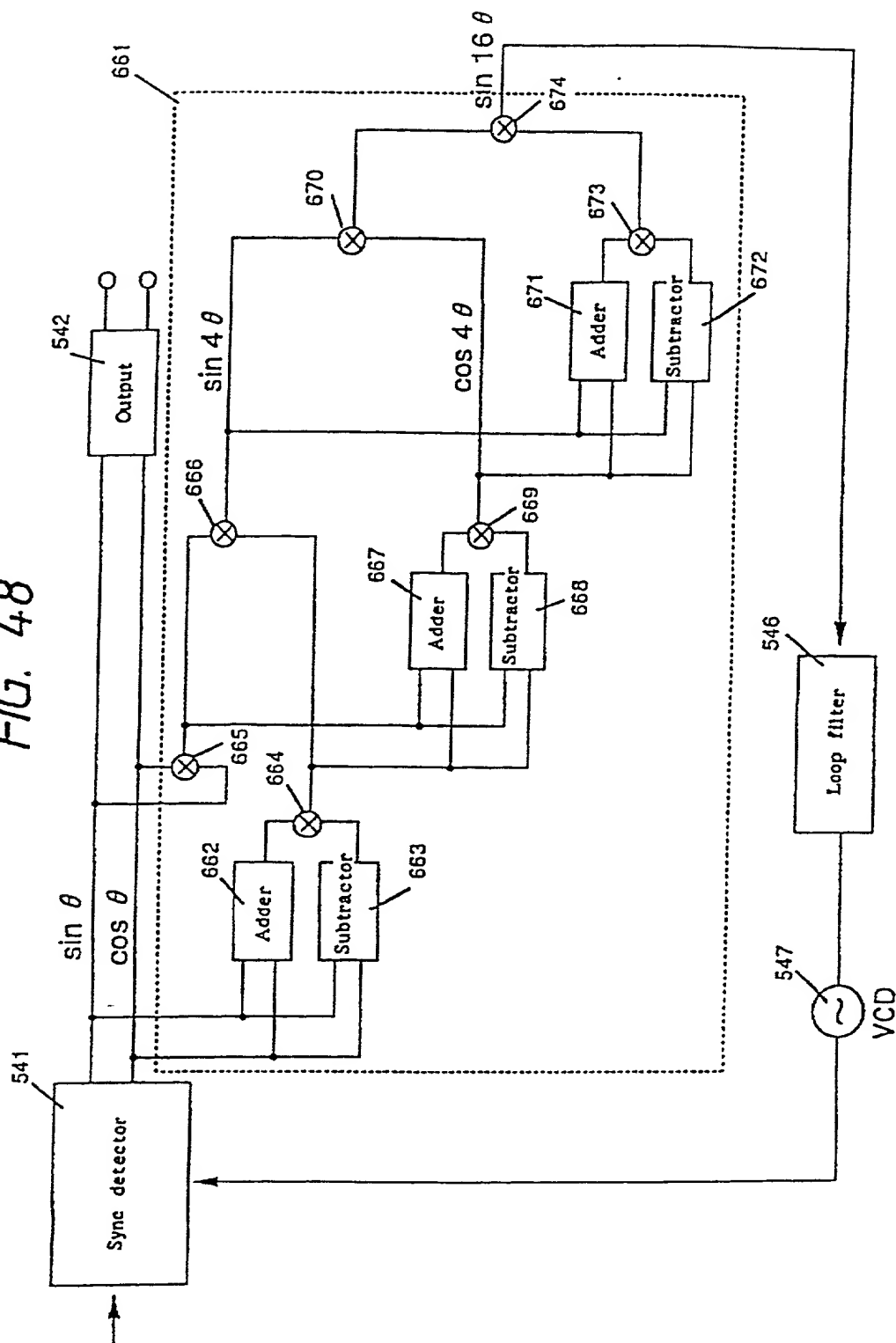
FIG. 46



000007-890074.60

FIG. 47





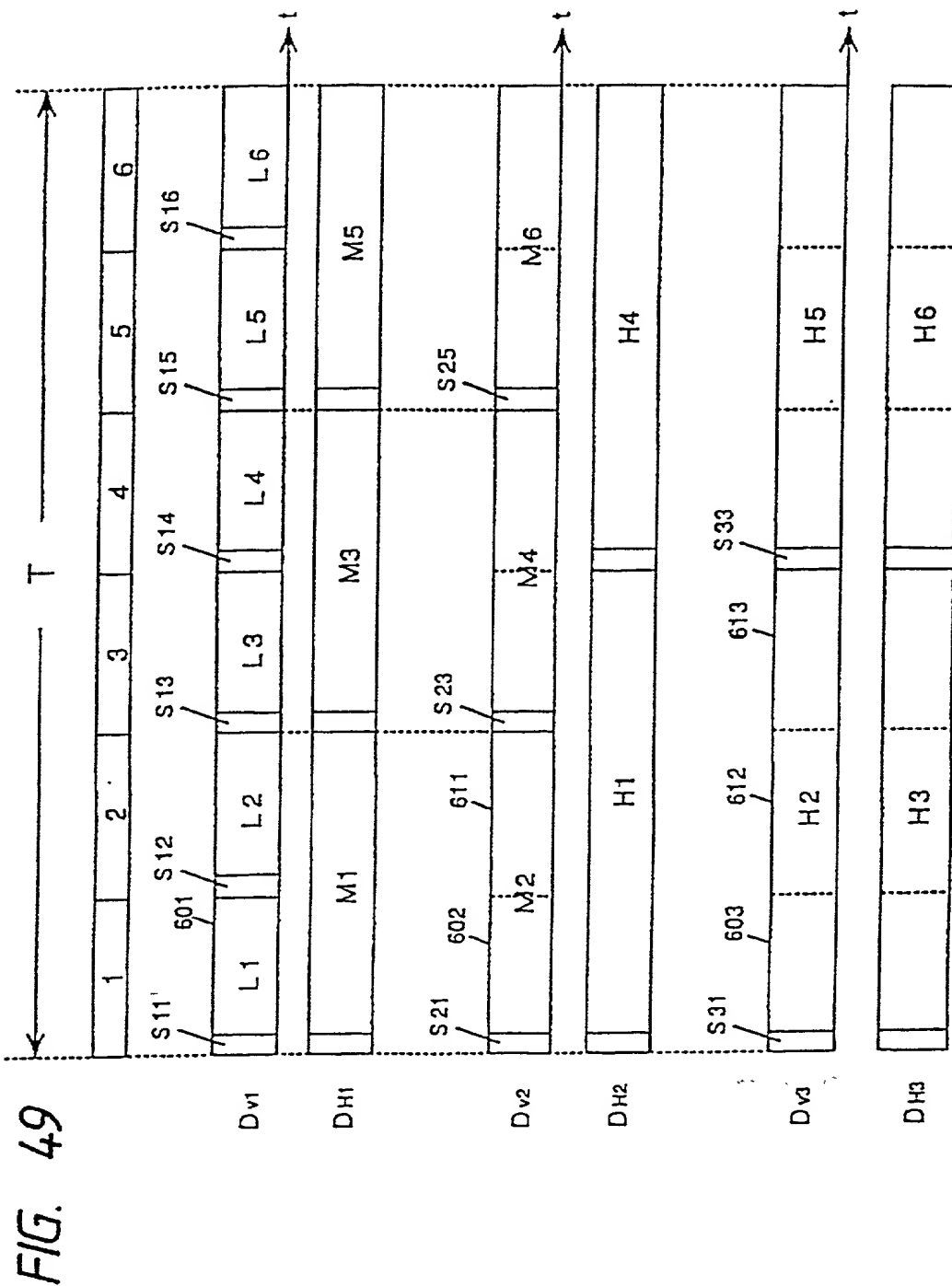
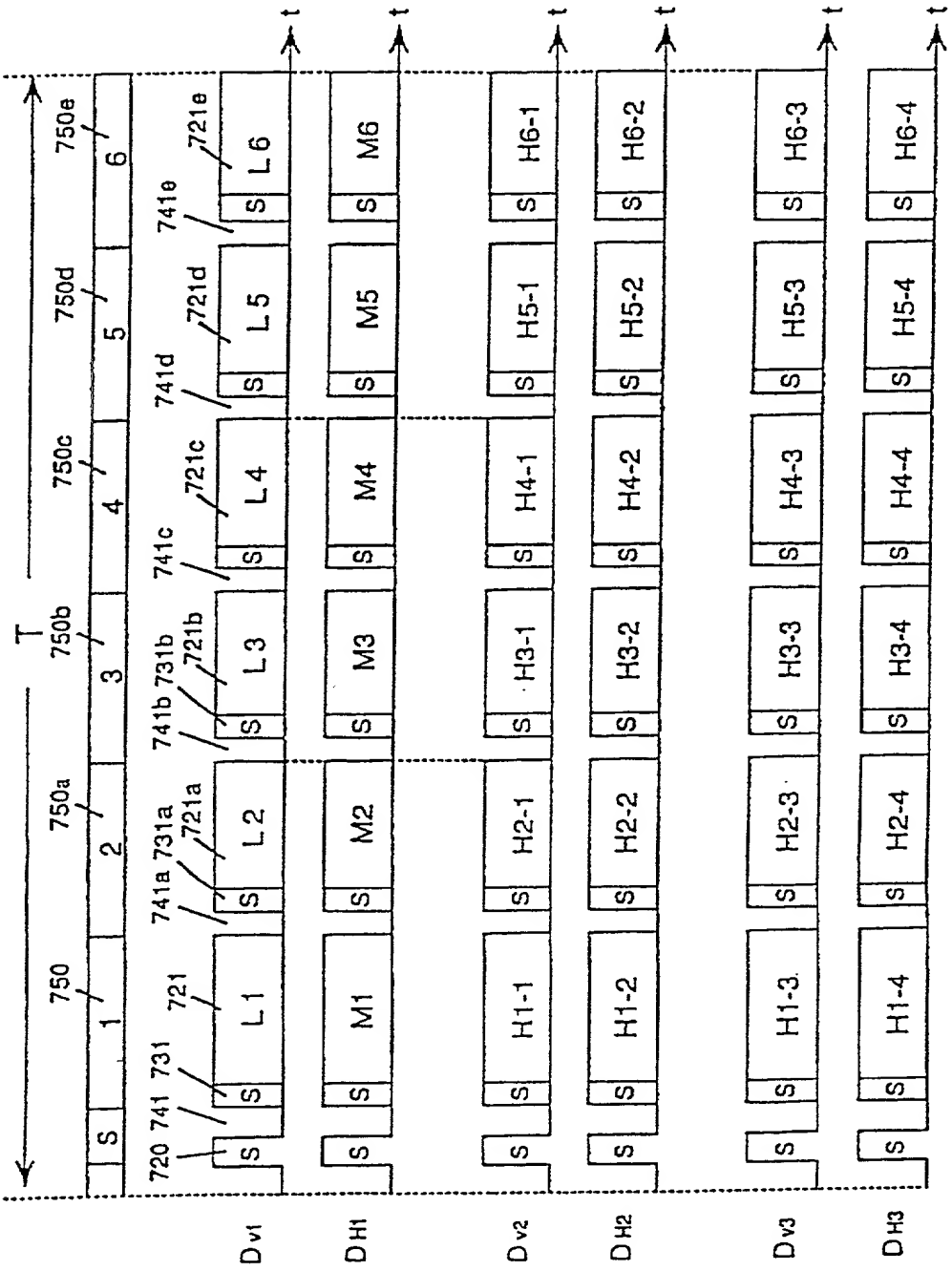


FIG. 50



103

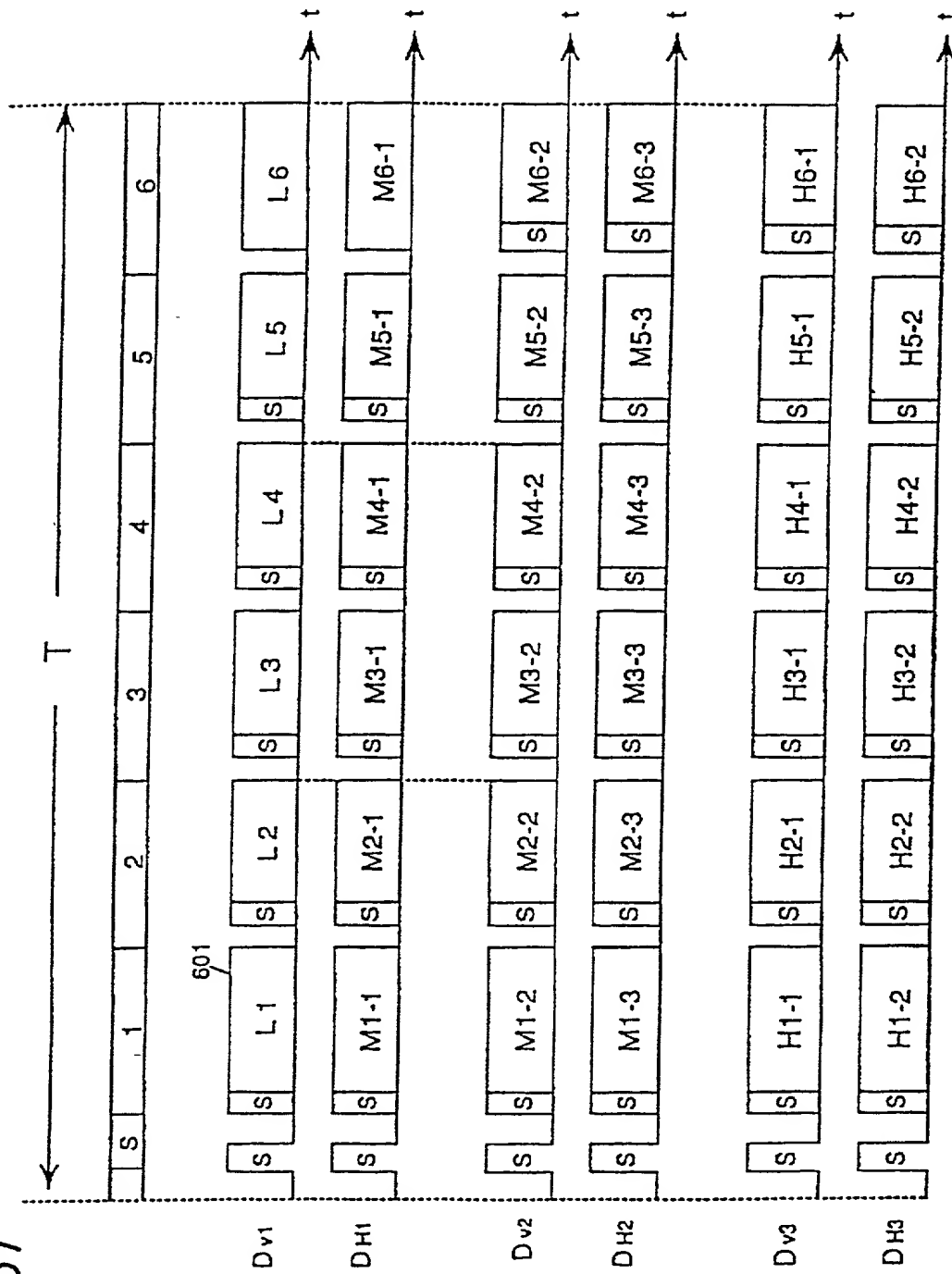


FIG. 52

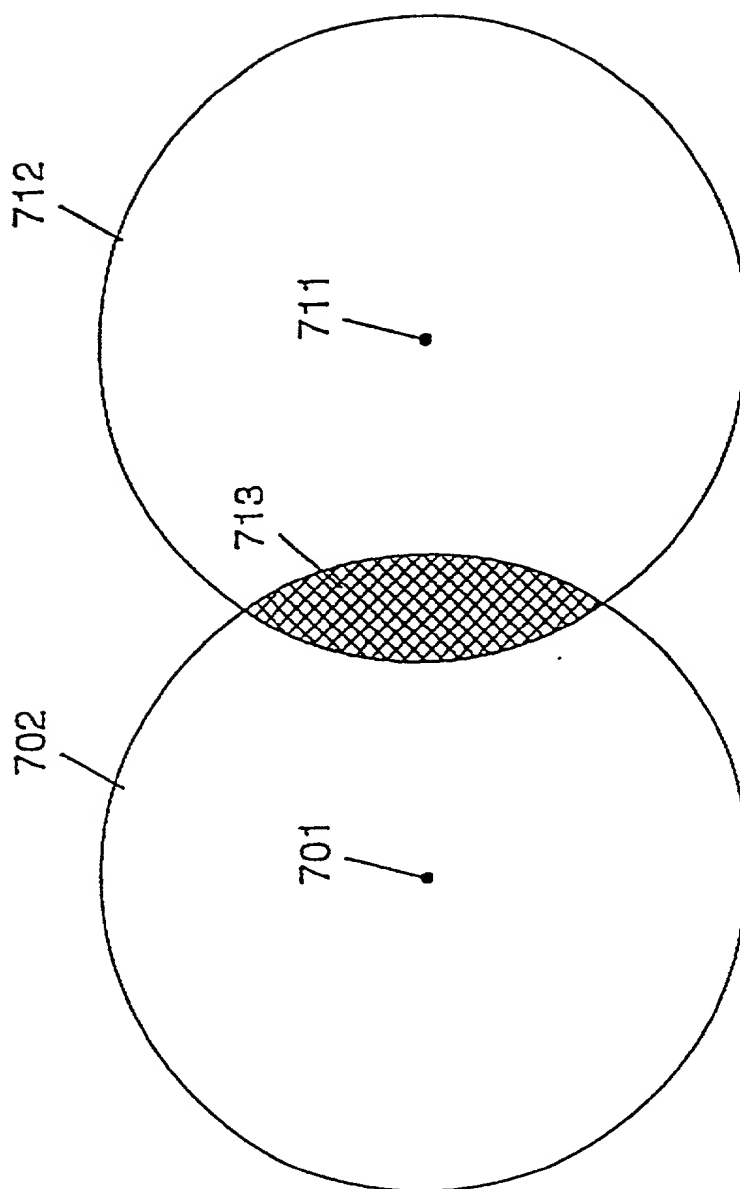




FIG. 53

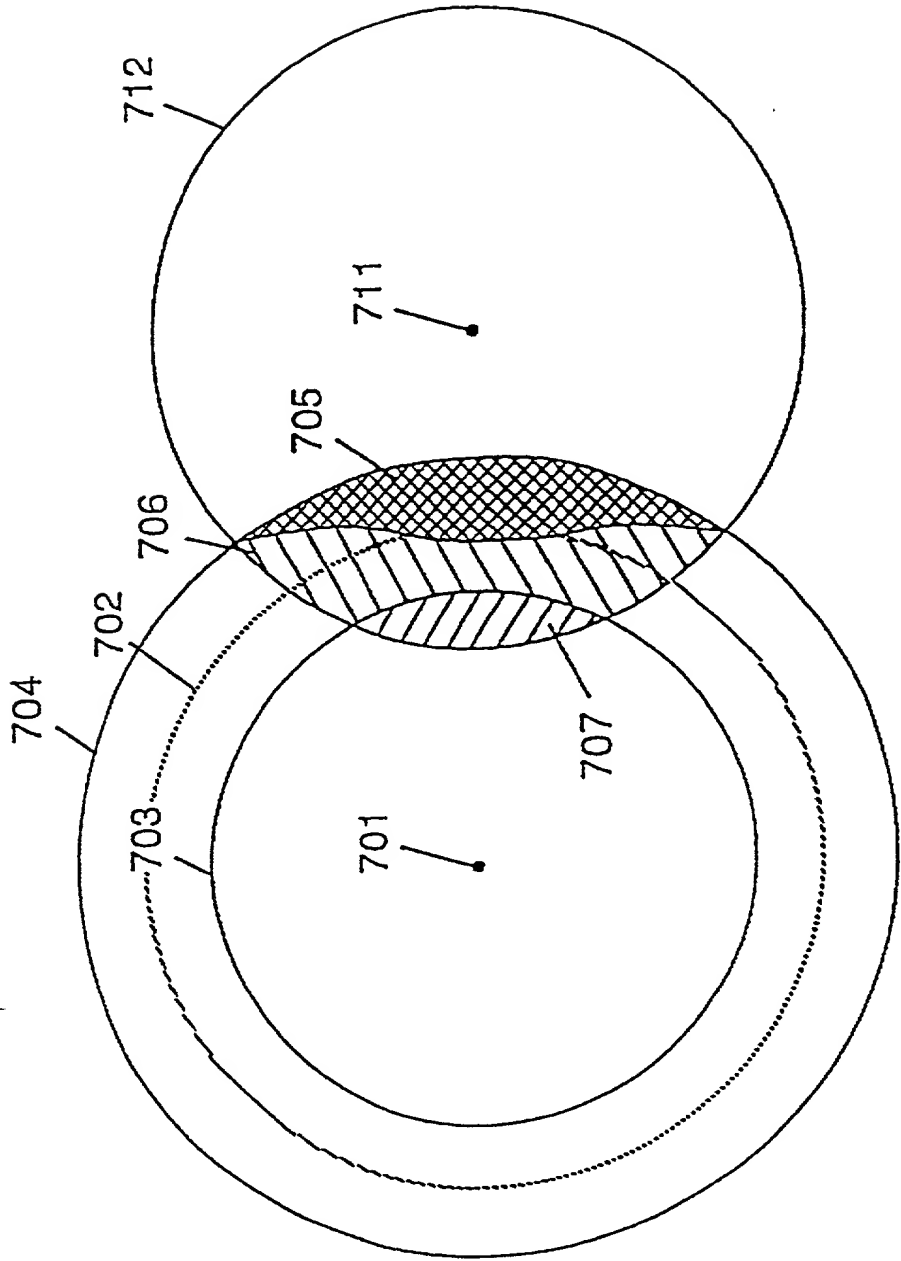


FIG. 54

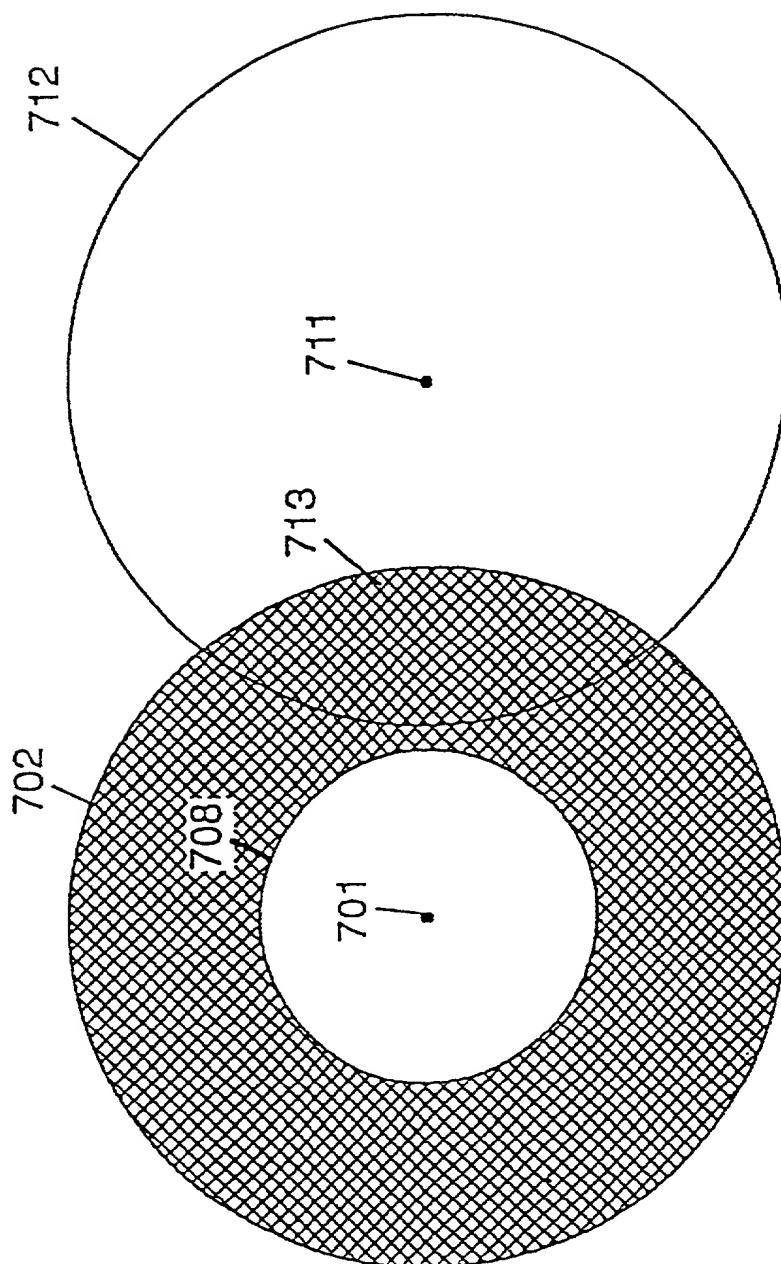
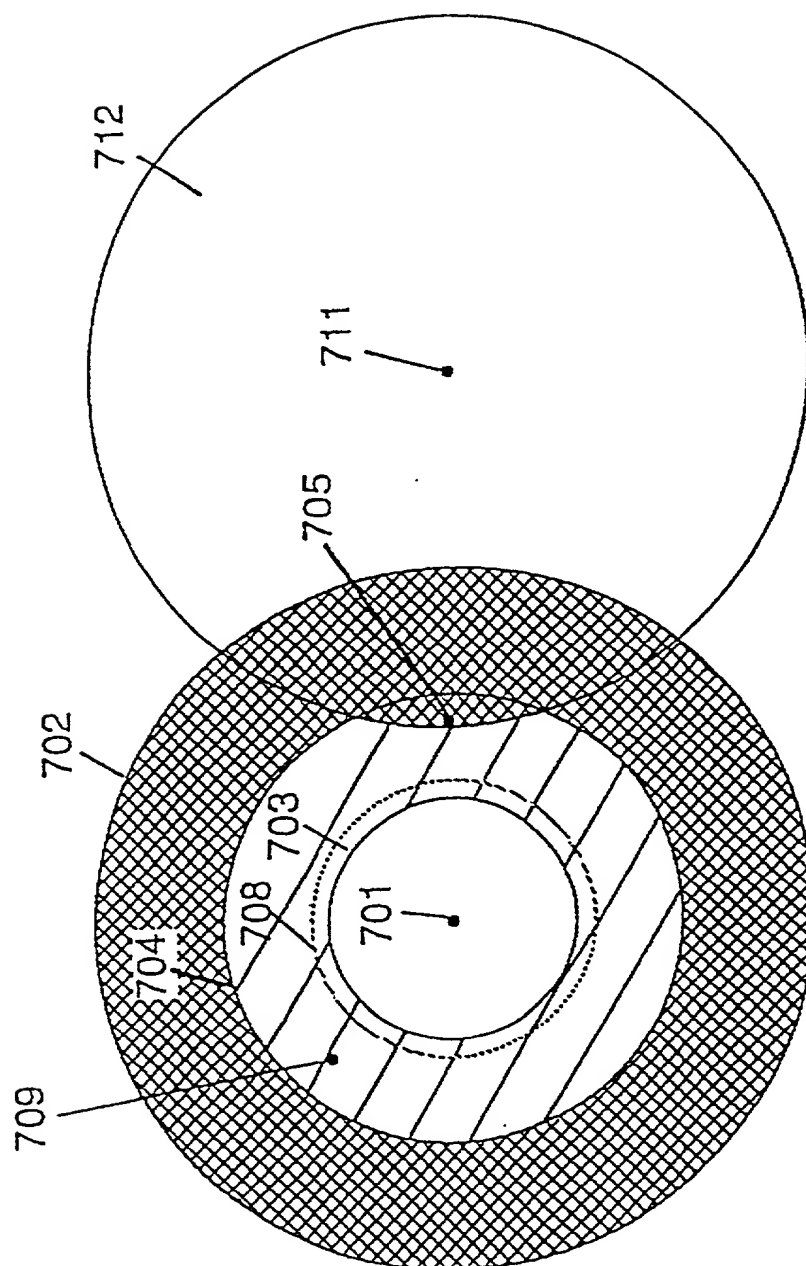


FIG. 55



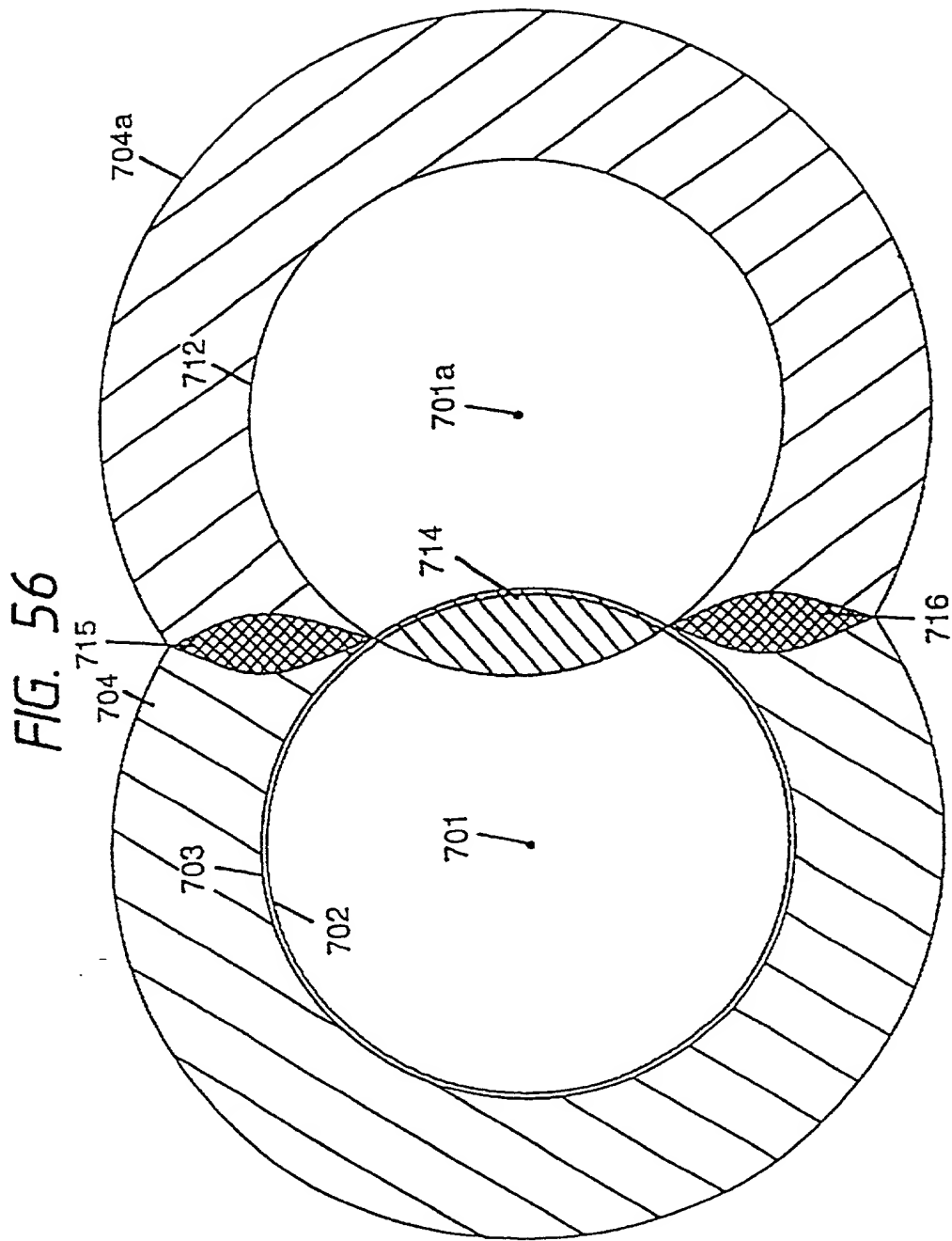


FIG. 57

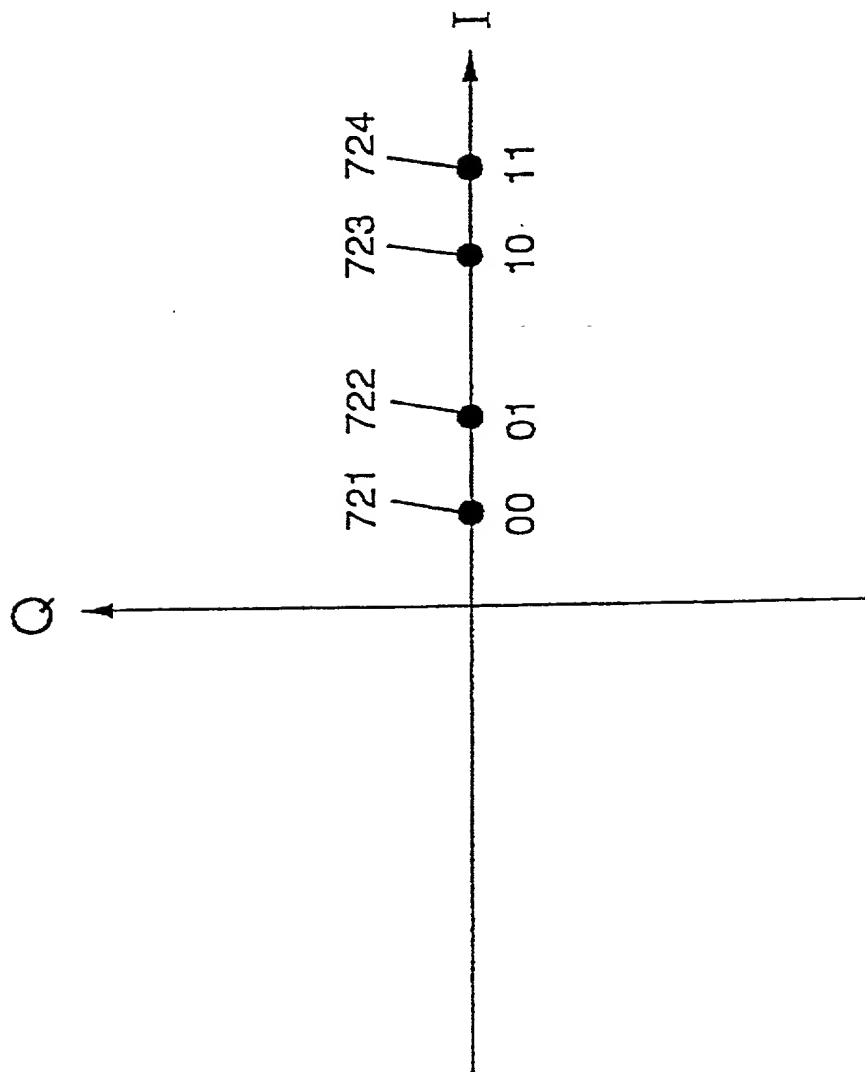


FIG. 58

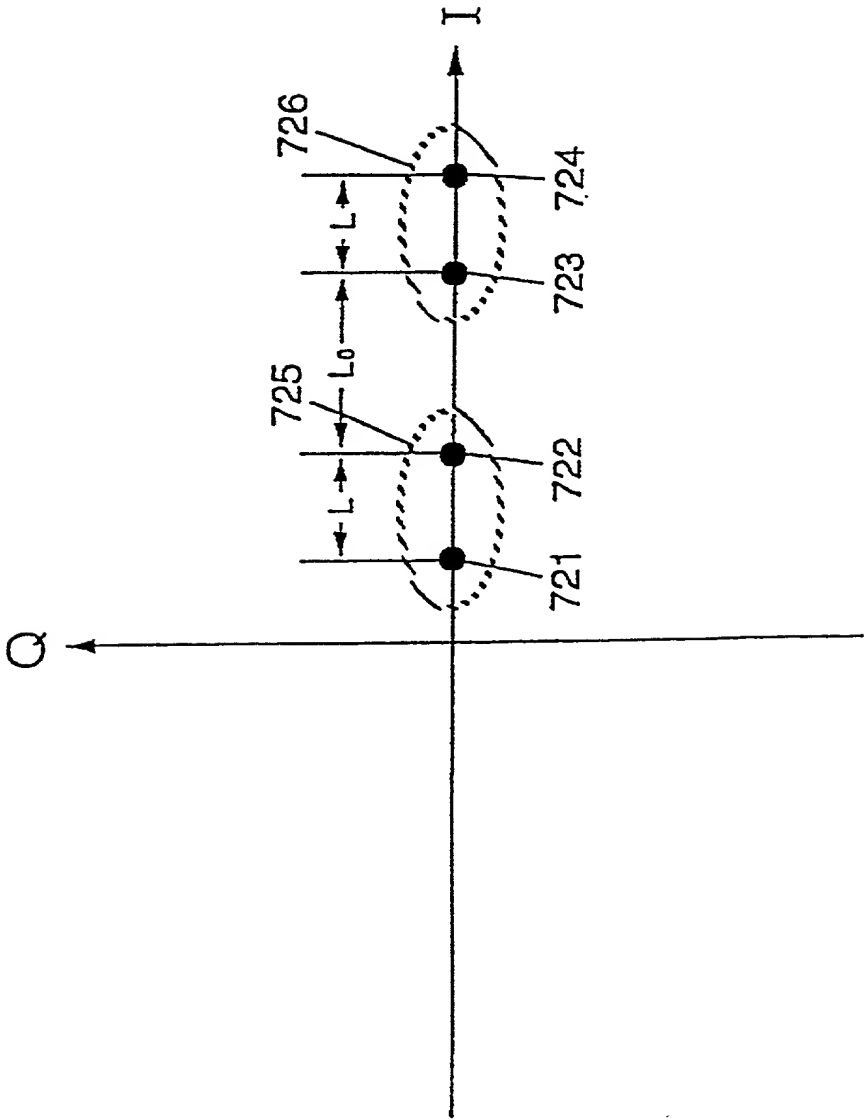


FIG. 59(a)

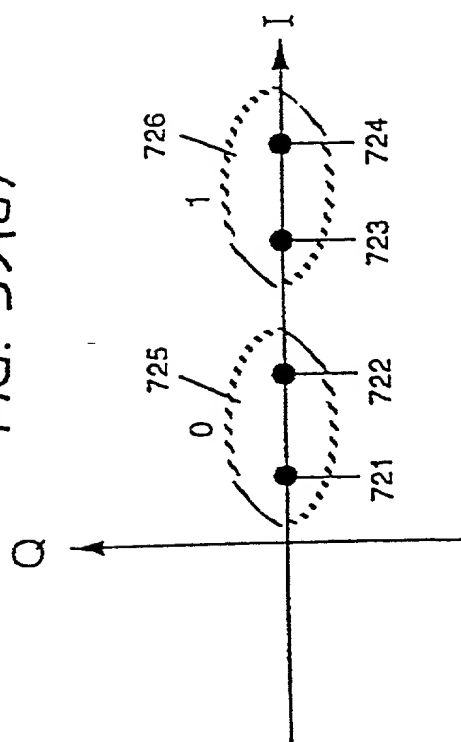


FIG. 59(c)

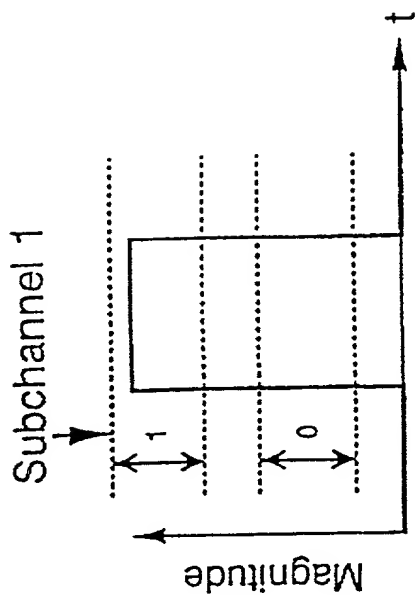


FIG. 59(b)

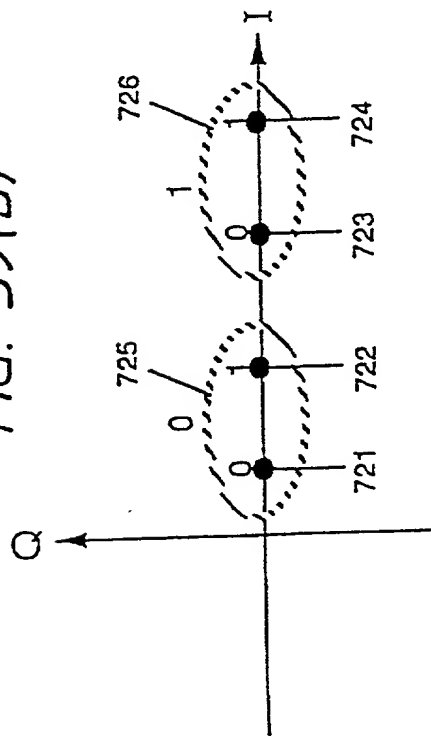


FIG. 59(d)

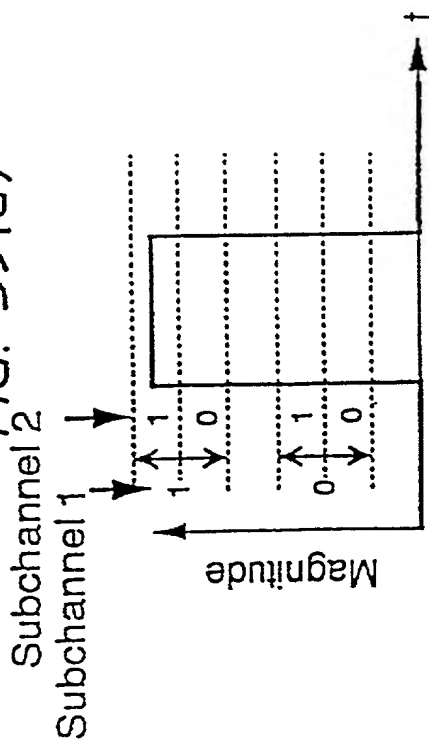


FIG. 60

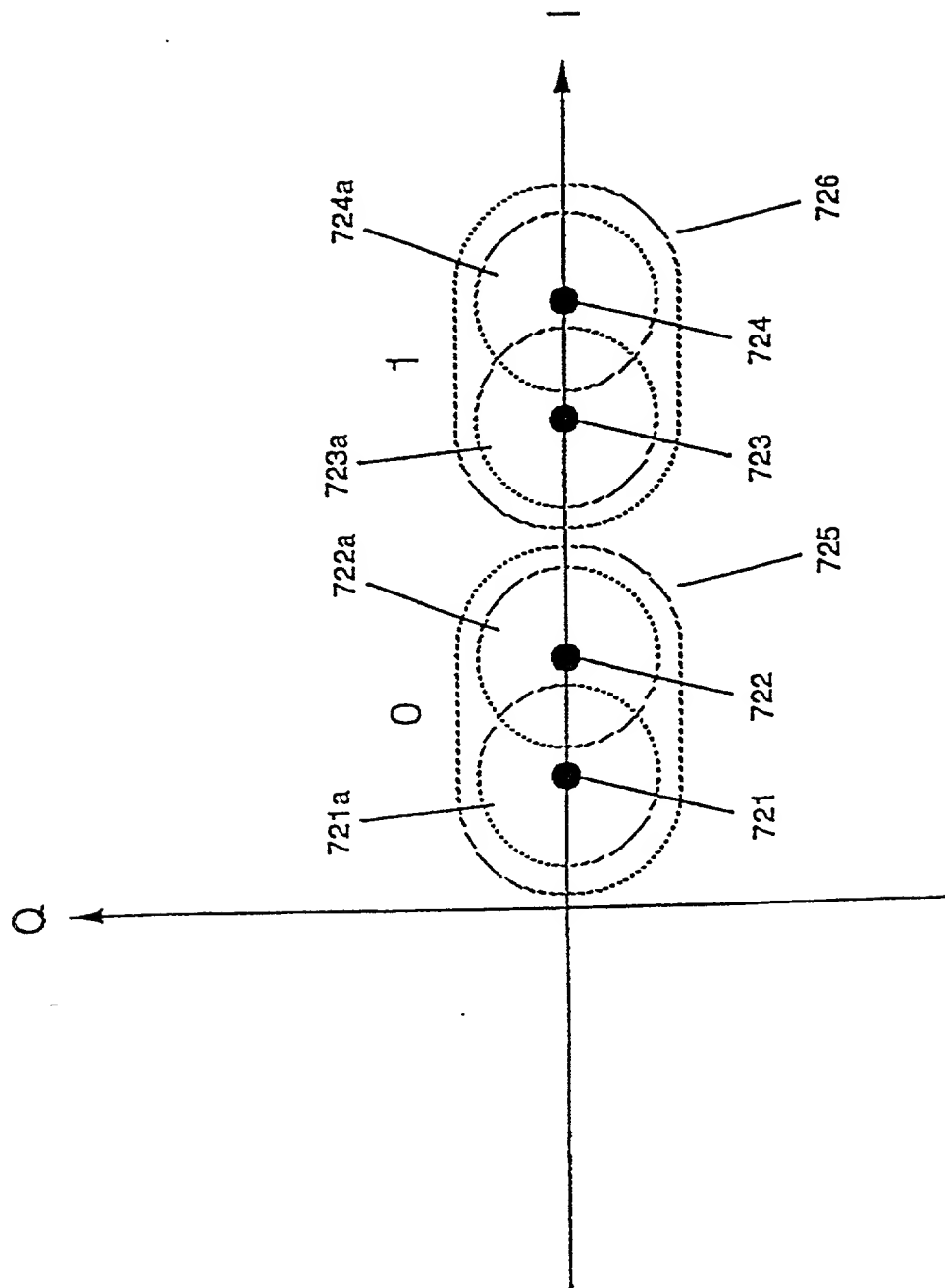




FIG. 61

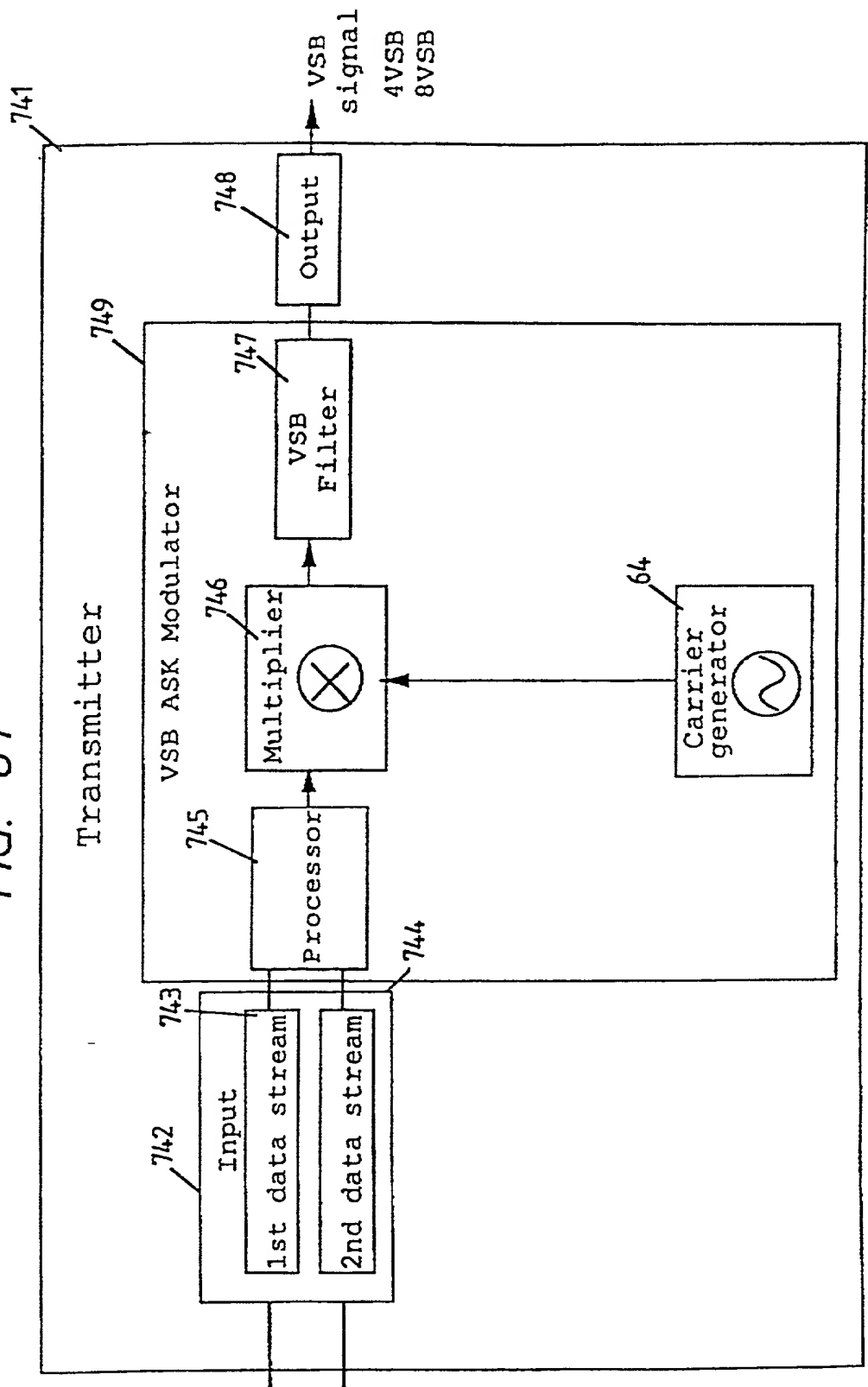


FIG. 62(a)

Spectrum of ASK Signal

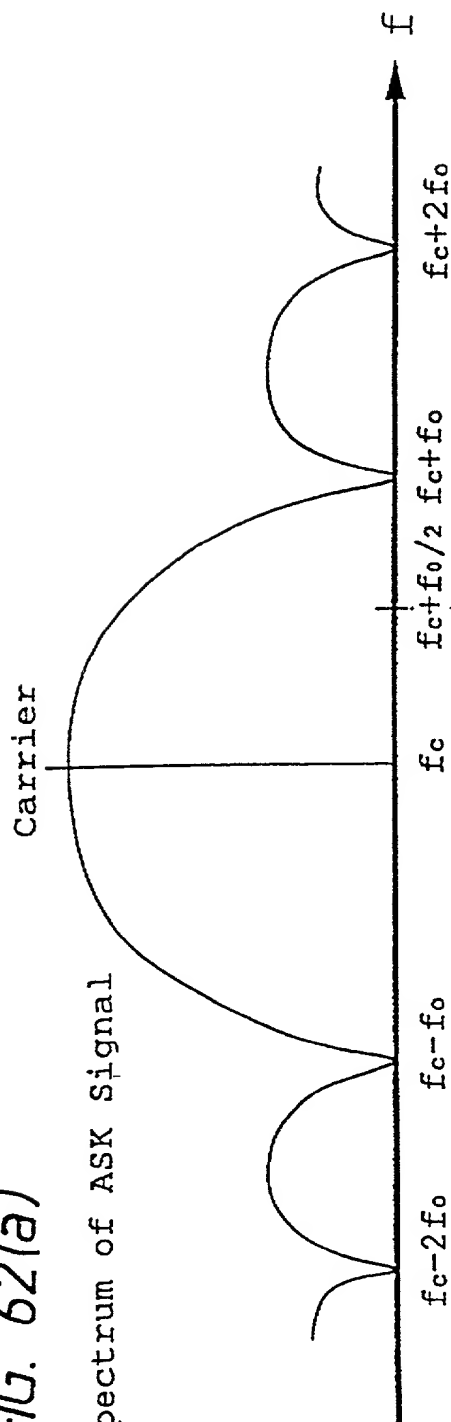


FIG. 62(b)

Characteristics of VSB Filter

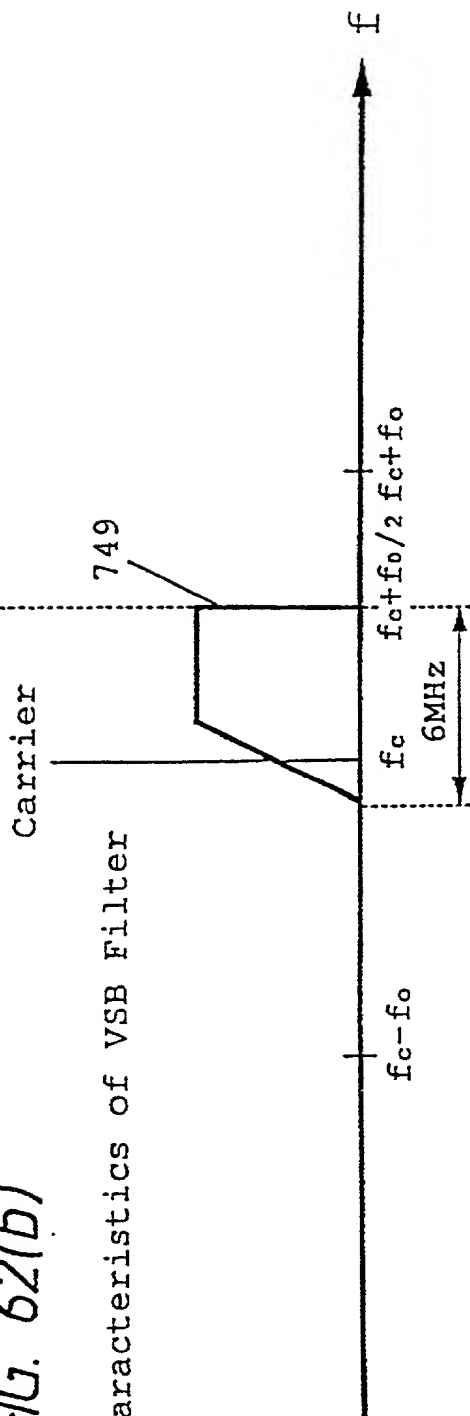


FIG. 63

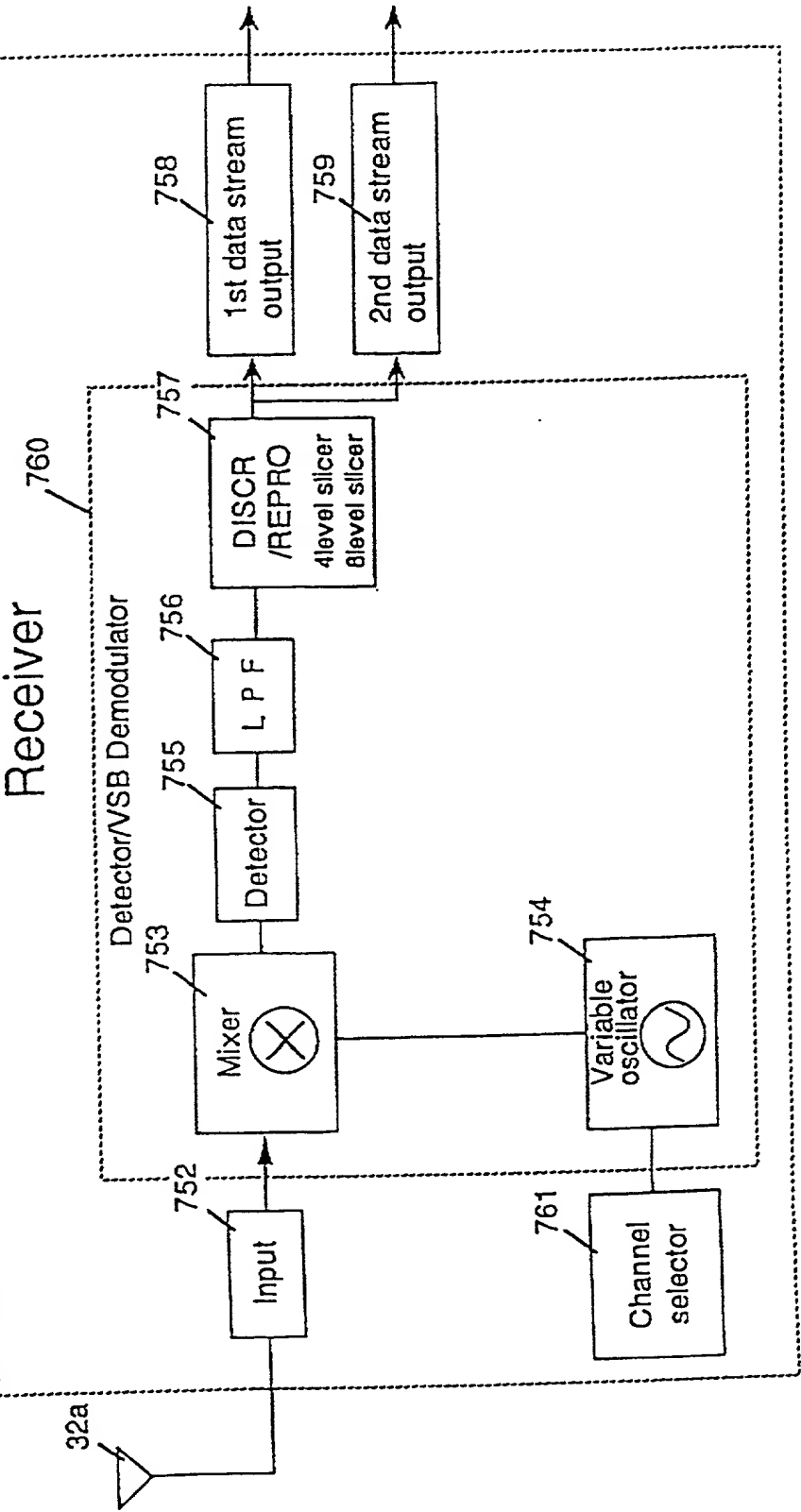


FIG. 64

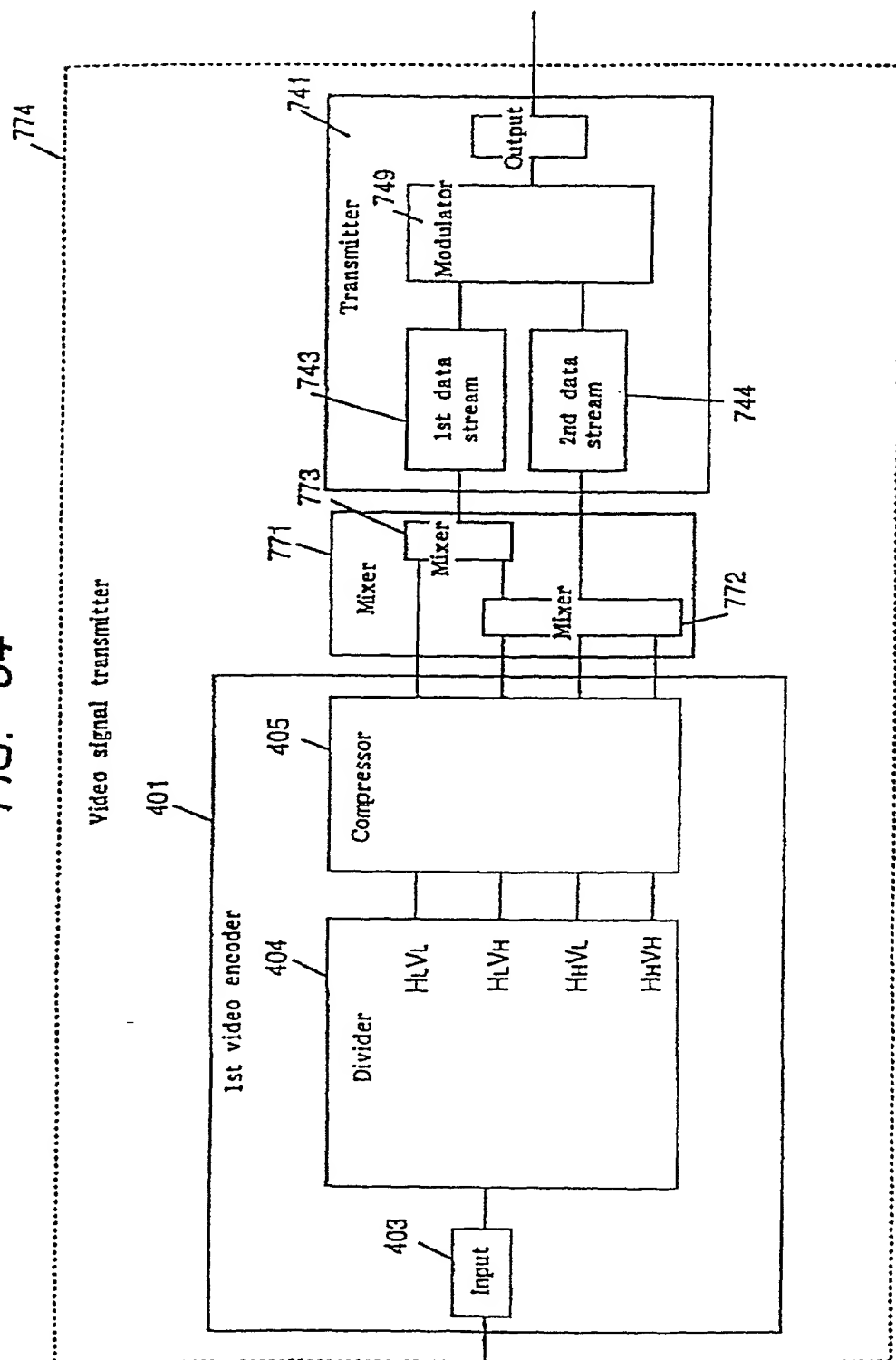


FIG. 65

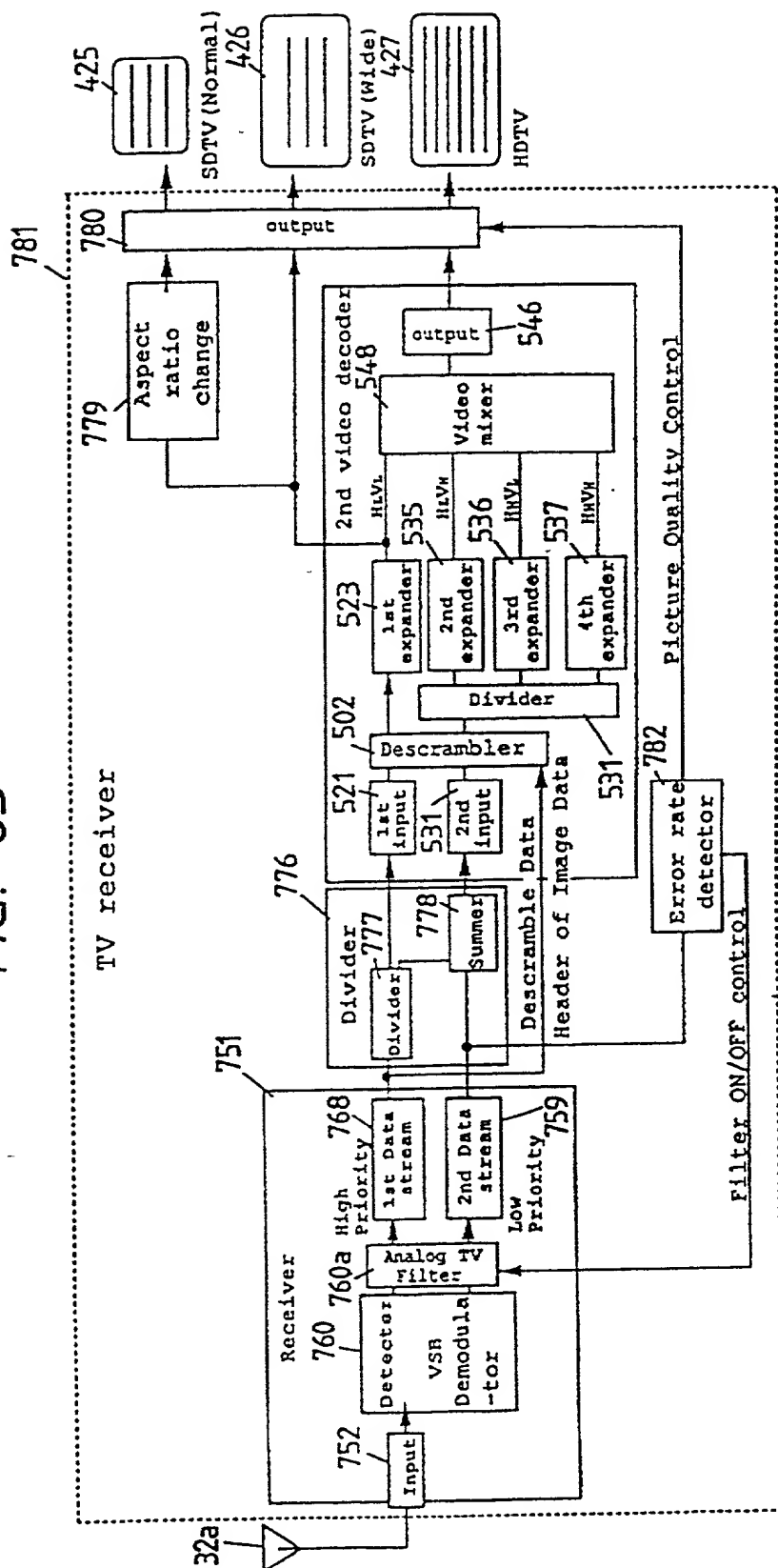


FIG. 66

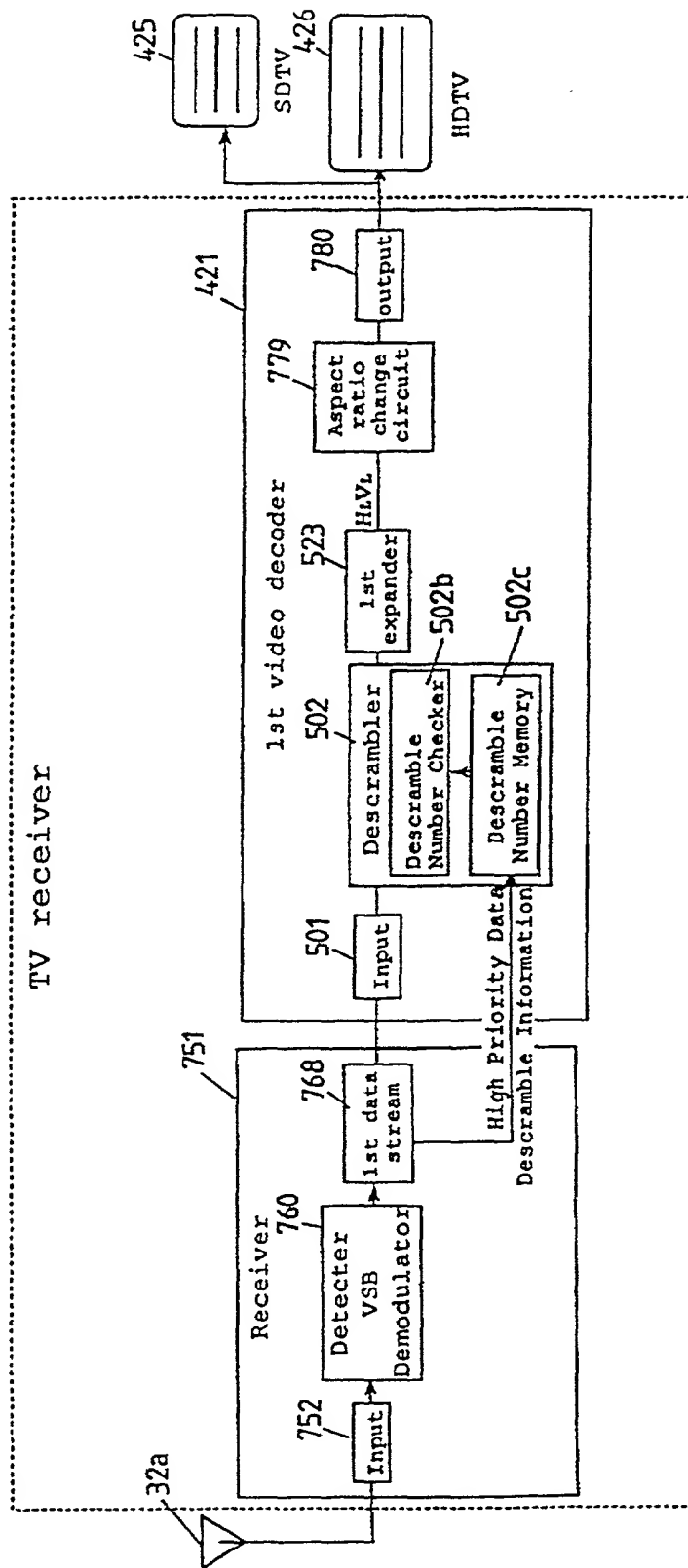


FIG. 67

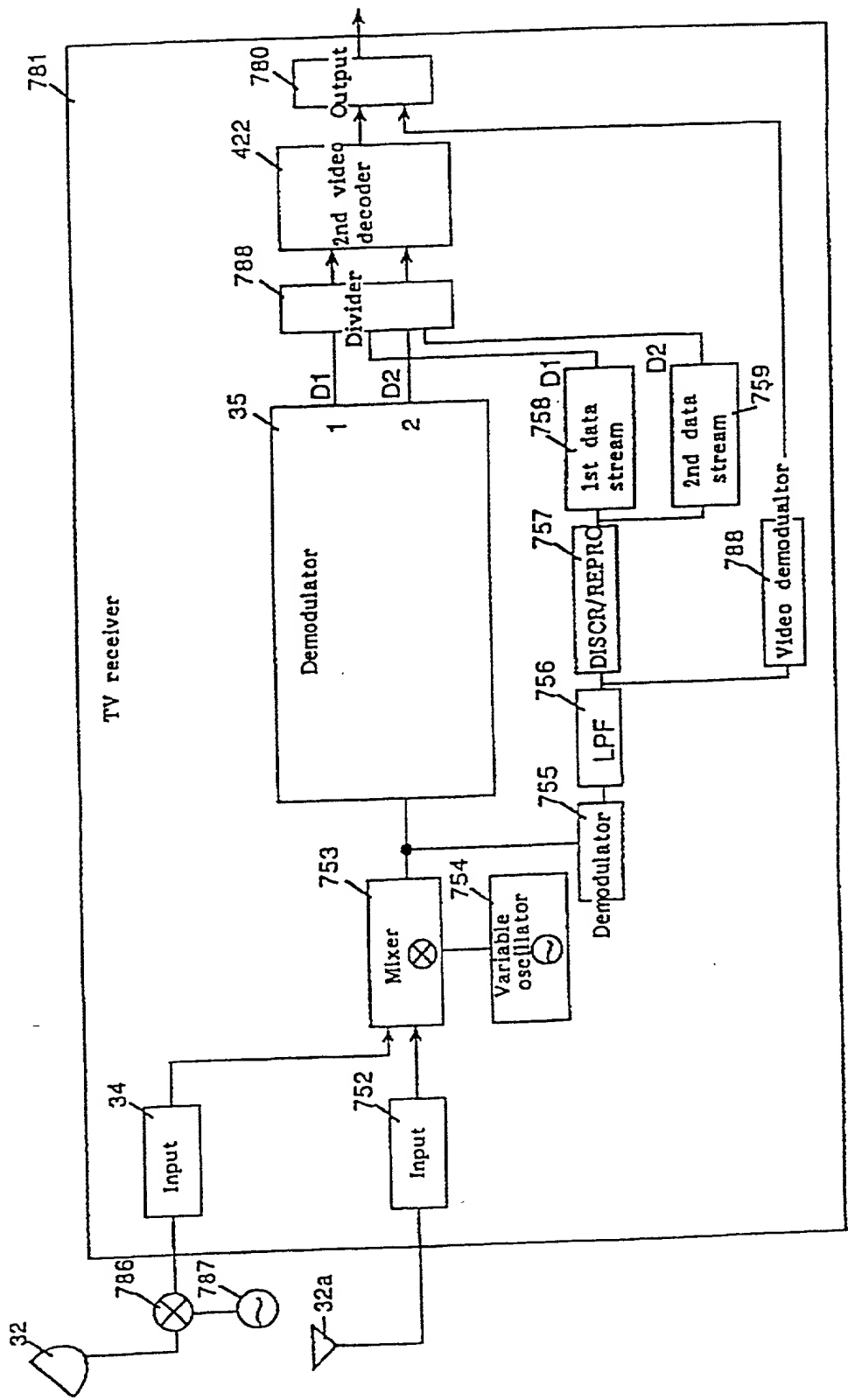


FIG. 68(a)

8-VSB

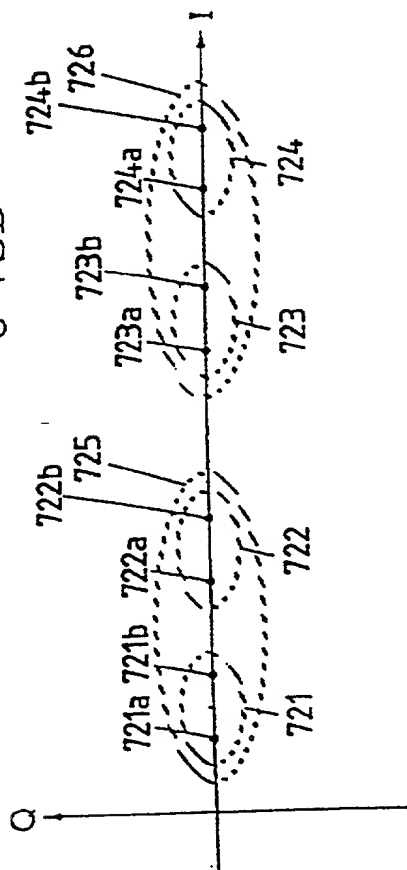


FIG. 68(b)

8-VSB ( $L=L_0$ )

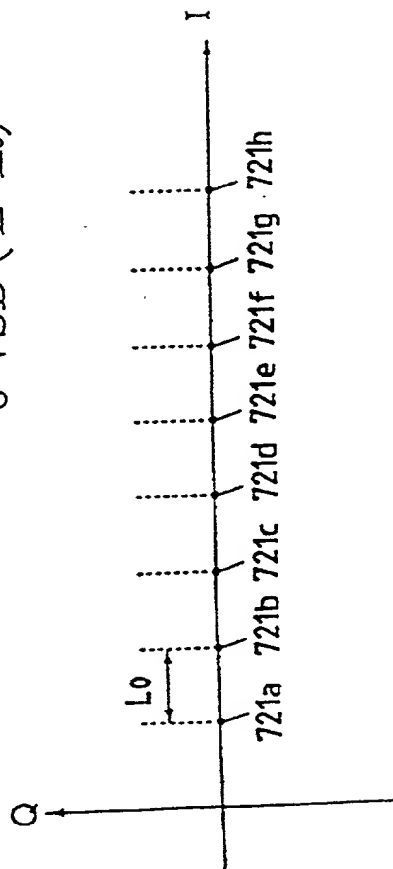


FIG. 68(c)

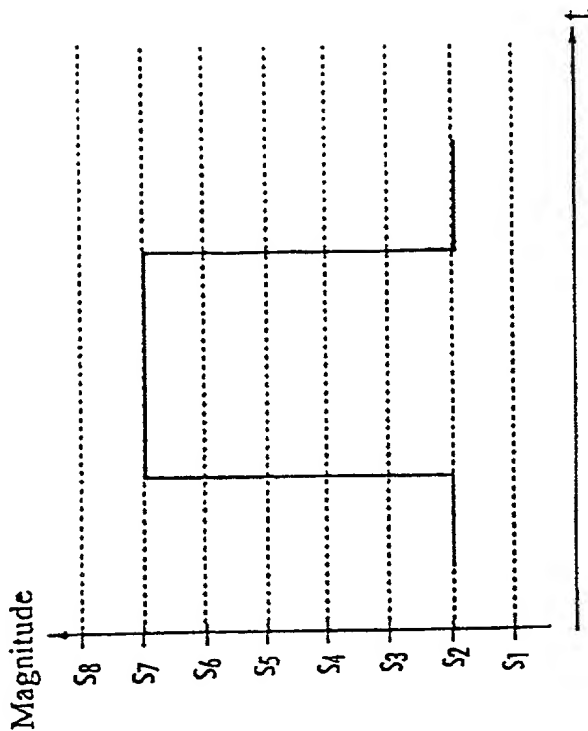




FIG. 69

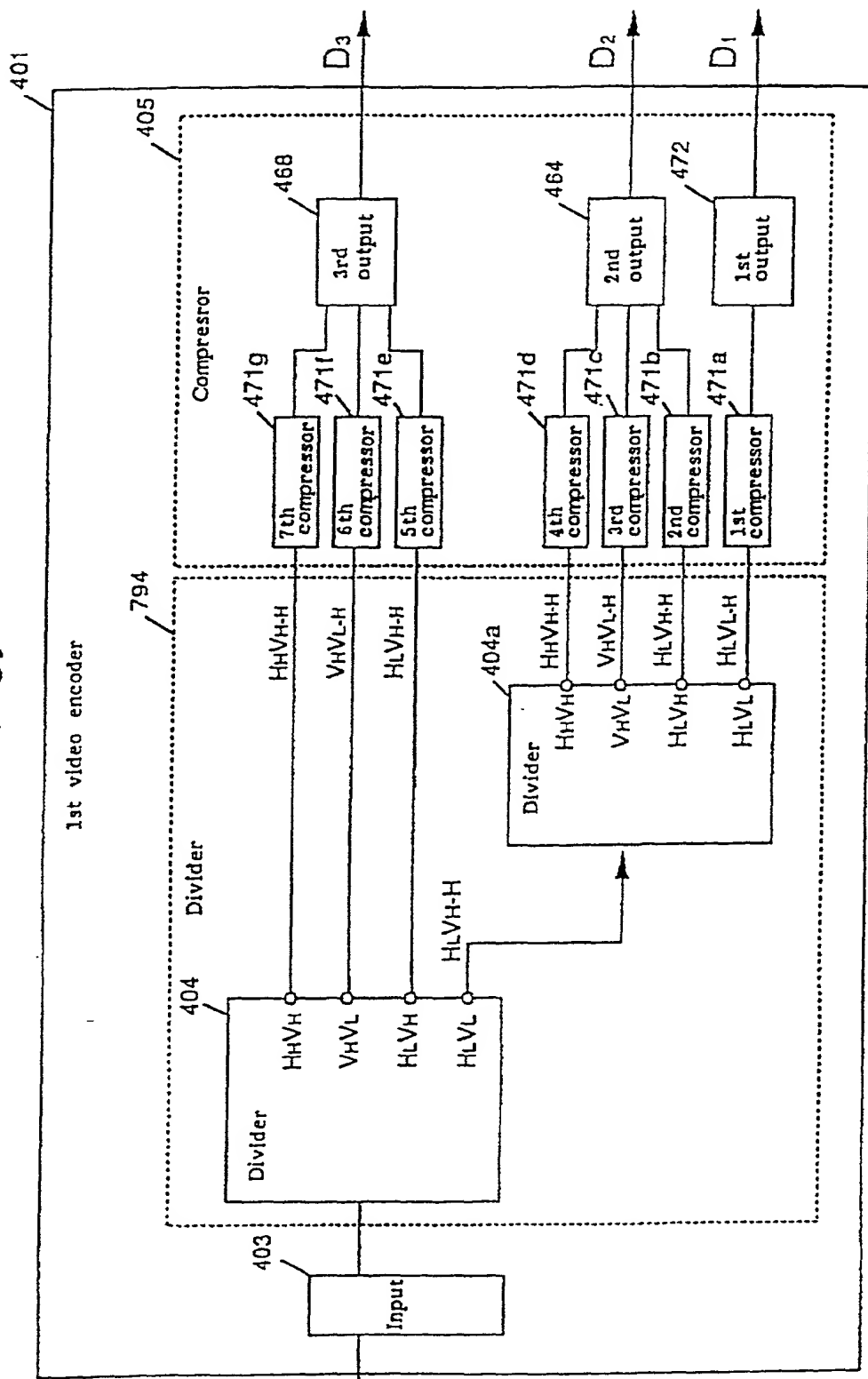


FIG. 70

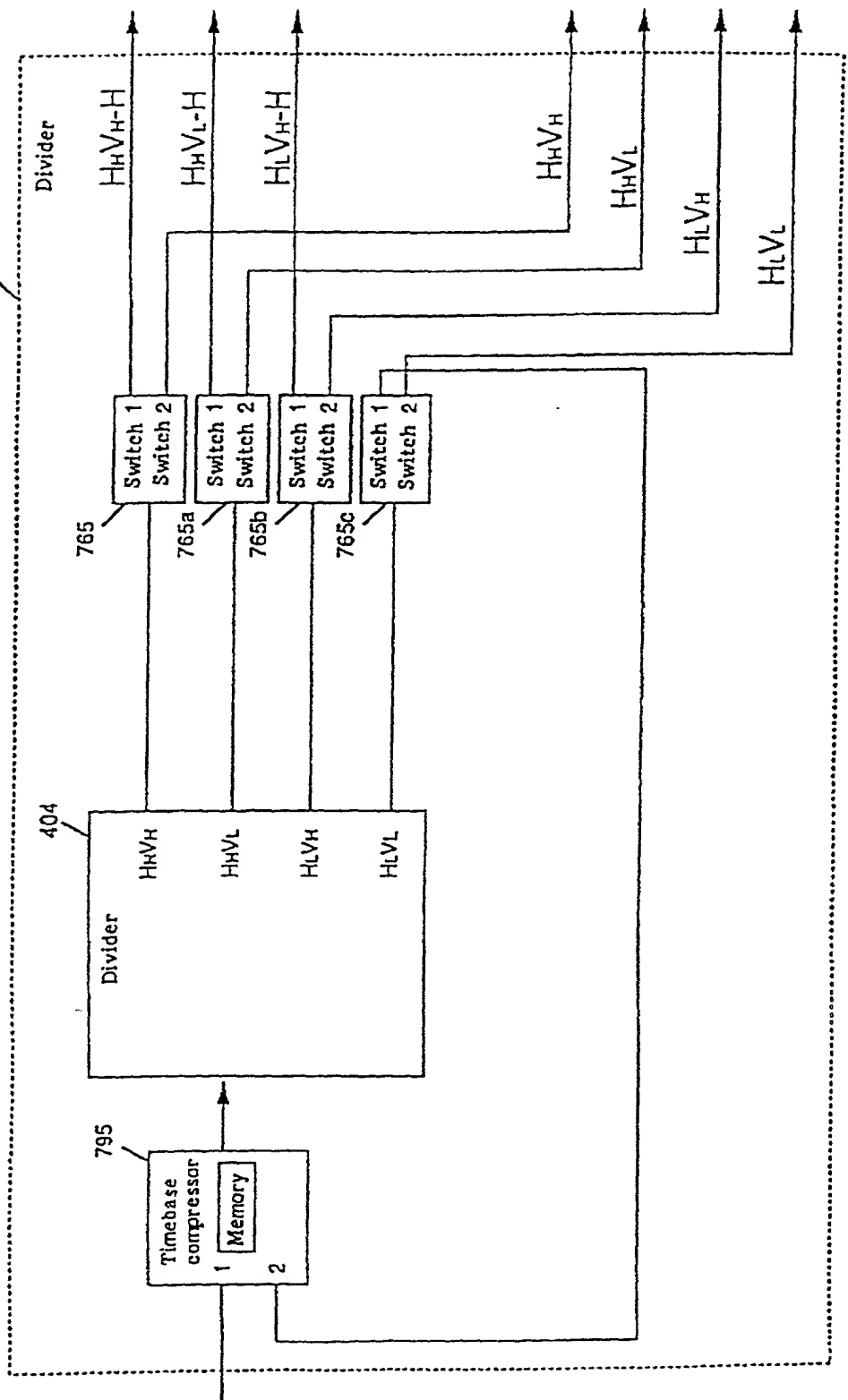


FIG. 71

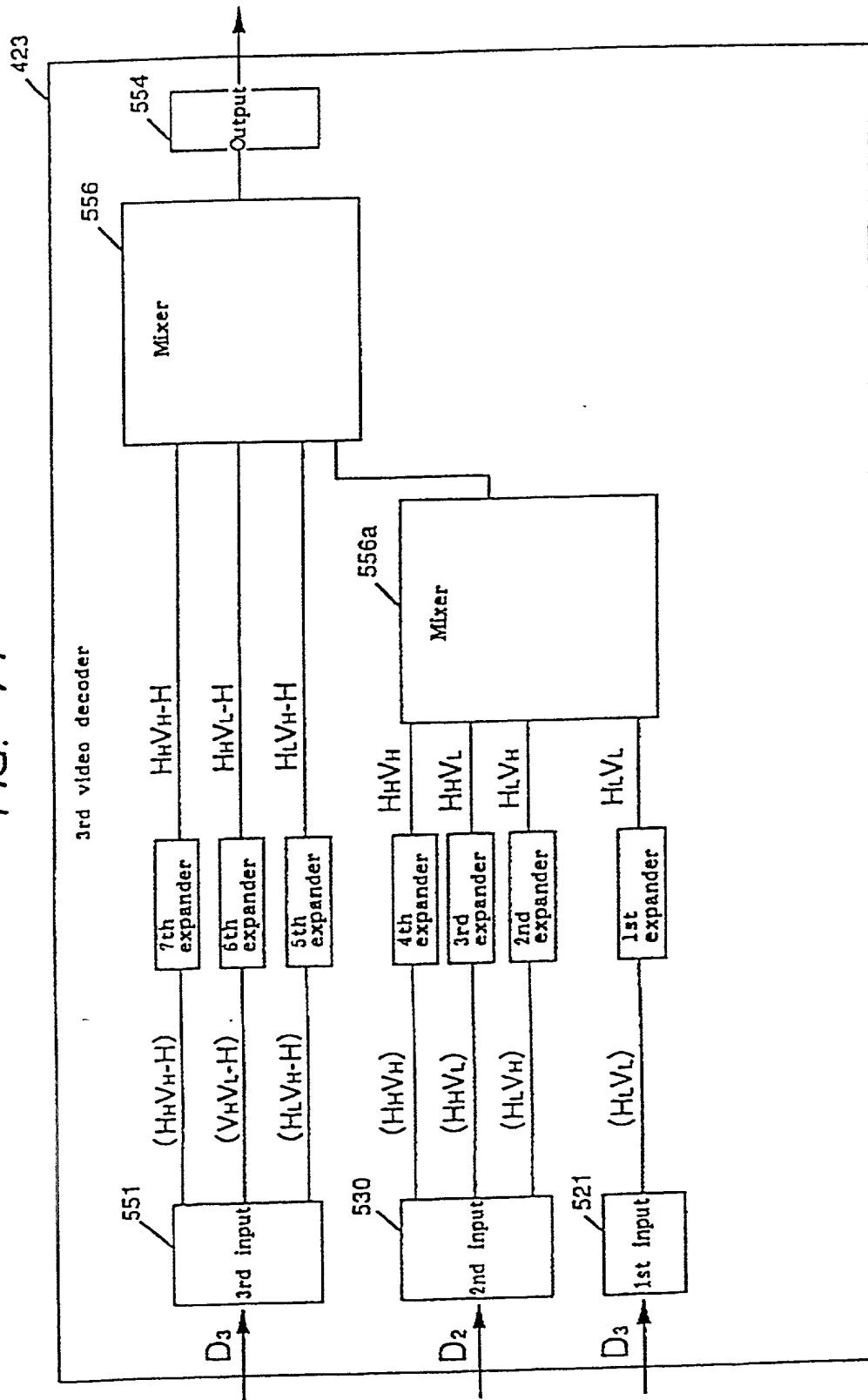


FIG. 72

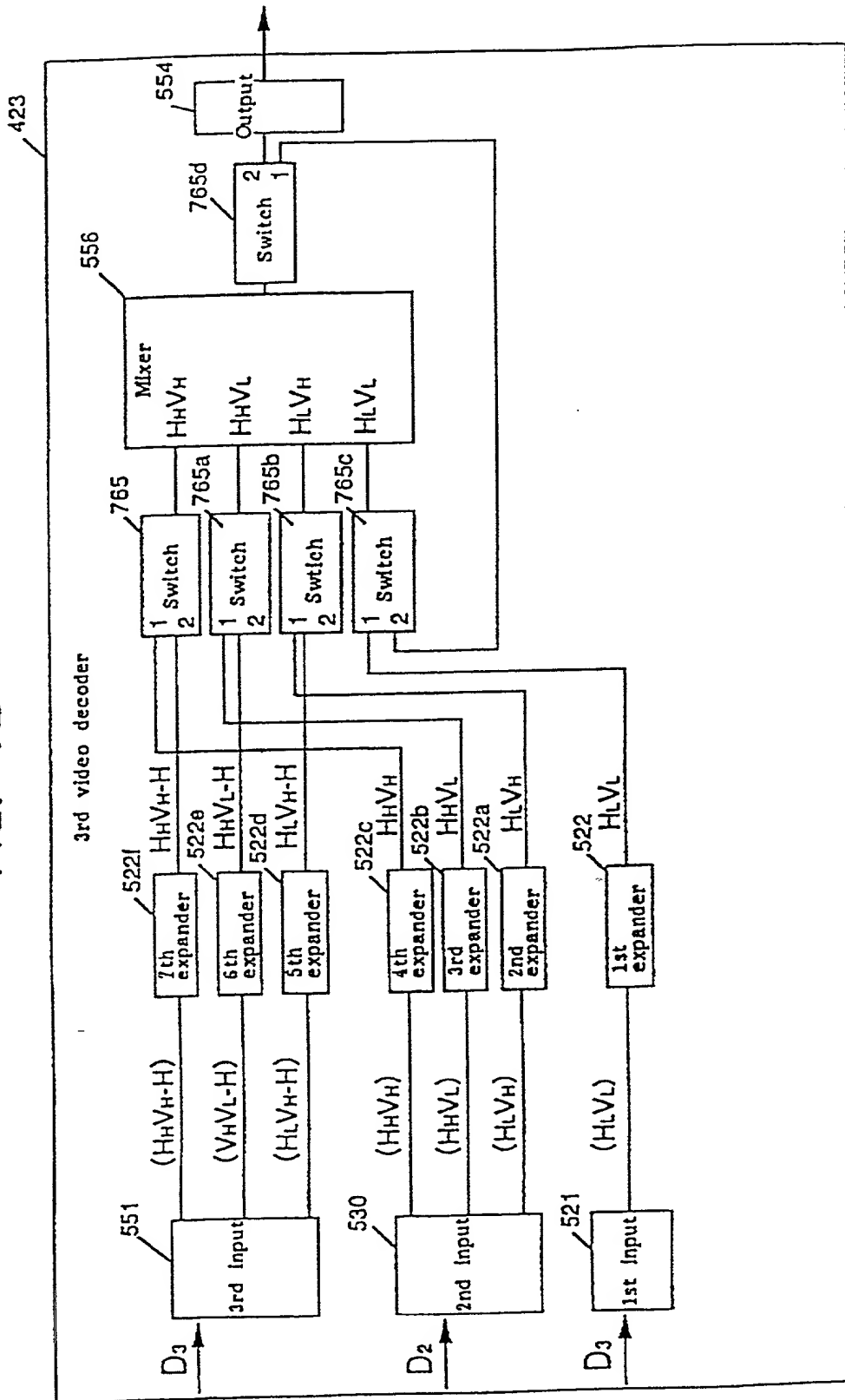
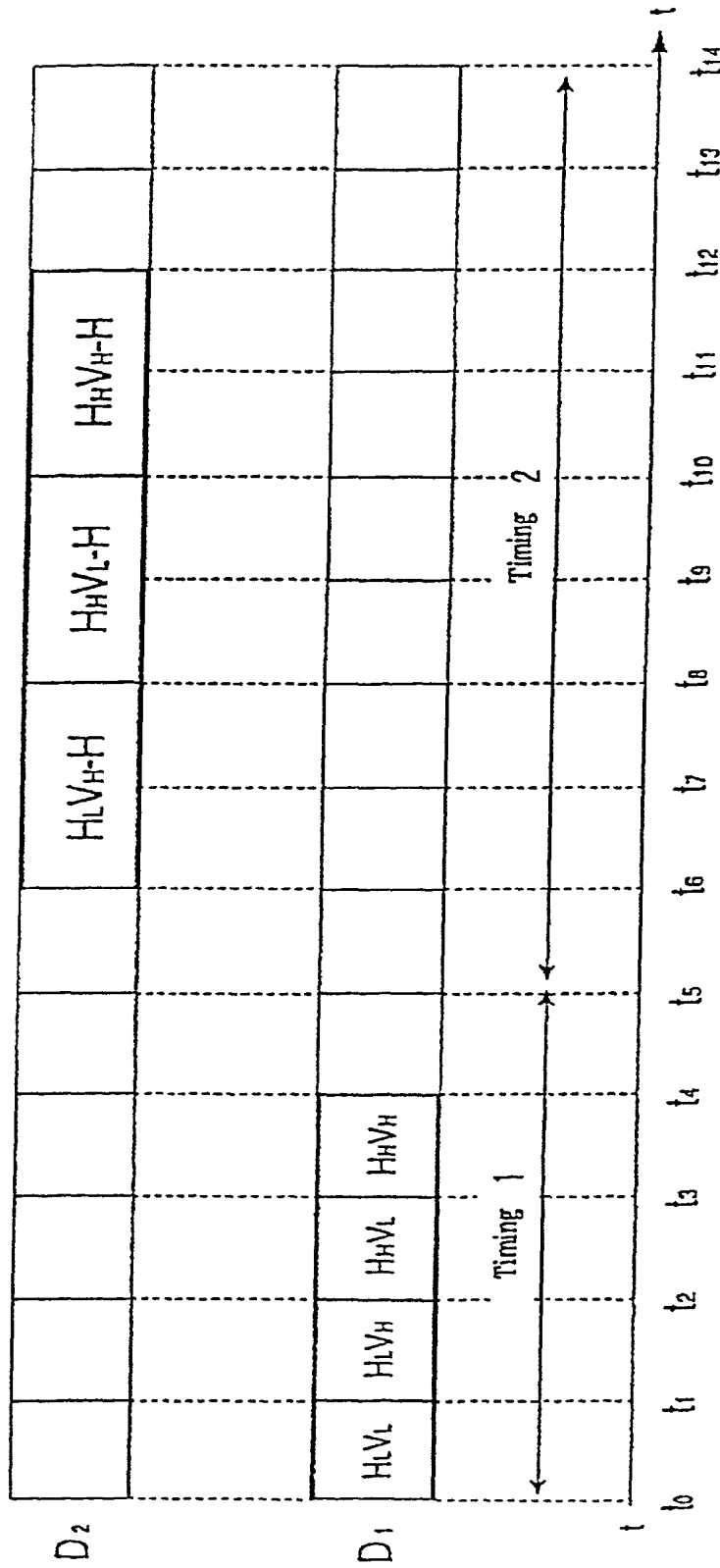


FIG. 73



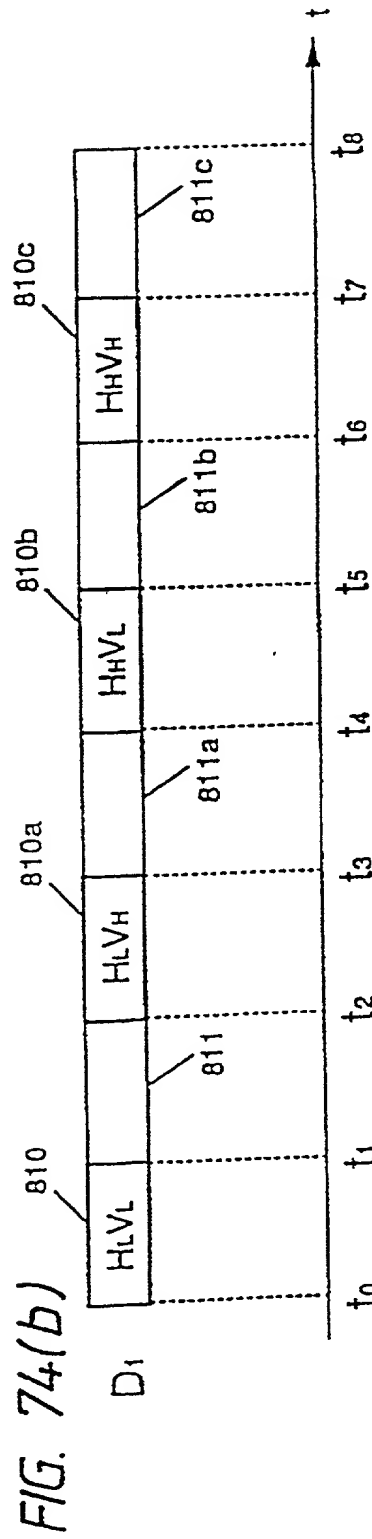
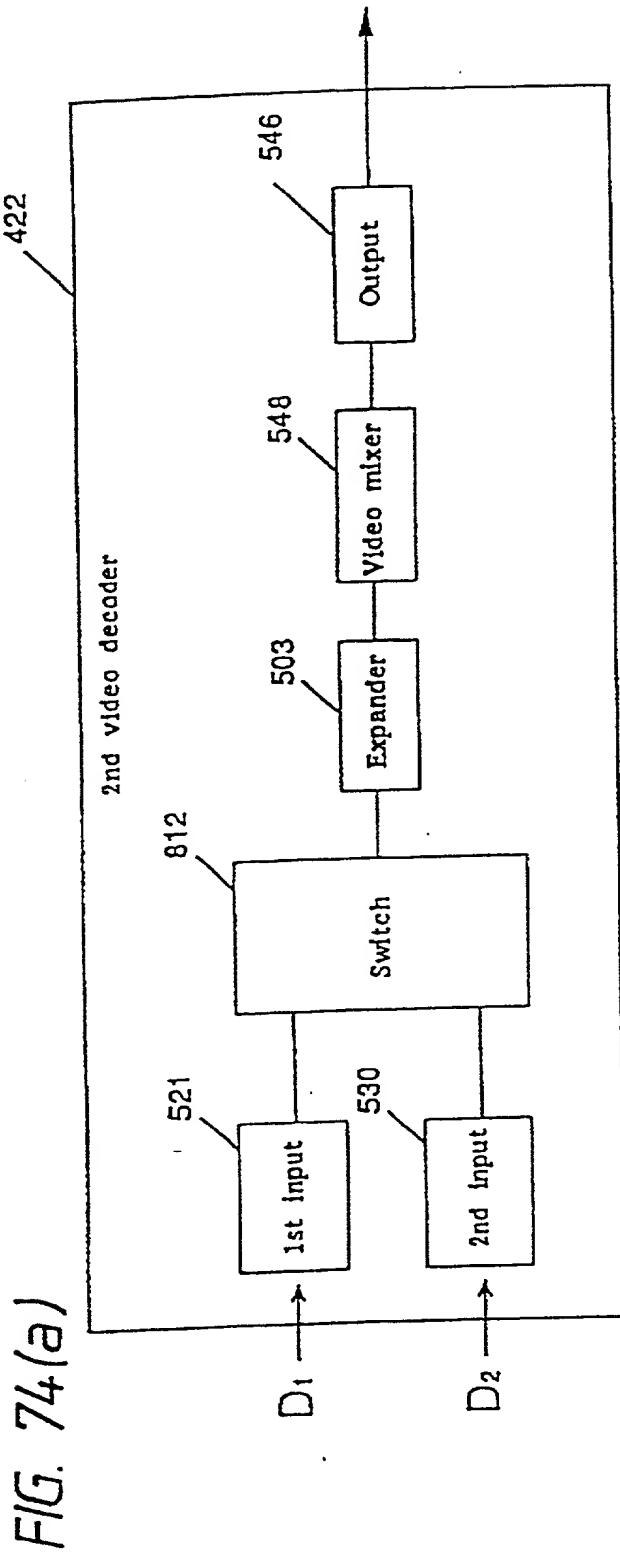


FIG. 75

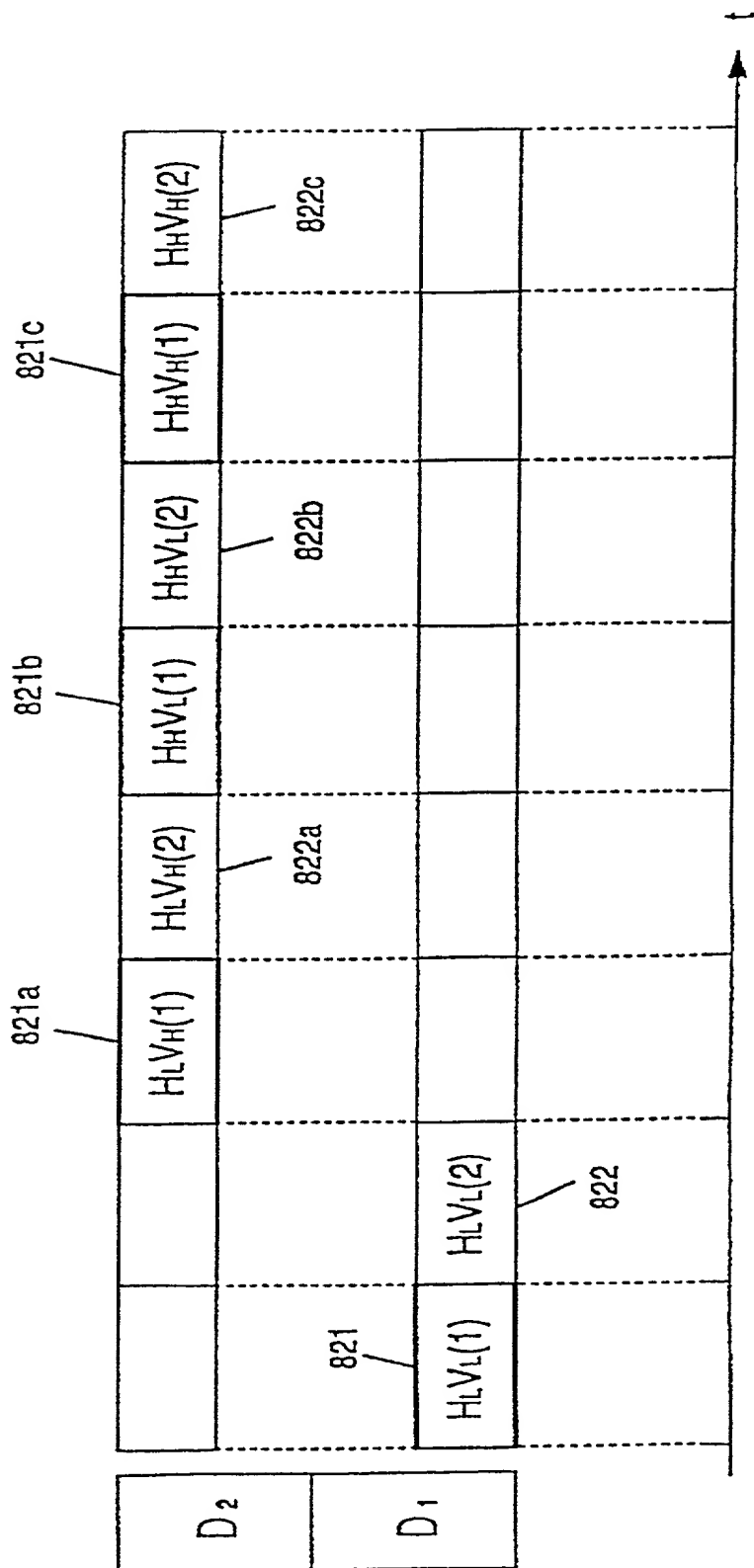
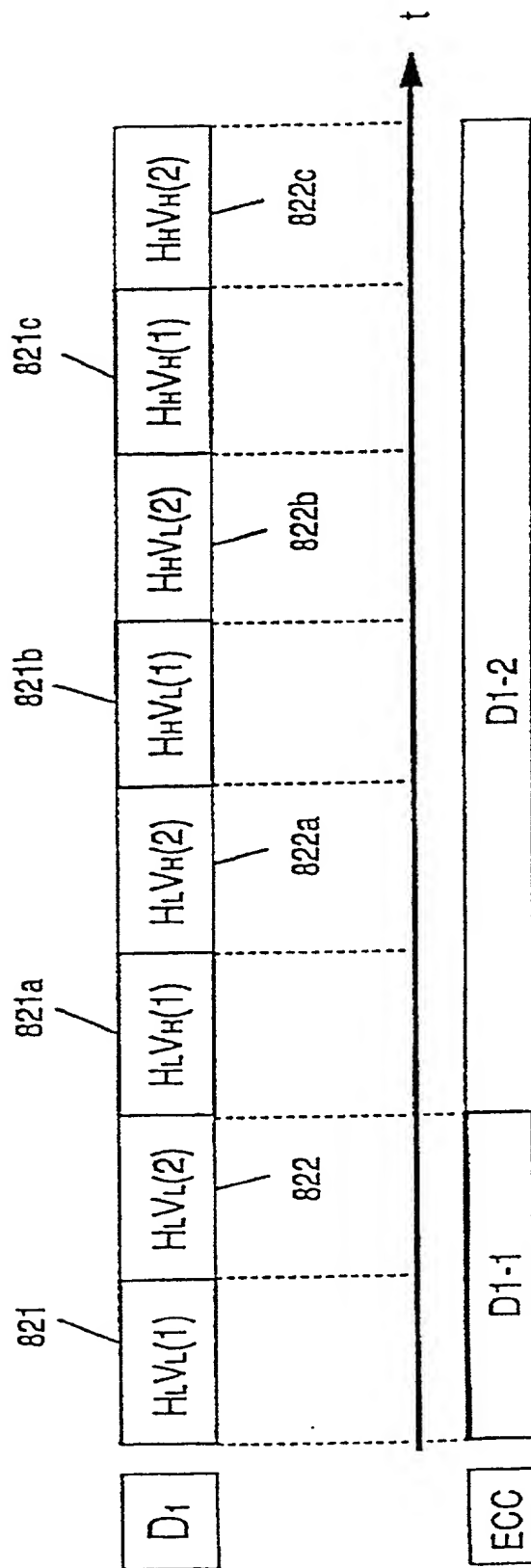


FIG. 76





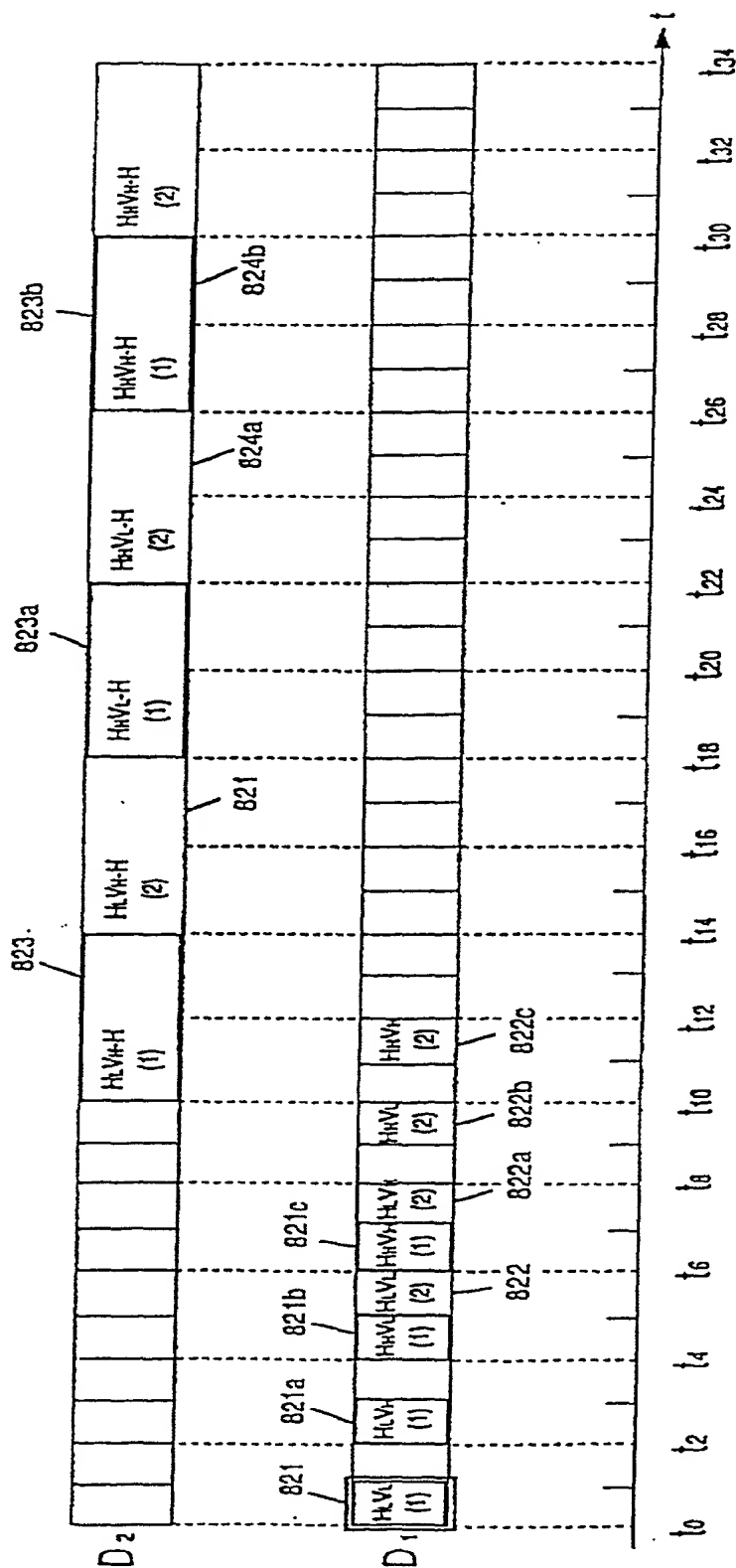


FIG. 78

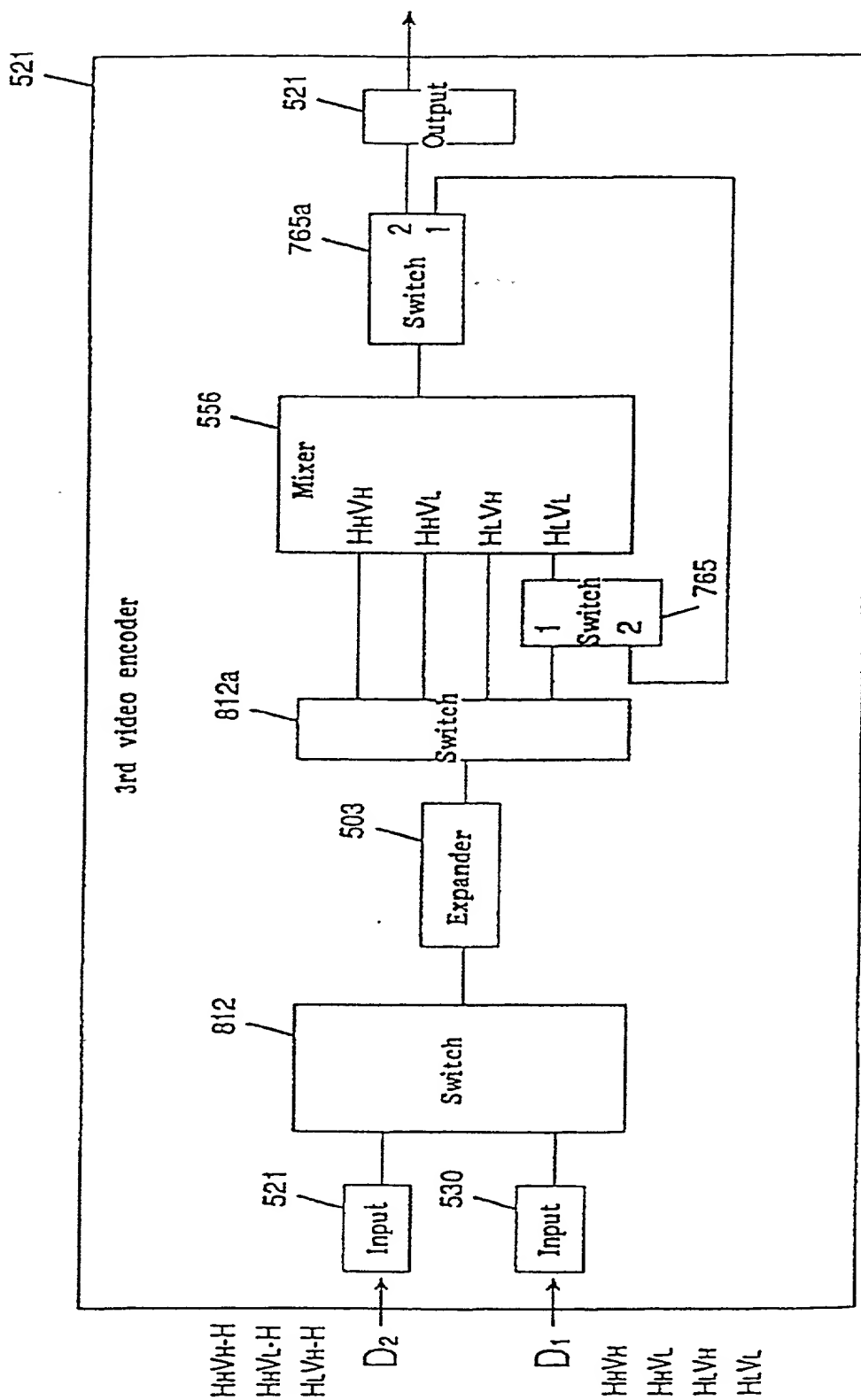


FIG. 79

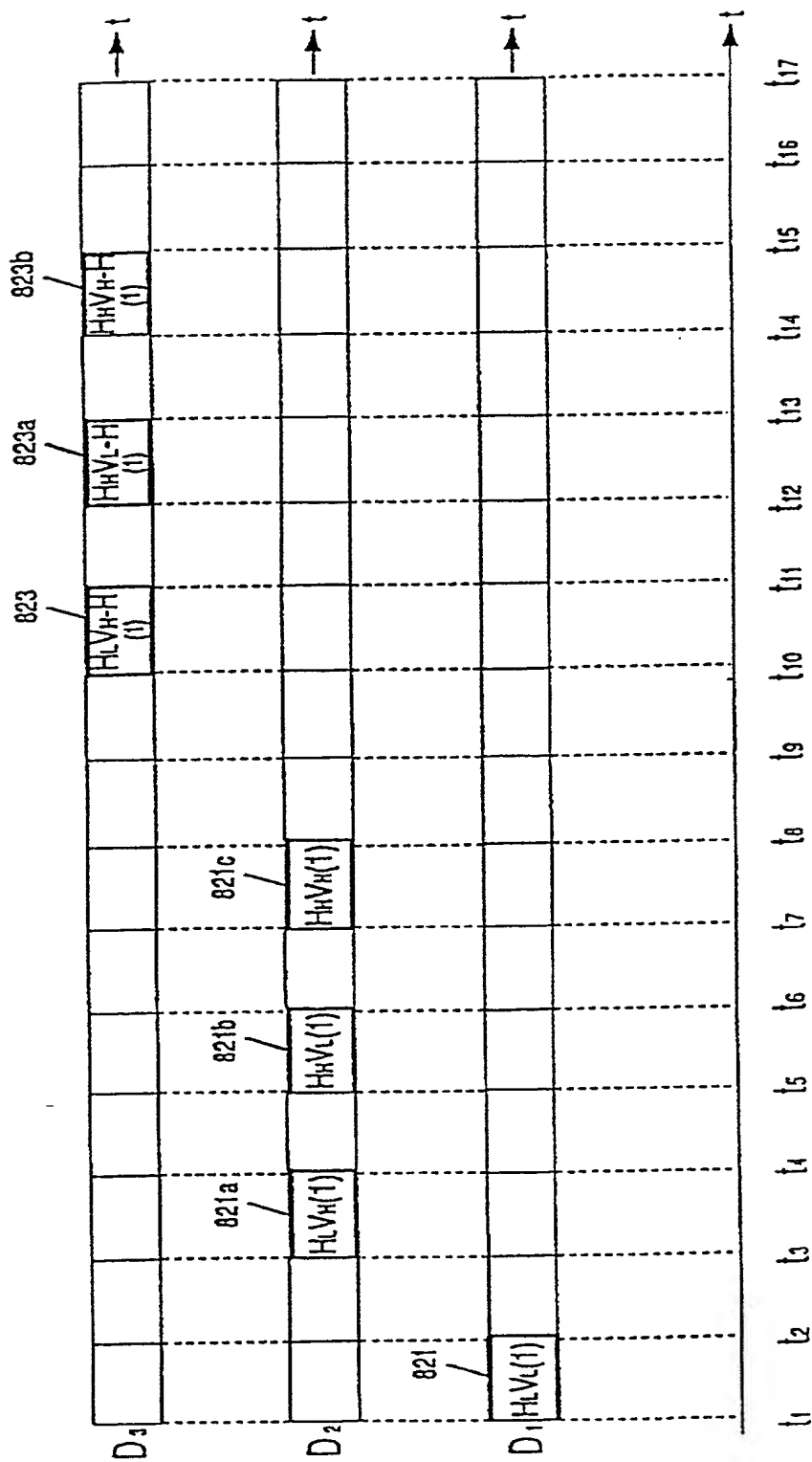
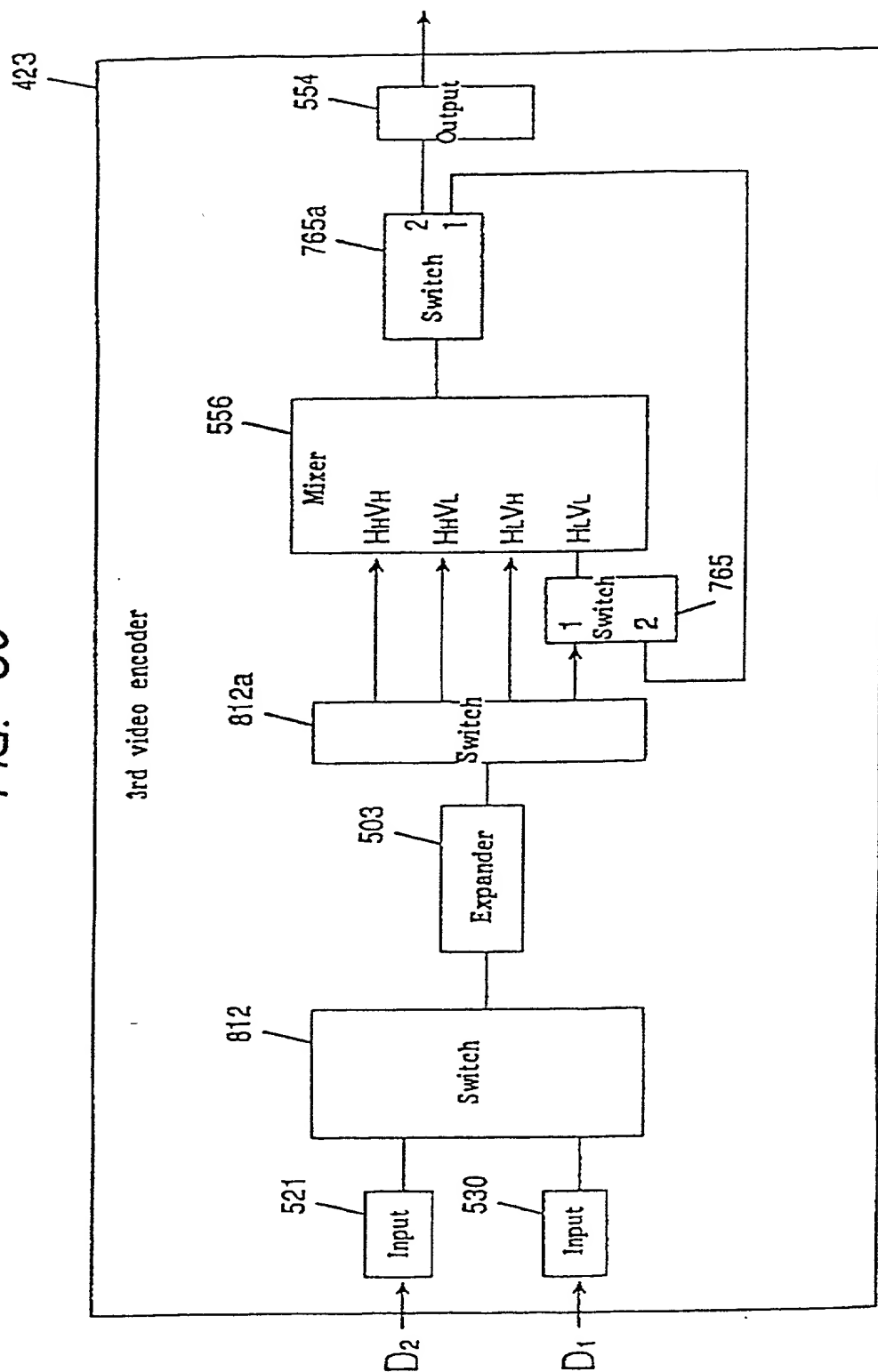


FIG. 80



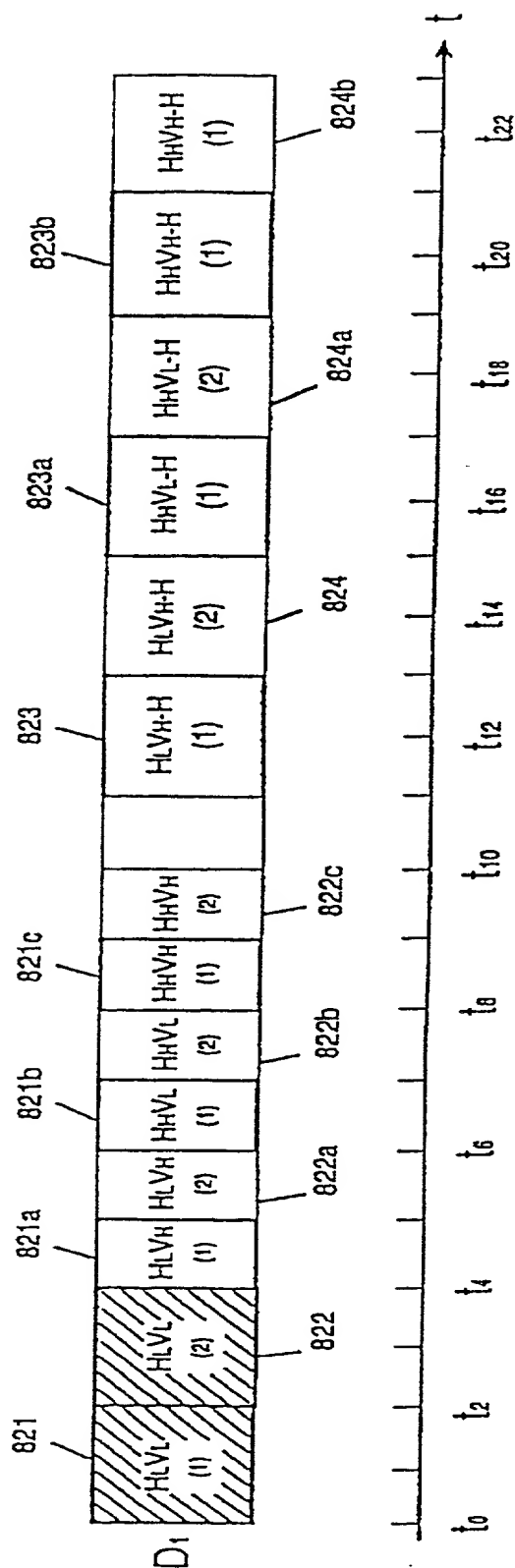


FIG. 82

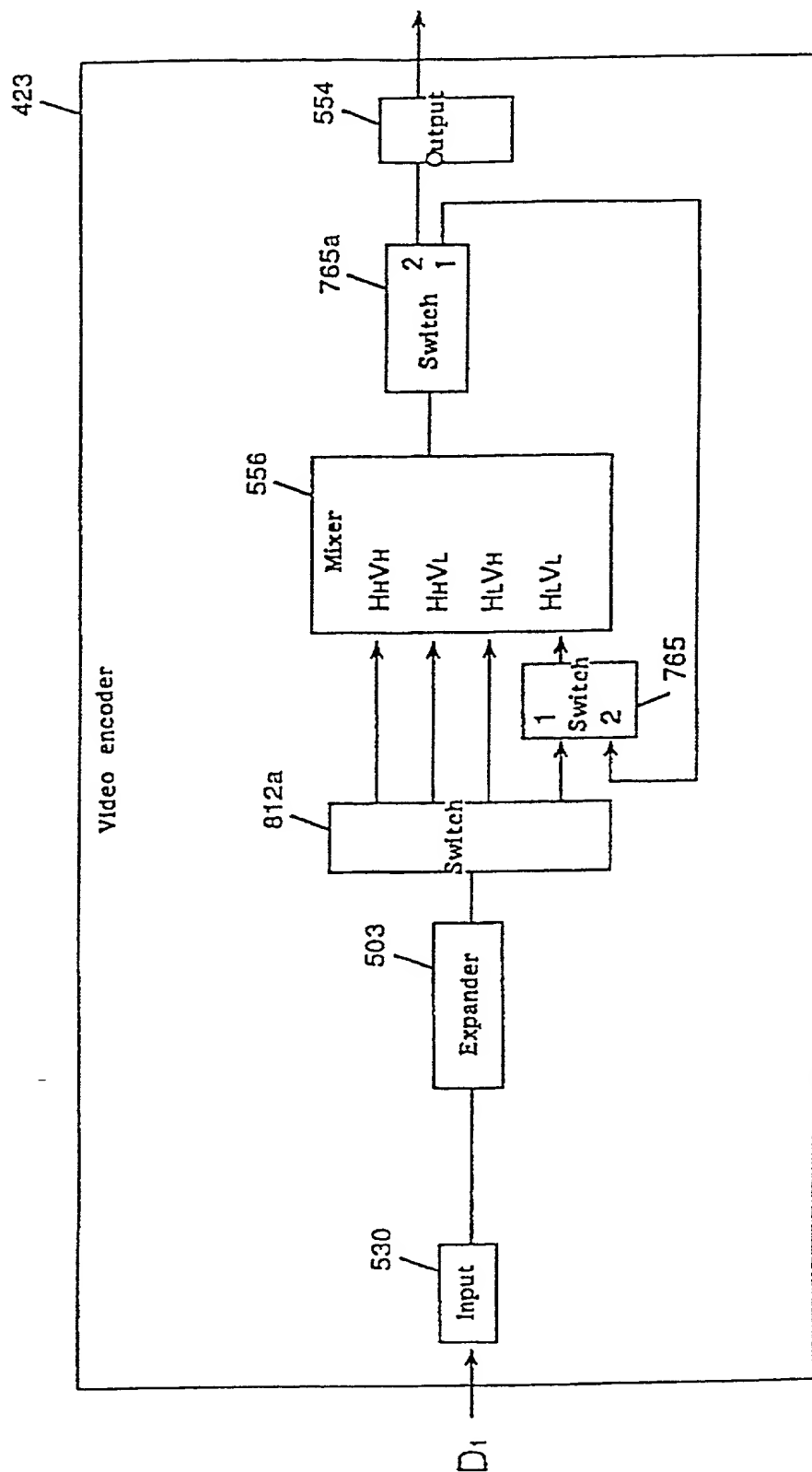


FIG. 83

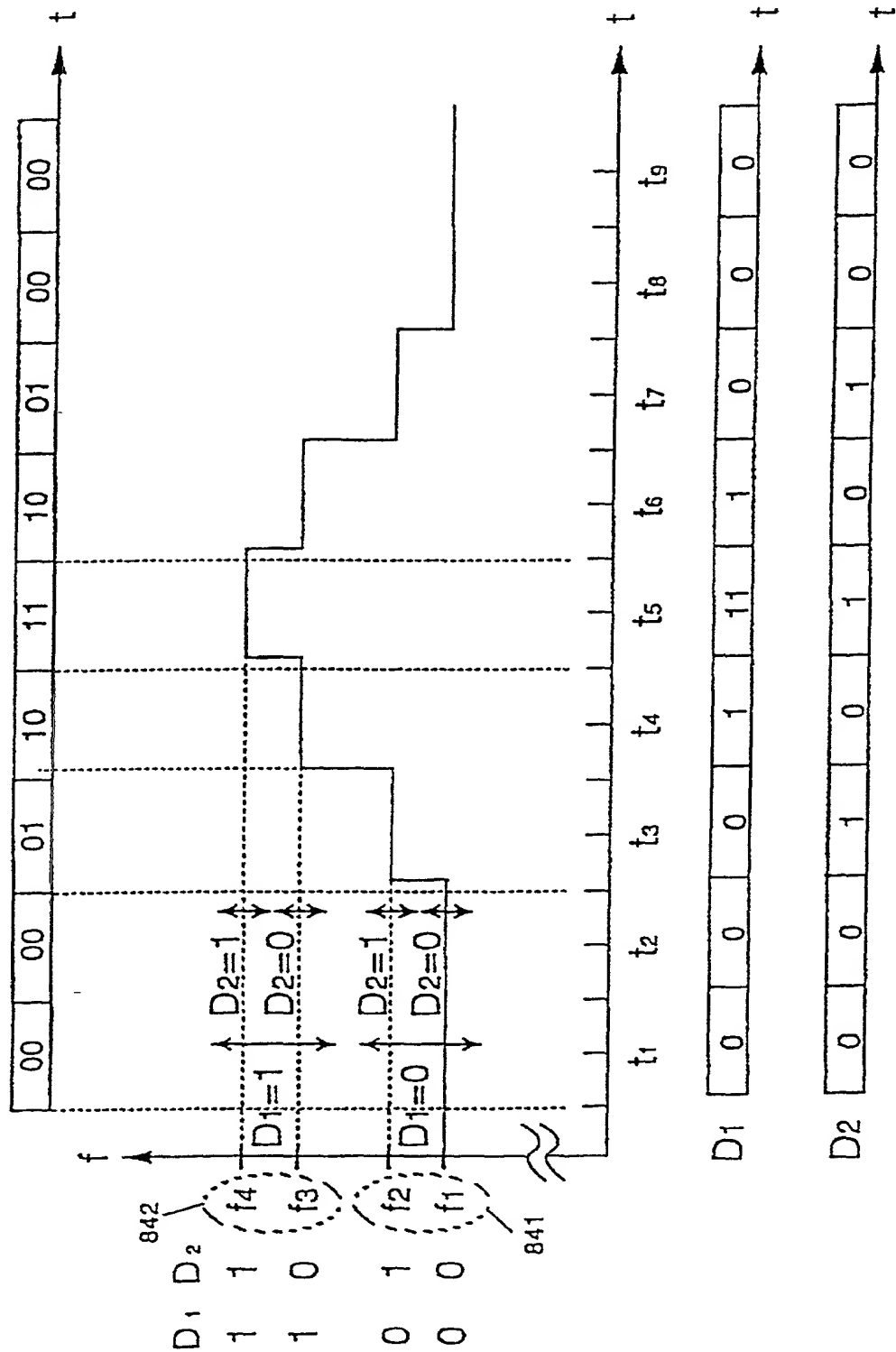


FIG. 84

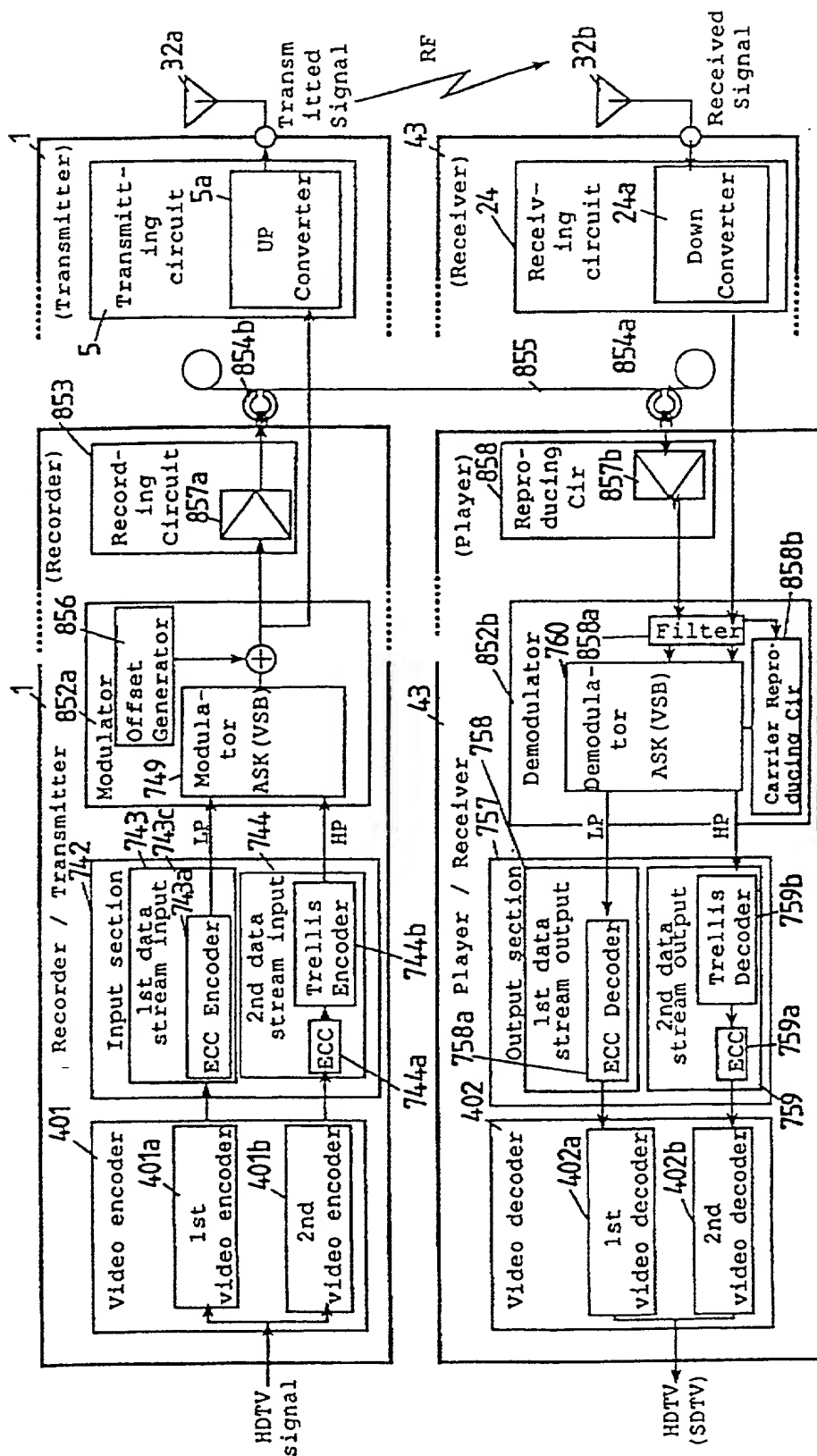
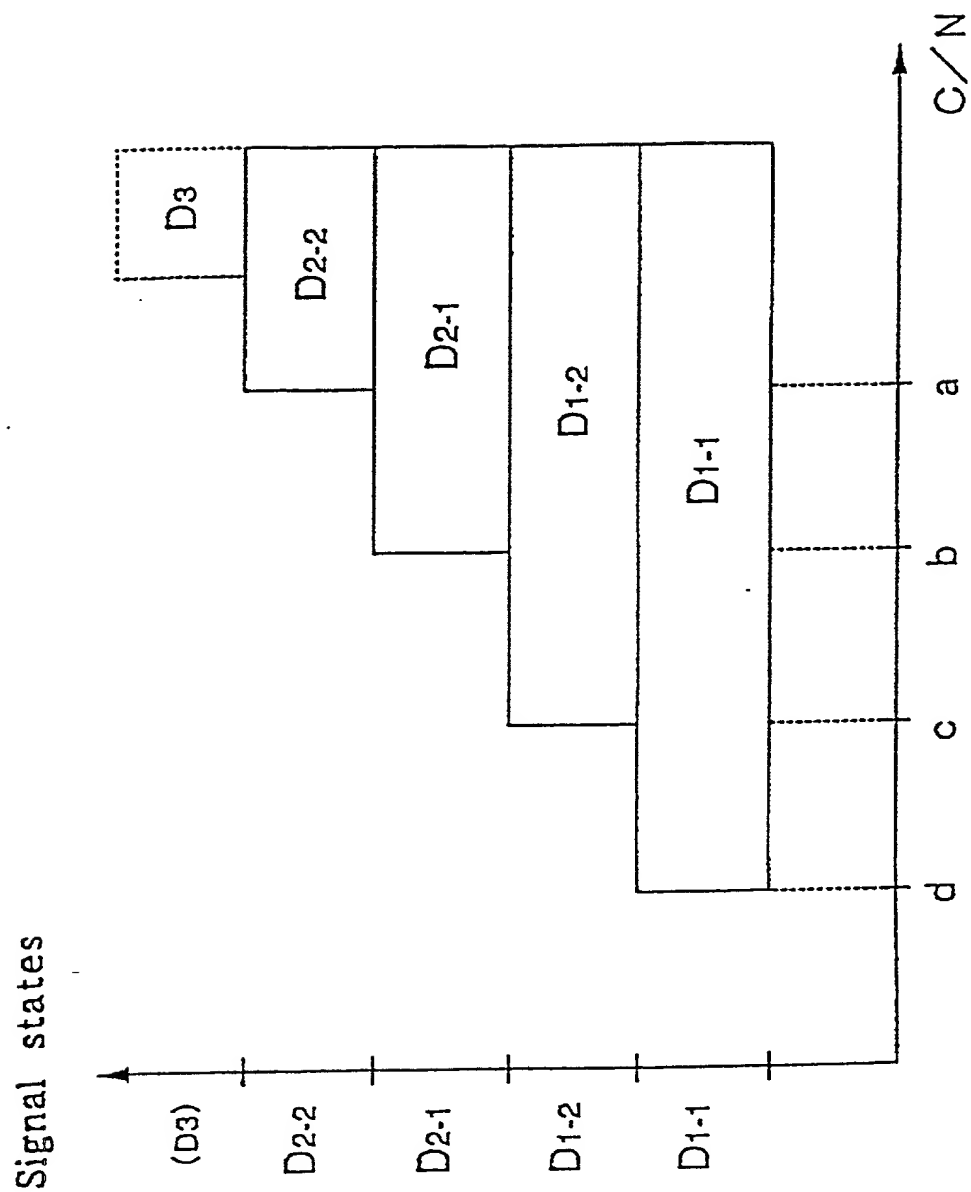




FIG. 85



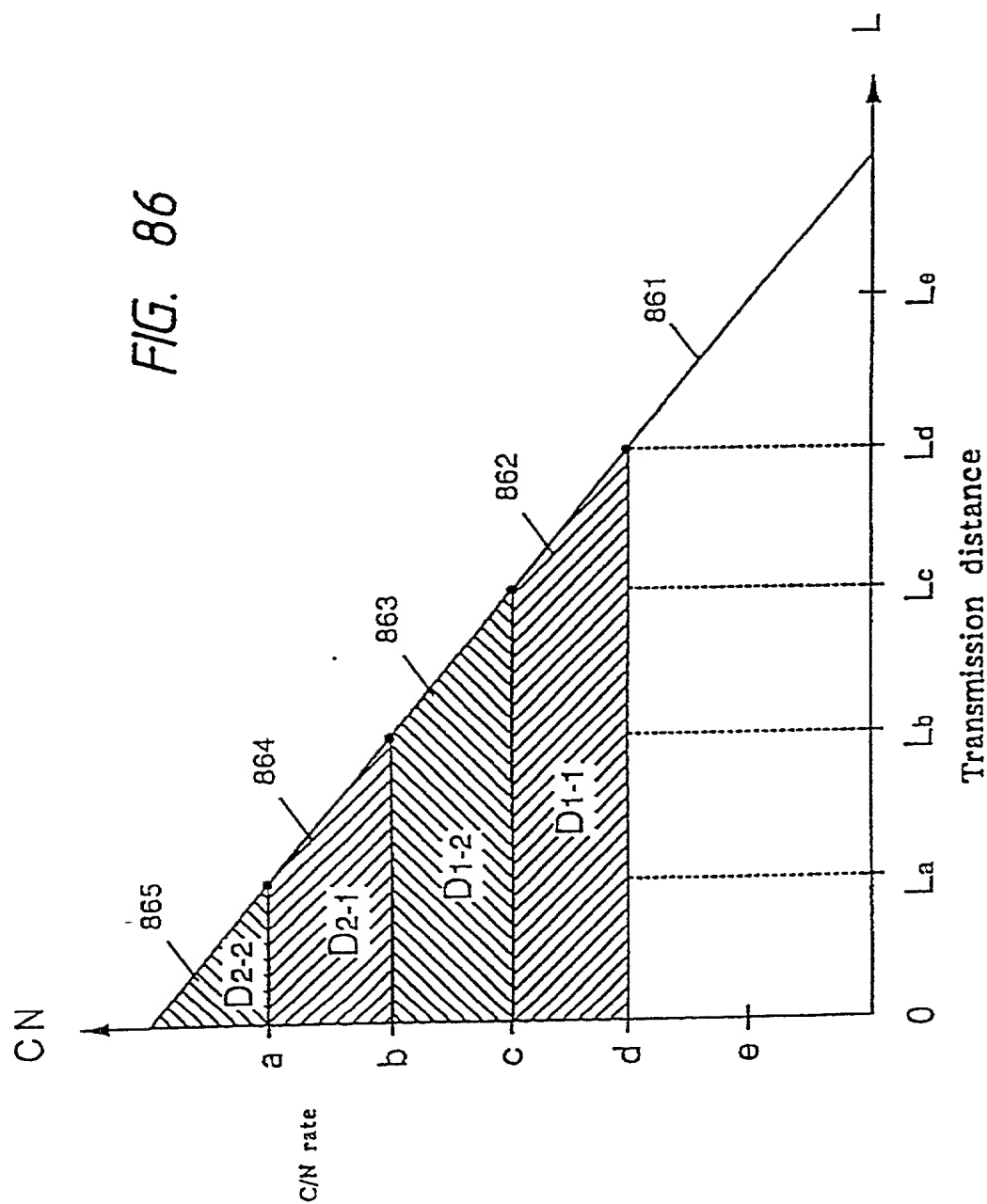


FIG. 87

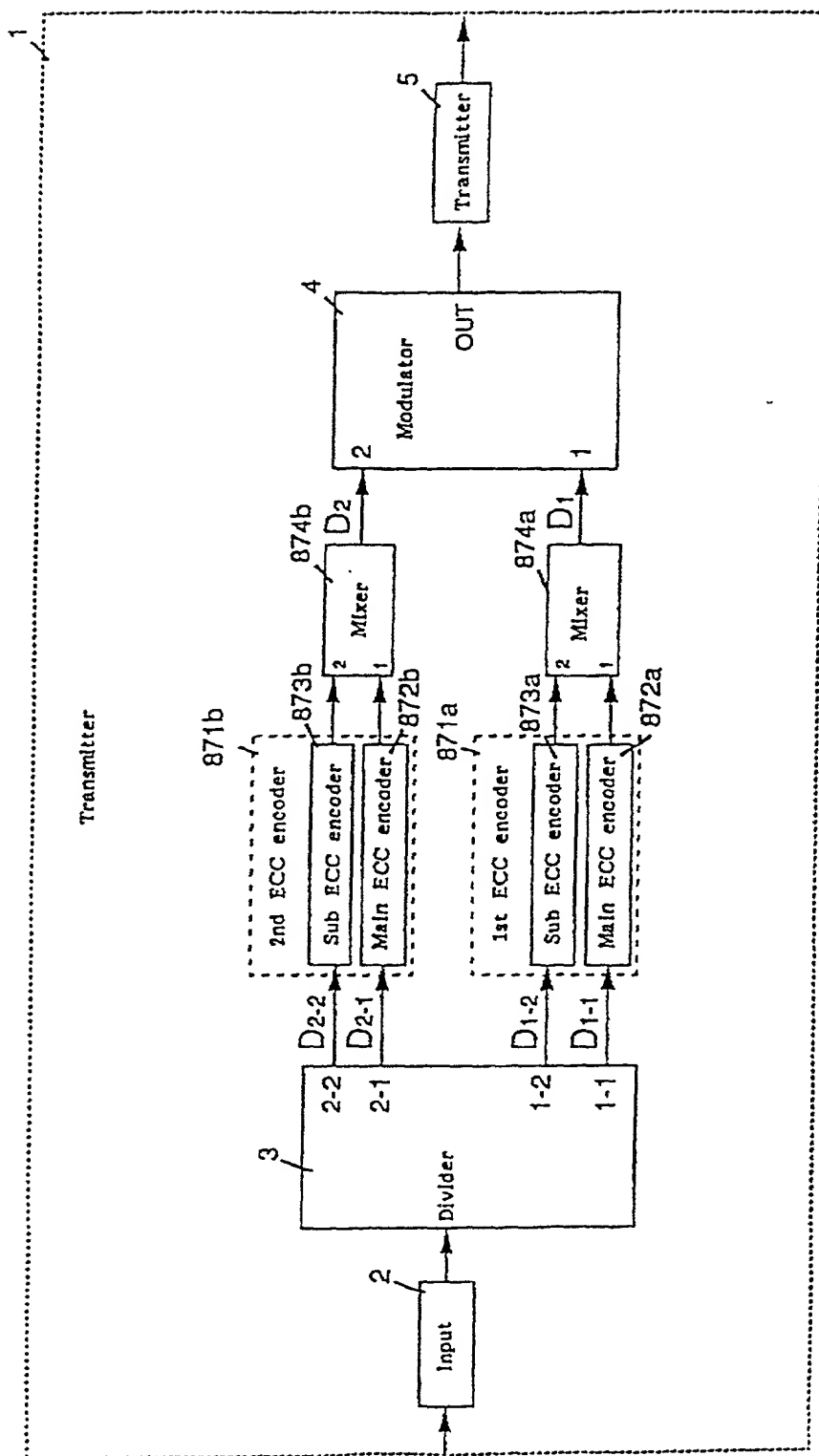
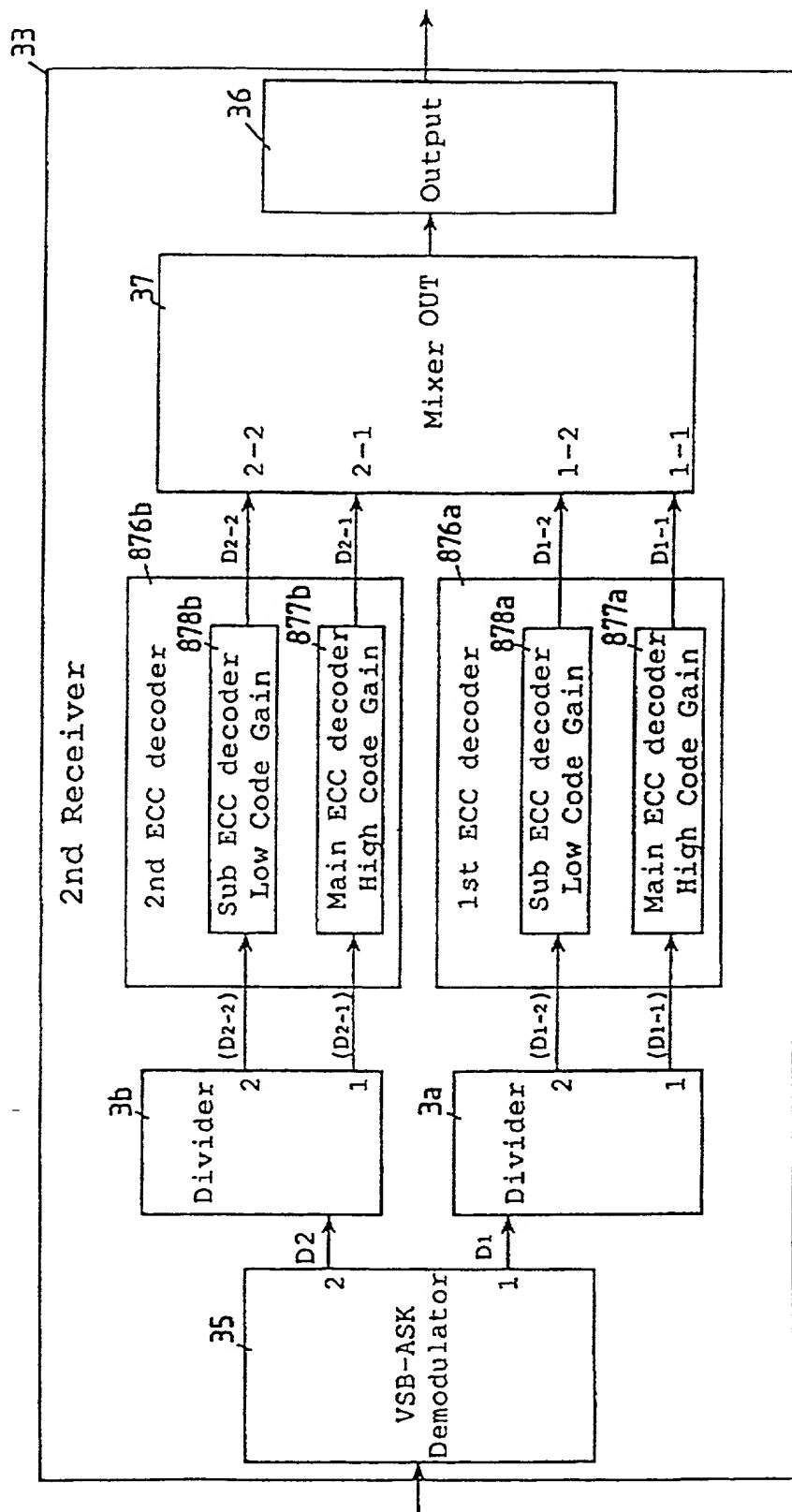


FIG. 88



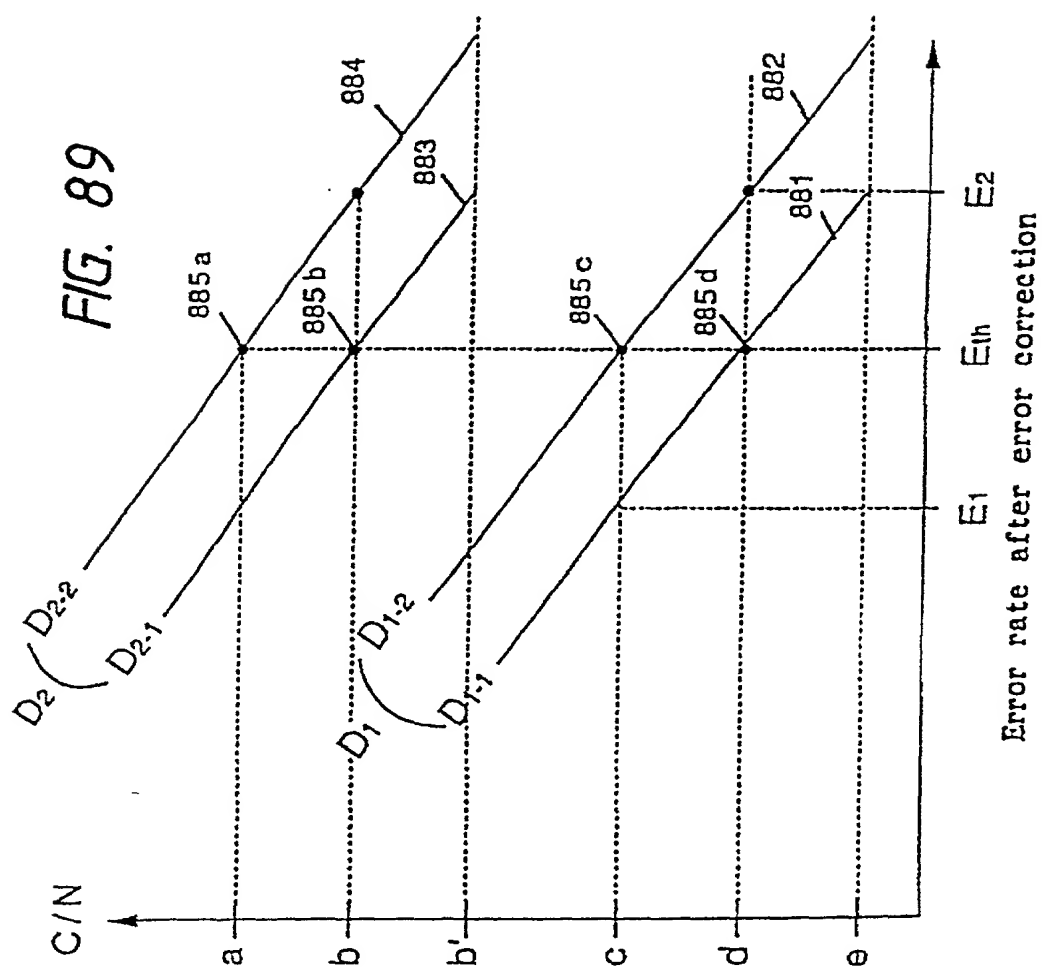


FIG. 90

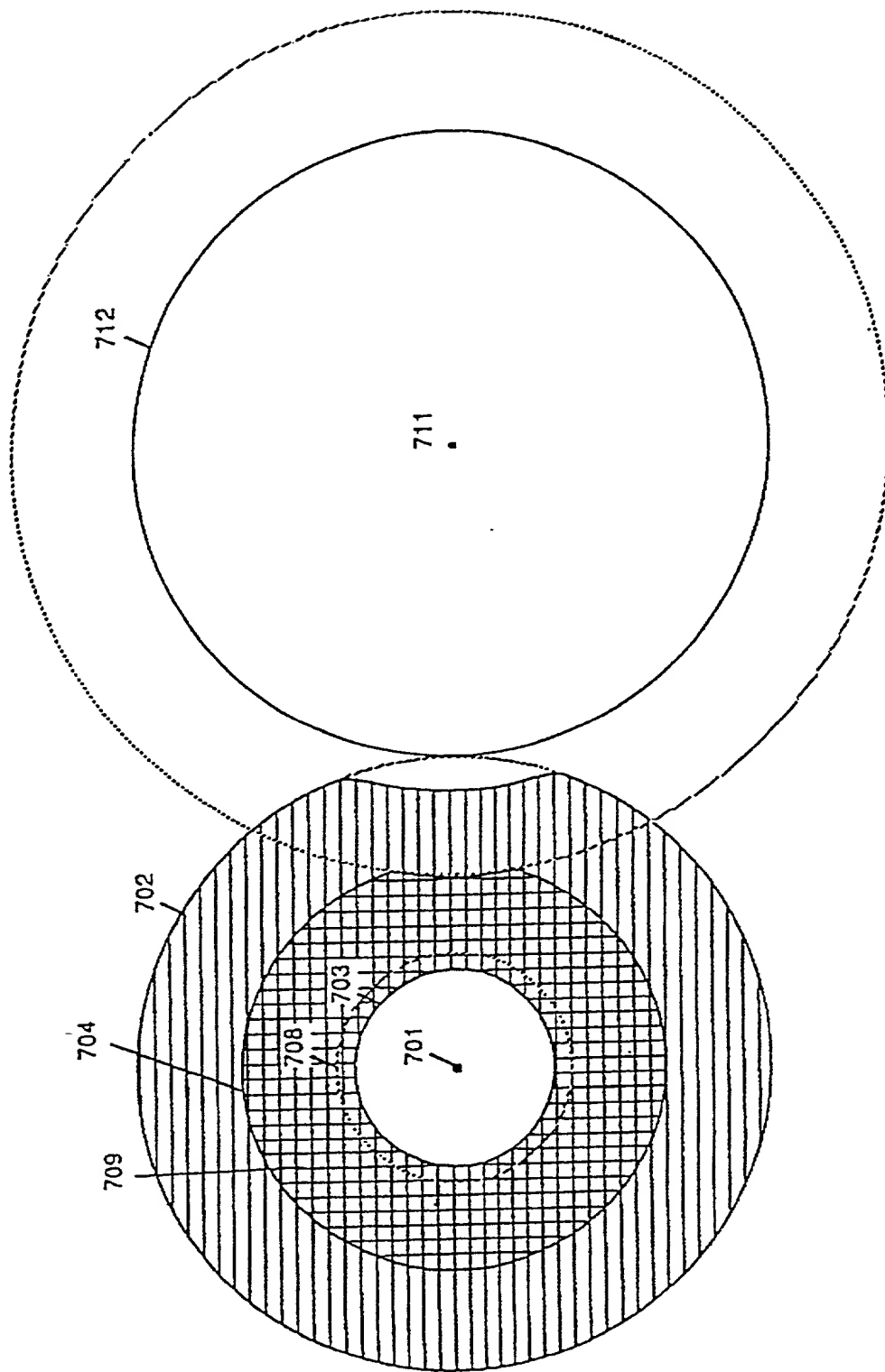
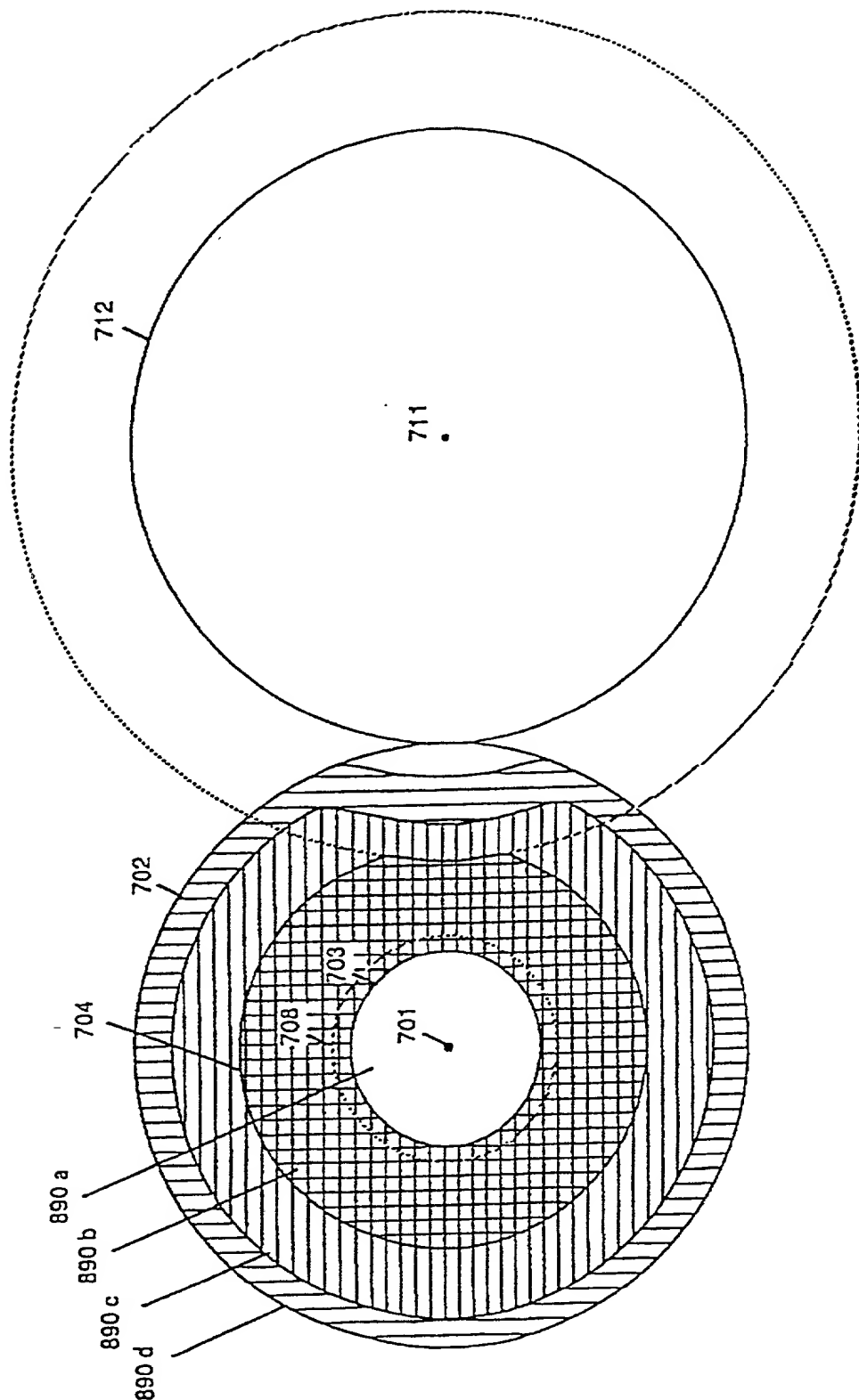


FIG. 91



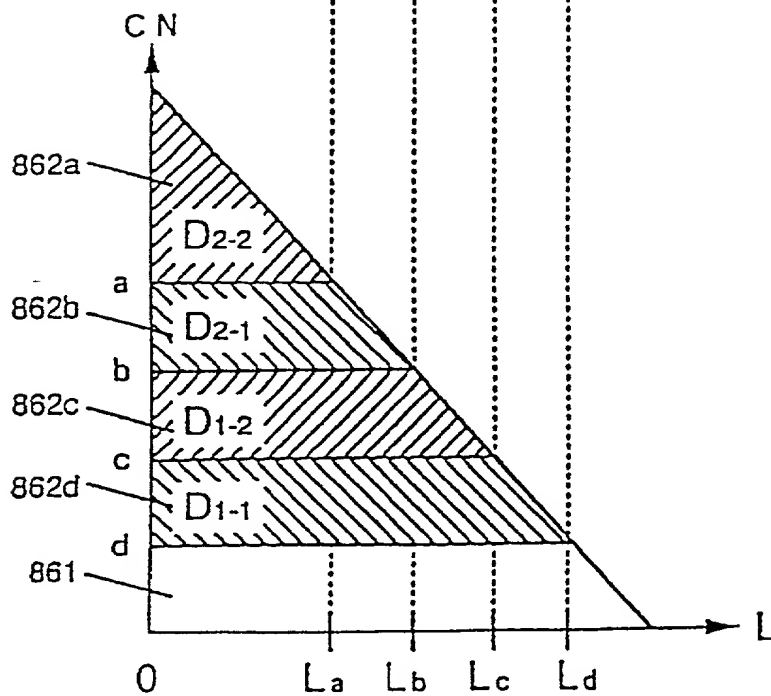
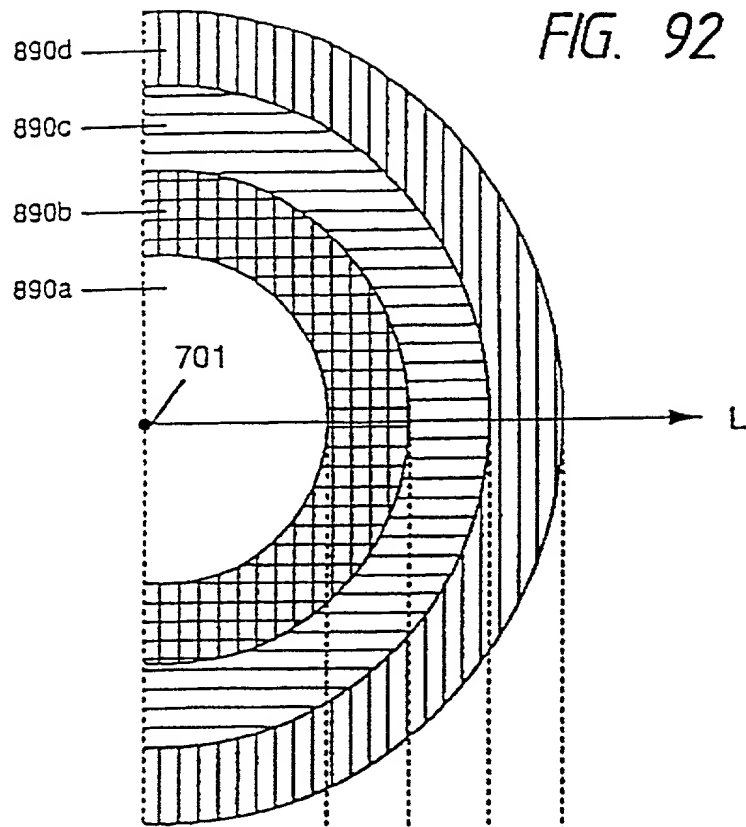




FIG. 93

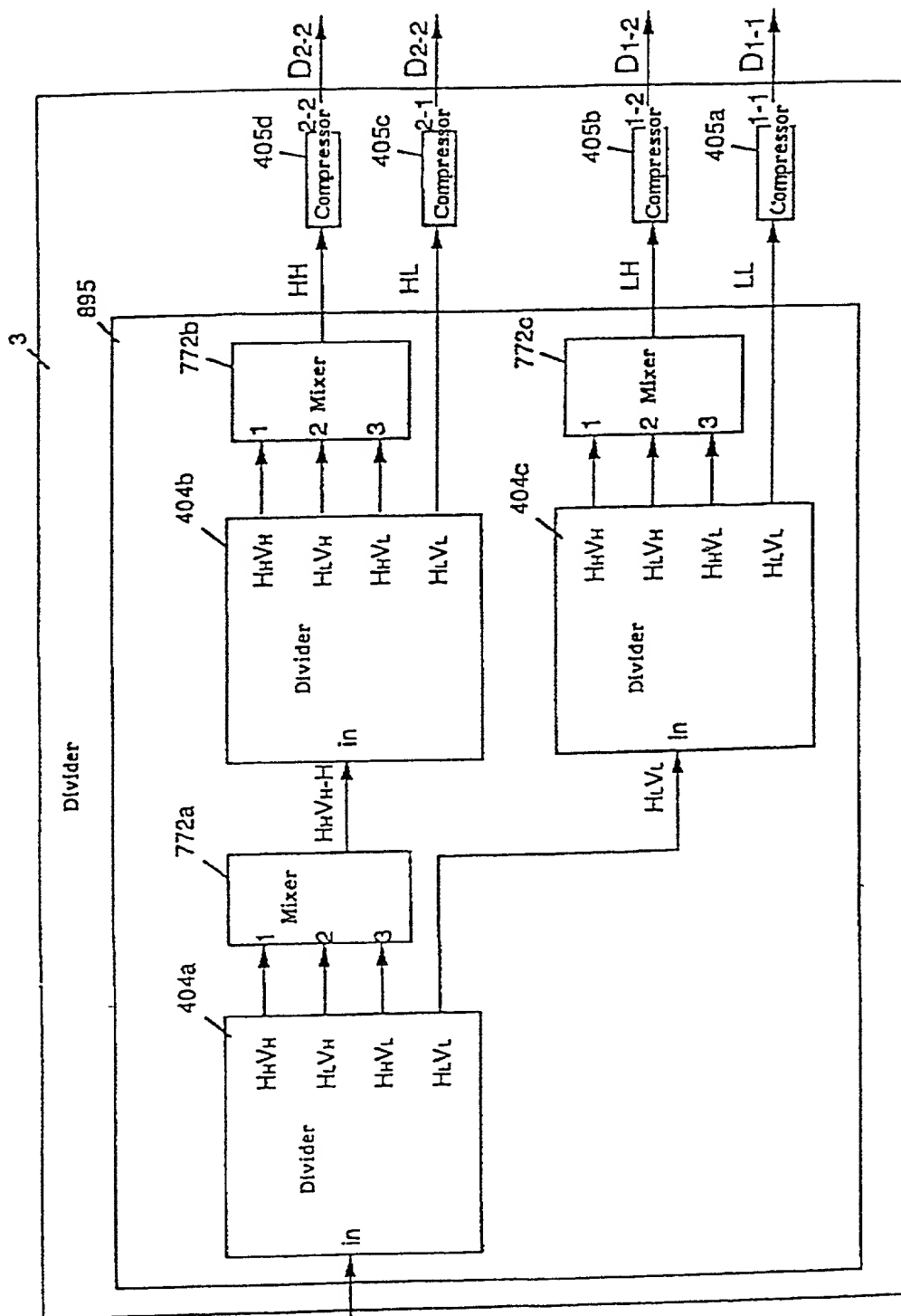
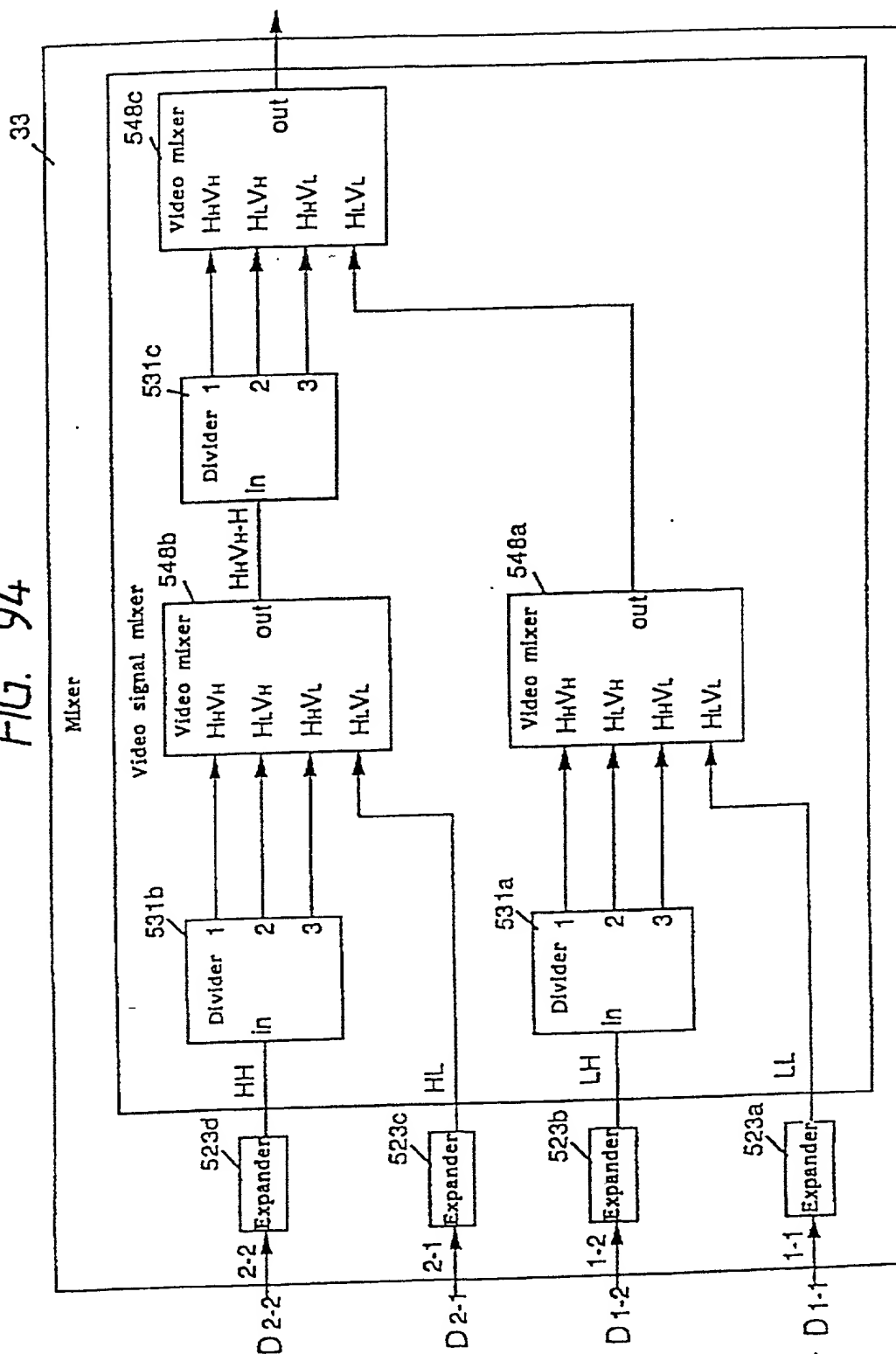


FIG. 94



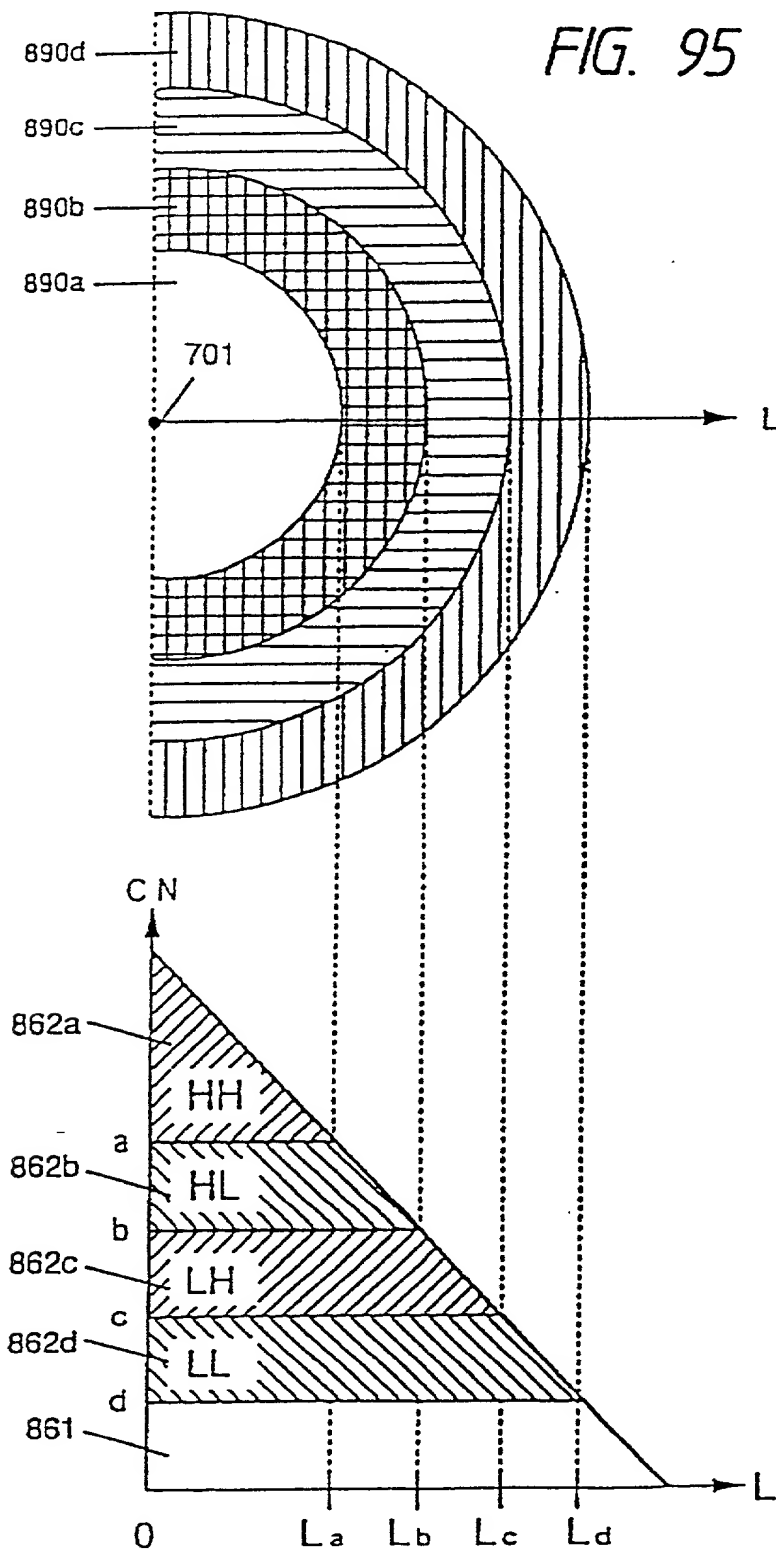


FIG. 96

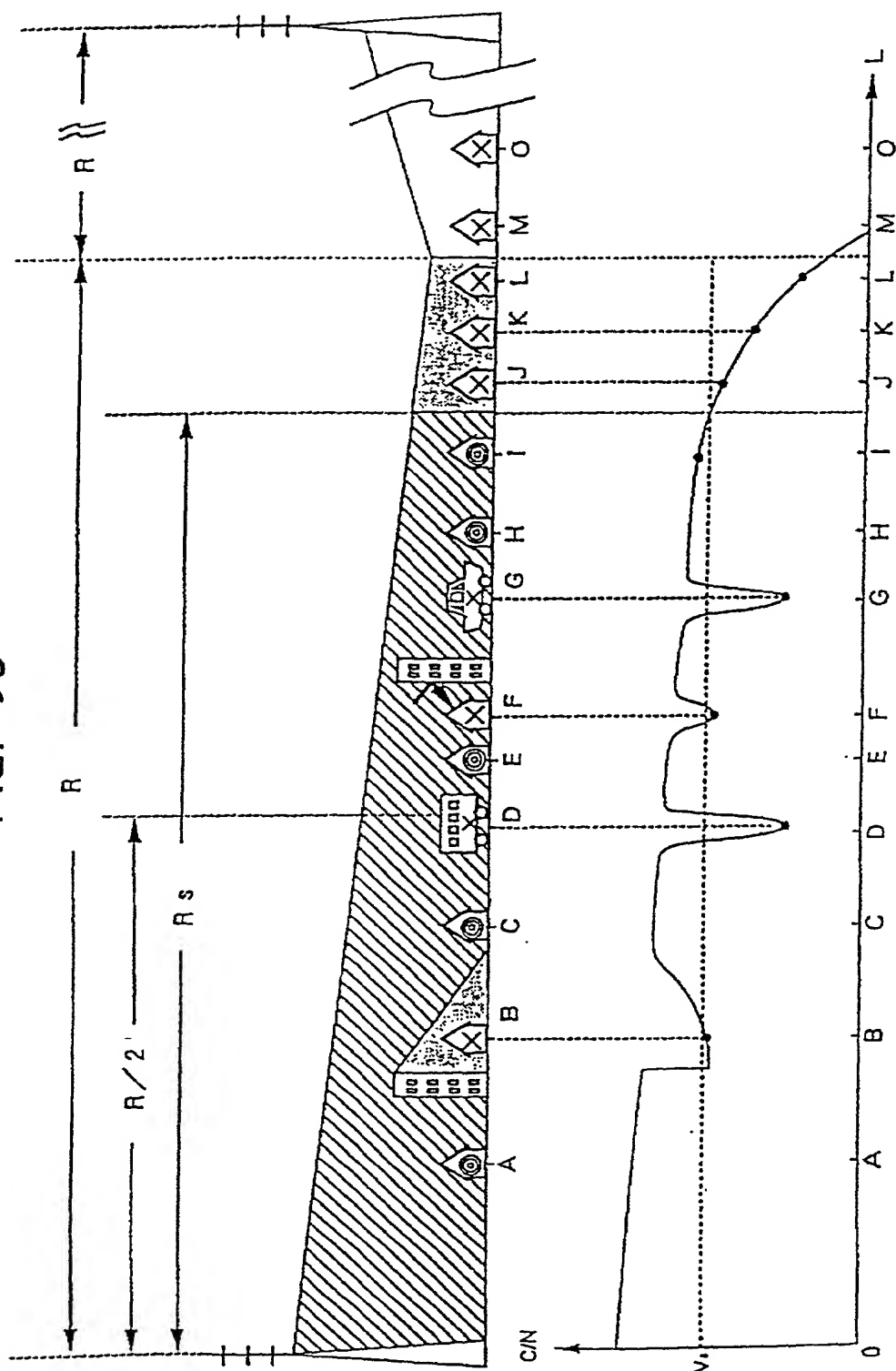
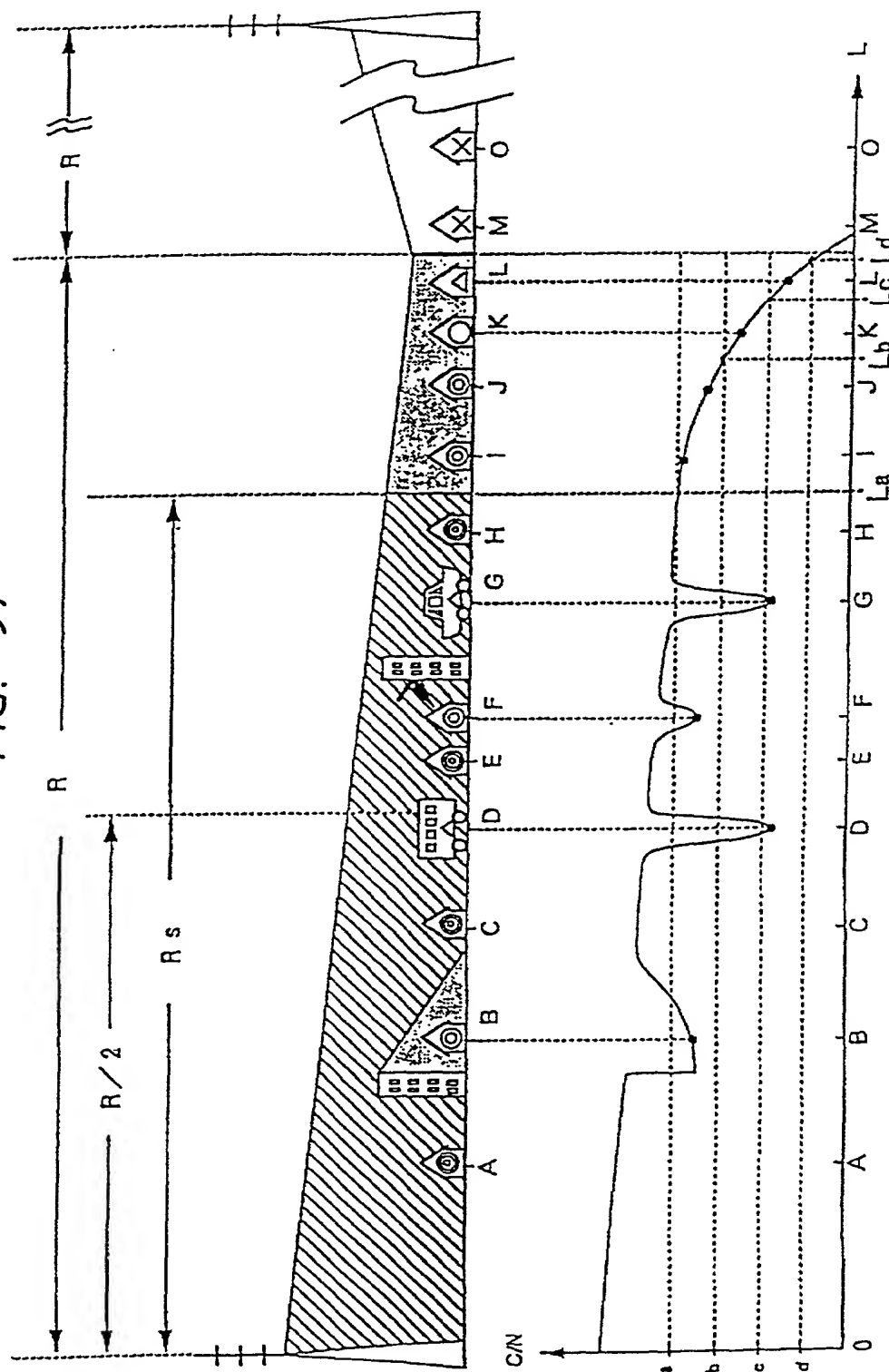
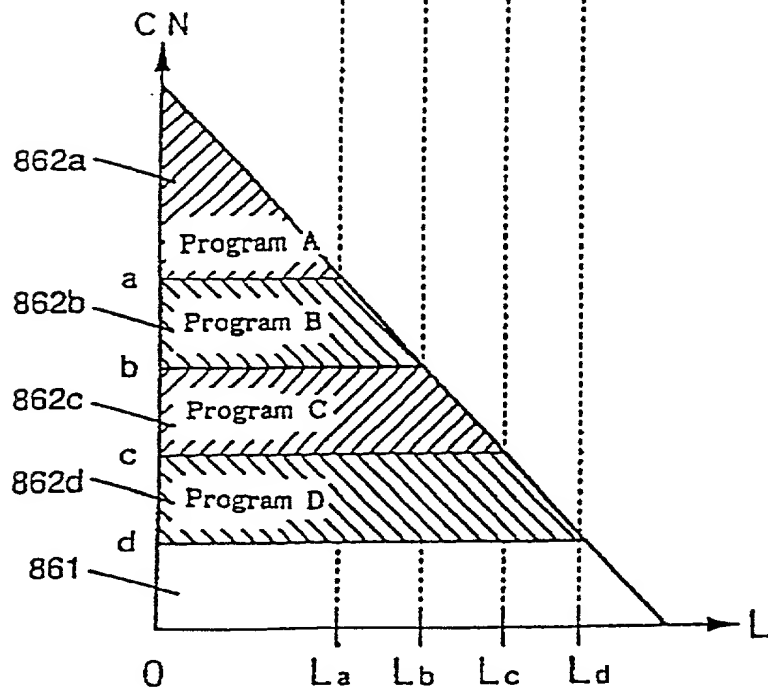
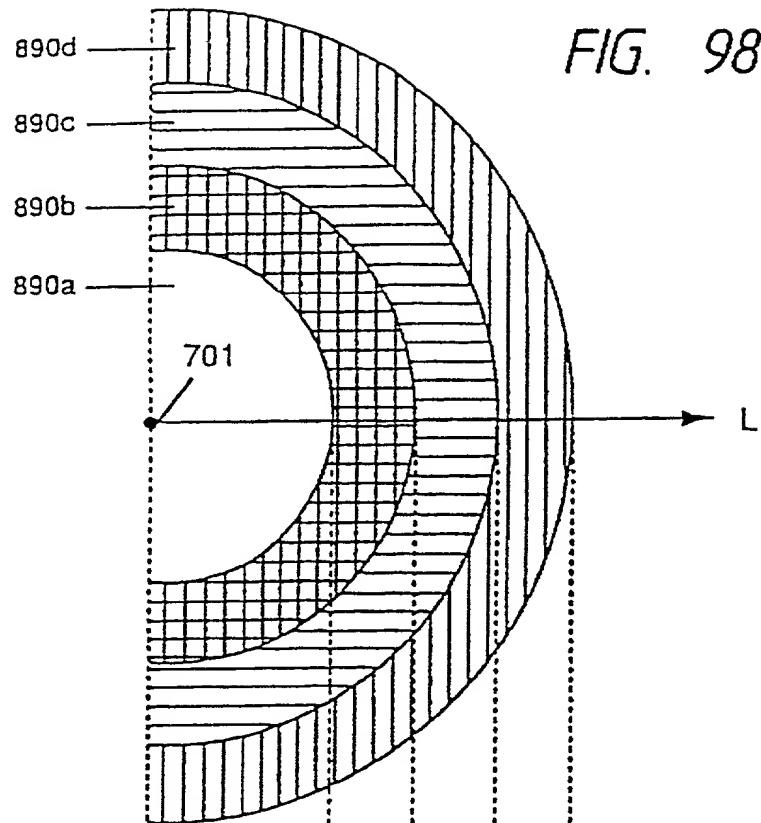


FIG. 97





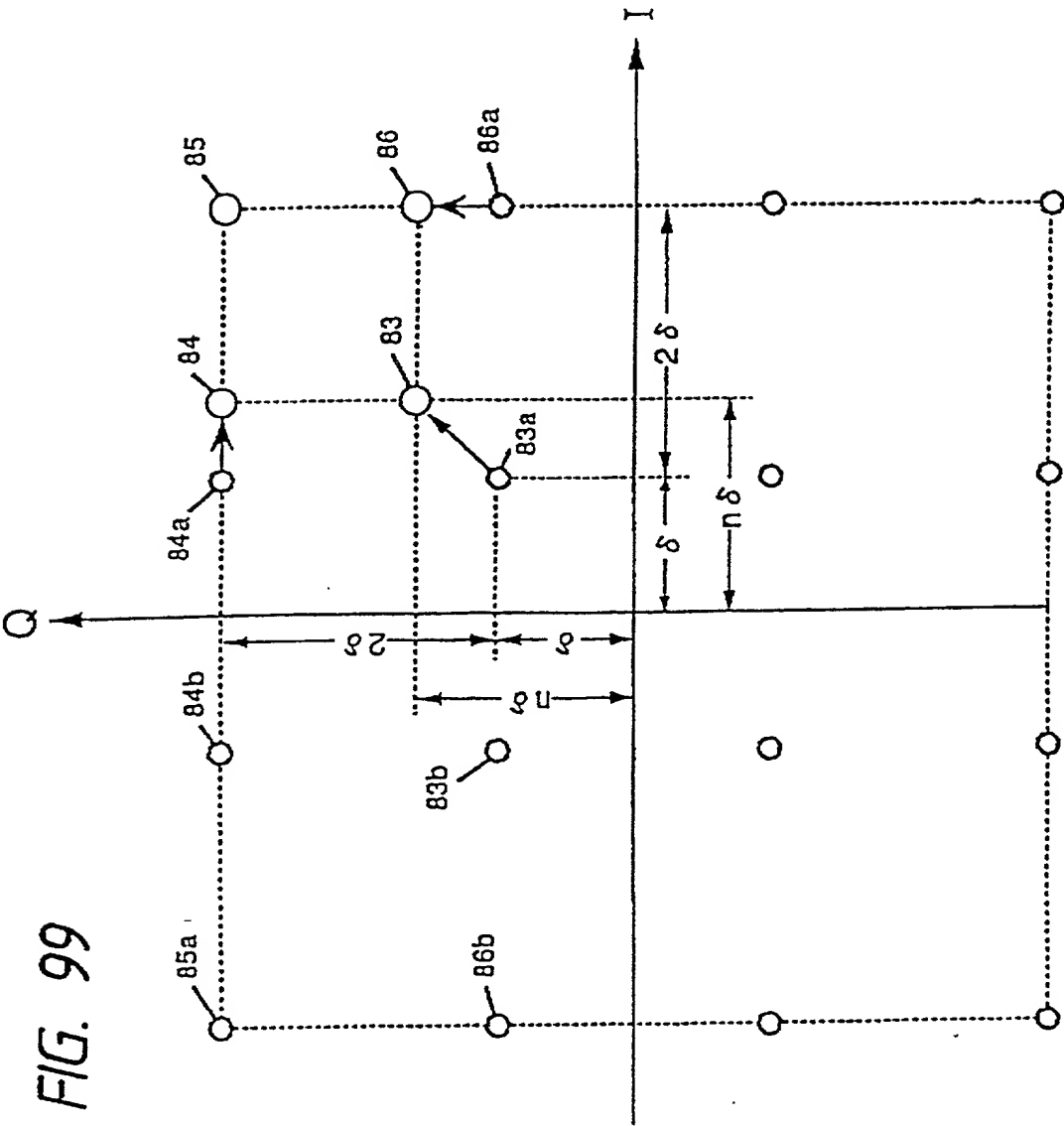


FIG. 100

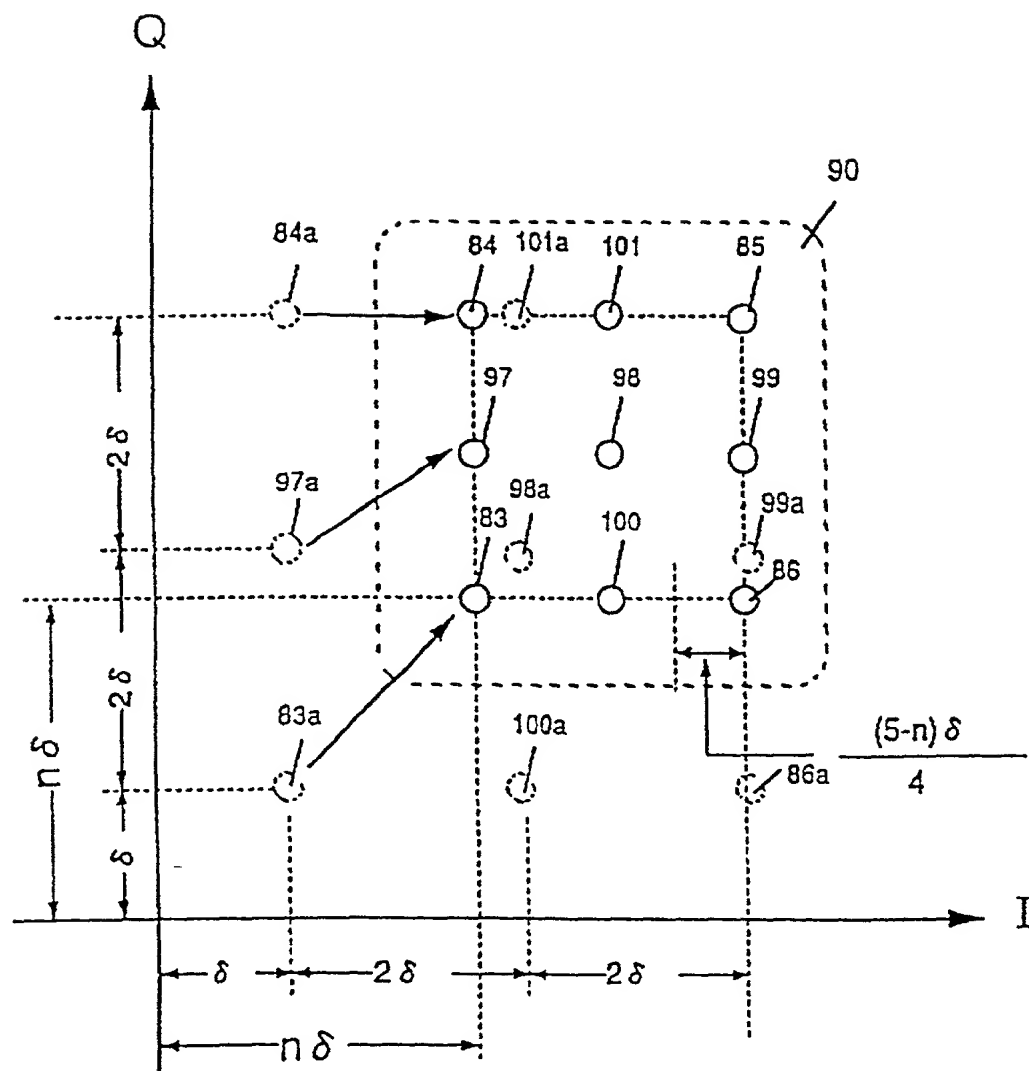




FIG. 101

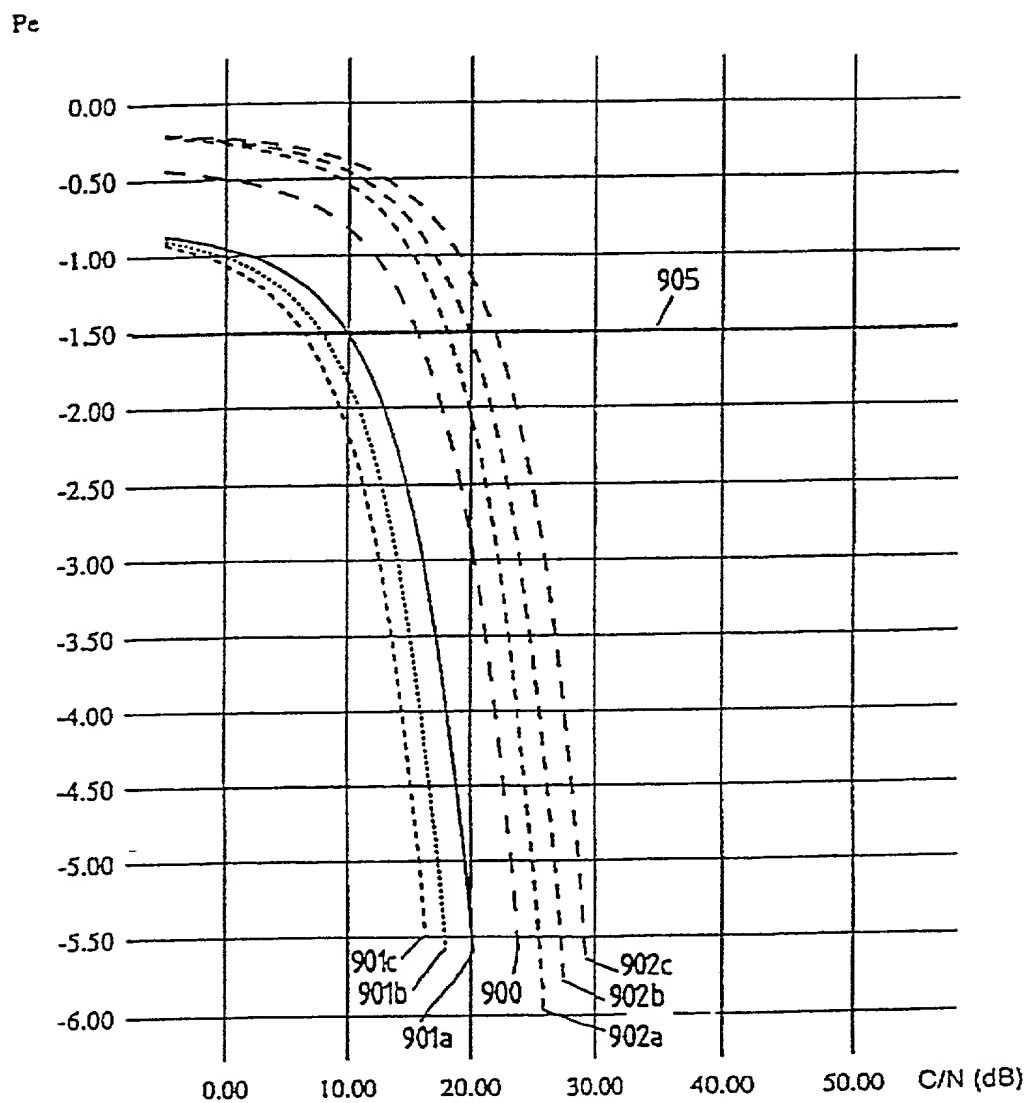


FIG. 102

Pc

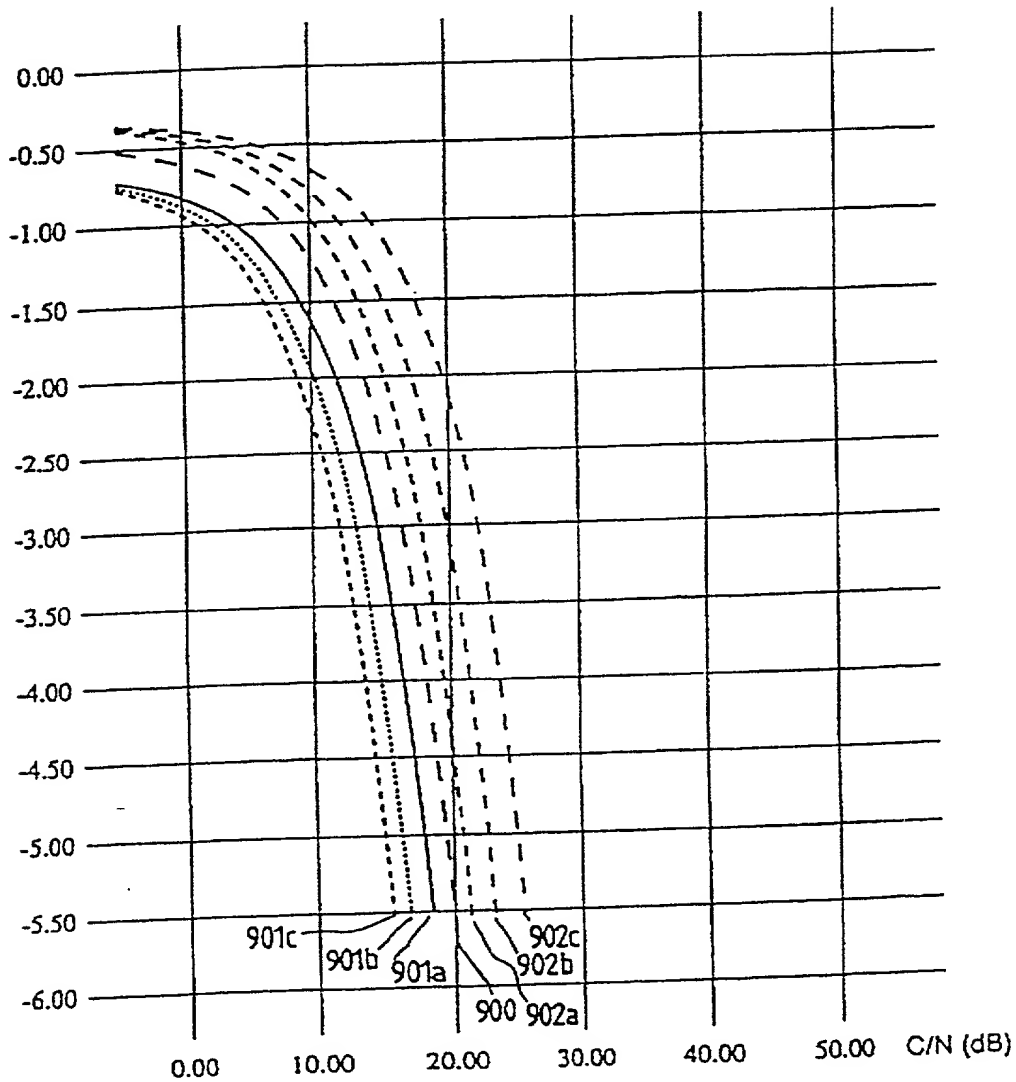


FIG. 103

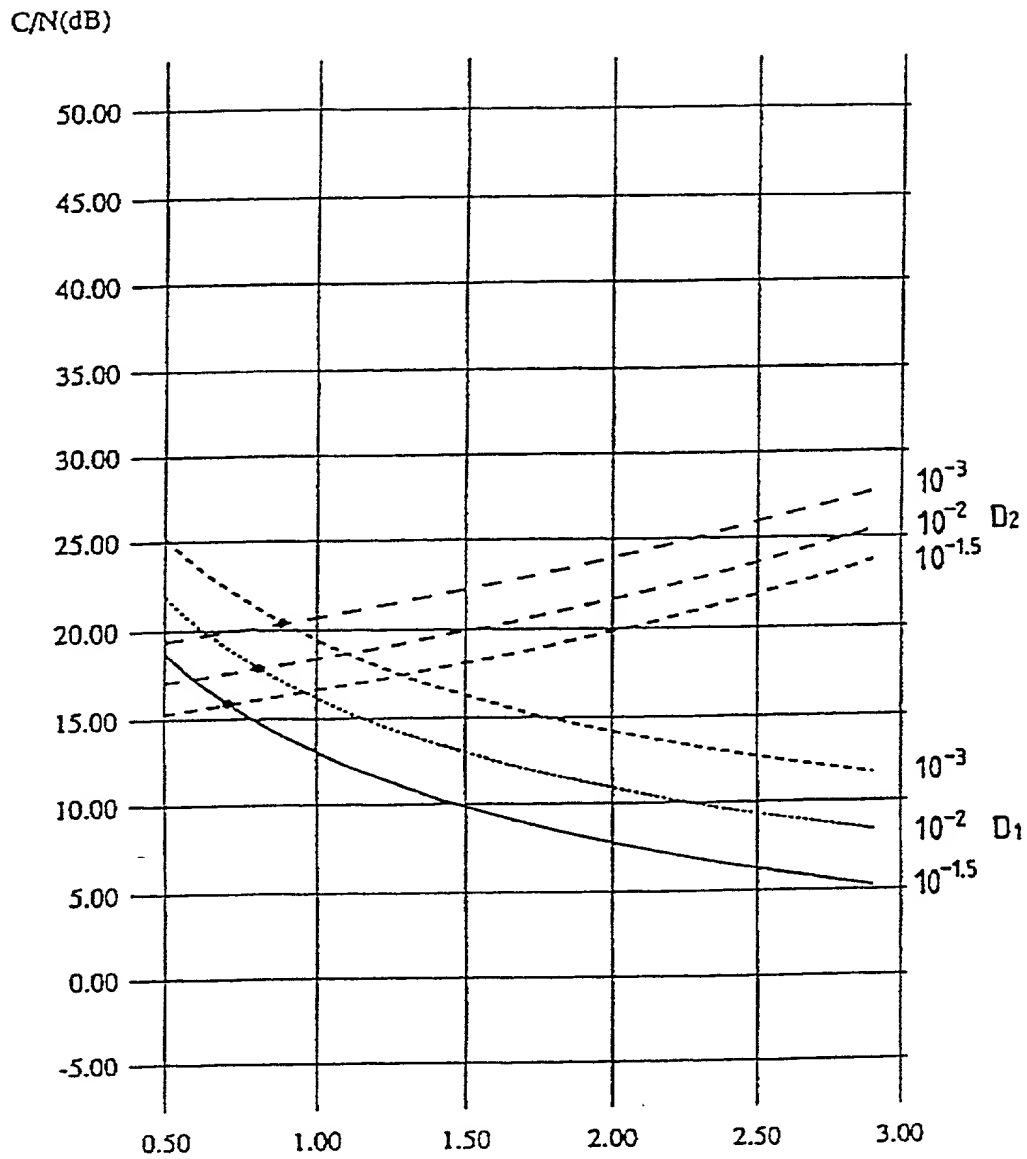


FIG. 104

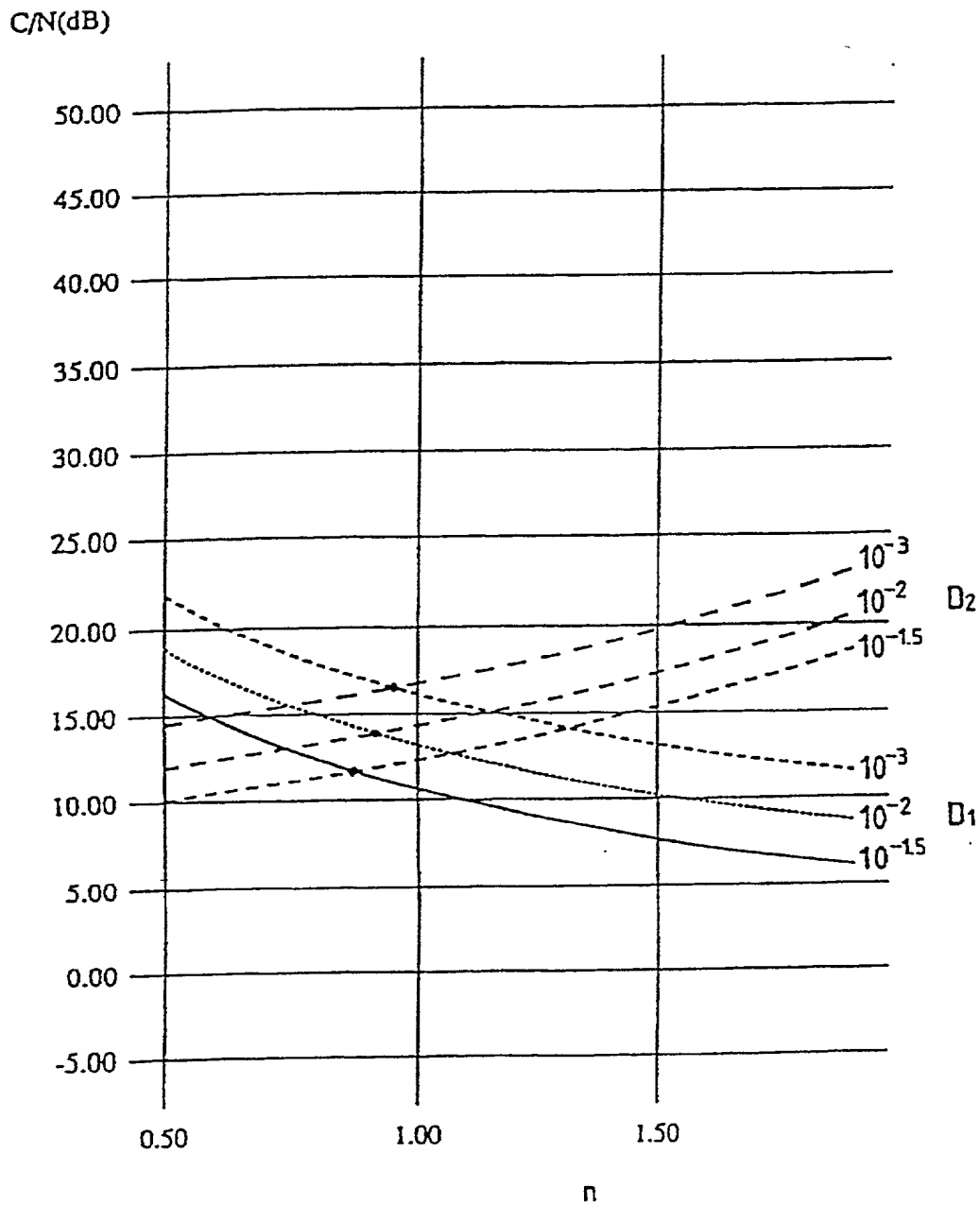


FIG. 105

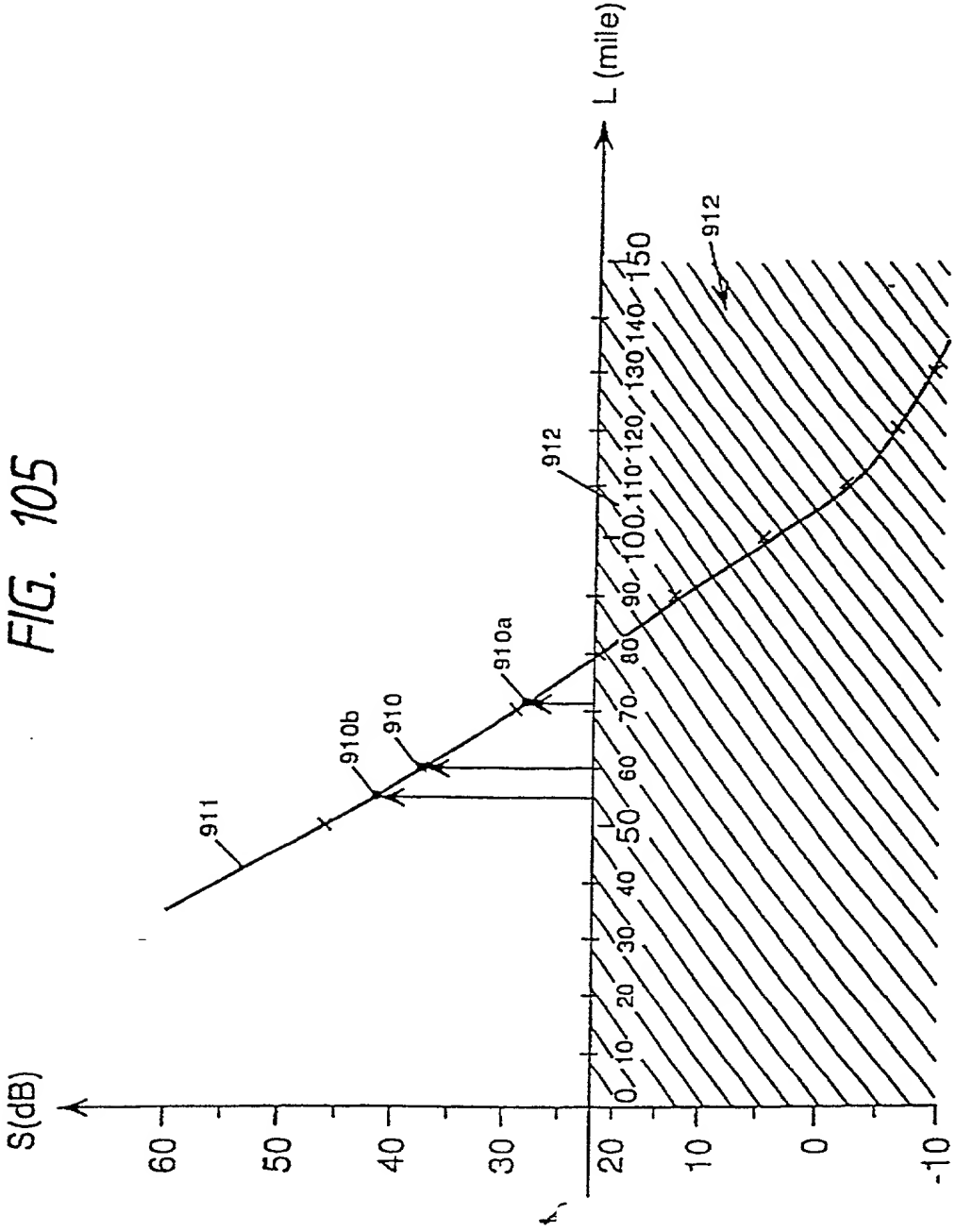


FIG. 106

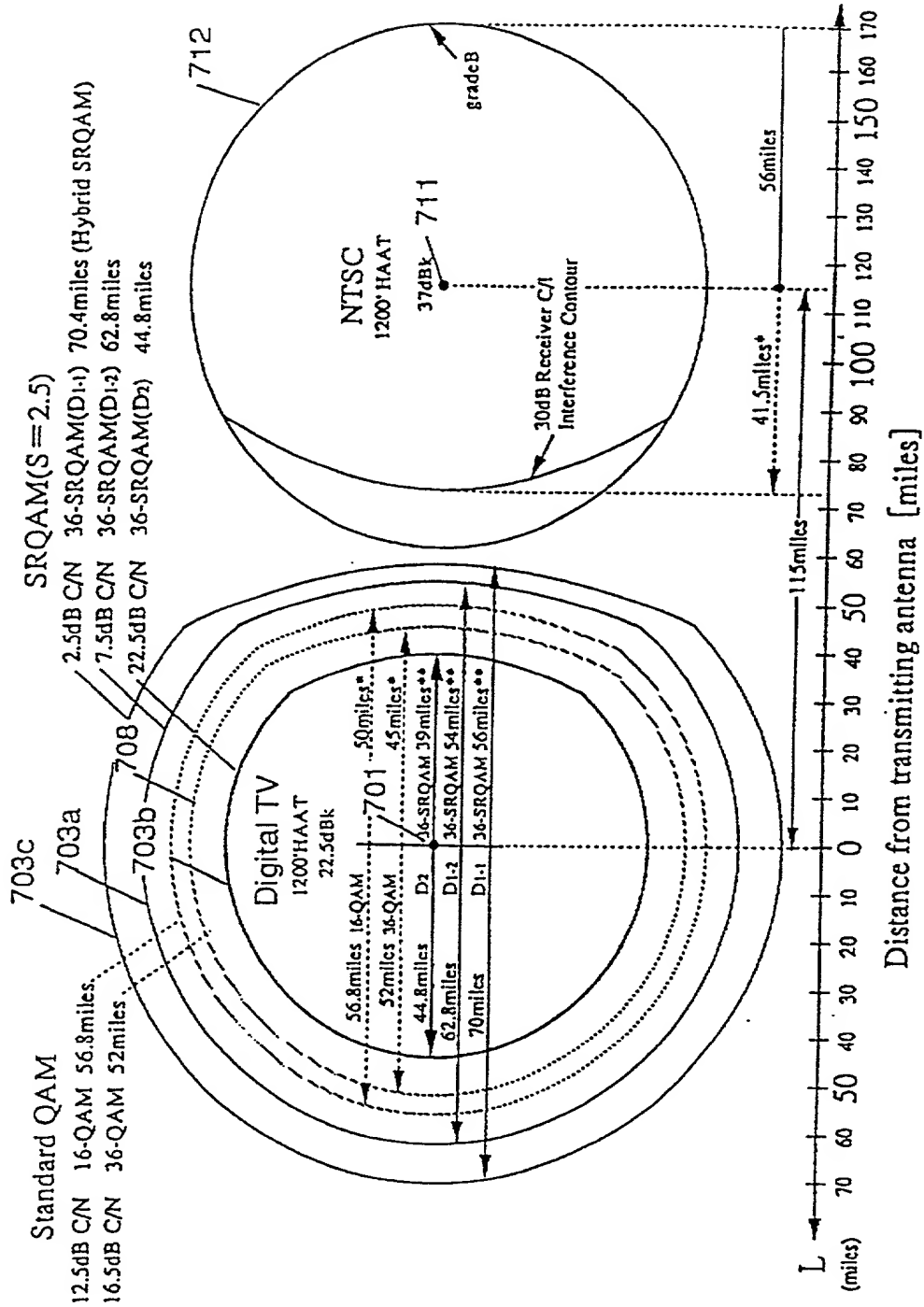


FIG. 107

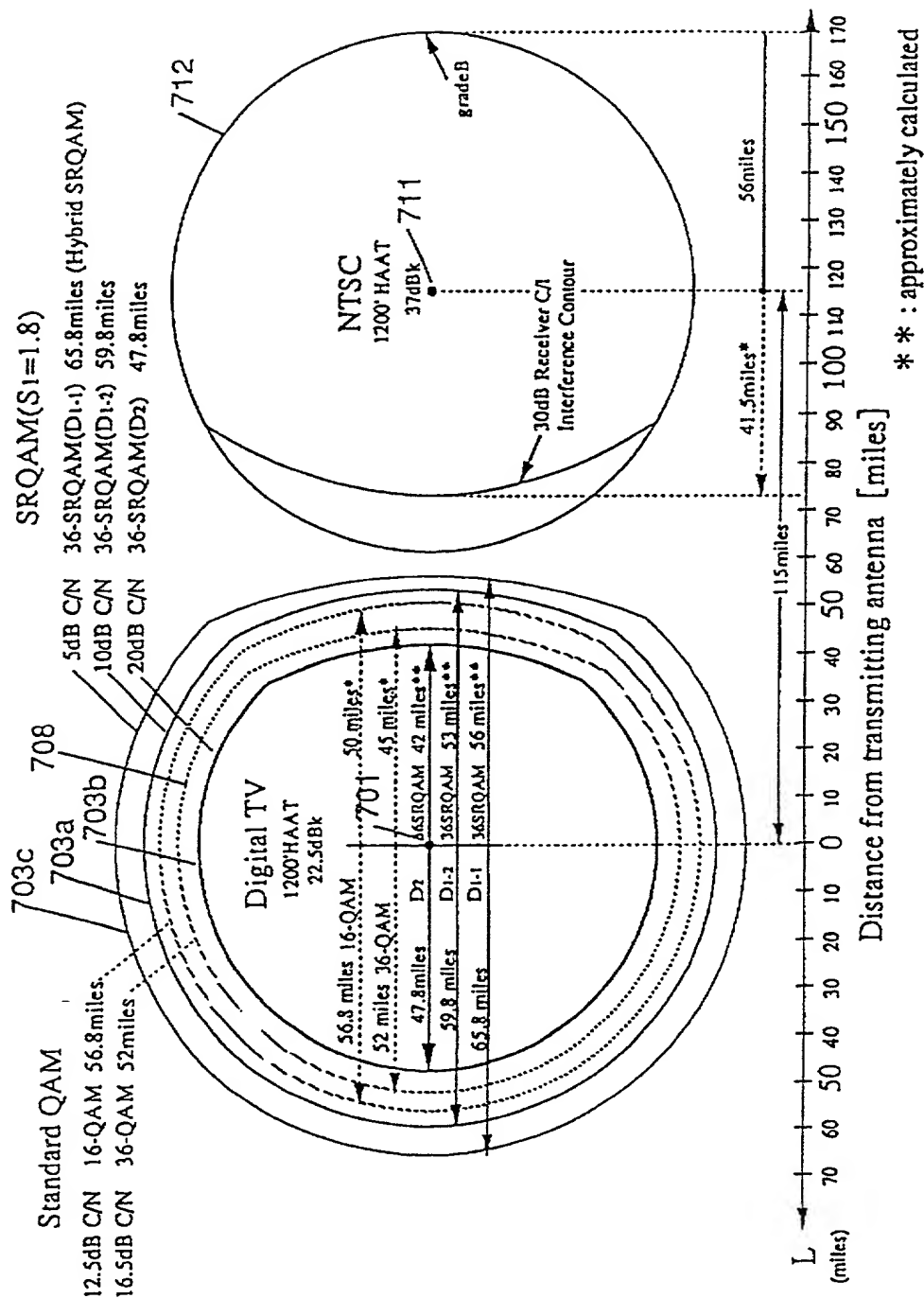


FIG. 108(a)

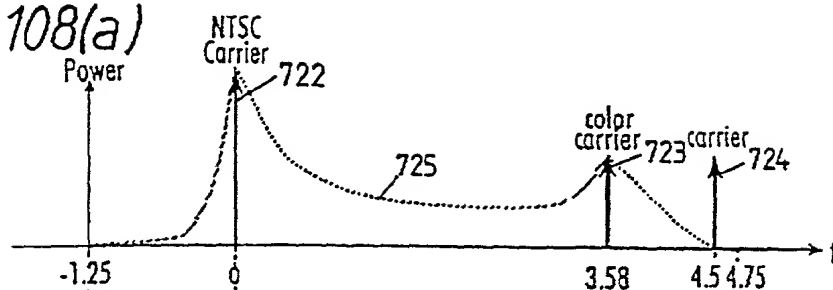


FIG. 108(b)

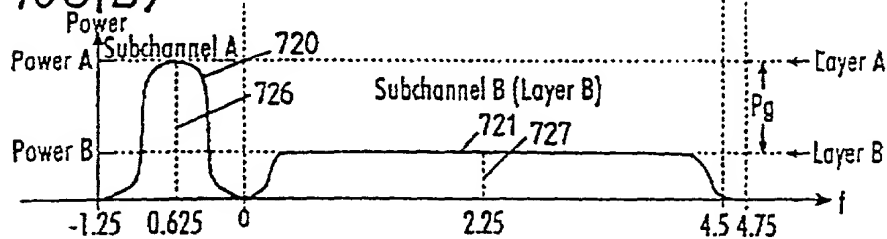


FIG. 108(c)

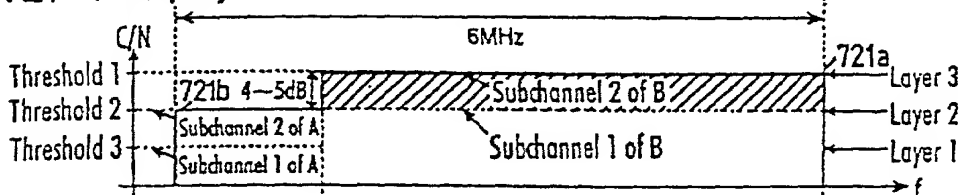


FIG. 108(d)

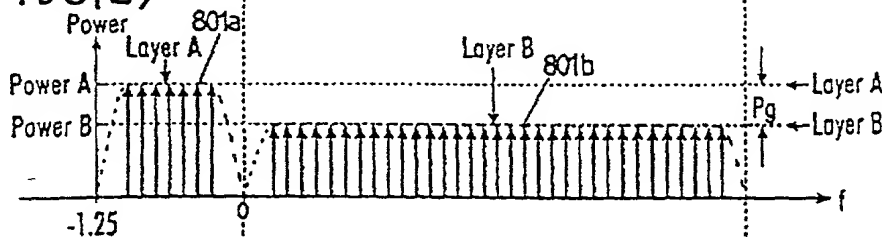


FIG. 108(e)

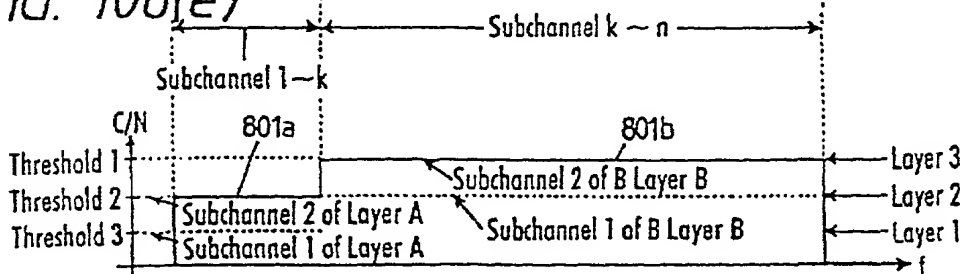




FIG. 109

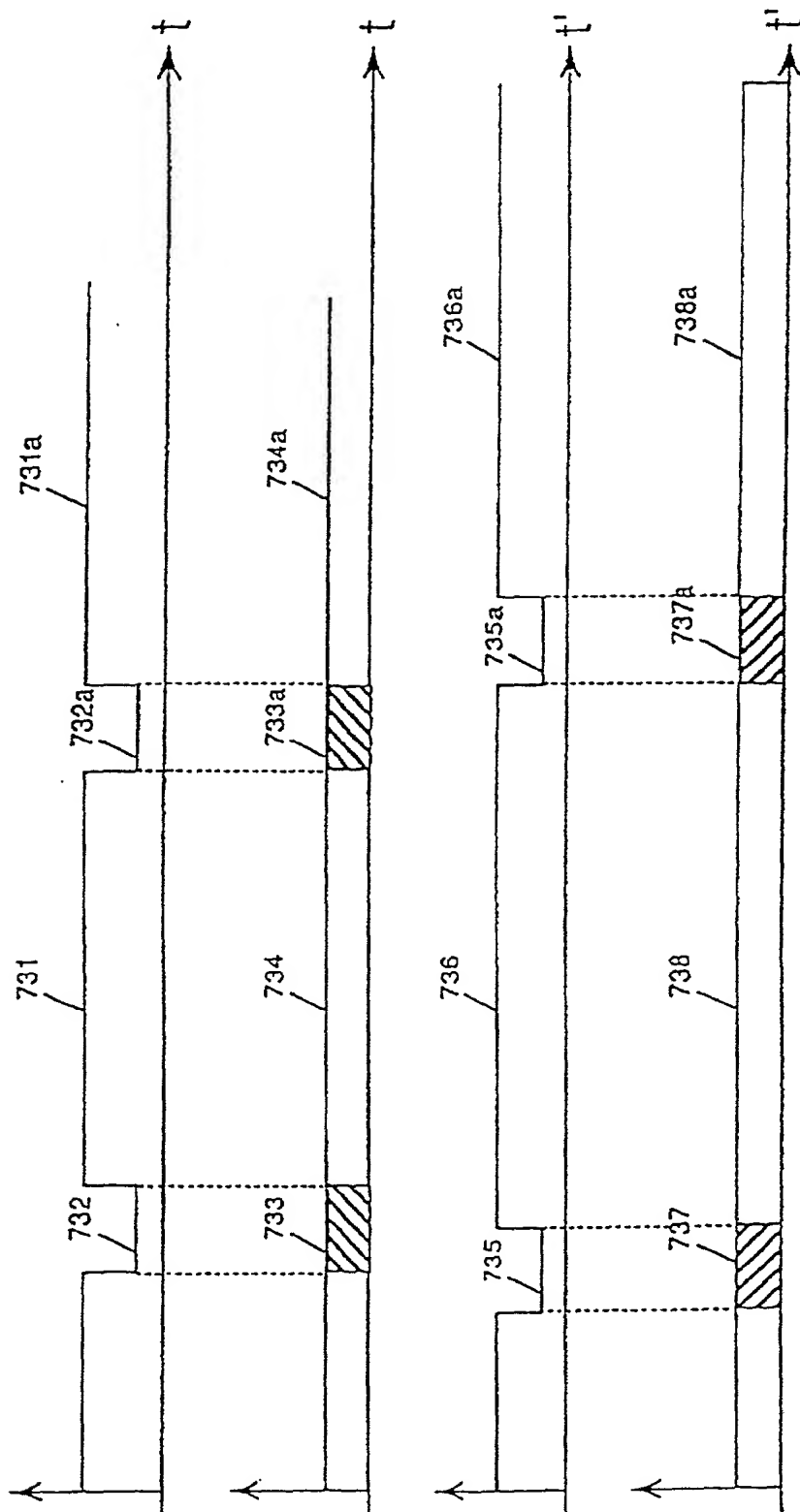


FIG. 110

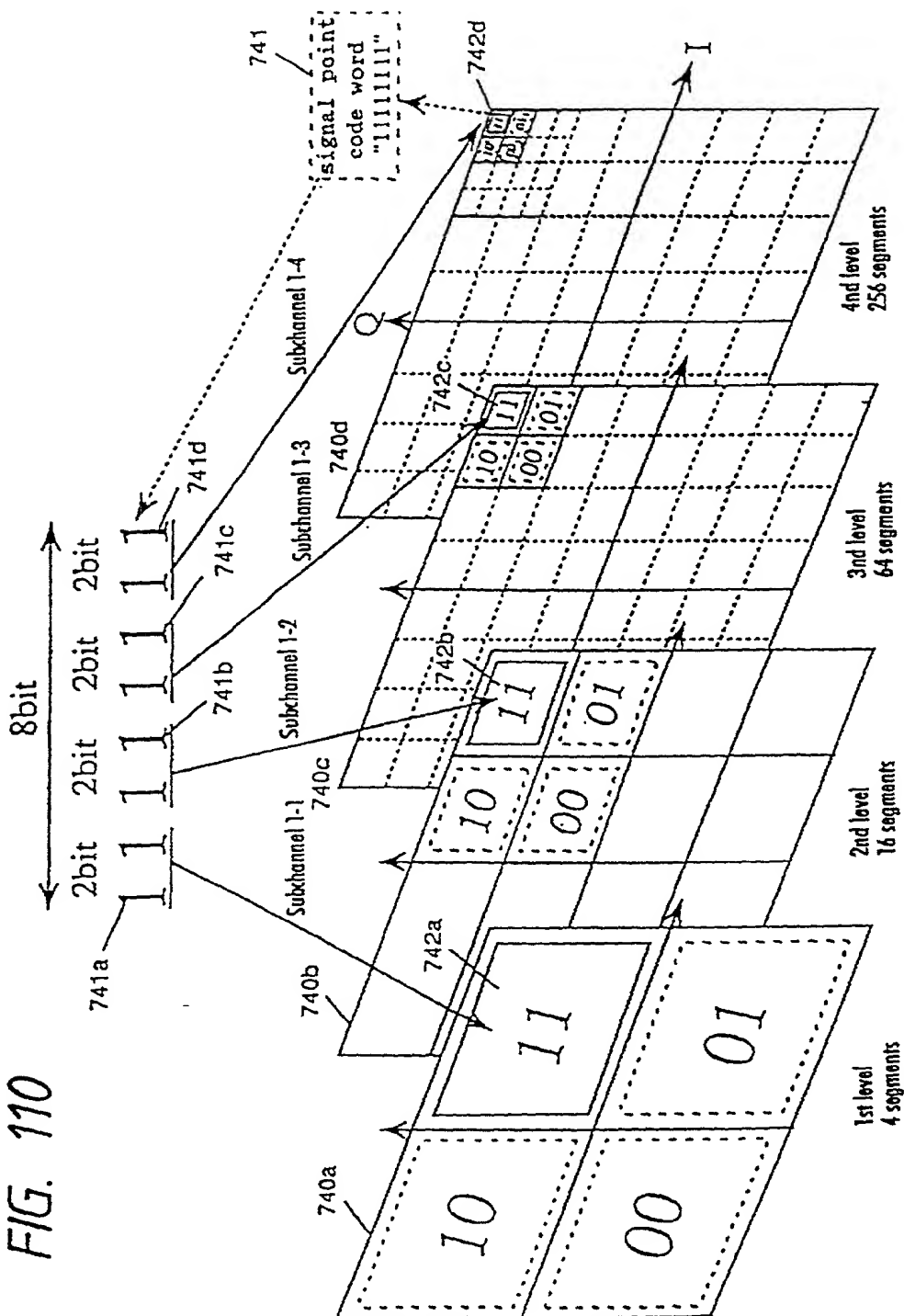
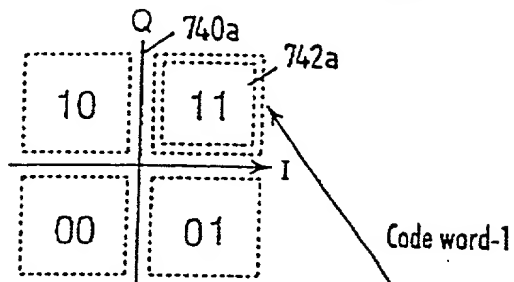
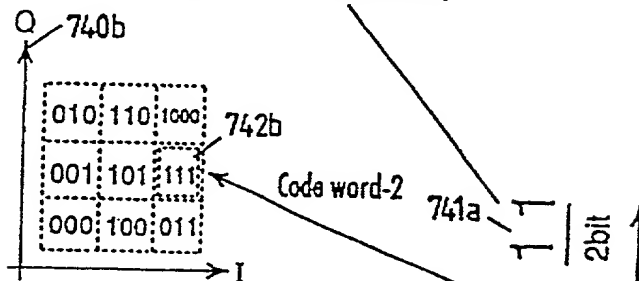


FIG. 111

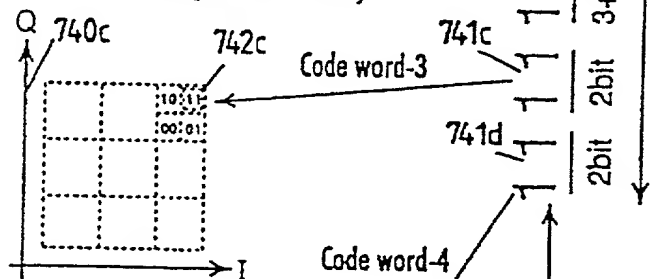
Subchannel-1 (SRQAM: $D_1=2\text{bit}$ )



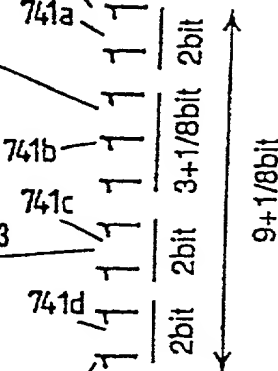
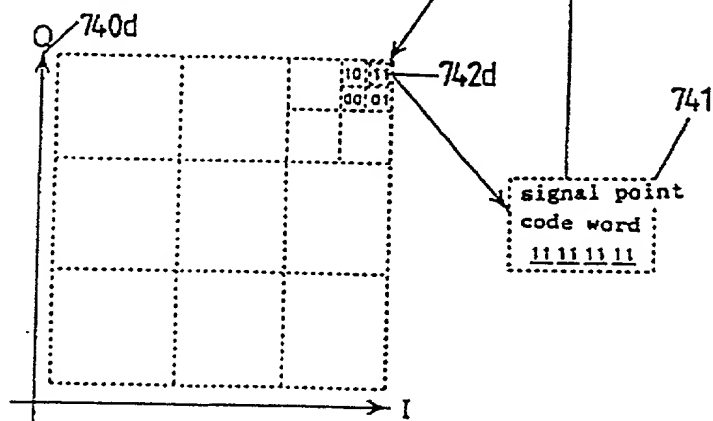
Subchannel-2 (36-SRQAM: $D_2=3\text{bit}+1/8\text{bit}$ )



Subchannel-3 (144-SRQAM: $D_3=2\text{bit}$ )



Subchannel-4 (576-SRQAM: $D_4=2\text{bit}$ )



Subchannel-1 (SRQAM:  $D_1=2\text{bit}$ )

FIG. 112

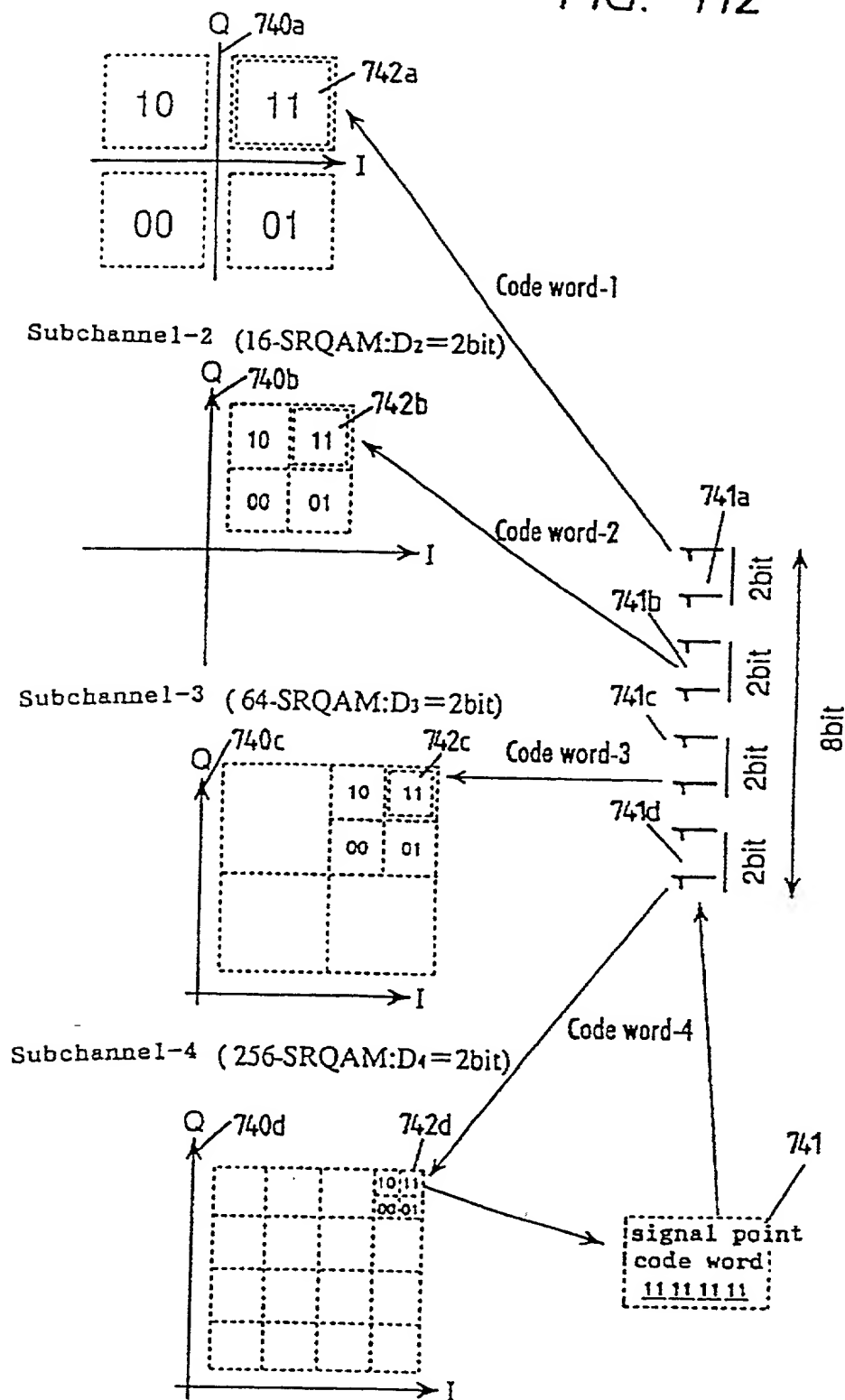


FIG. 113

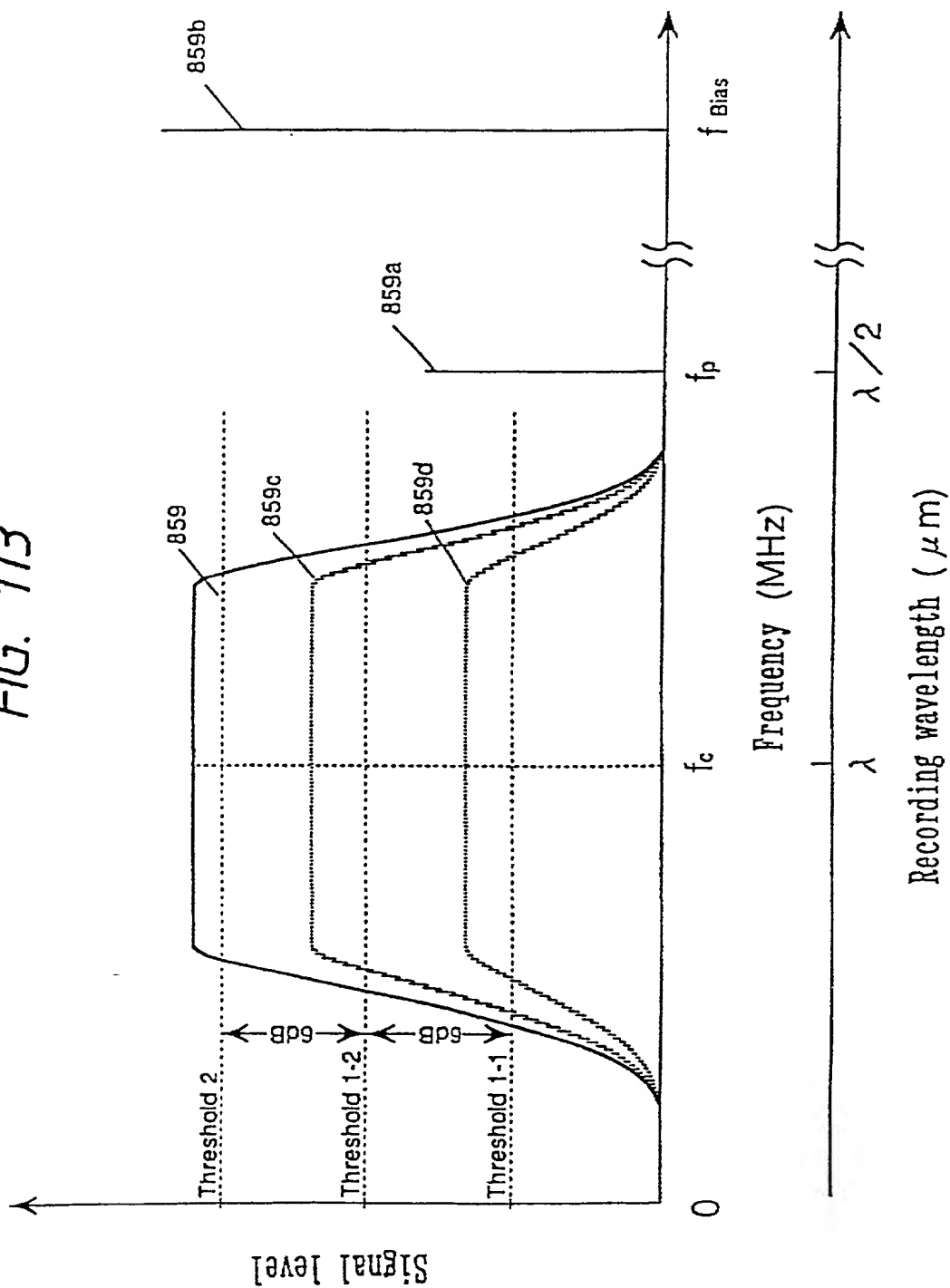


FIG. 114

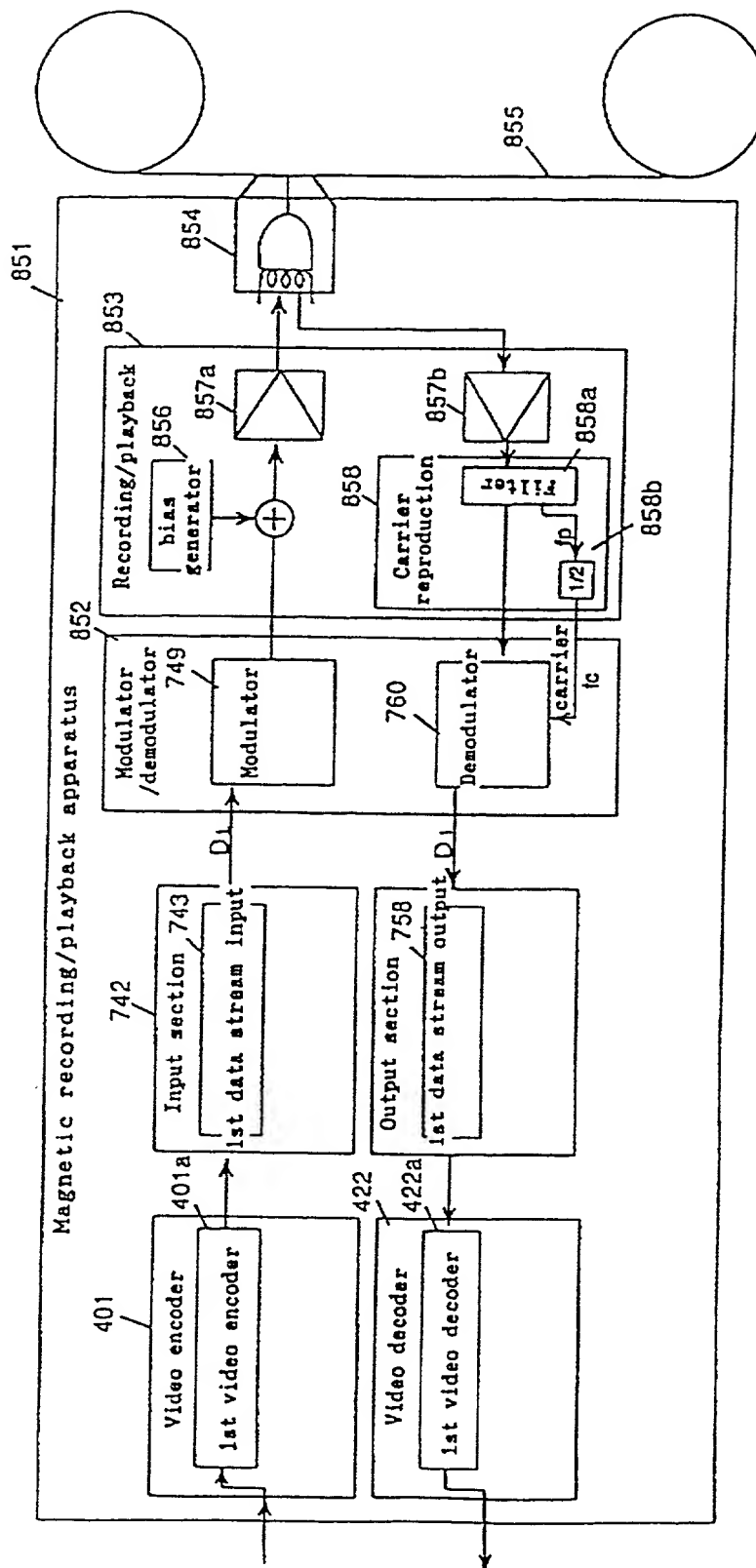
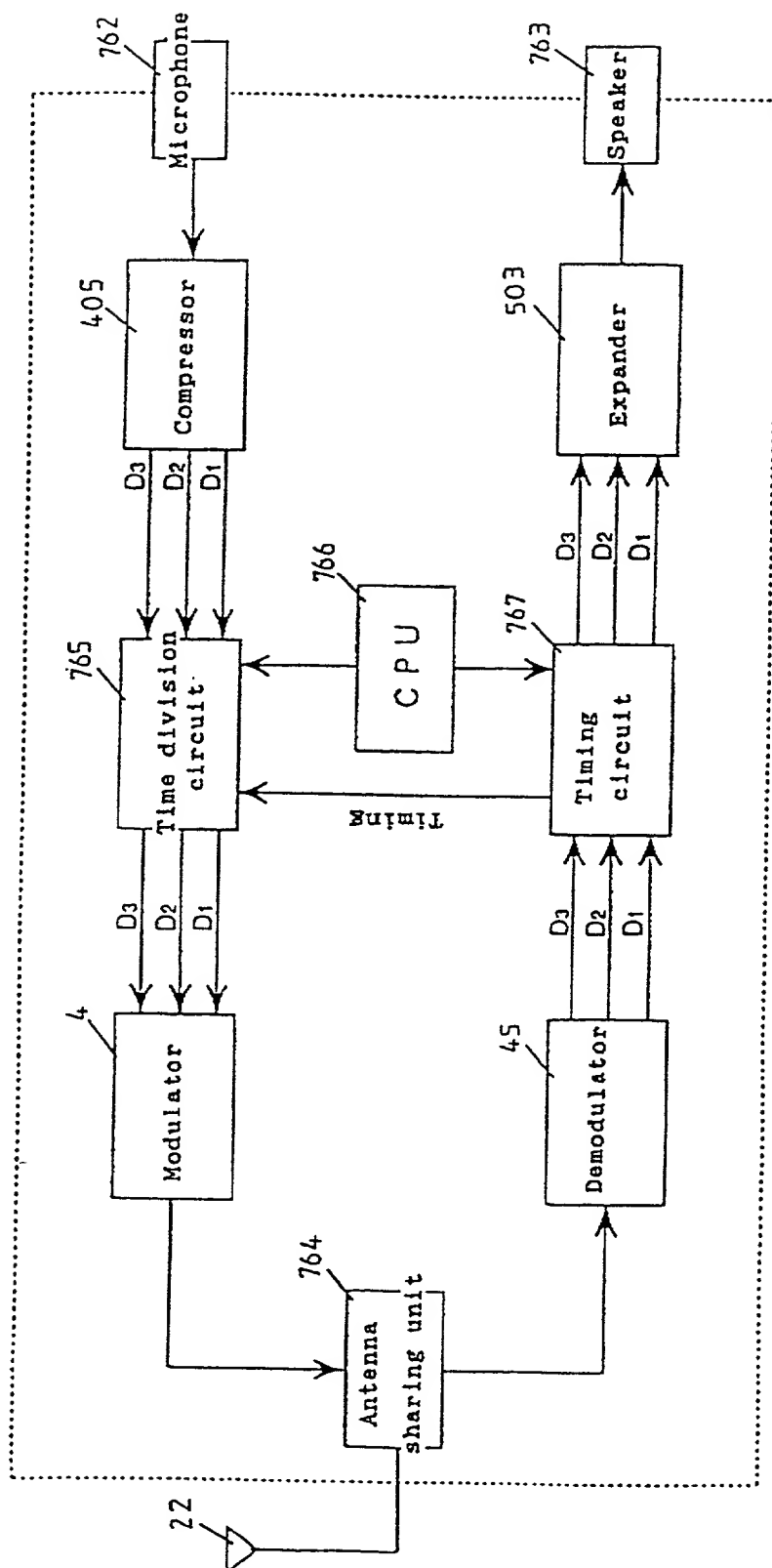


FIG. 115



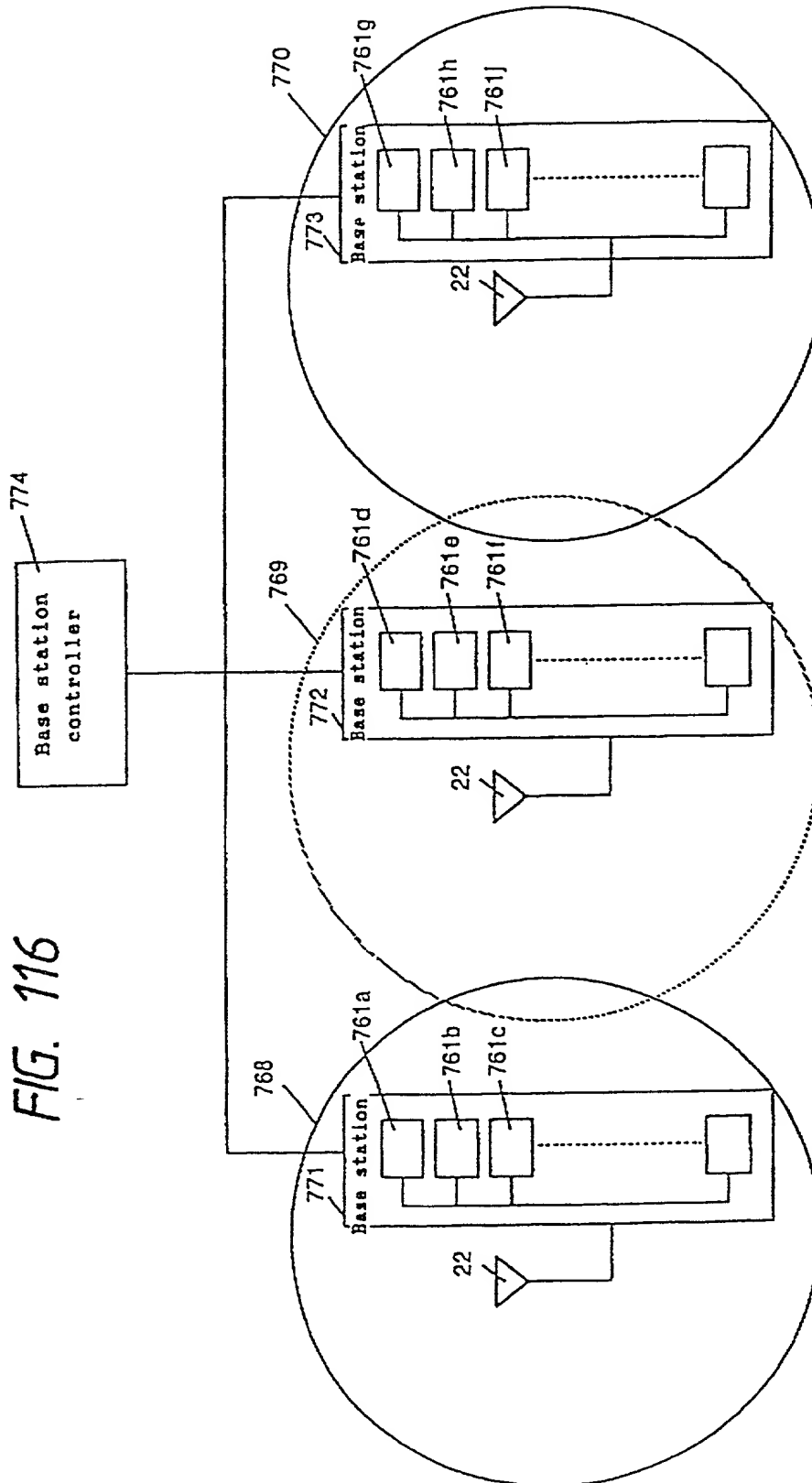
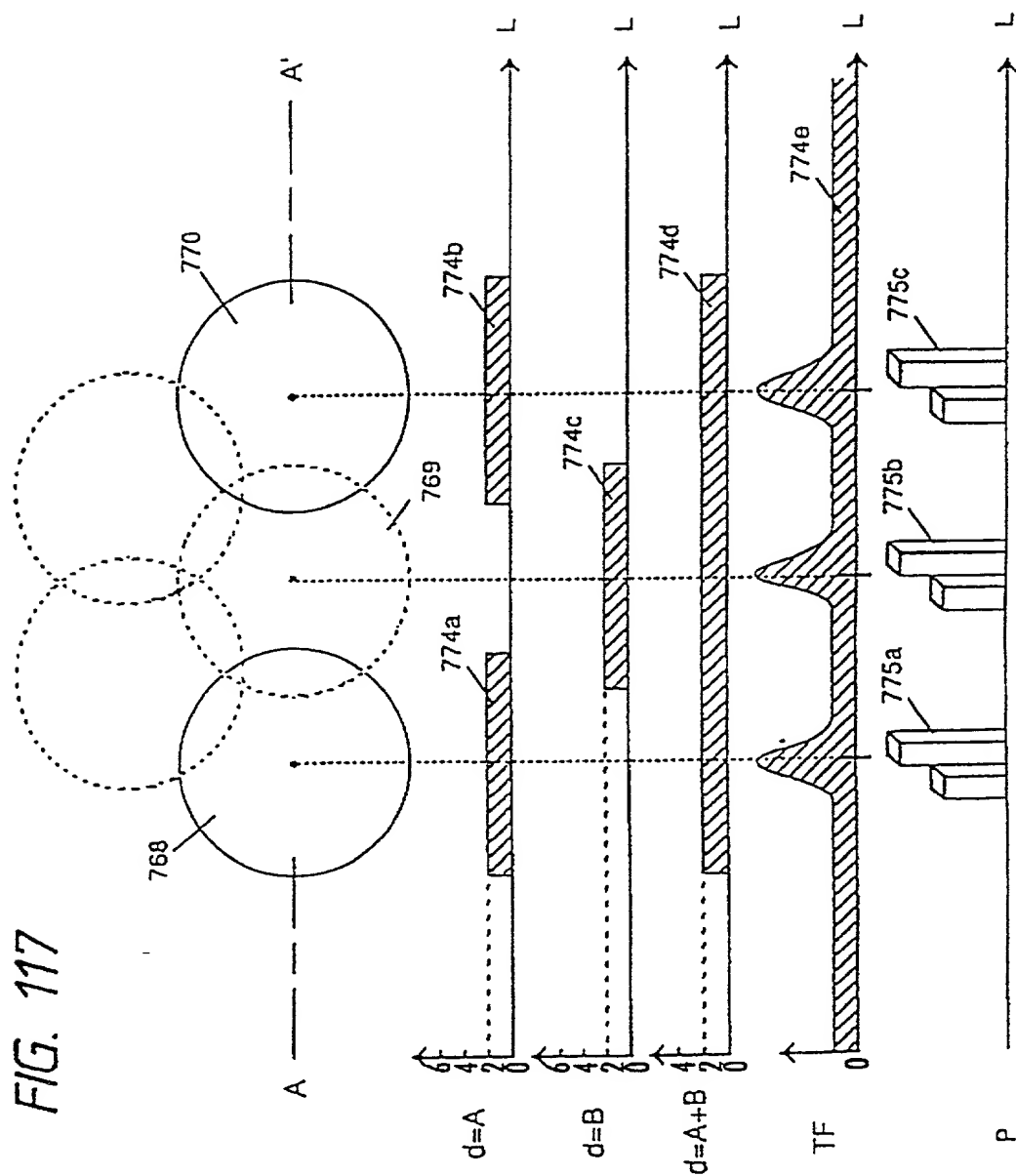




FIG. 117



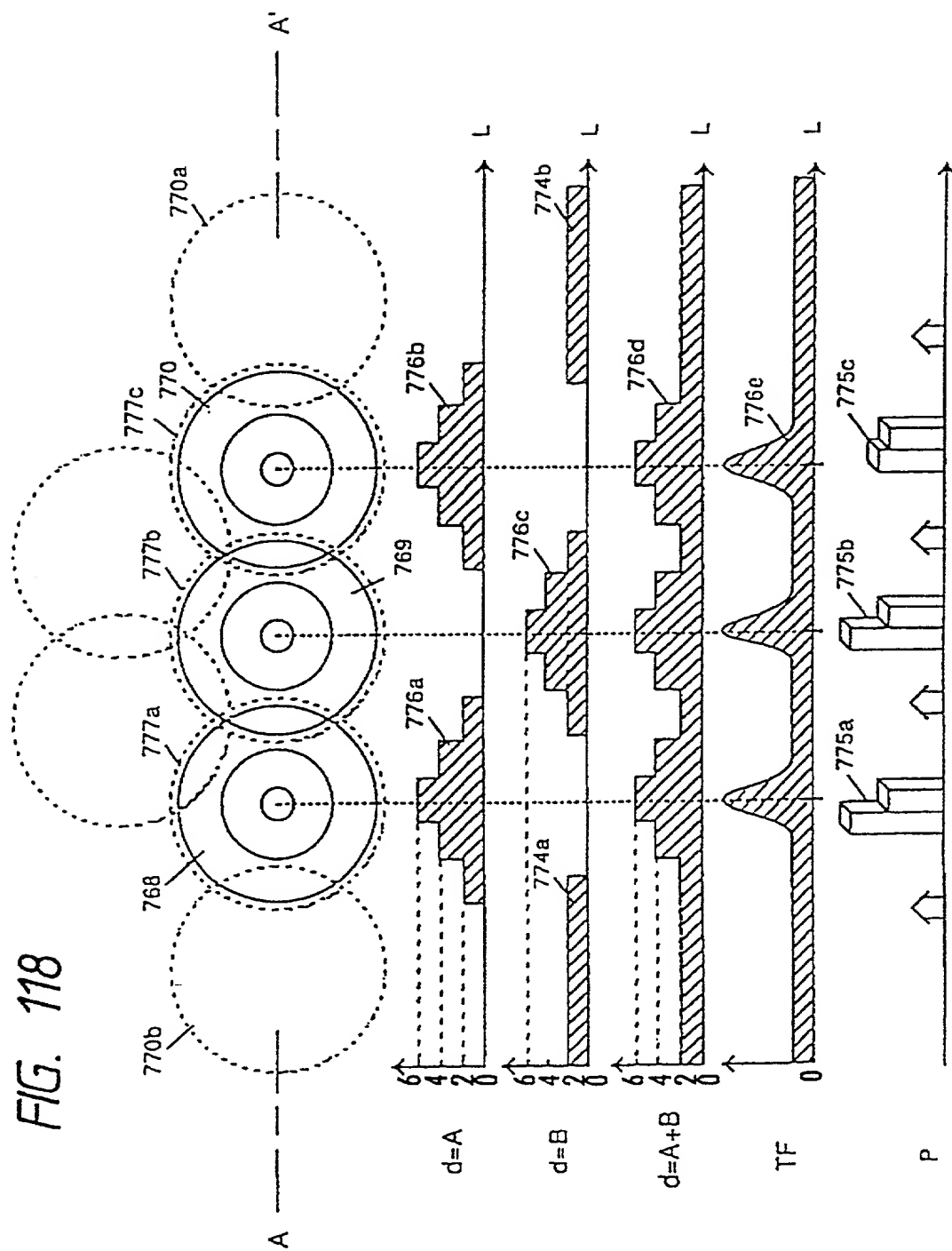


FIG. 119(a)

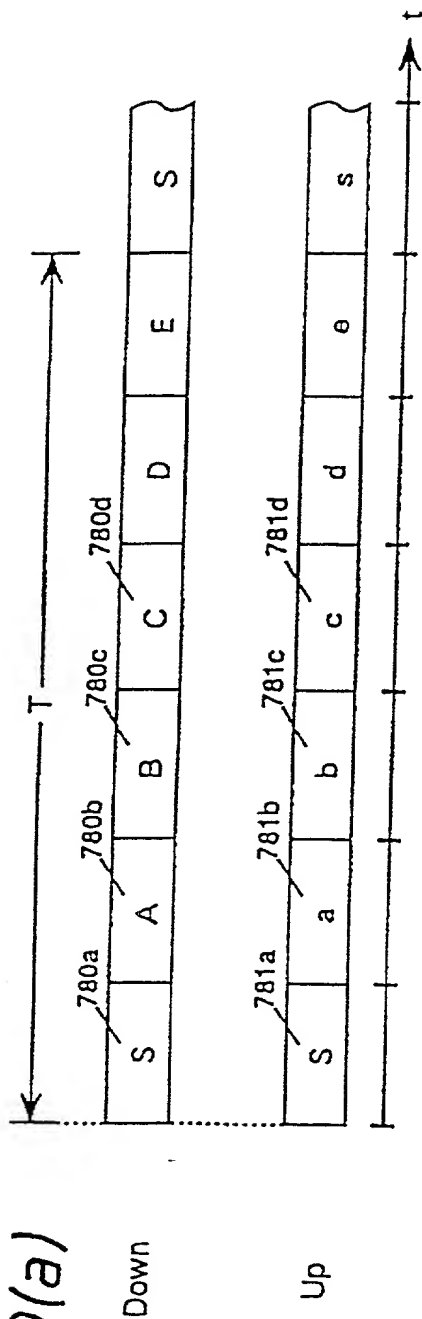


FIG. 119(b)

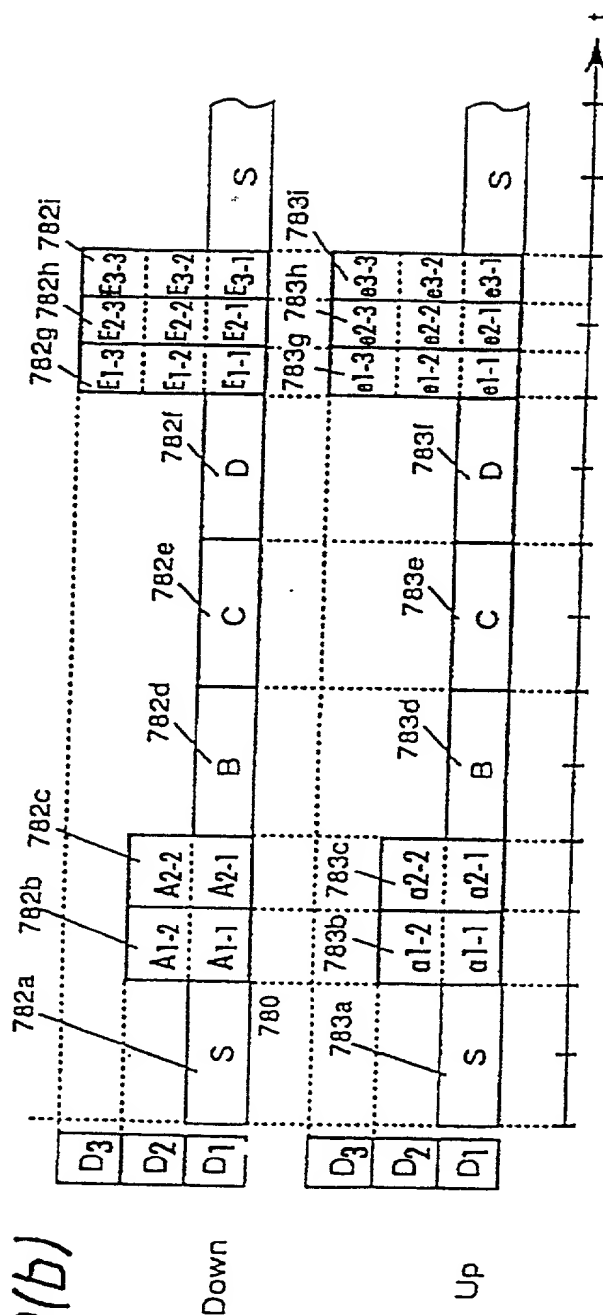


FIG. 120(a)

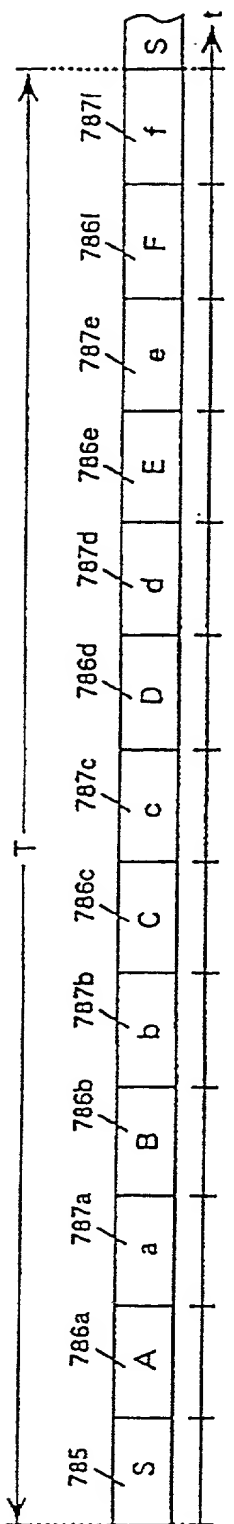


FIG. 120(b)

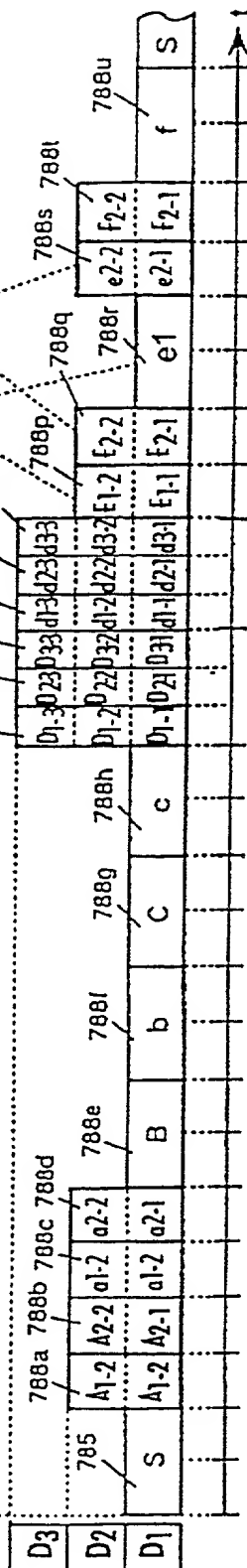


FIG. 121

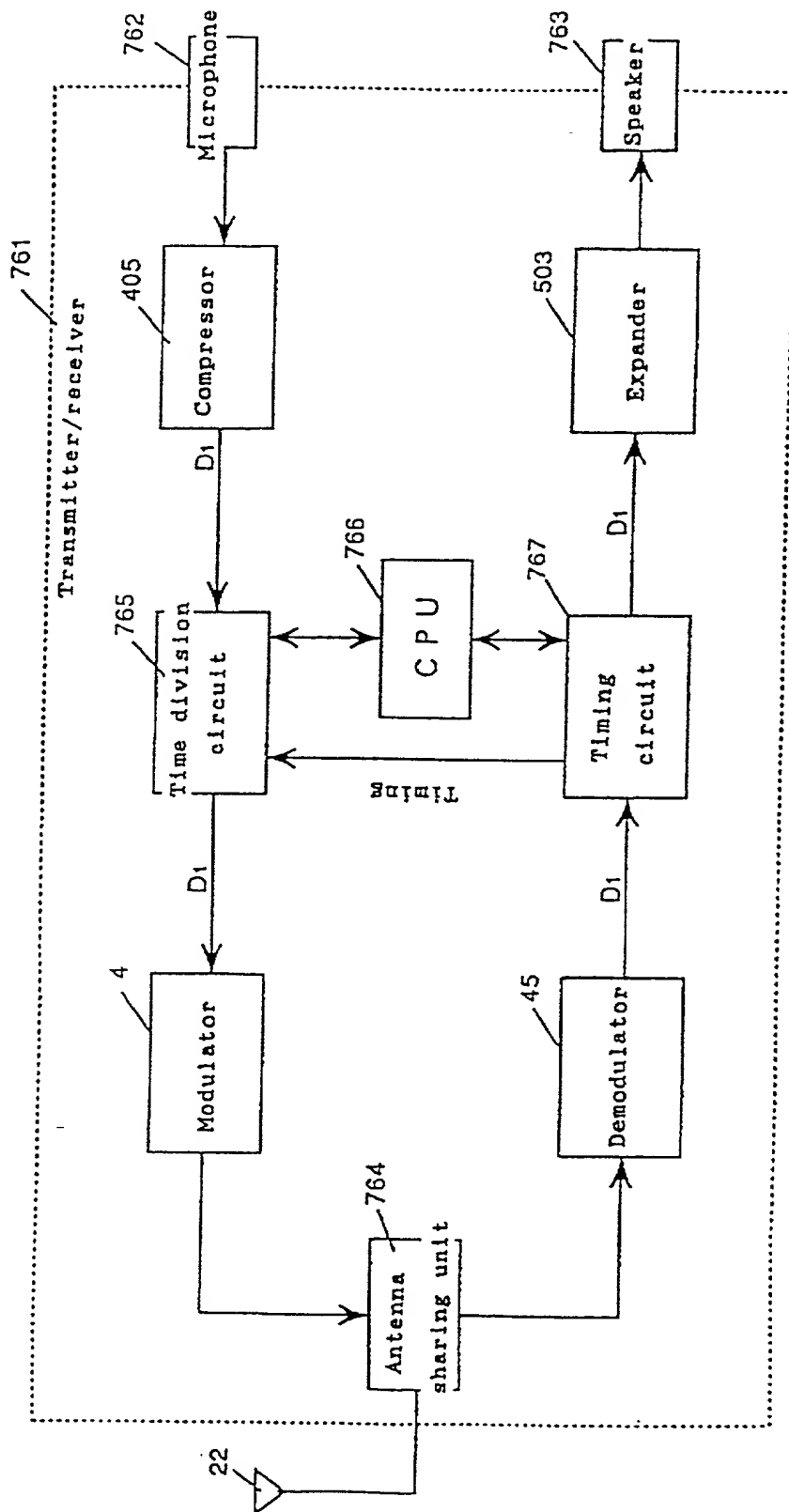


FIG. 122

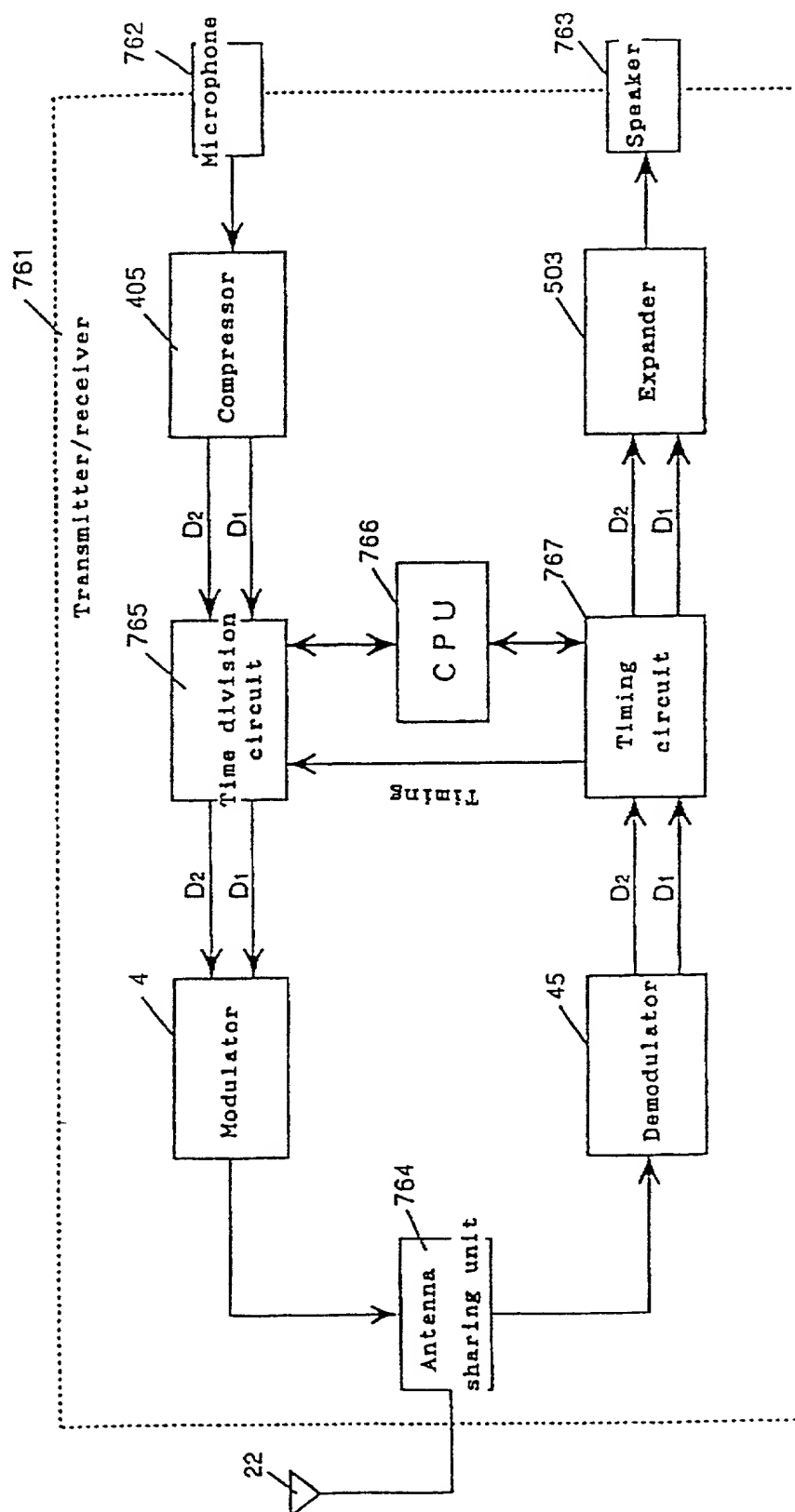
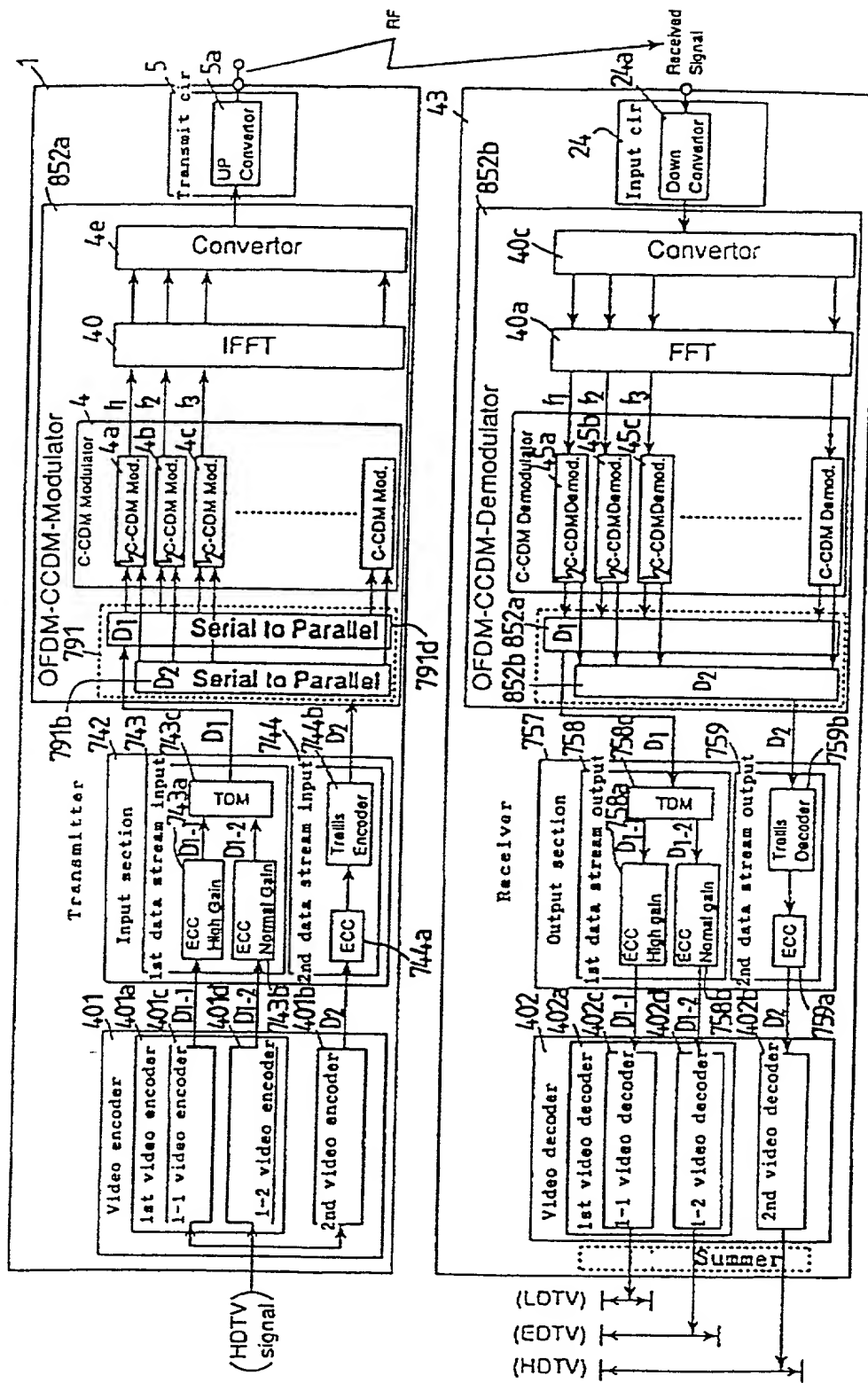


FIG. 123



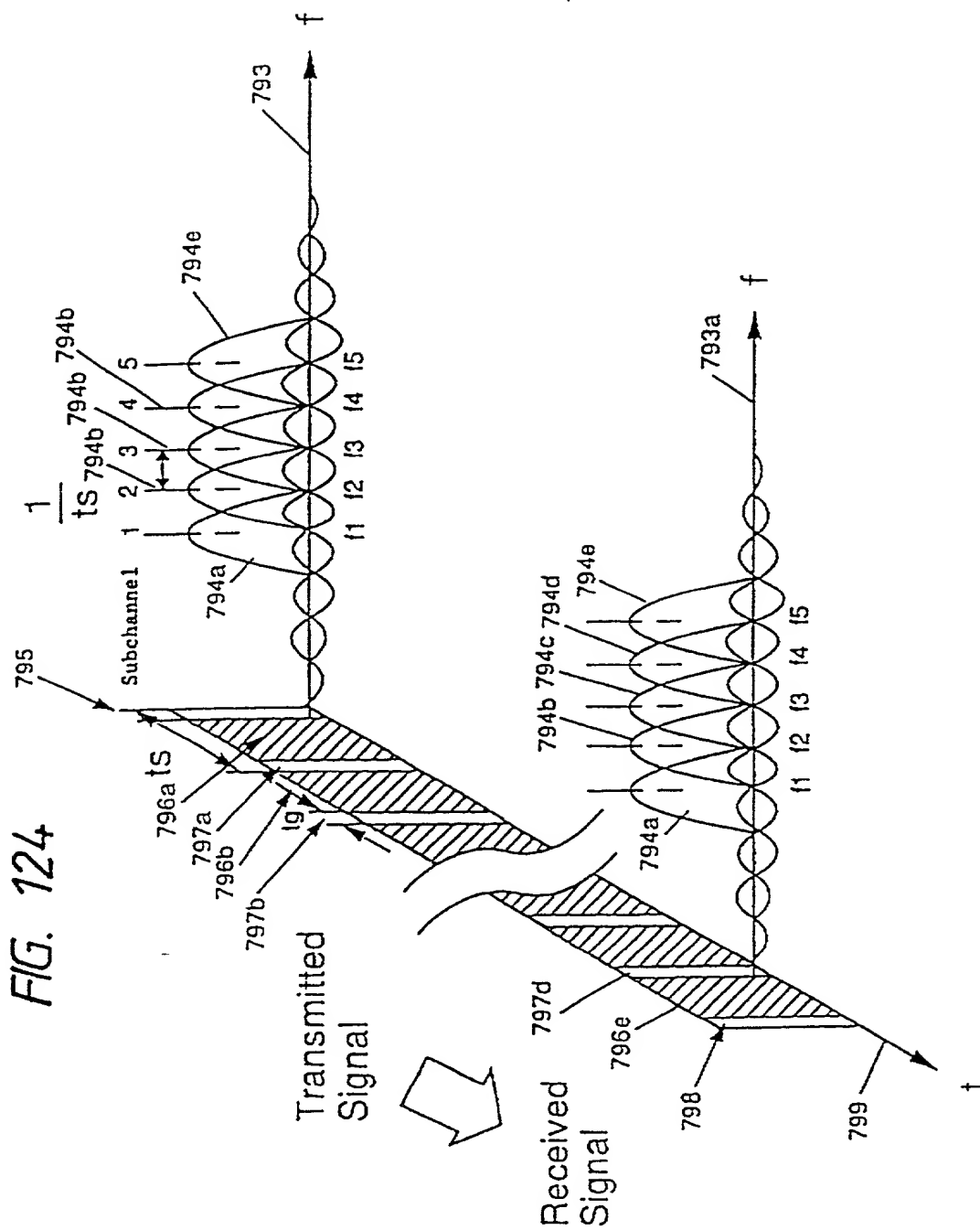




FIG. 125(a)

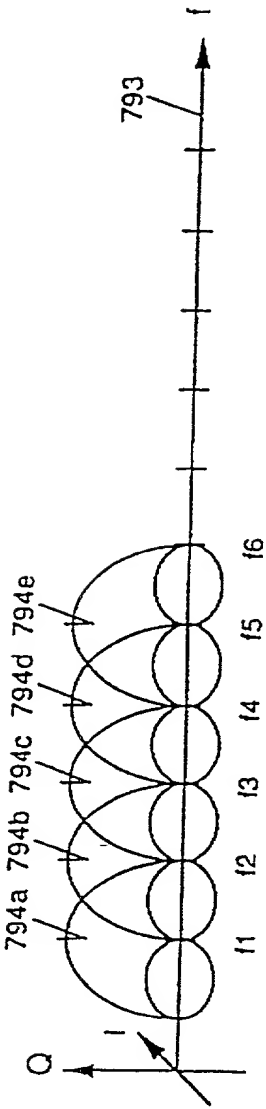
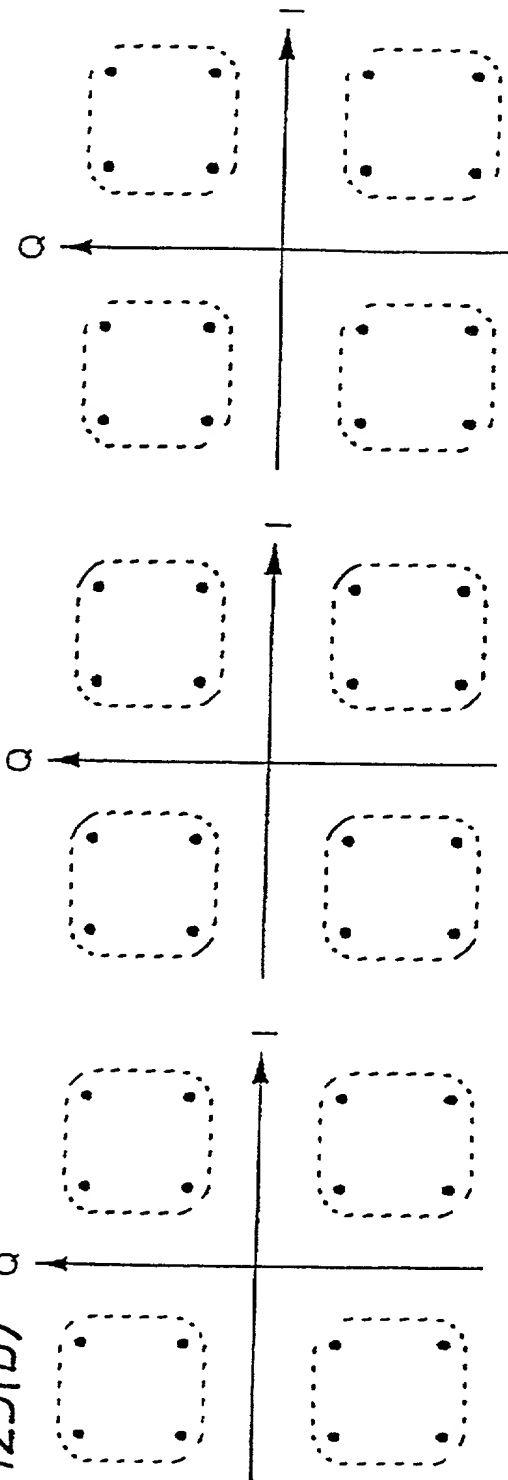


FIG. 125(b)



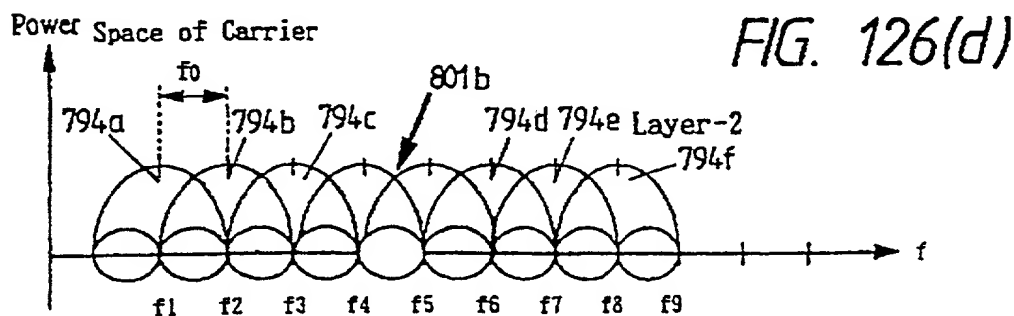
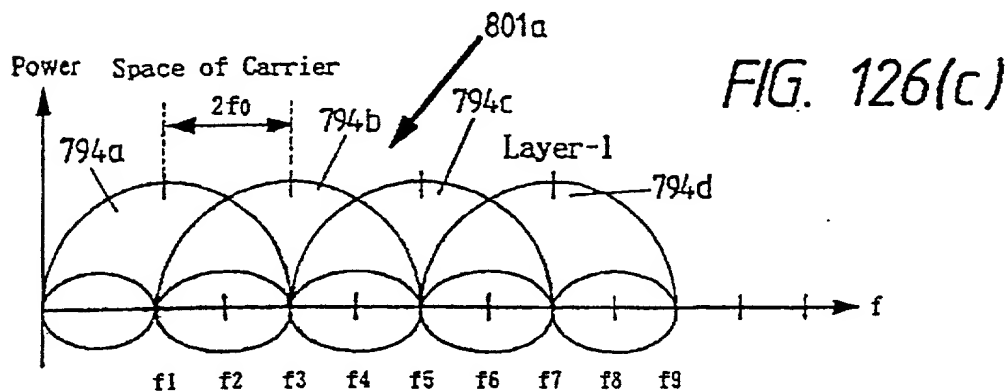
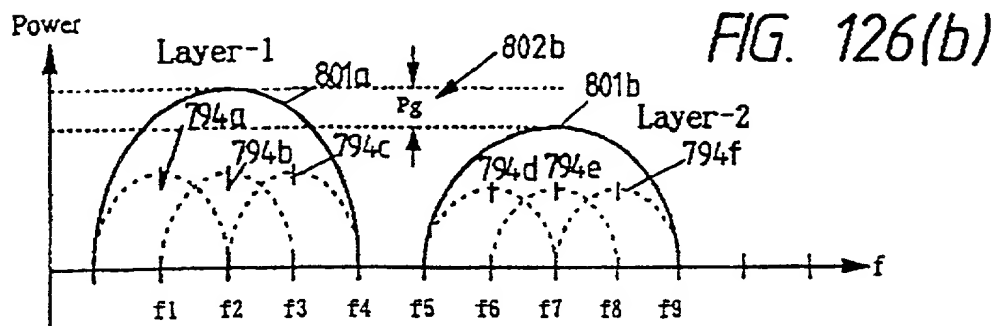
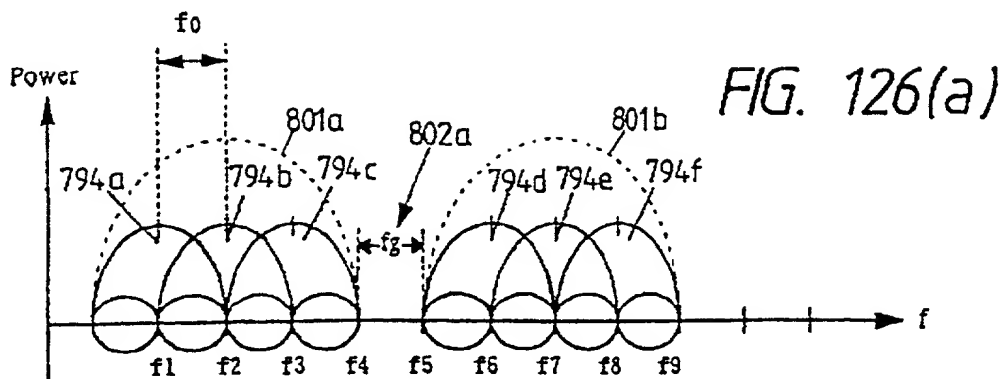


FIG. 127

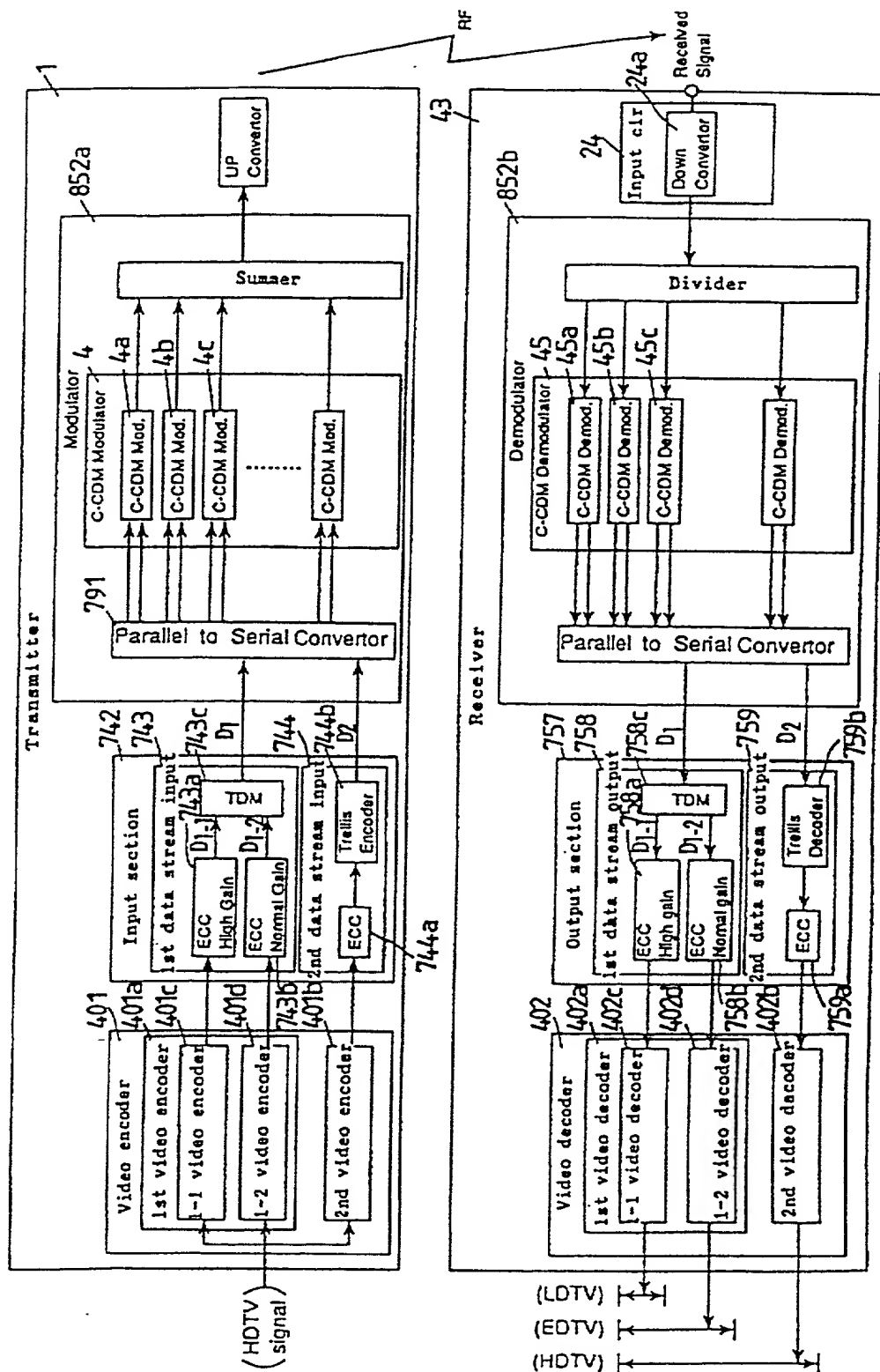


FIG. 128(a)

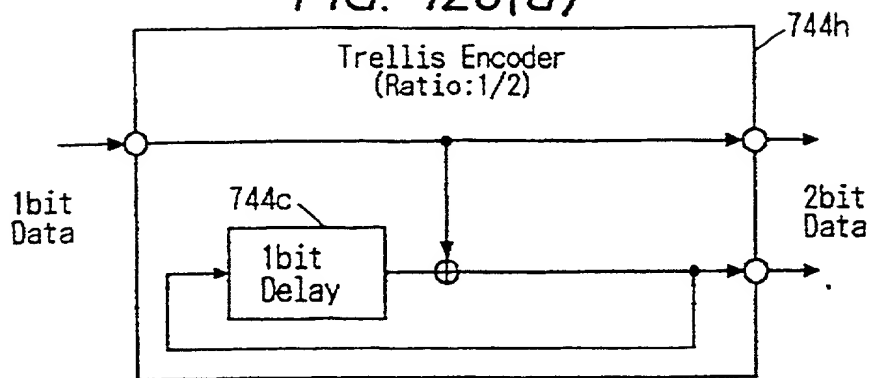


FIG. 128(b)

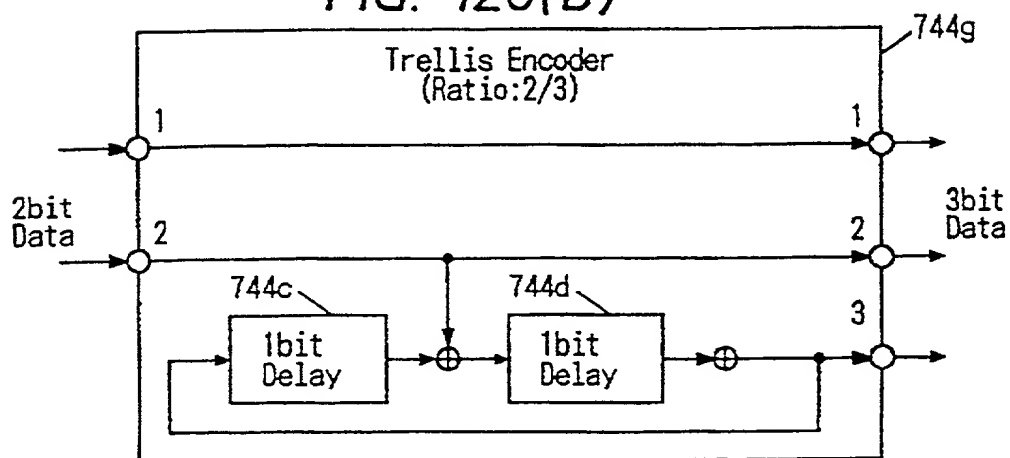


FIG. 128(c)

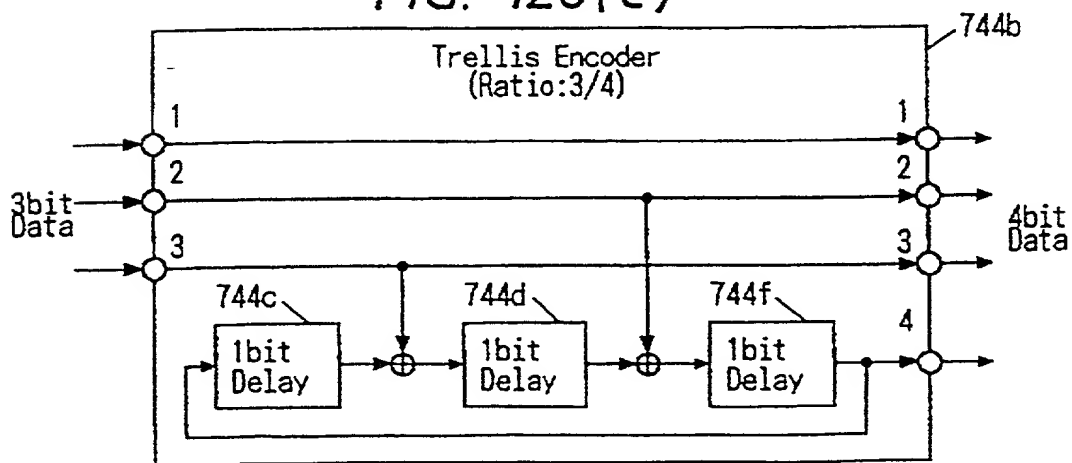


FIG. 128(d)

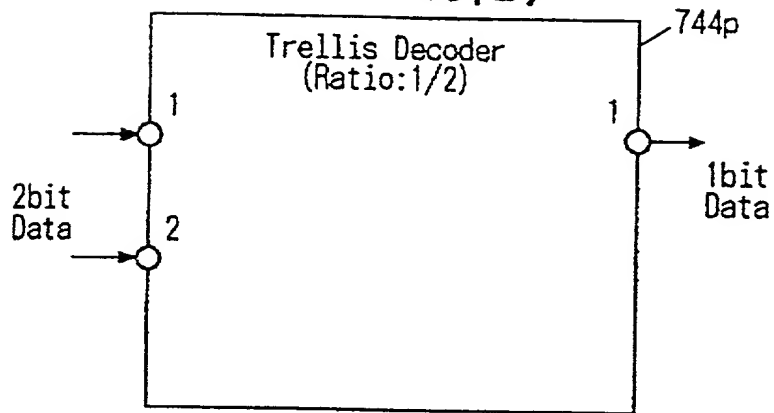


FIG. 128(e)

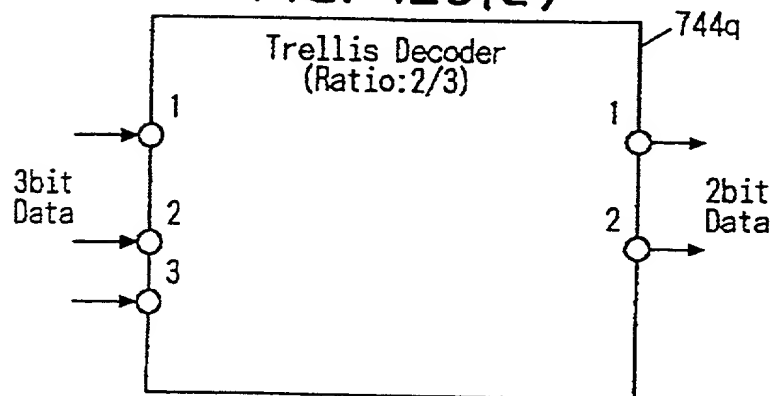


FIG. 128(f)

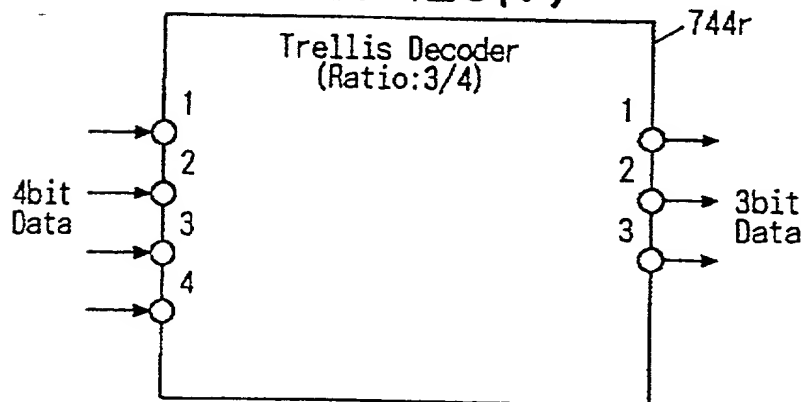
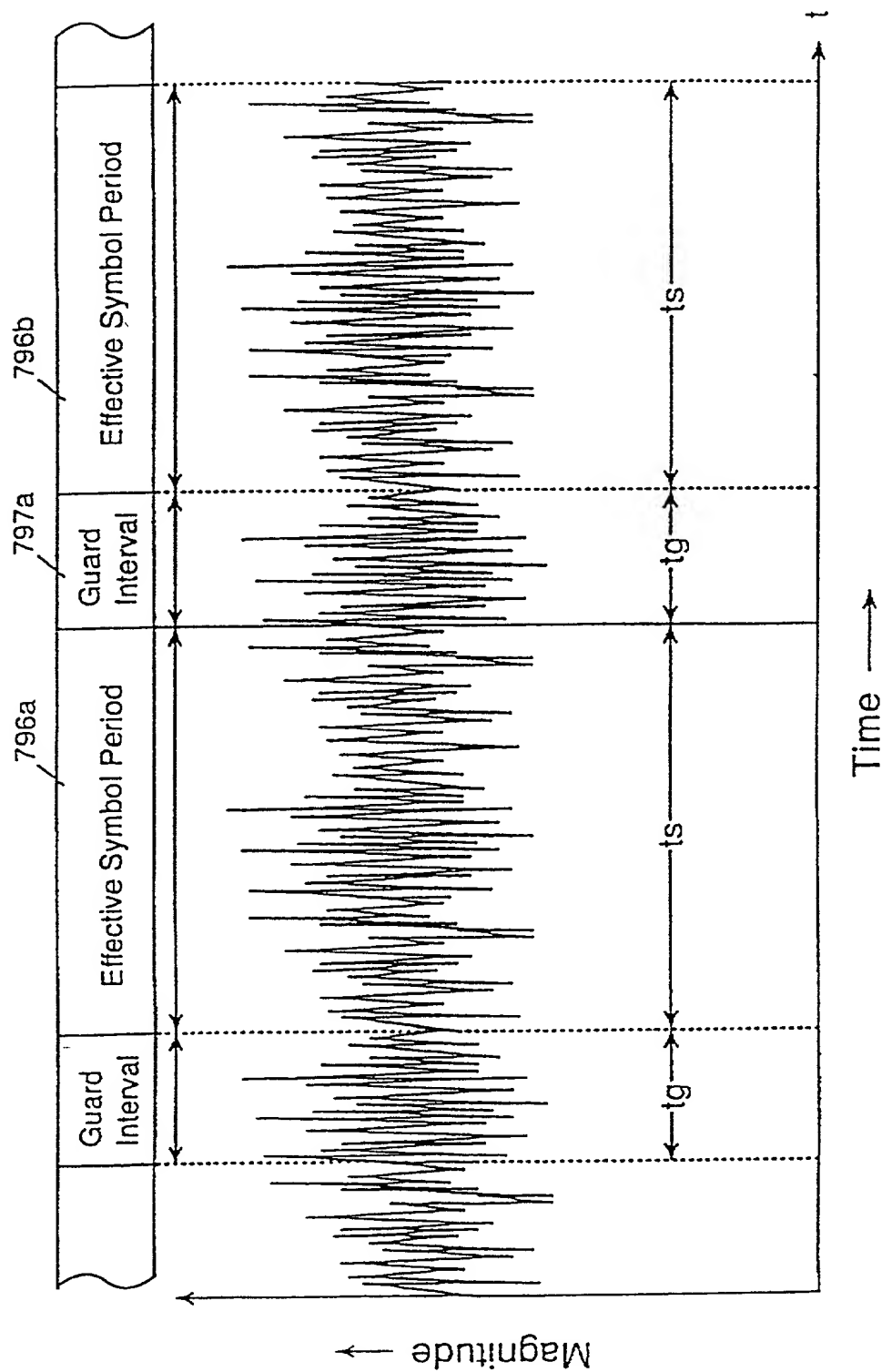


FIG. 129



GHOST DELAY=2 $\mu$ s, 0/1-8dB  
Figure 8 Bit Error Rate Performance Under Single Ghost  
and Gaussian Noise (1)

FIG. 130

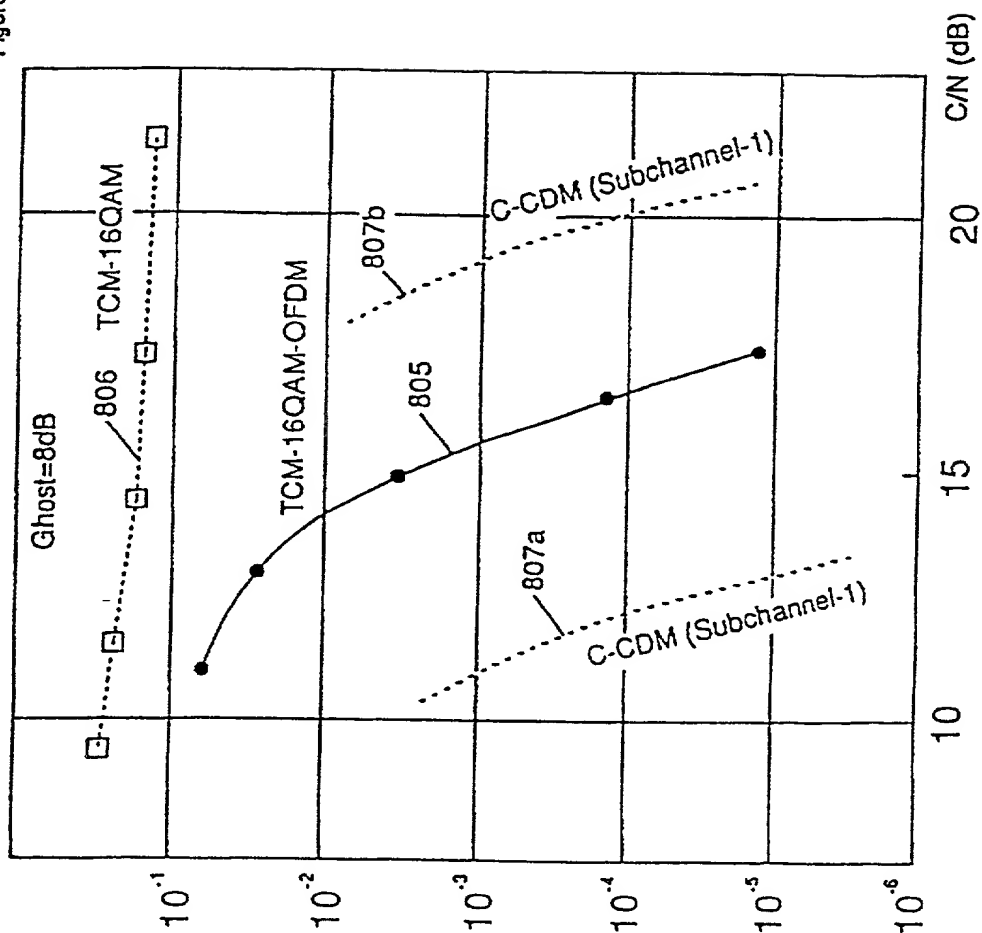


FIG. 131

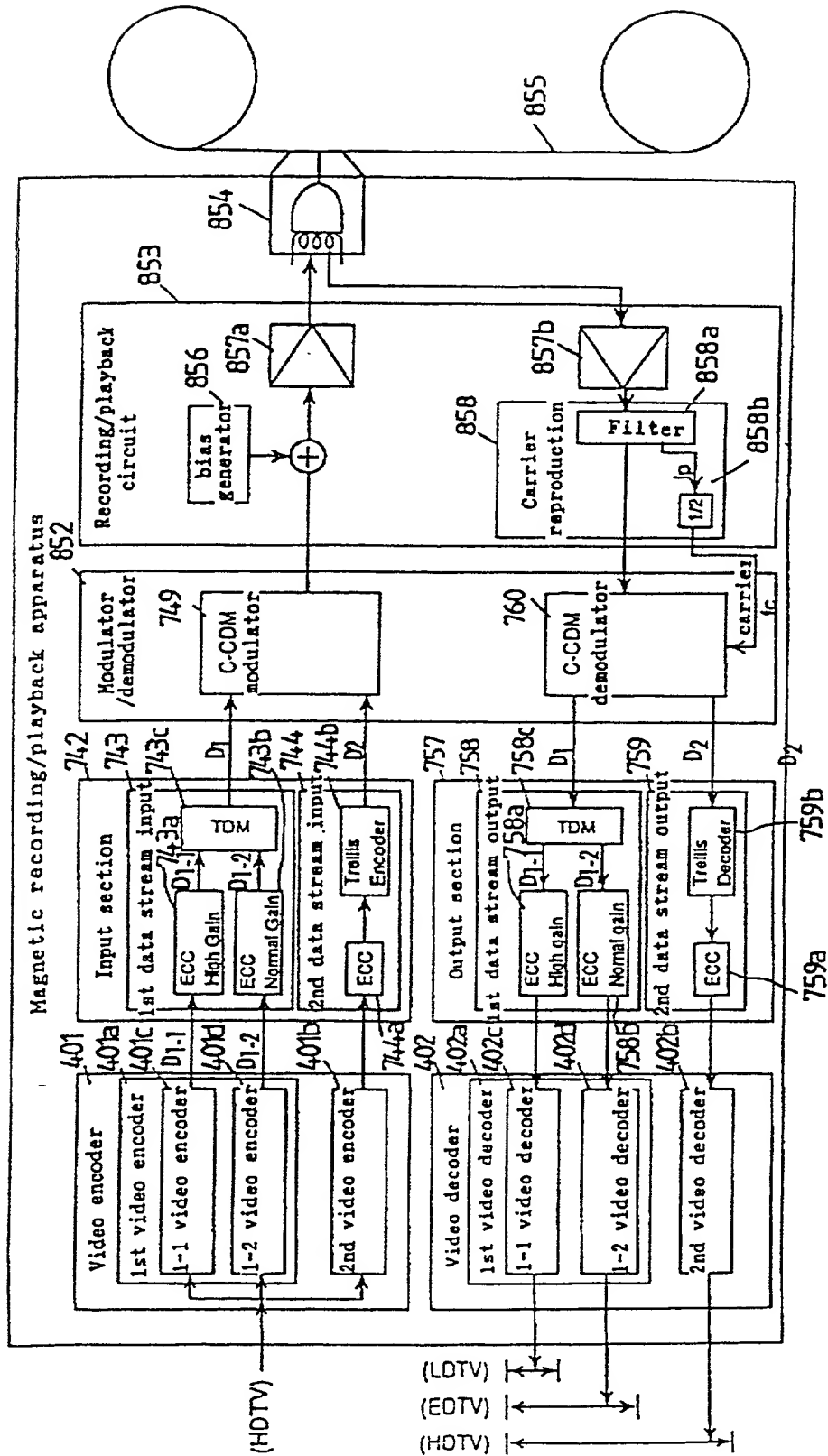




FIG. 132

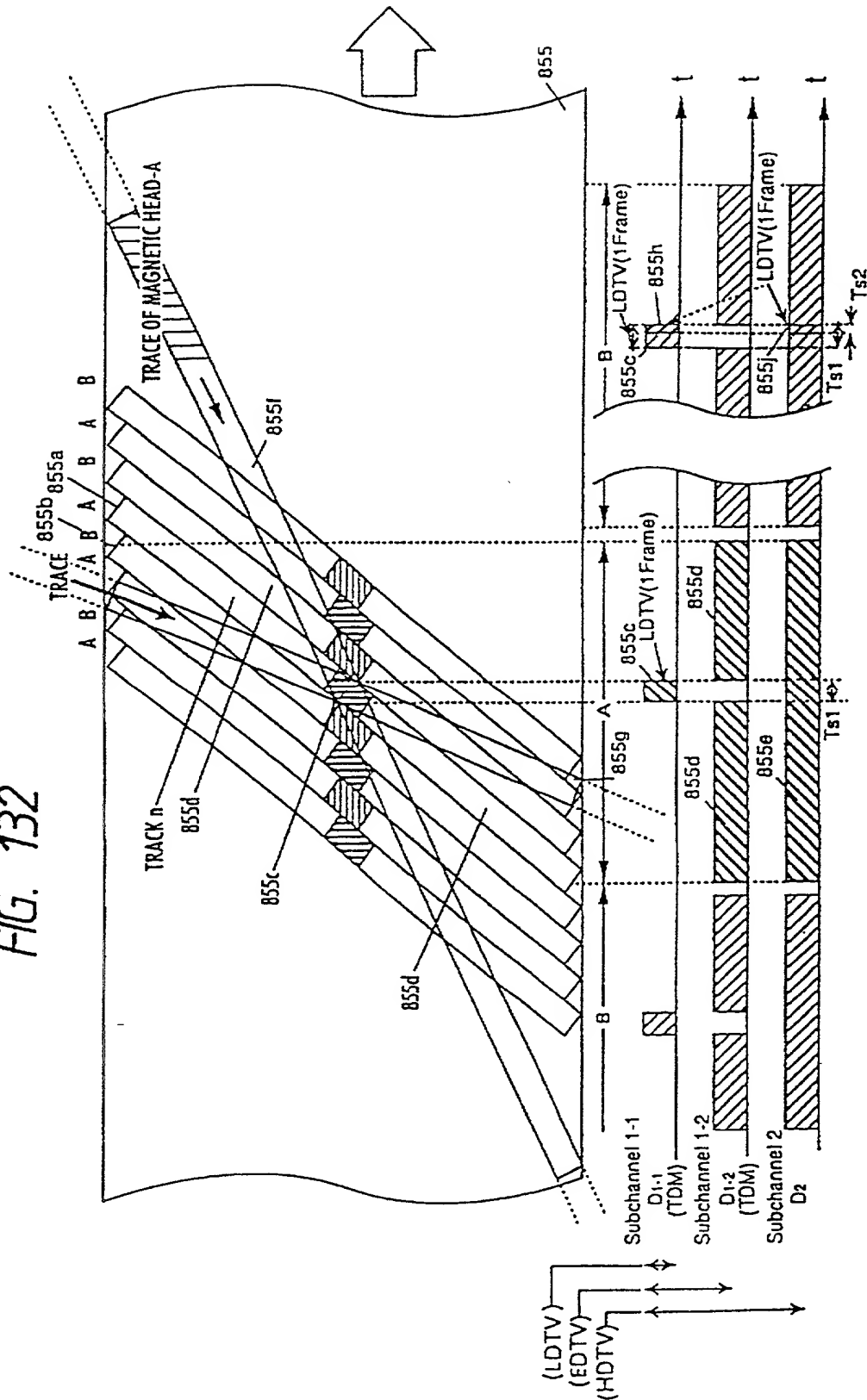


FIG. 133

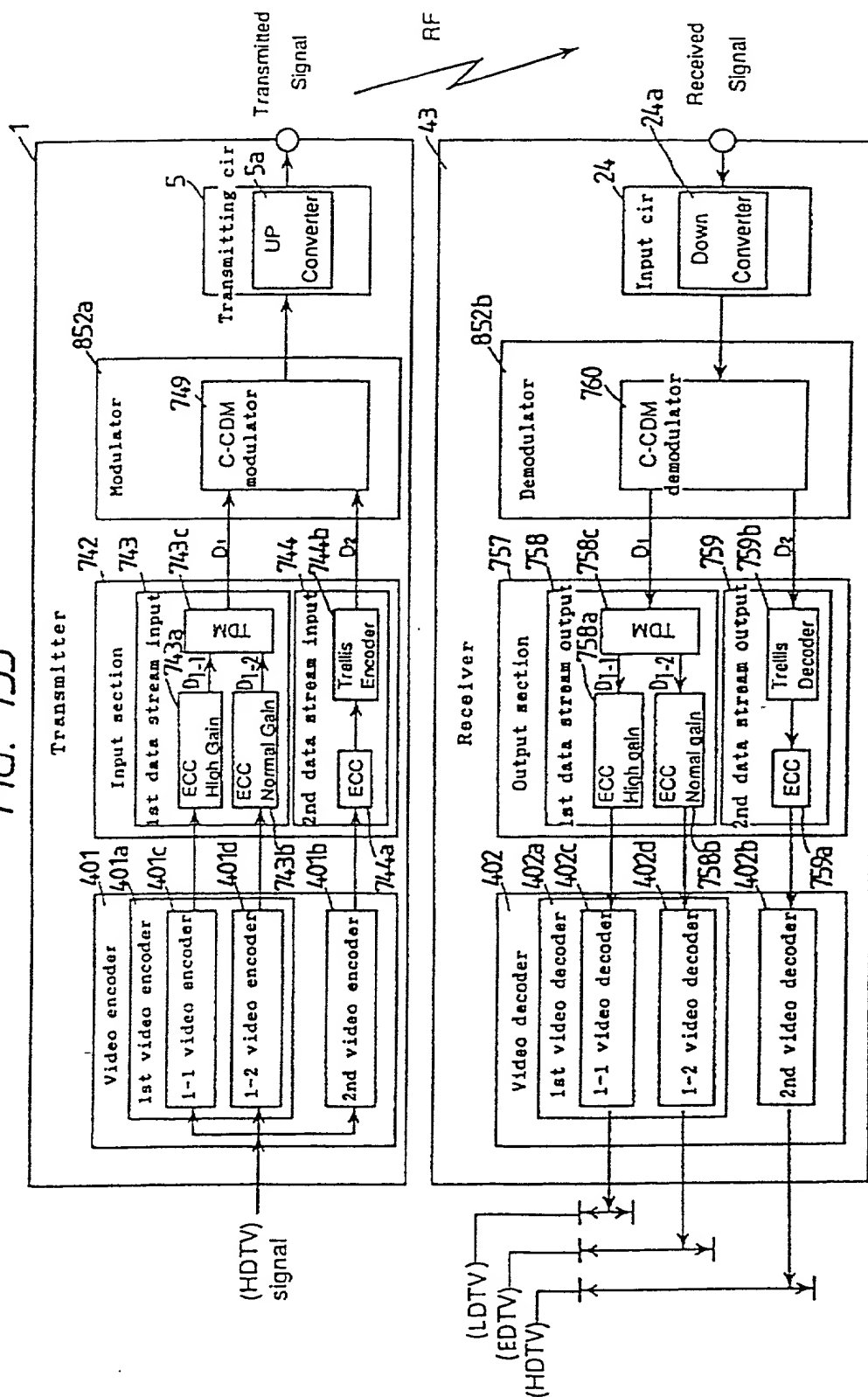


FIG. 134

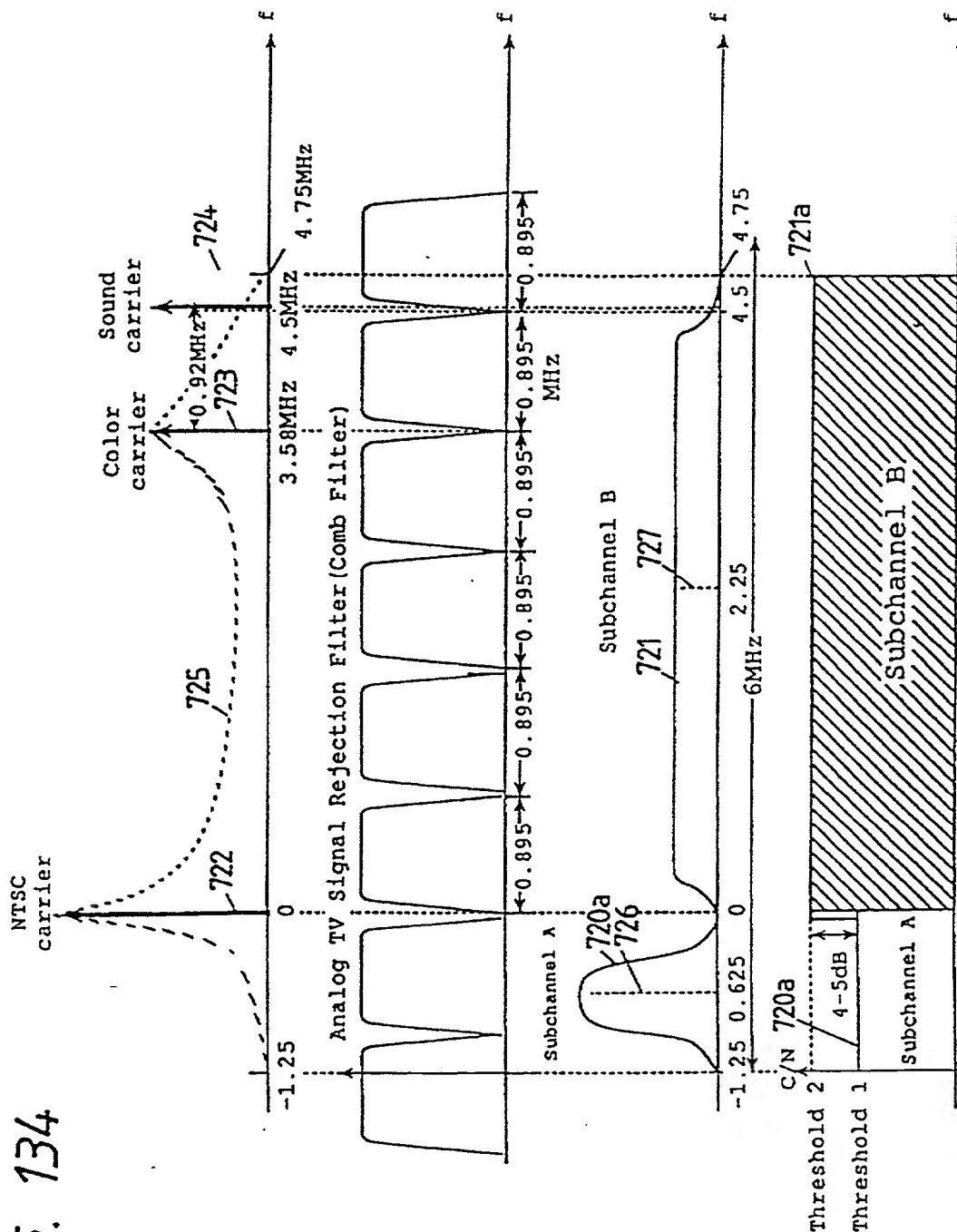


FIG. 135

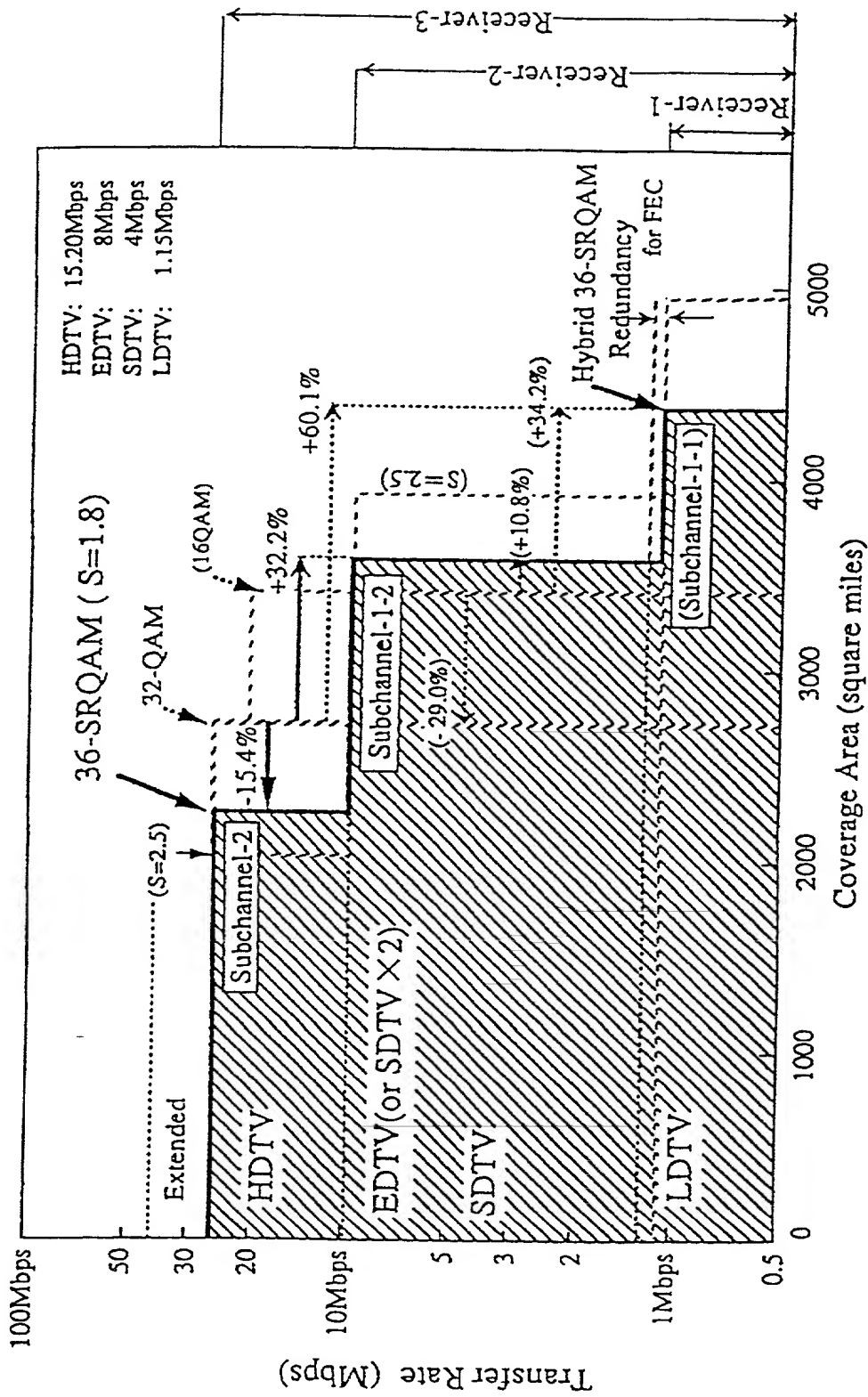


FIG. 136

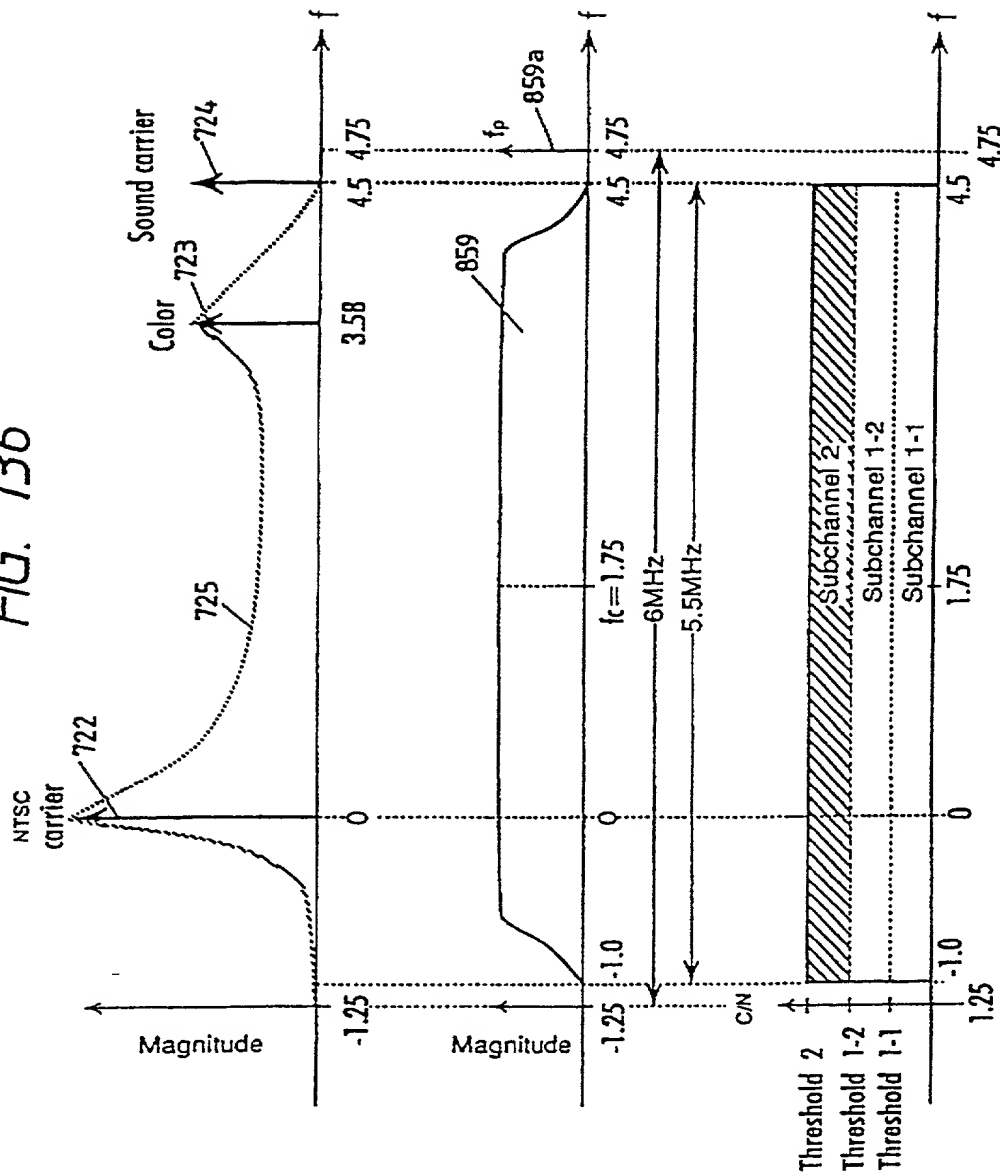


FIG. 137

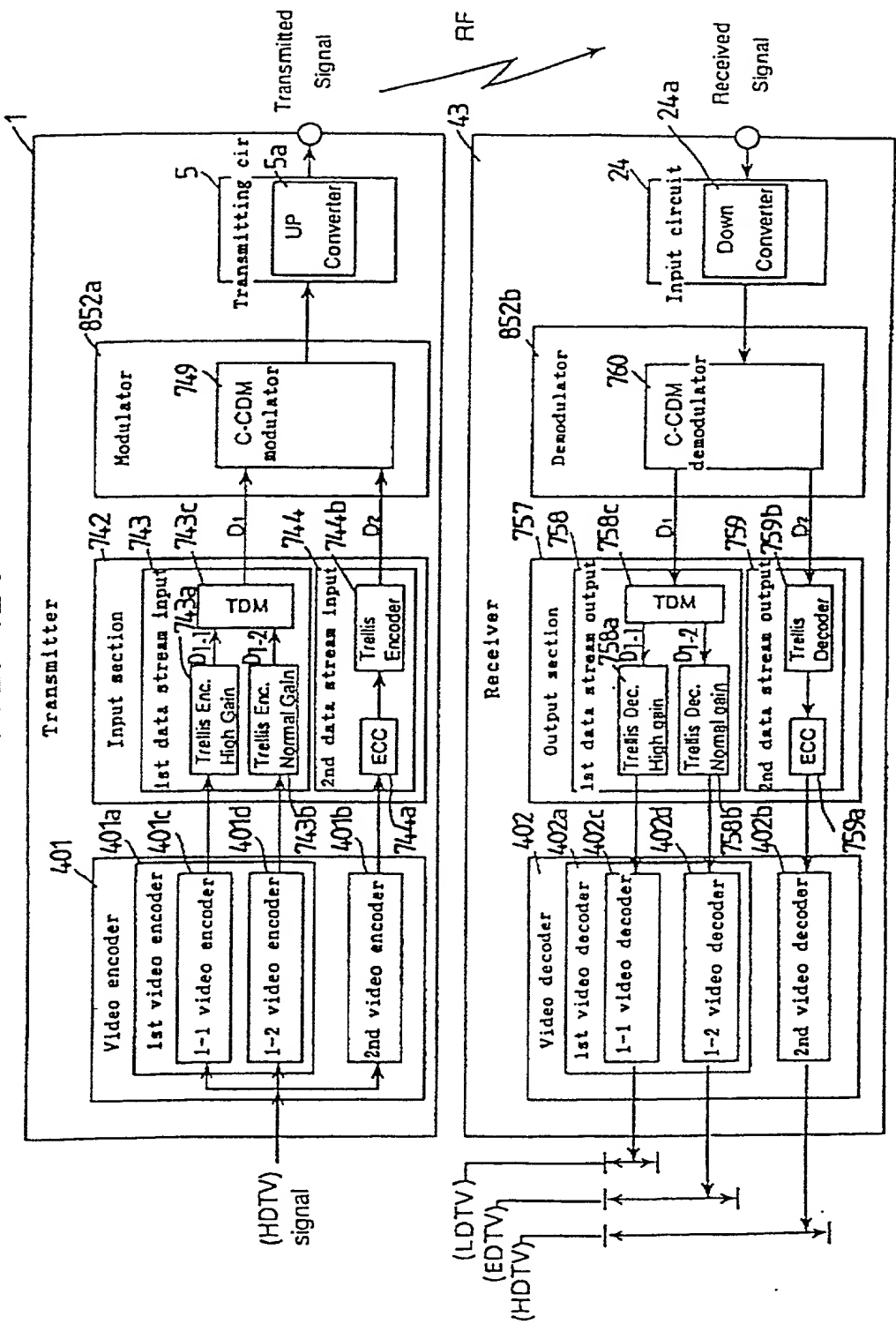


FIG. 138

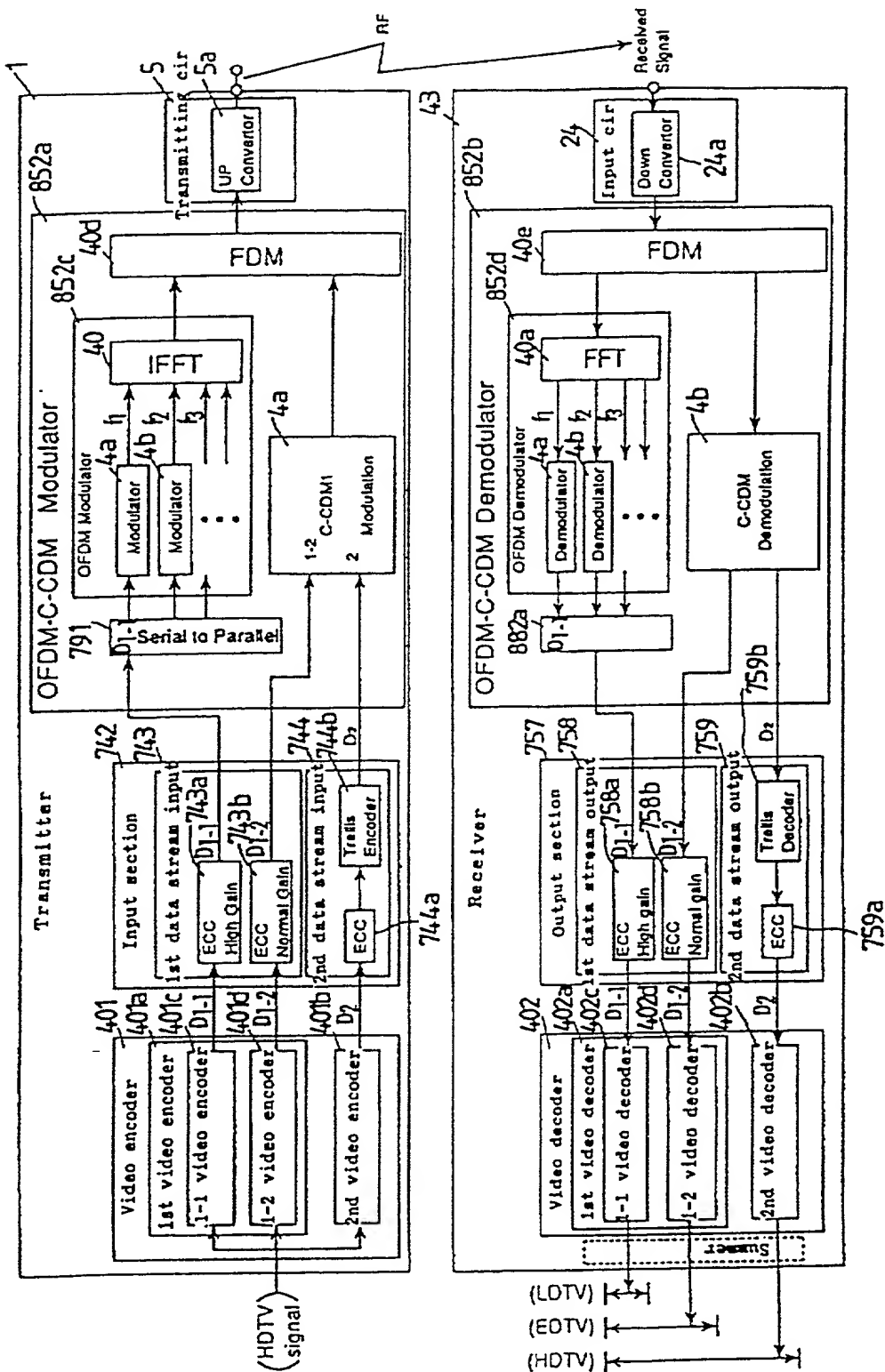


FIG. 139

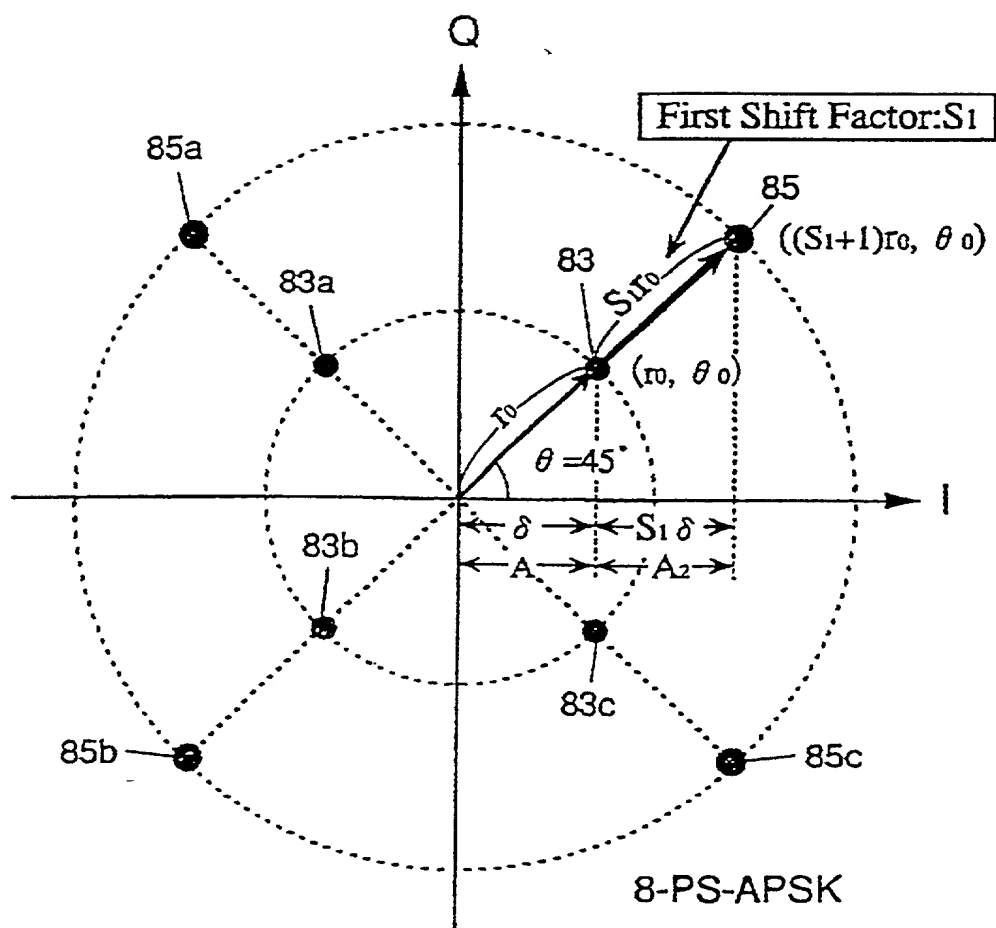






FIG. 141

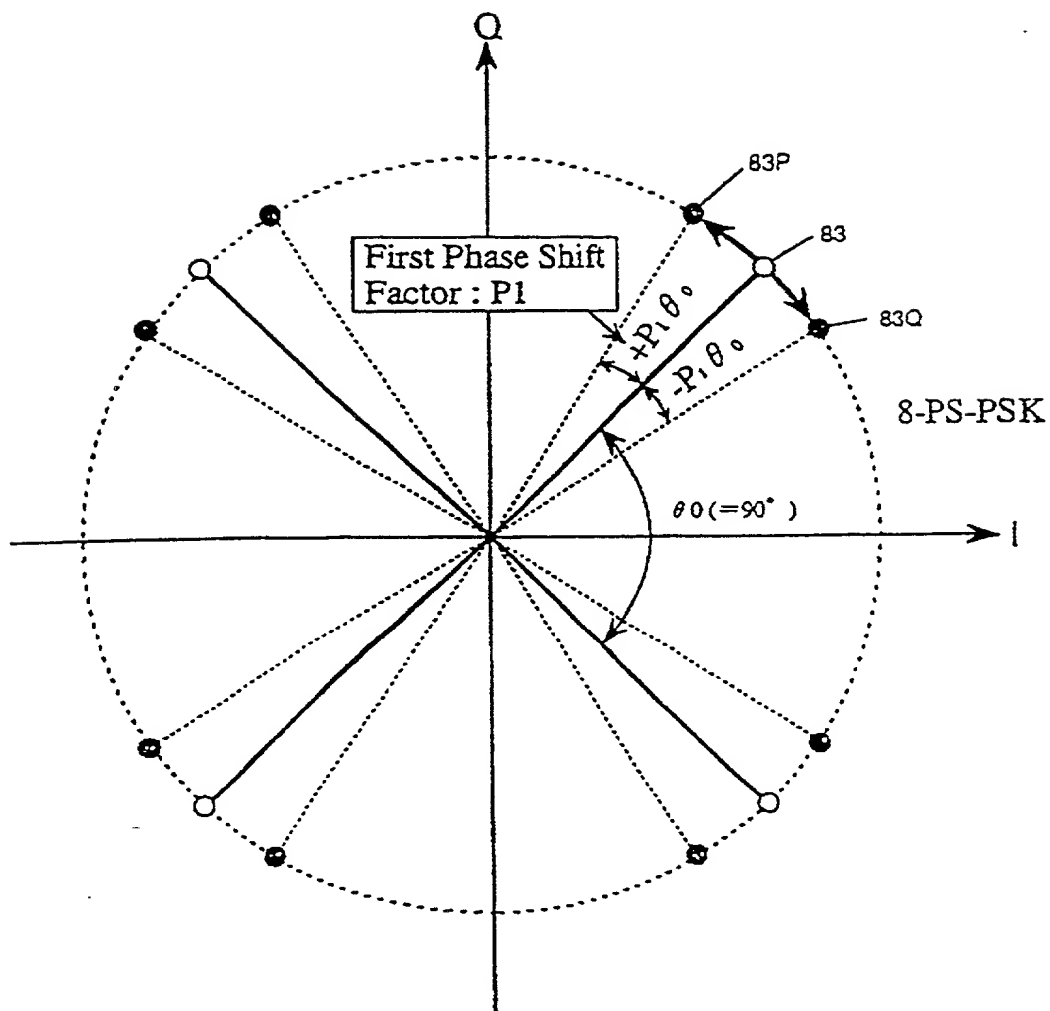


FIG. 142

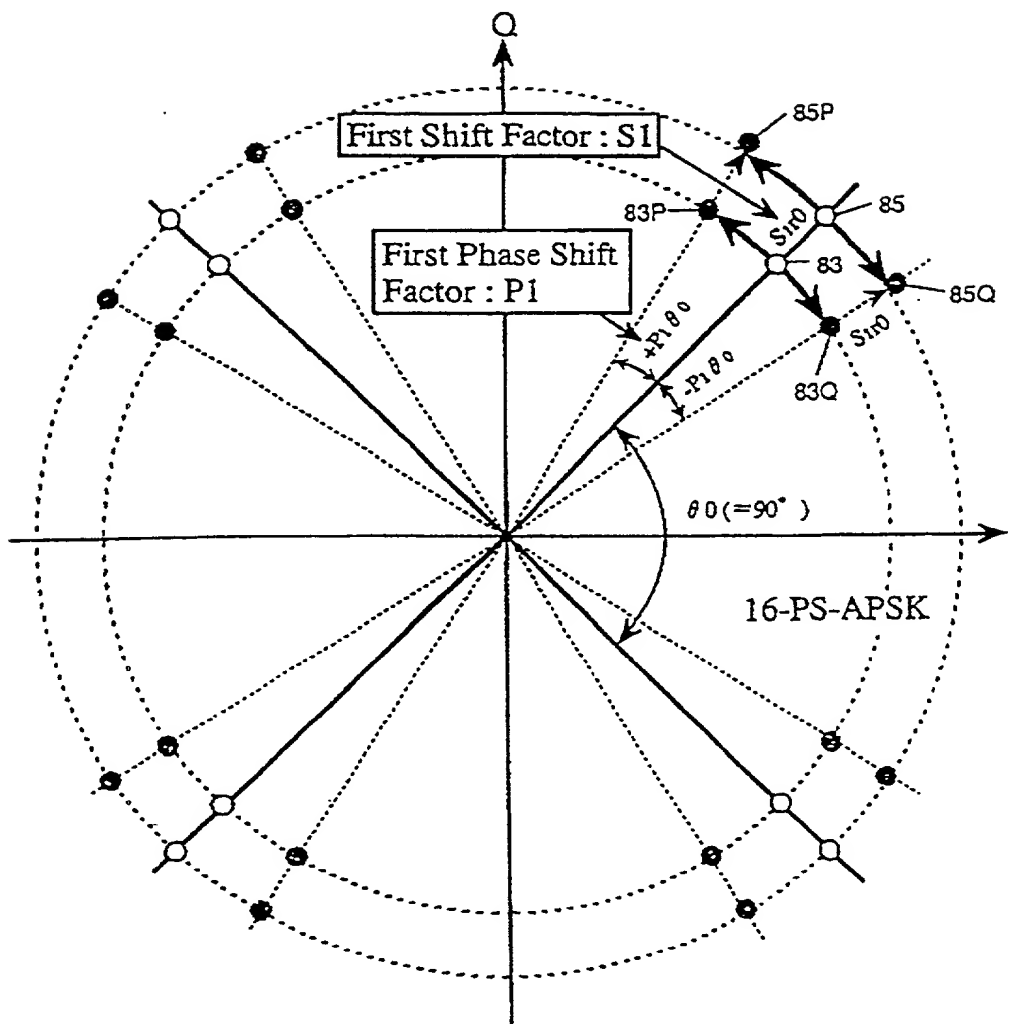


FIG. 143

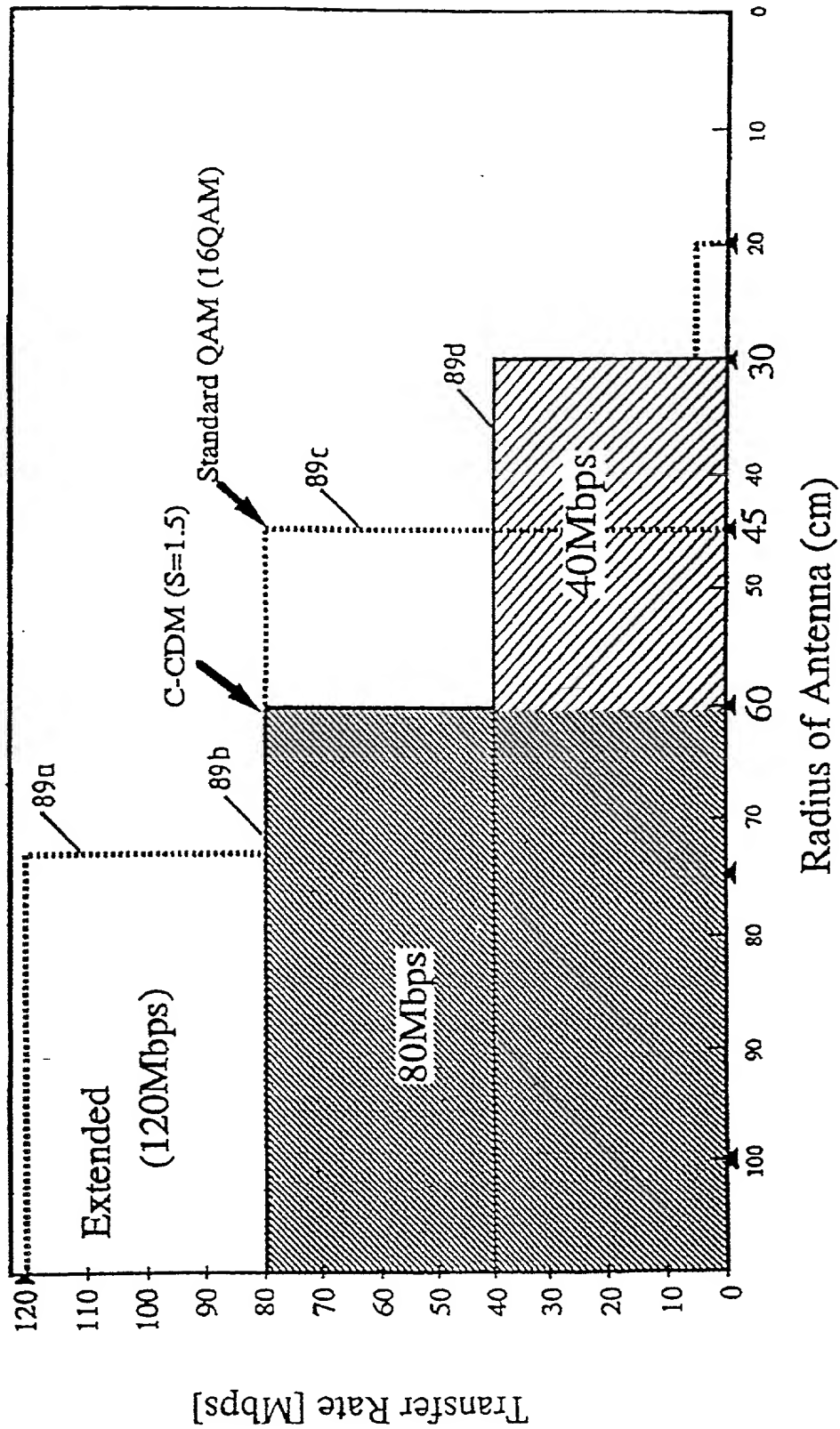
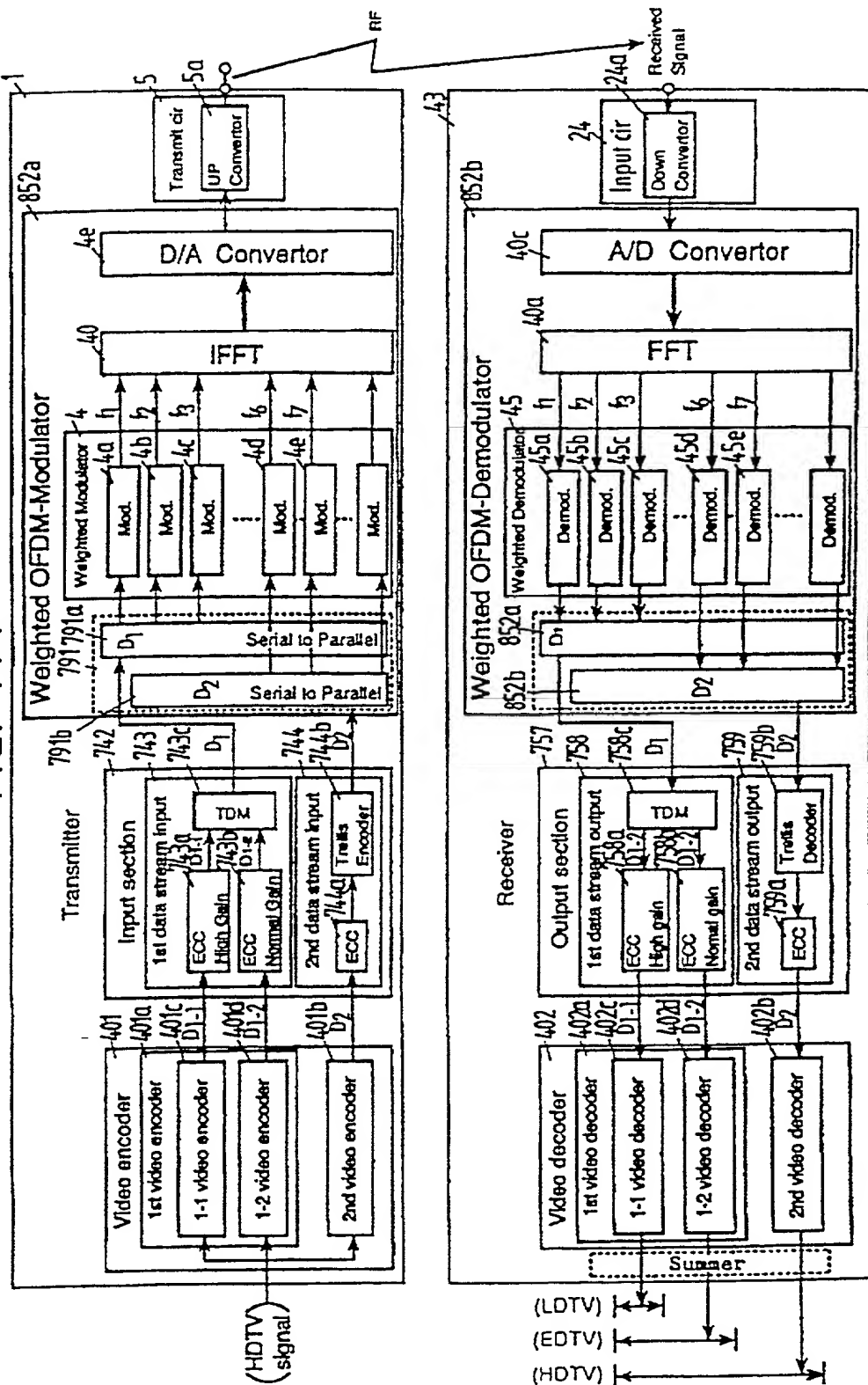


FIG. 144



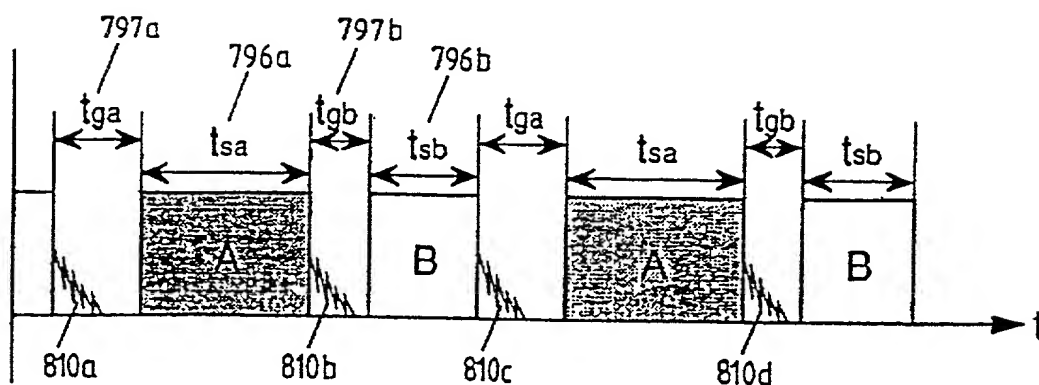


FIG. 145(b)

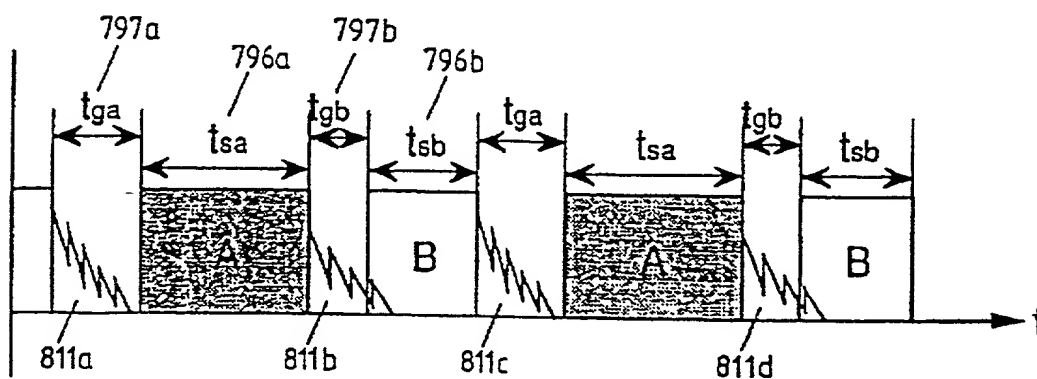


FIG. 146

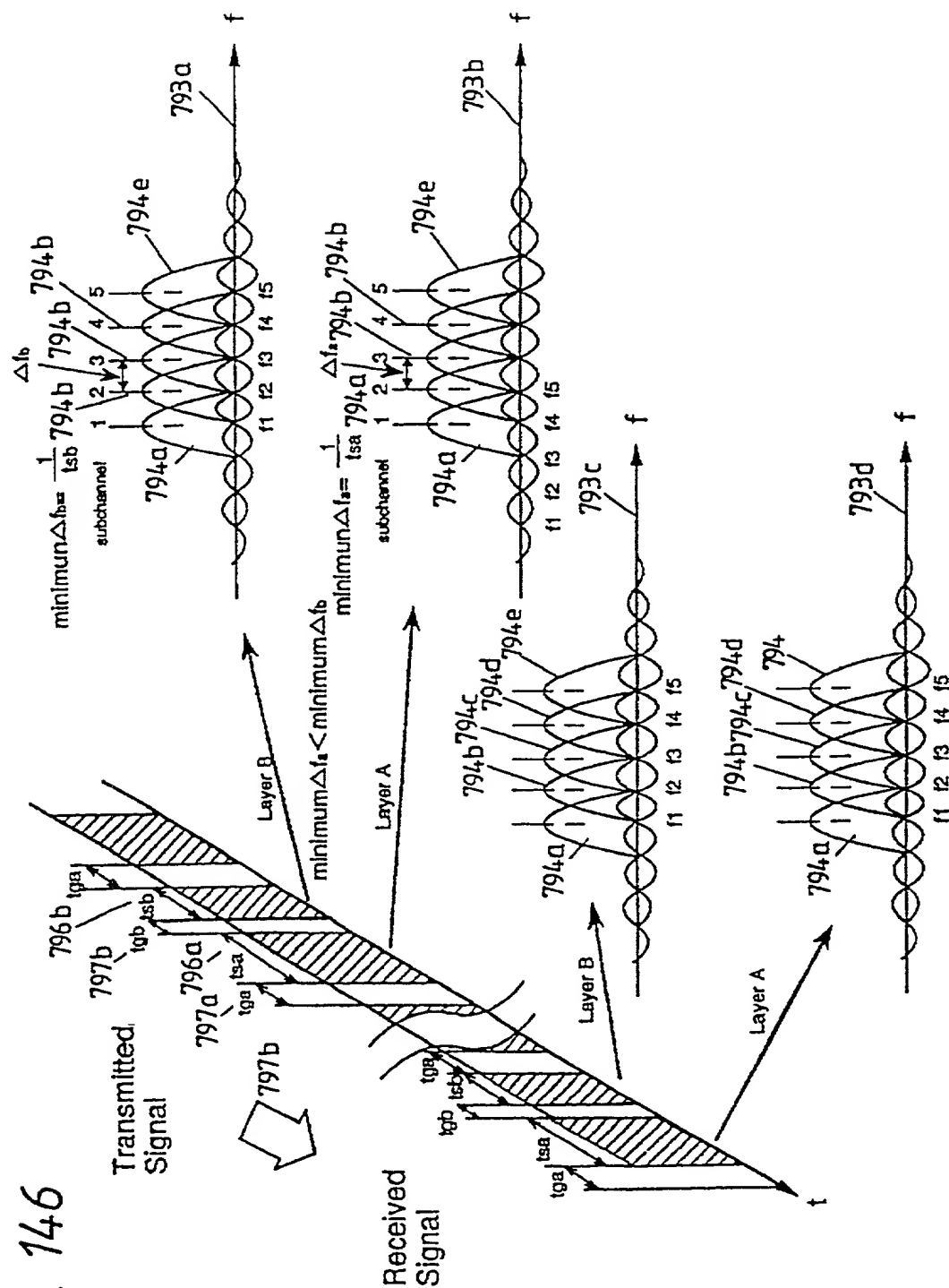


FIG. 147

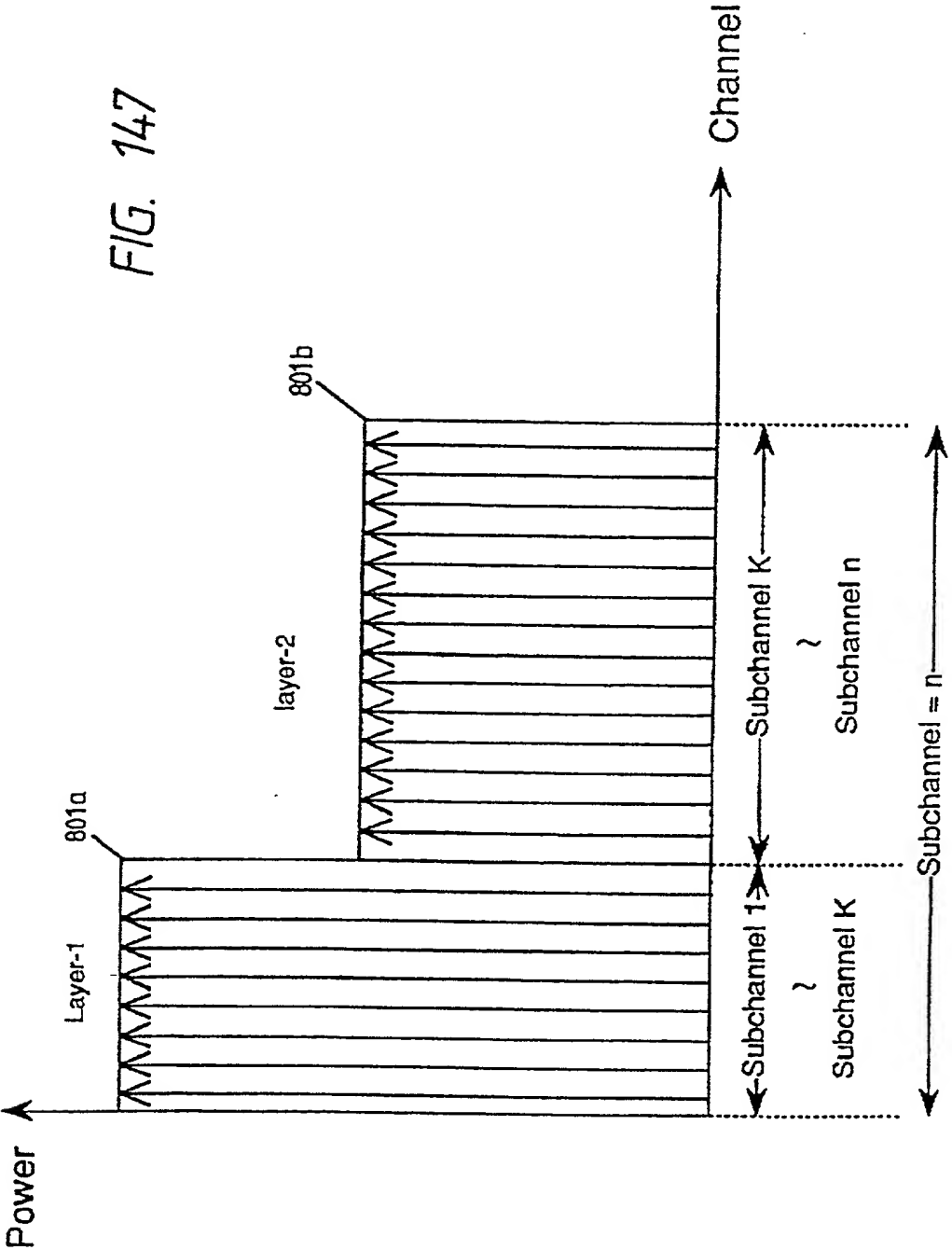




FIG. 148

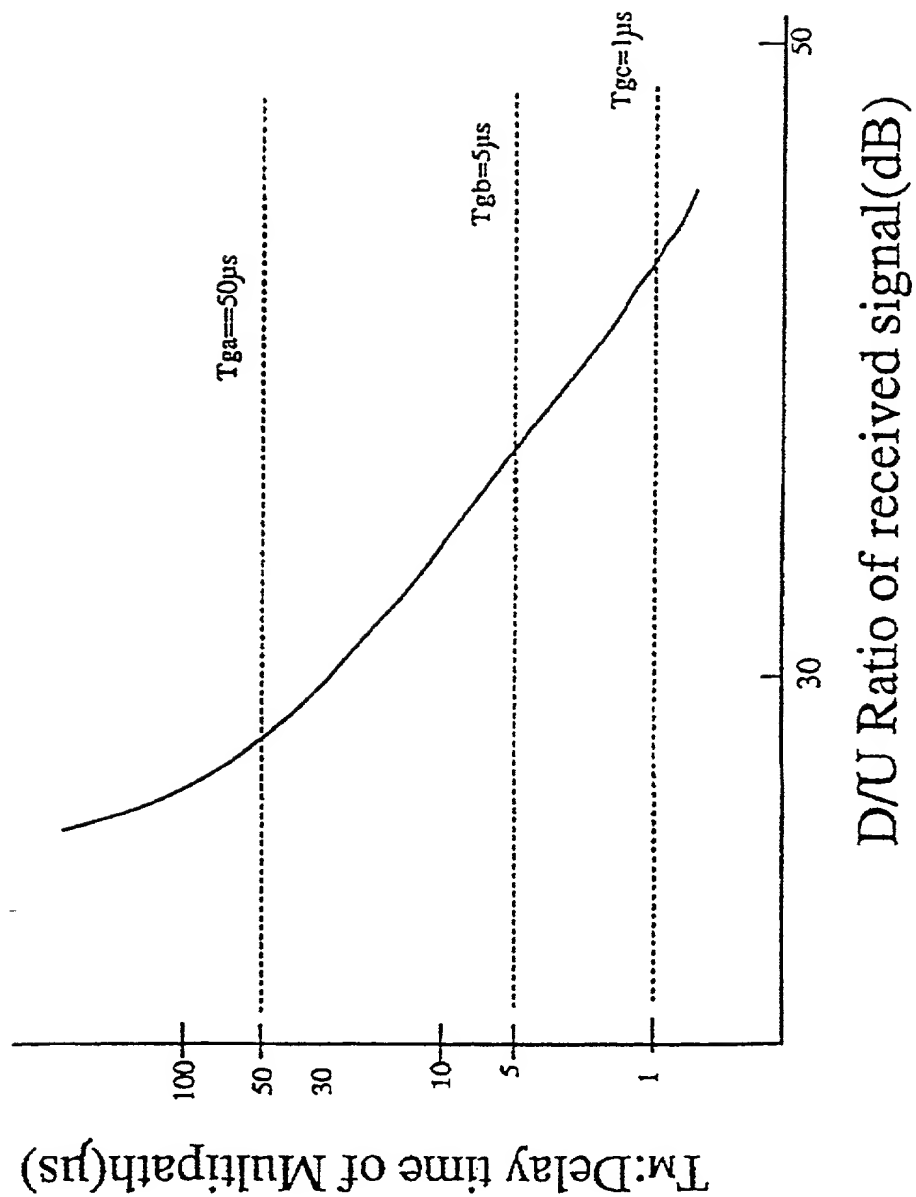
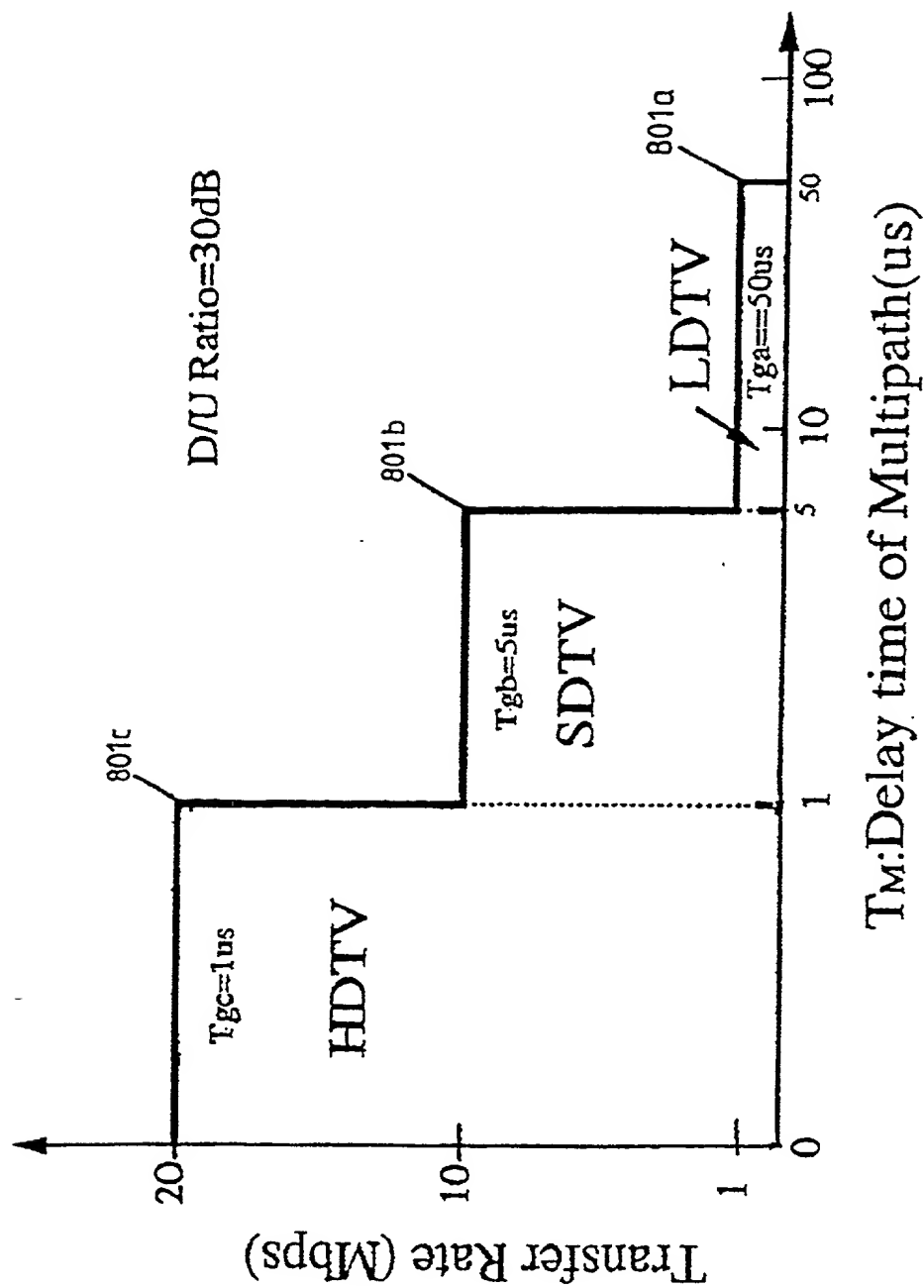




FIG. 150



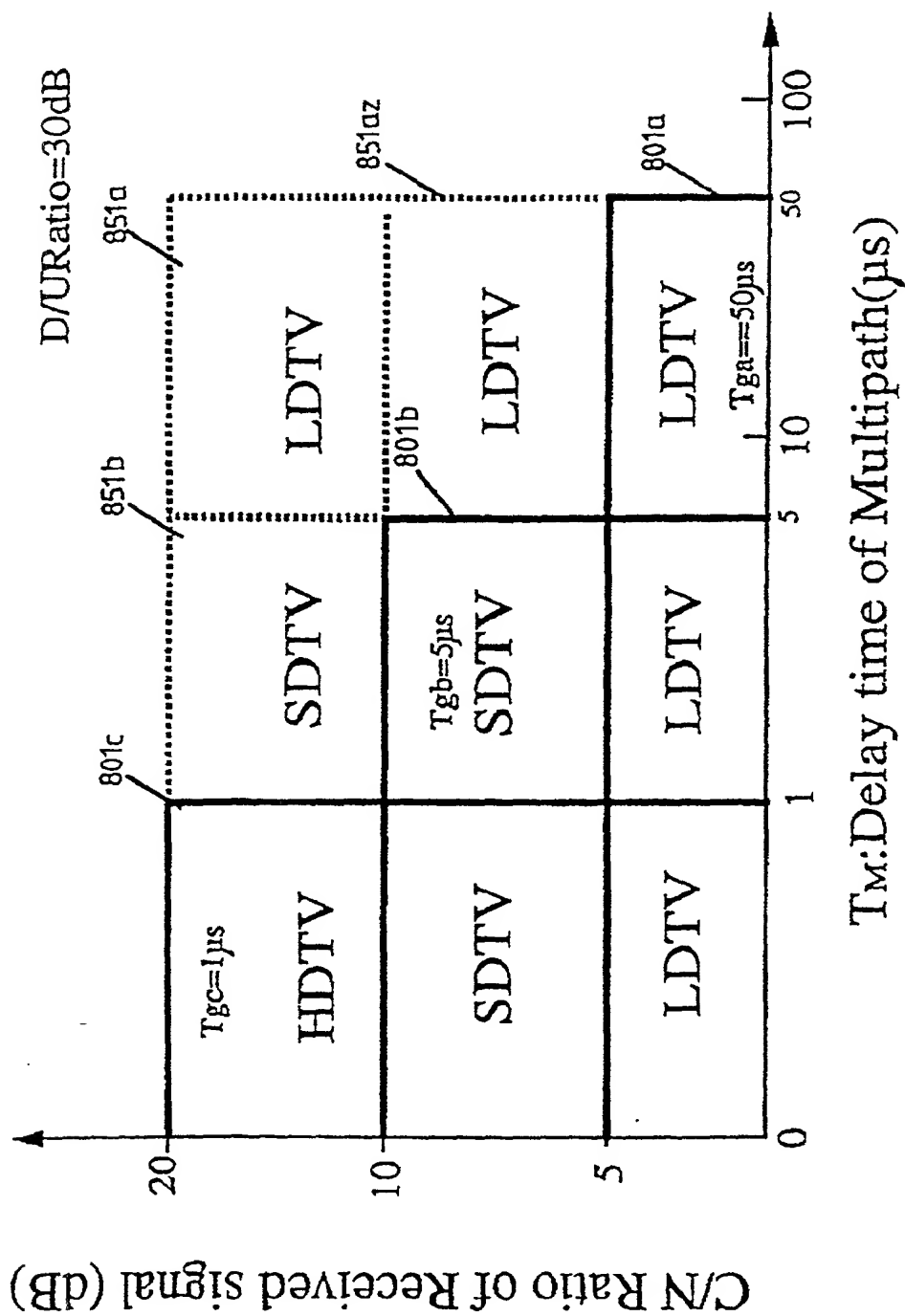
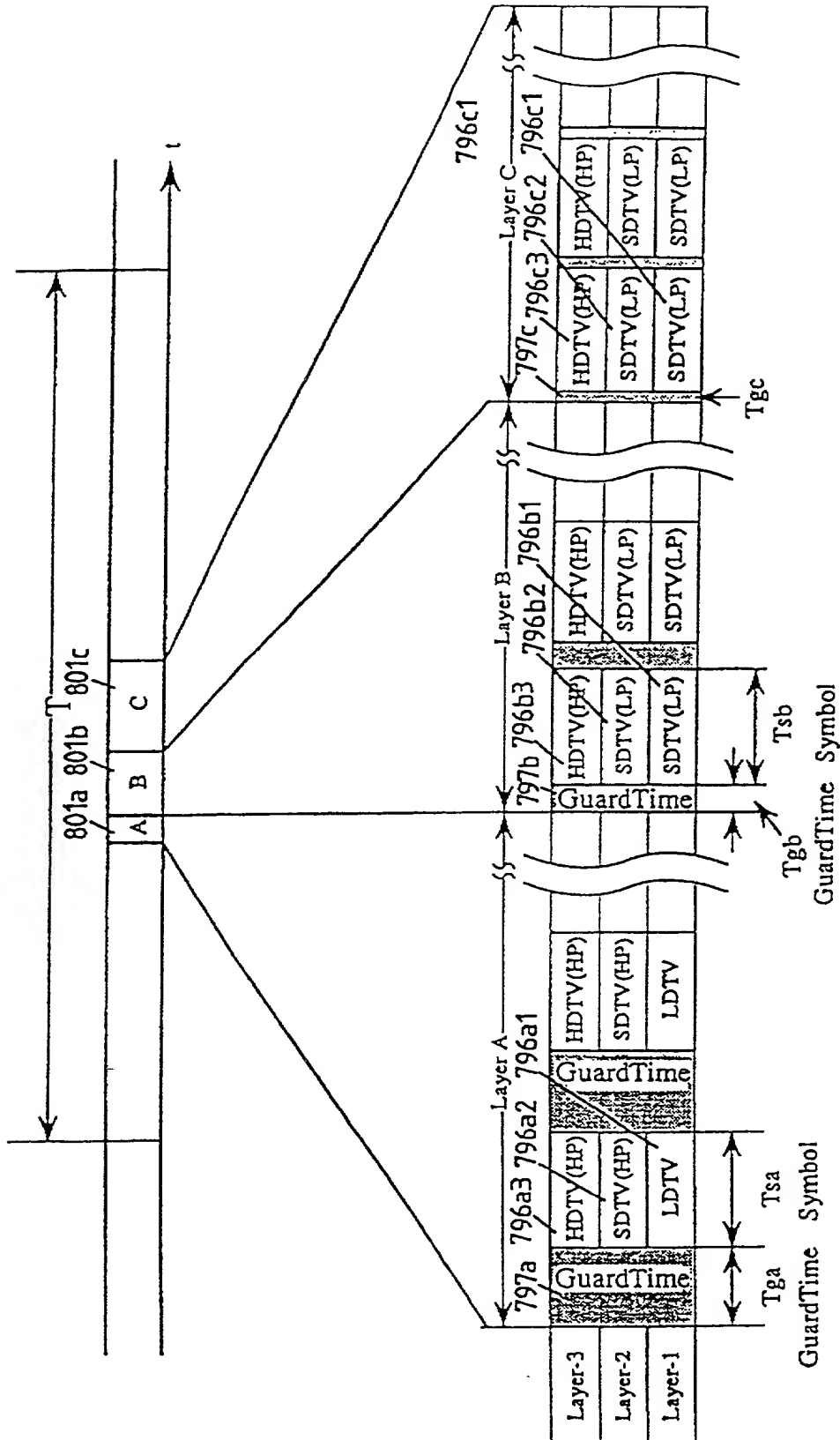
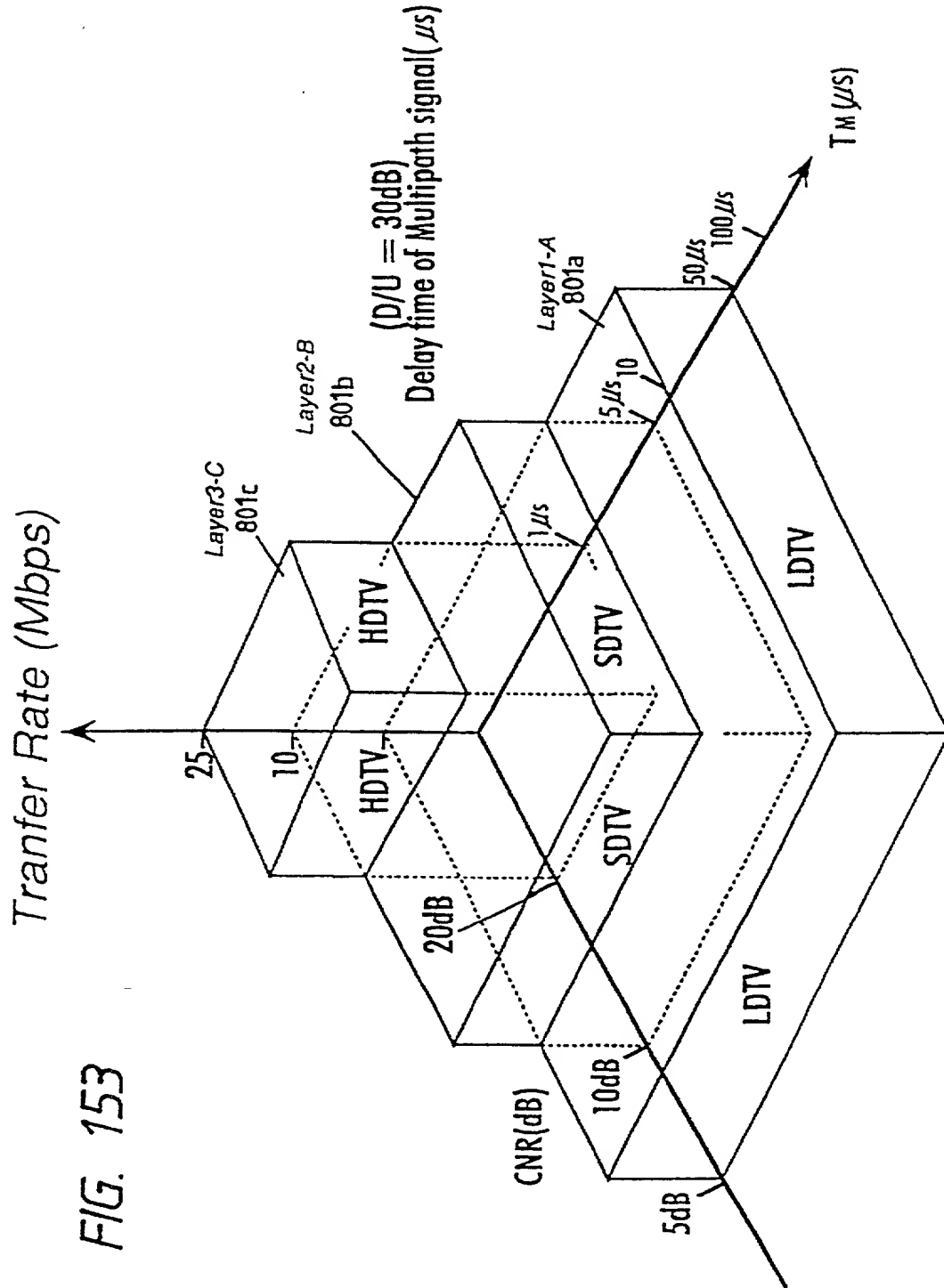


FIG. 152





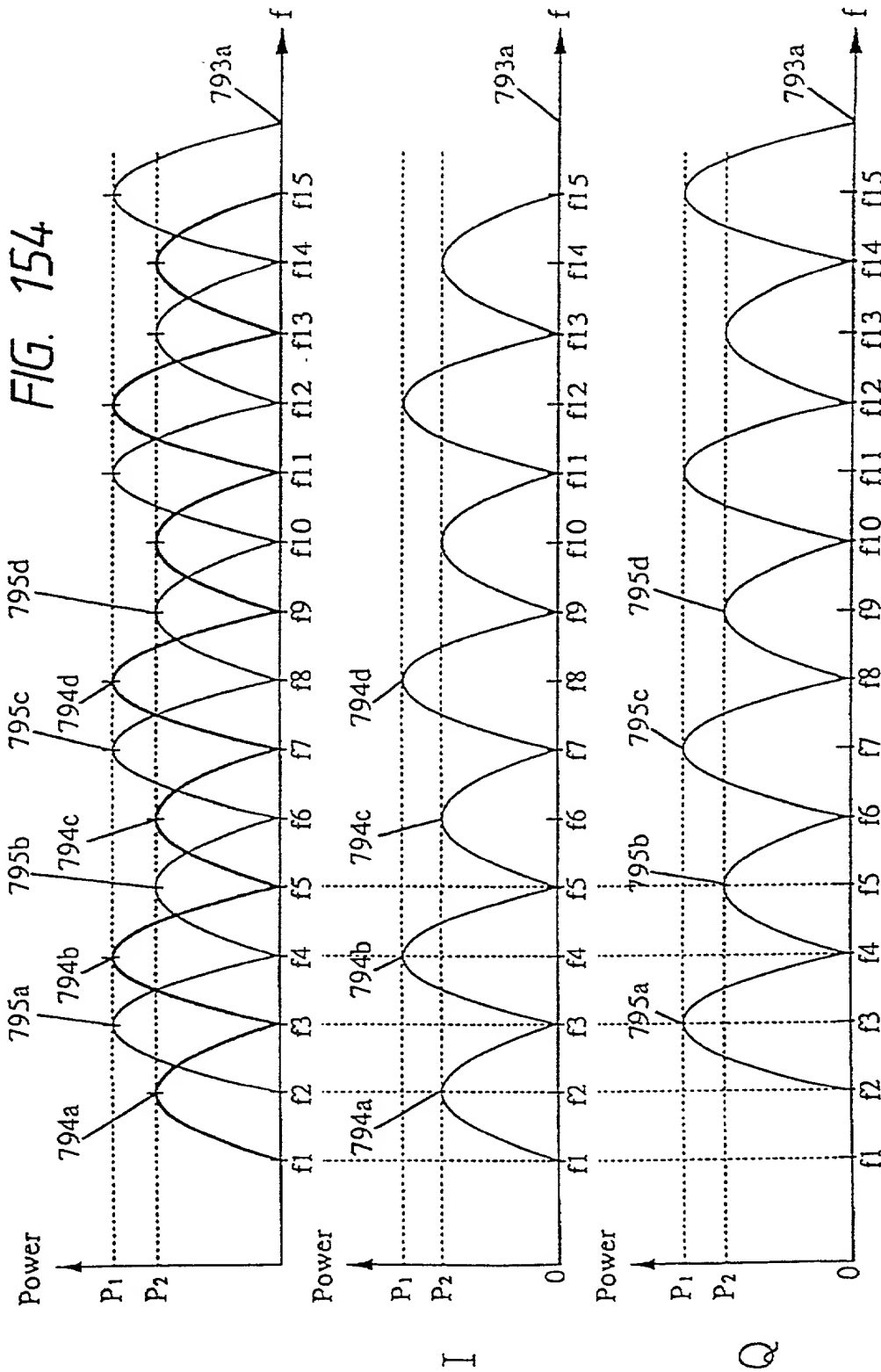


FIG. 155

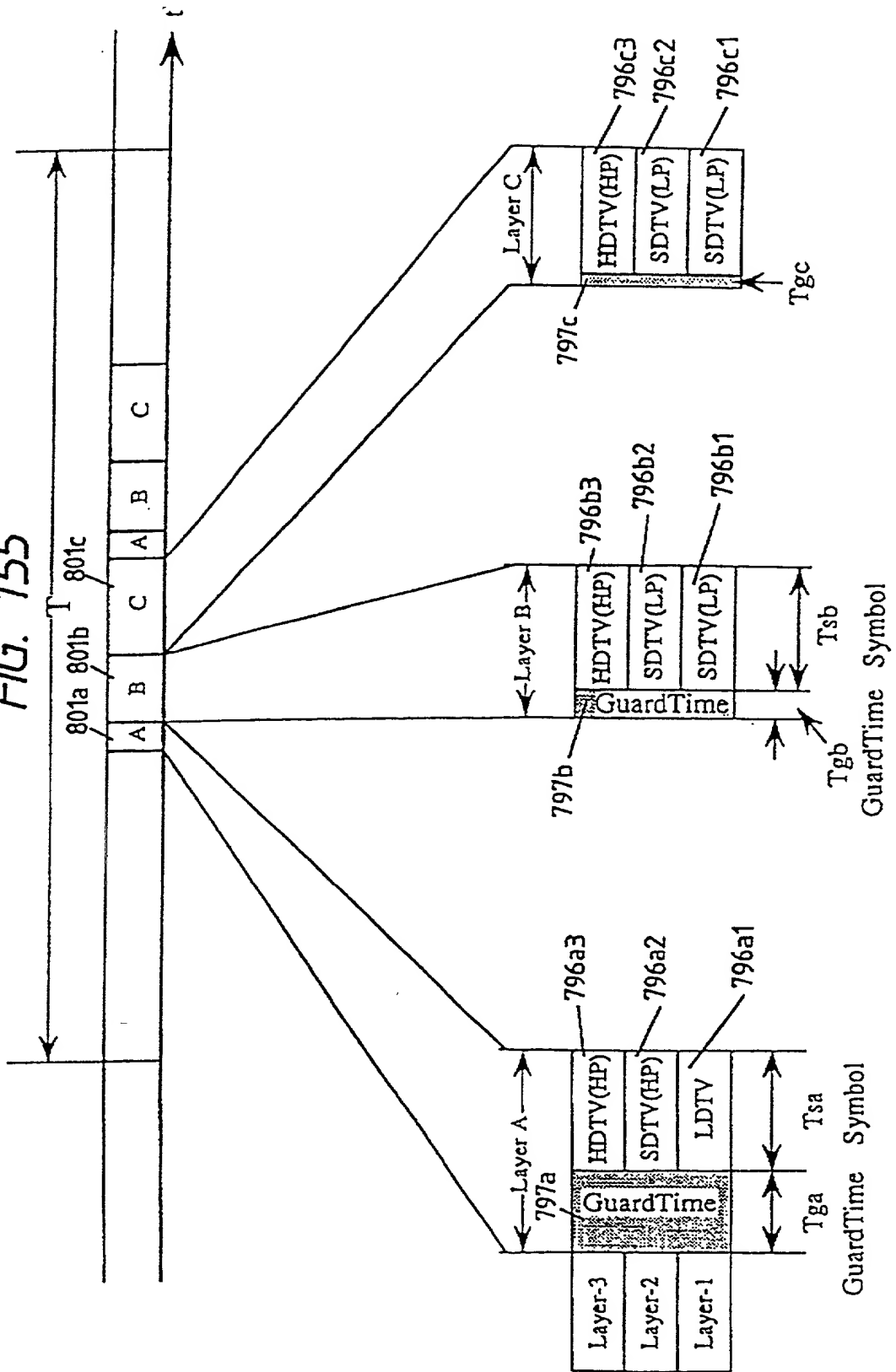




FIG. 156

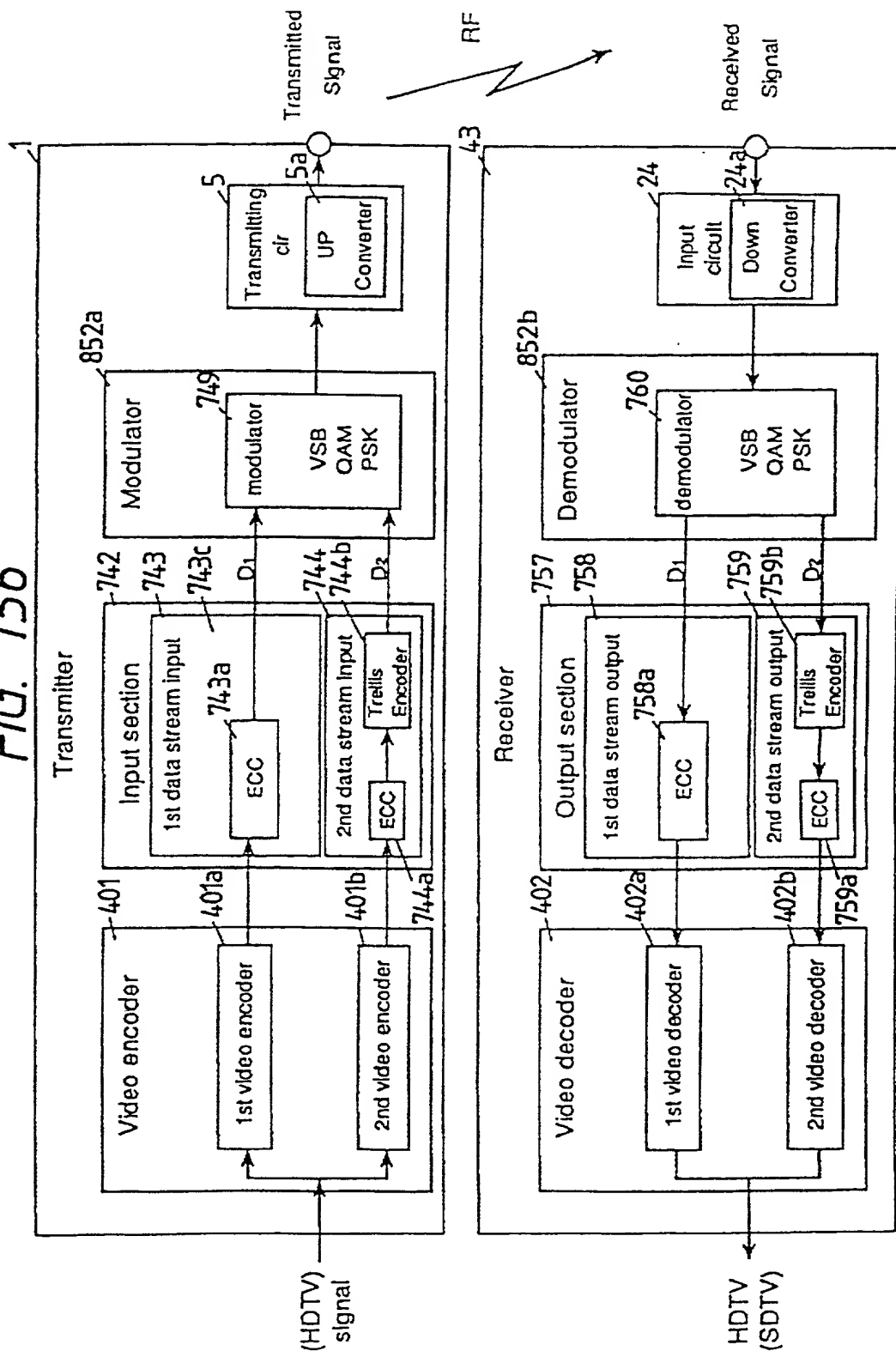


FIG. 157

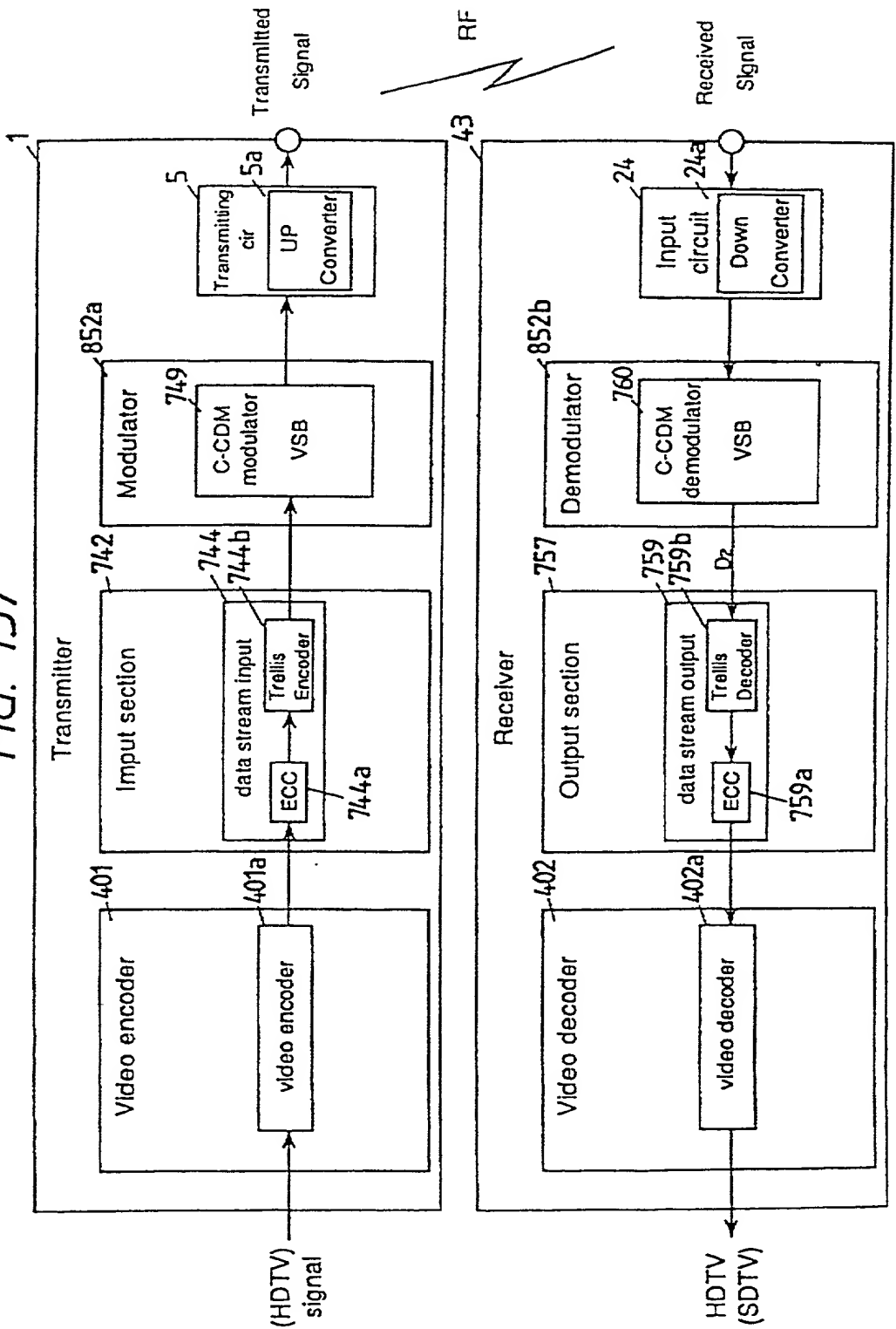
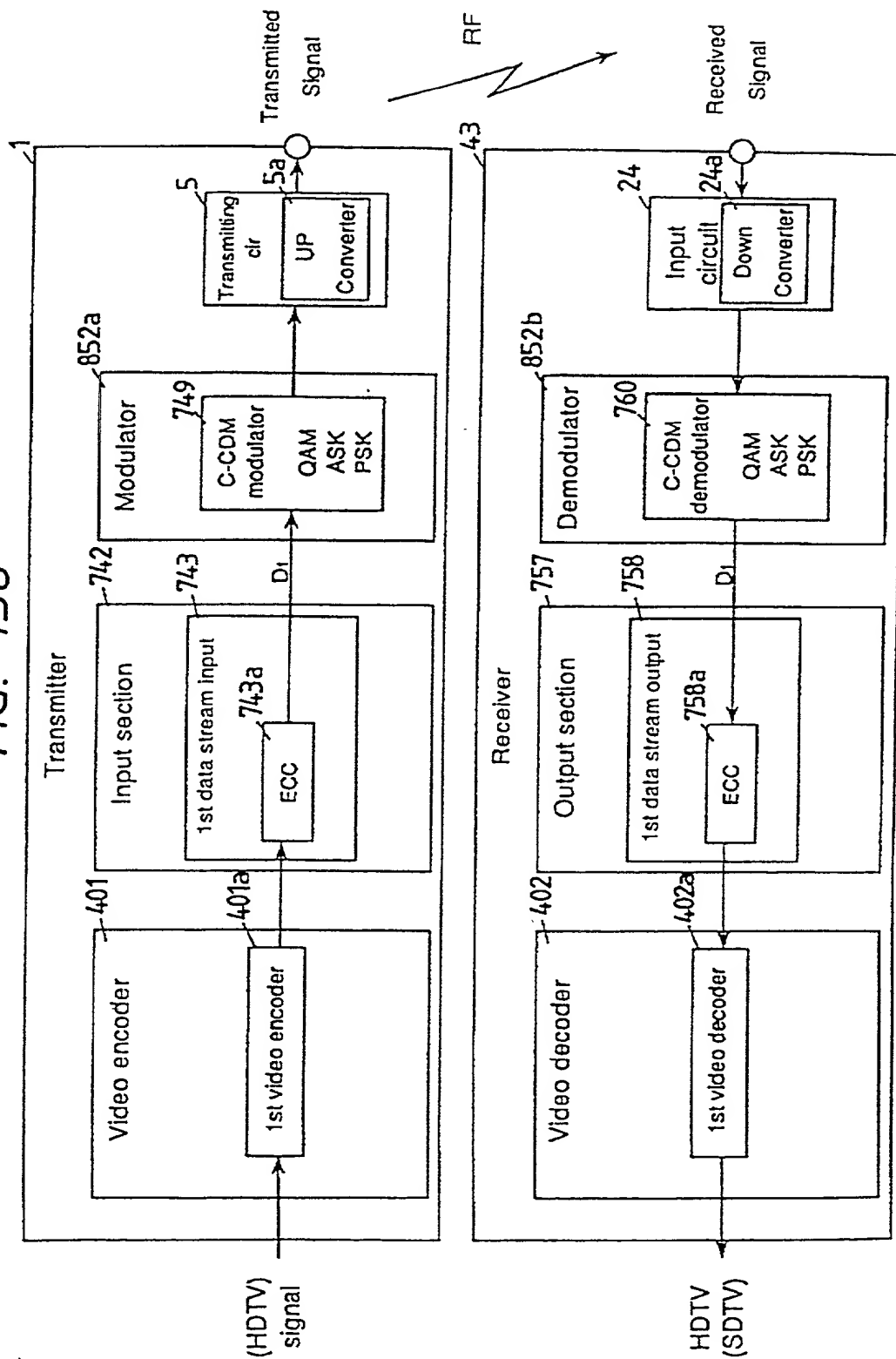


FIG. 158



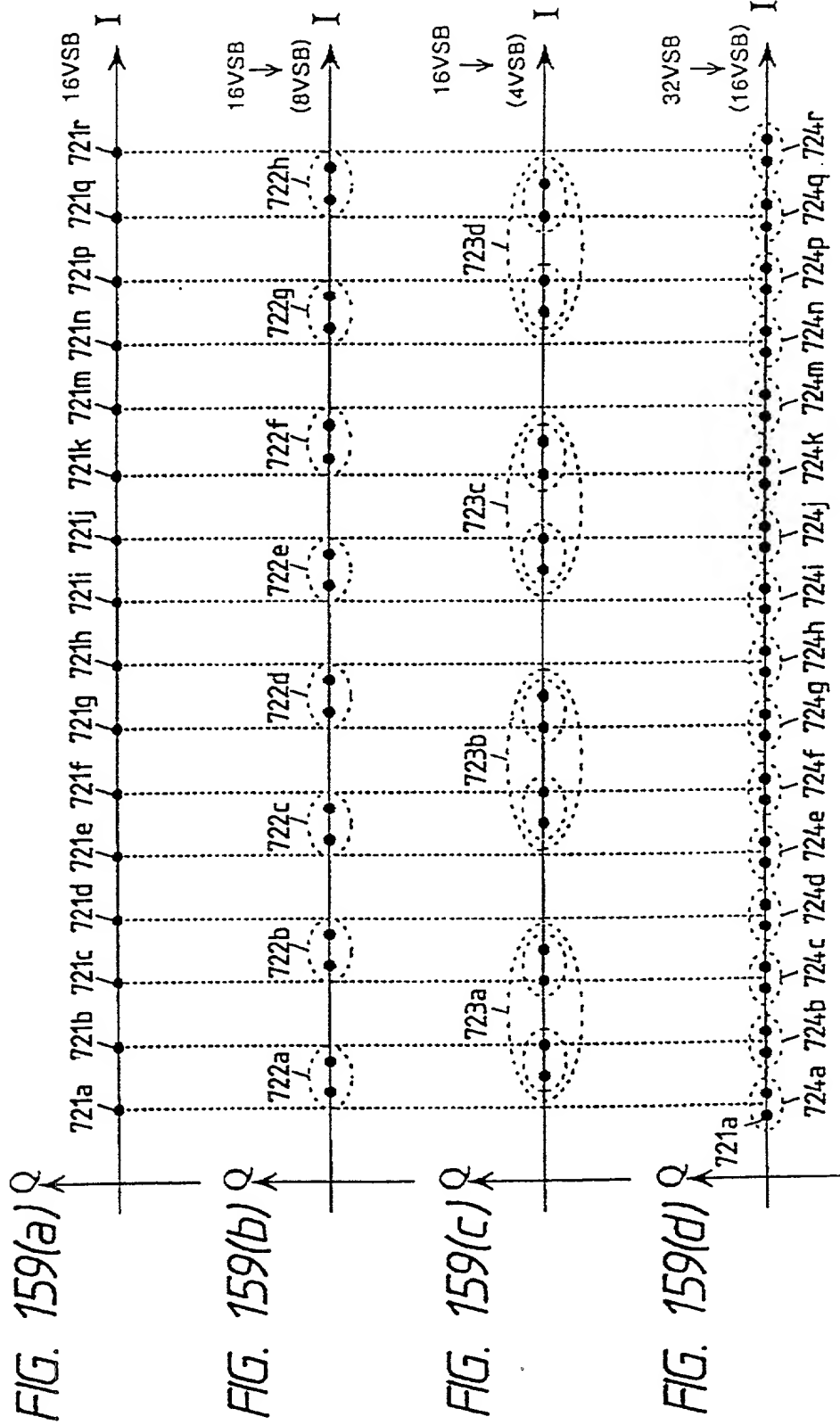


FIG. 160(a)

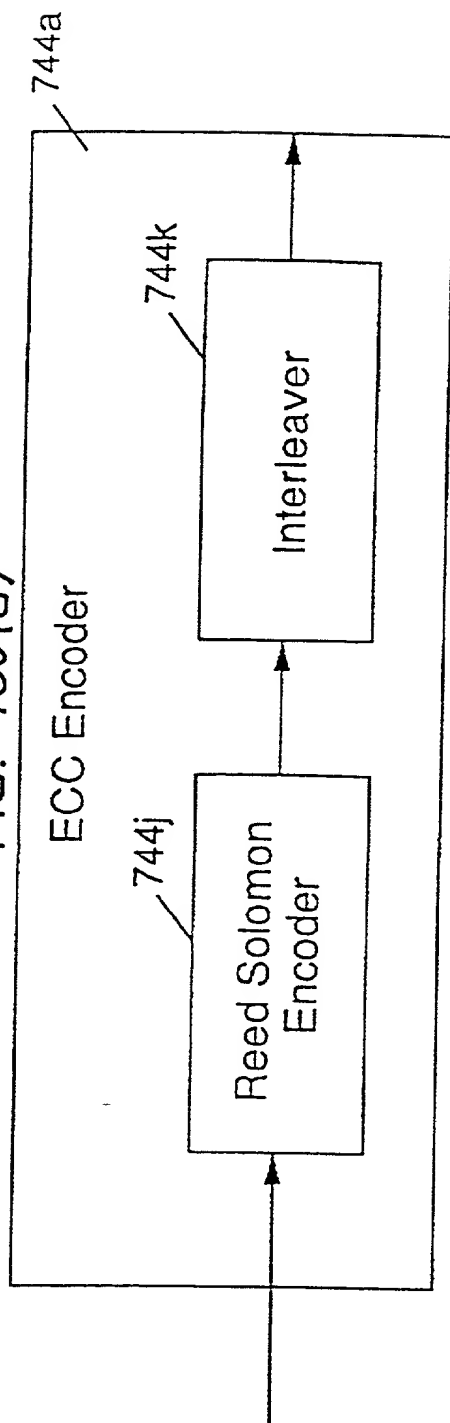


FIG. 160(b)

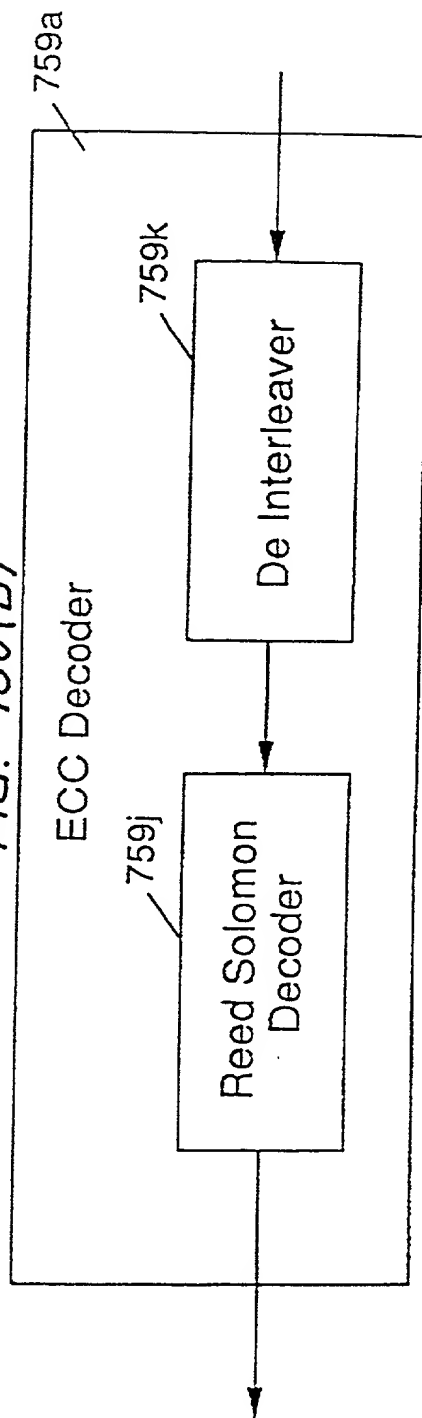


FIG. 161

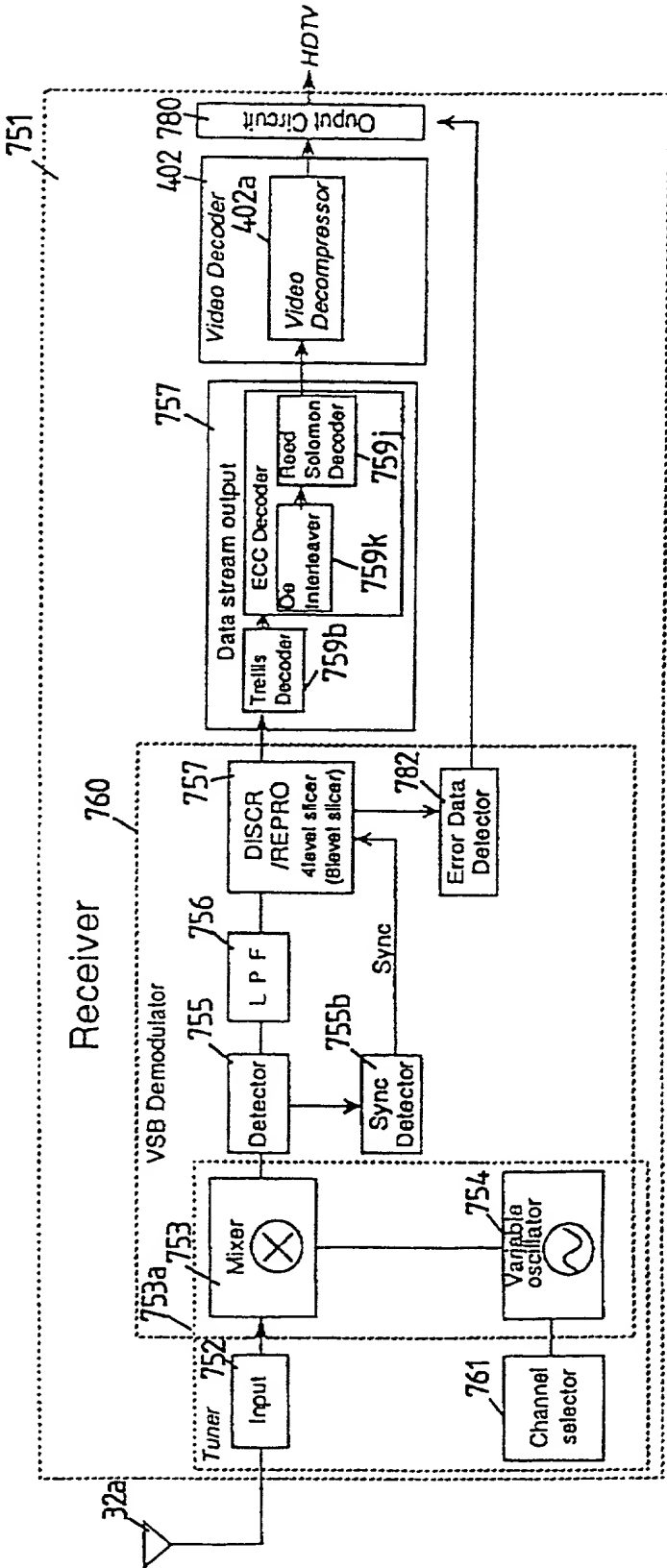


FIG. 162

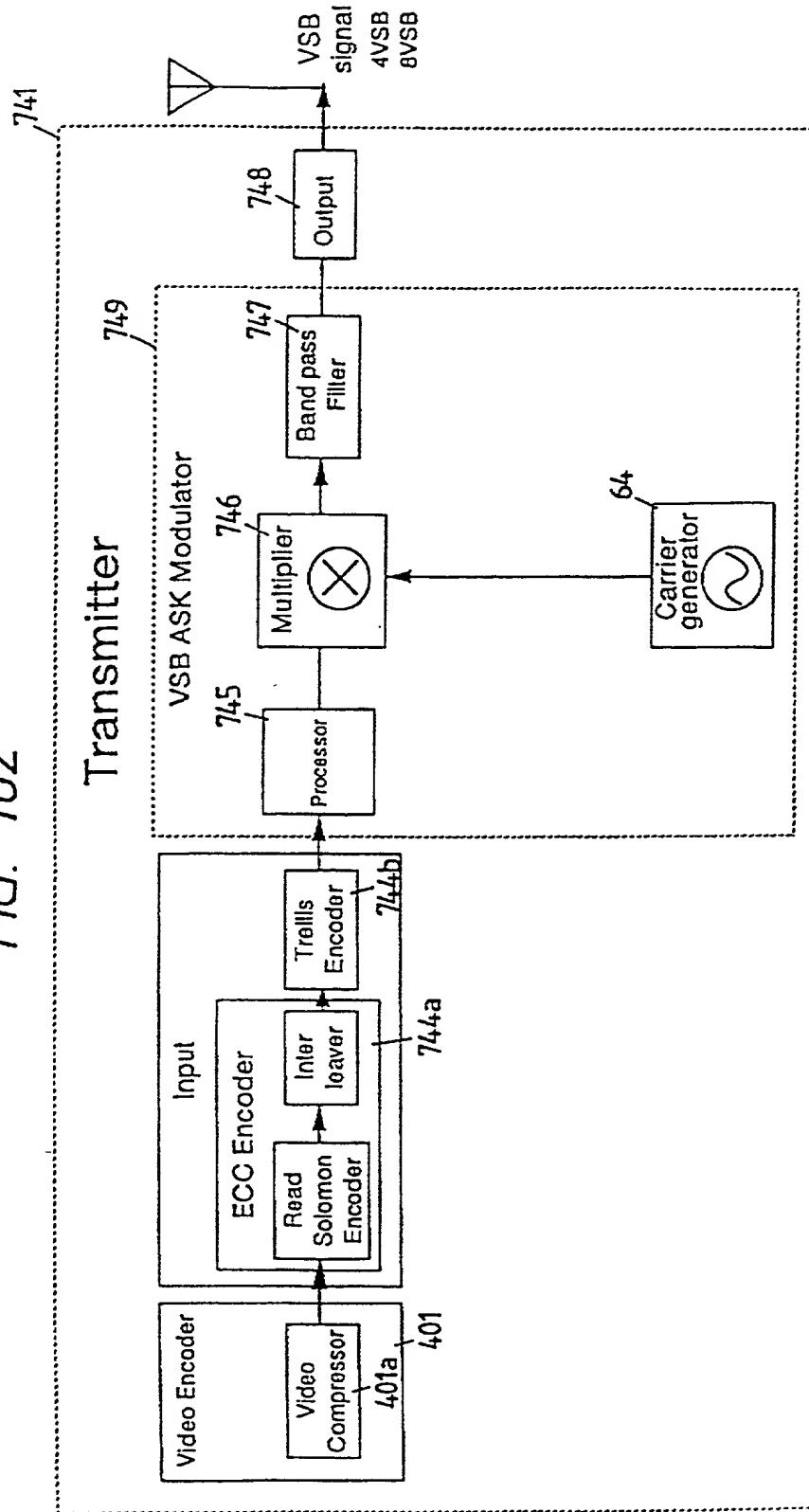


FIG. 163

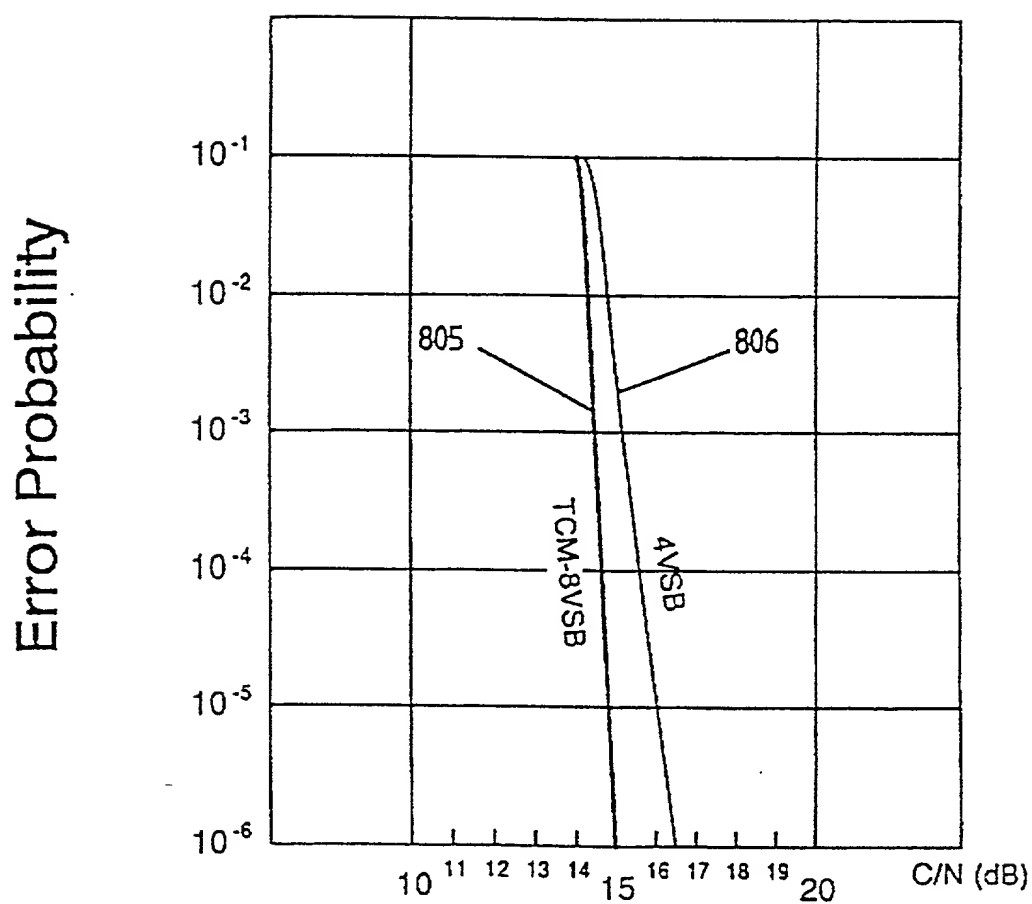




FIG. 164

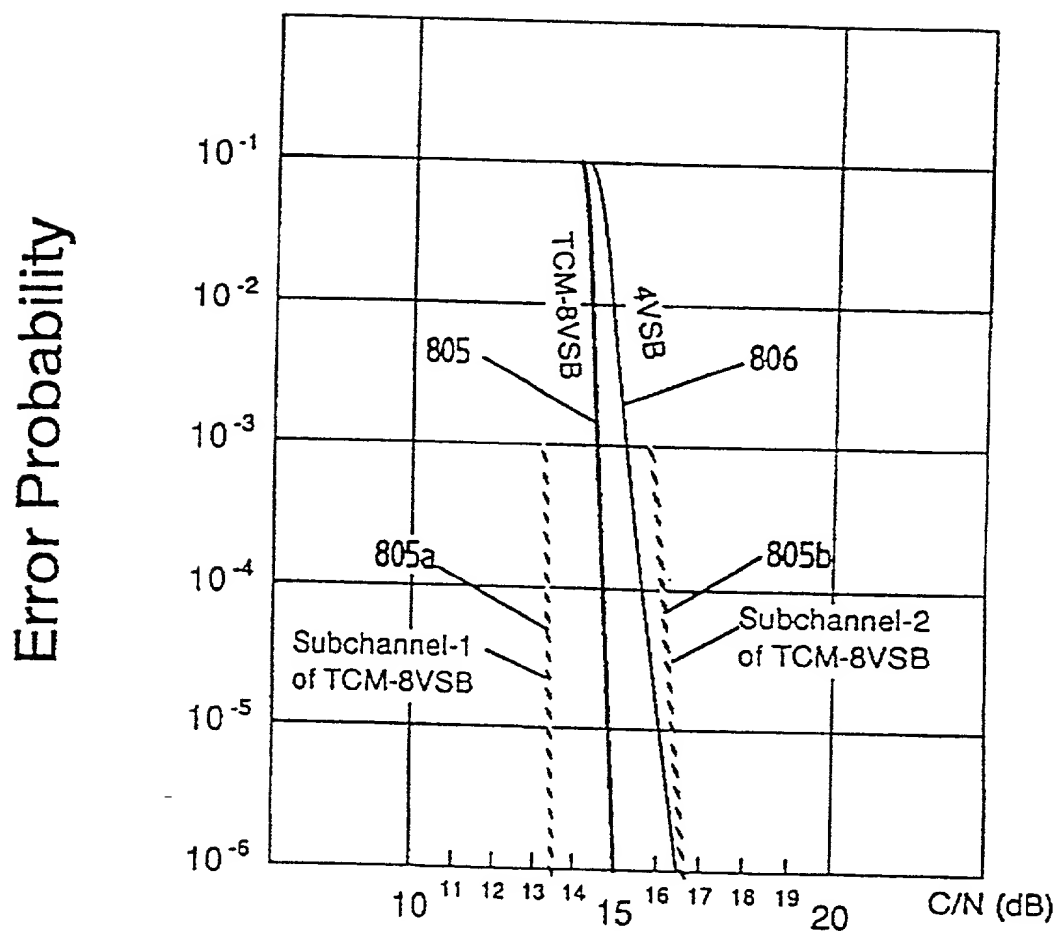


FIG. 165(a)

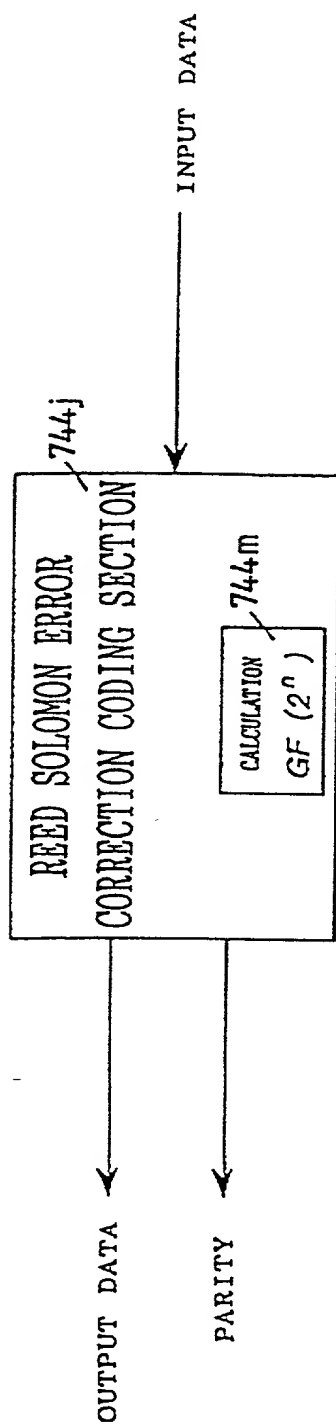


FIG. 165(b)

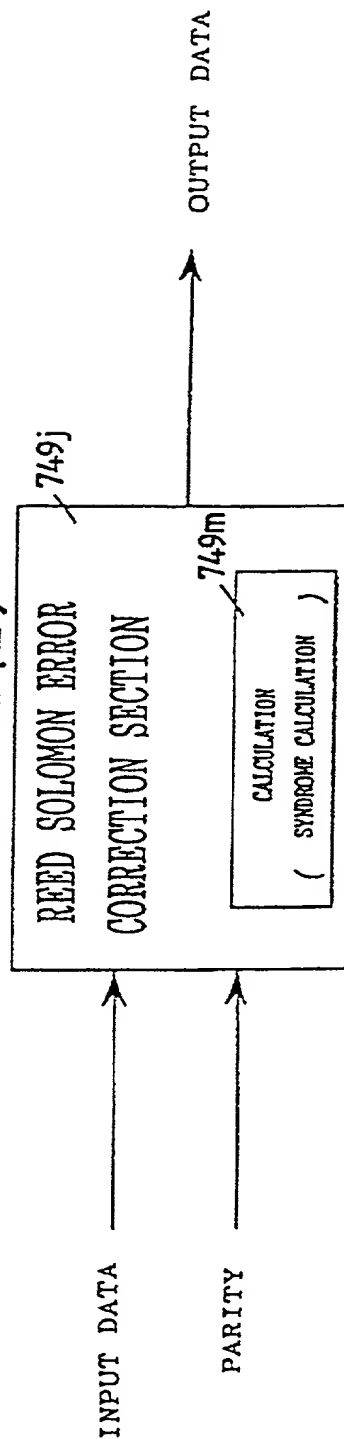


FIG. 166

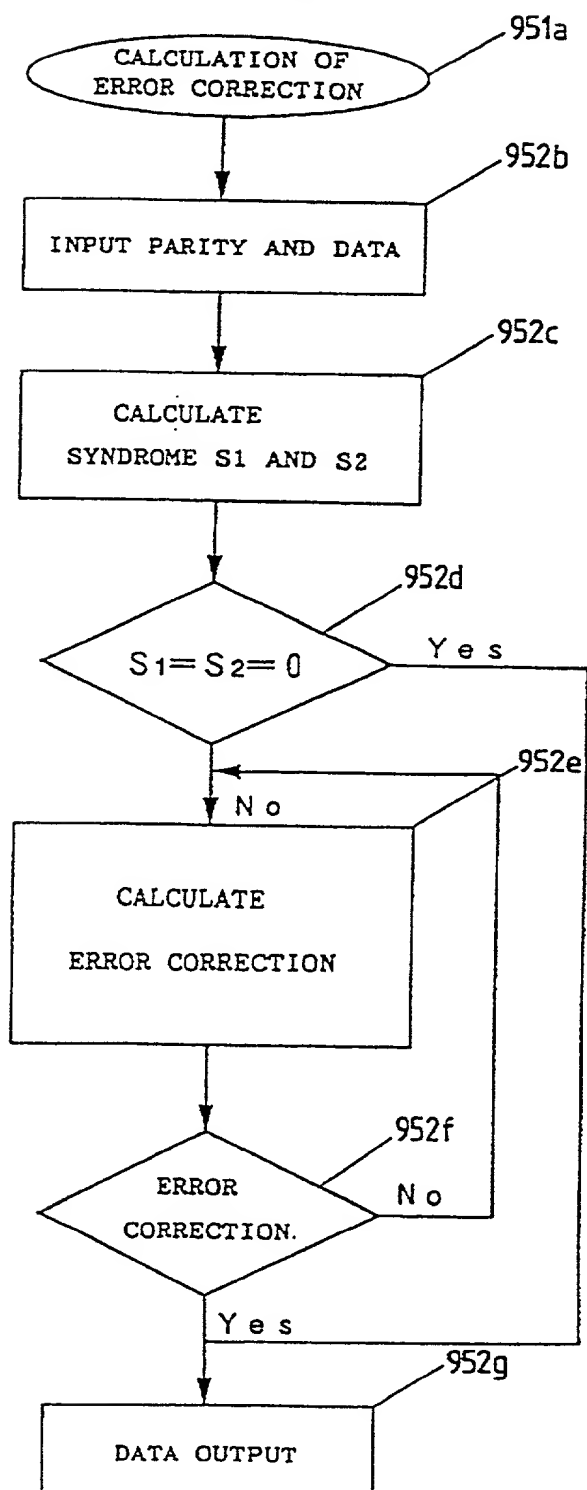


FIG. 167

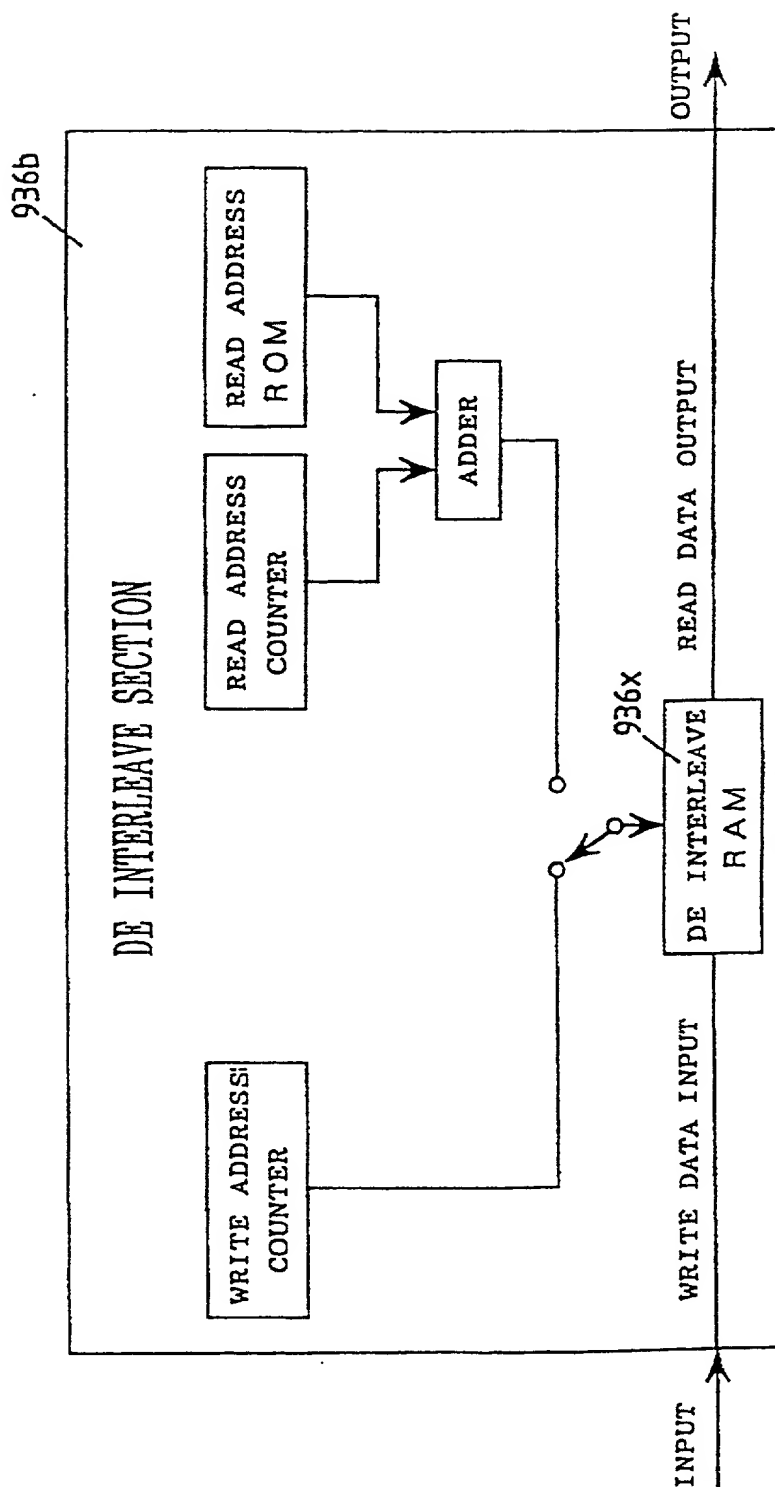


FIG. 168(a) Inter leave Table

Data						
1	2	3	4	5	6	7
1	A 1	A 2	A 3	A 4	A 5	A 6
2	B 1	B 2	B 3	B 4		
3	C 1					
4	D 1					
5	E 1					
6	F 1					
C 1 Parity	Parity	Parity	Parity	Parity	Parity	Parity

951b points to the first row of the Data section (row 1).

951a points to the last row of the Data section (row 6).

954 points to the last column of the Data section (column 6).

953 points to the last row of the table (C 1 Parity).

FIG. 168(b)

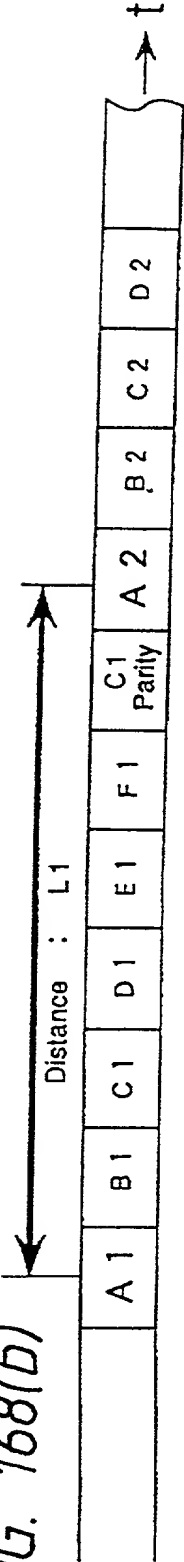


FIG. 169  
Comparison of Redundancy

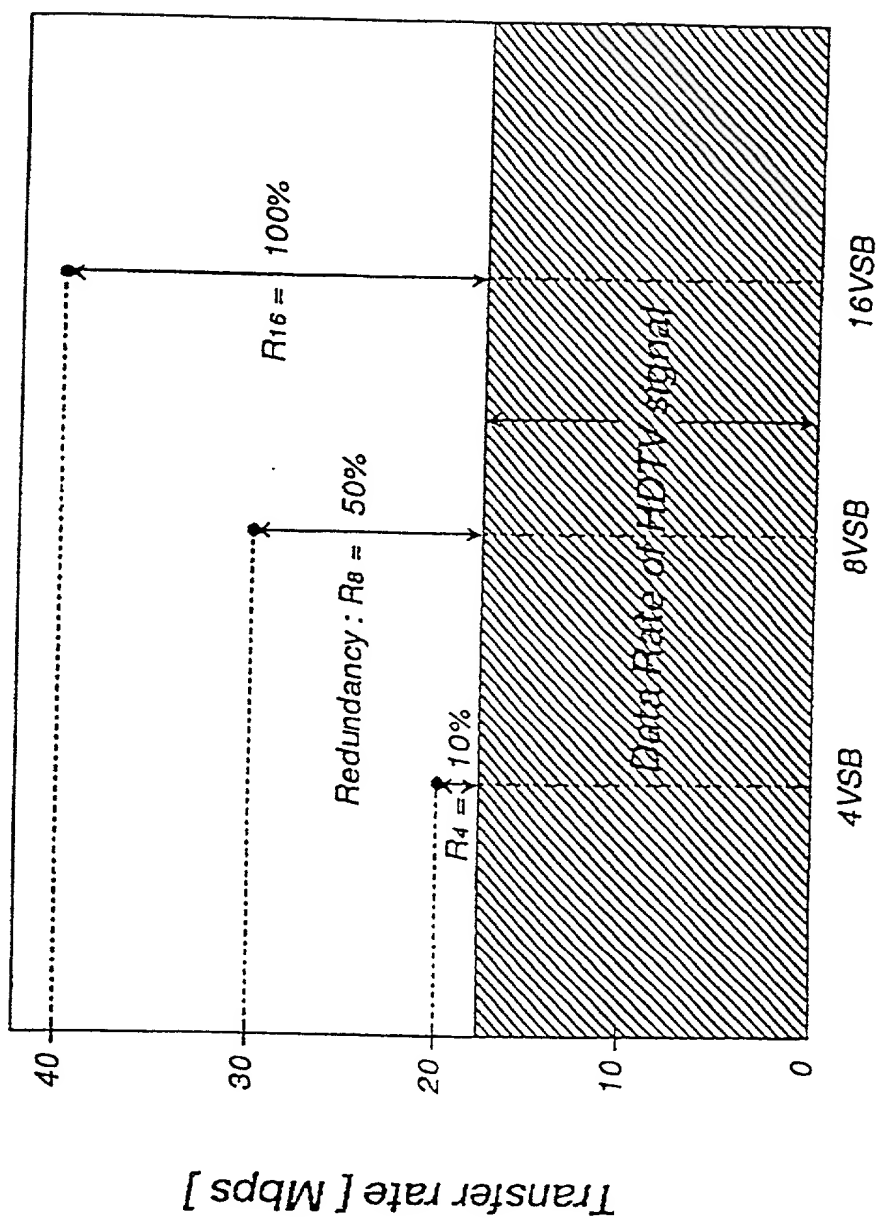


FIG. 170

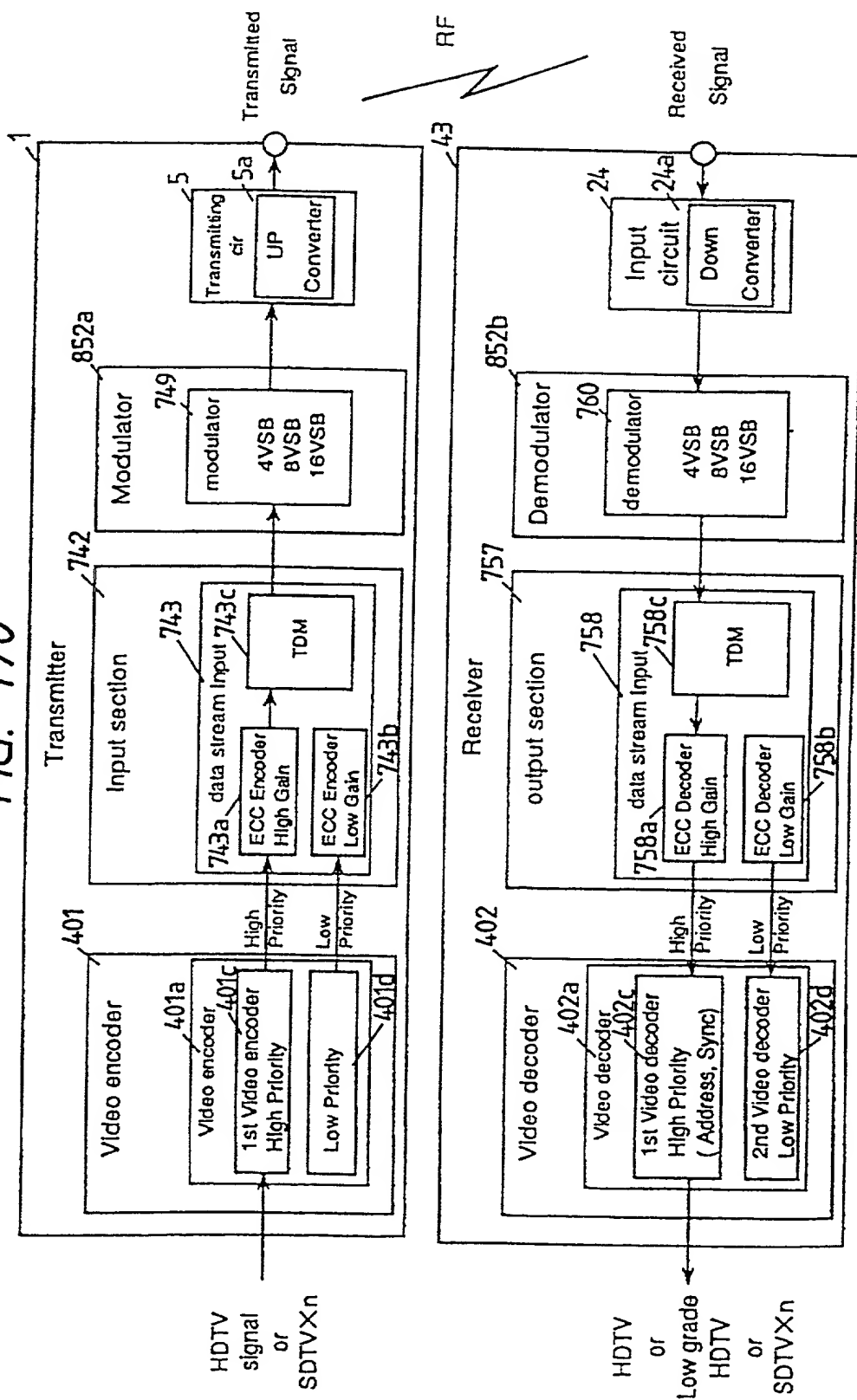


FIG. 171

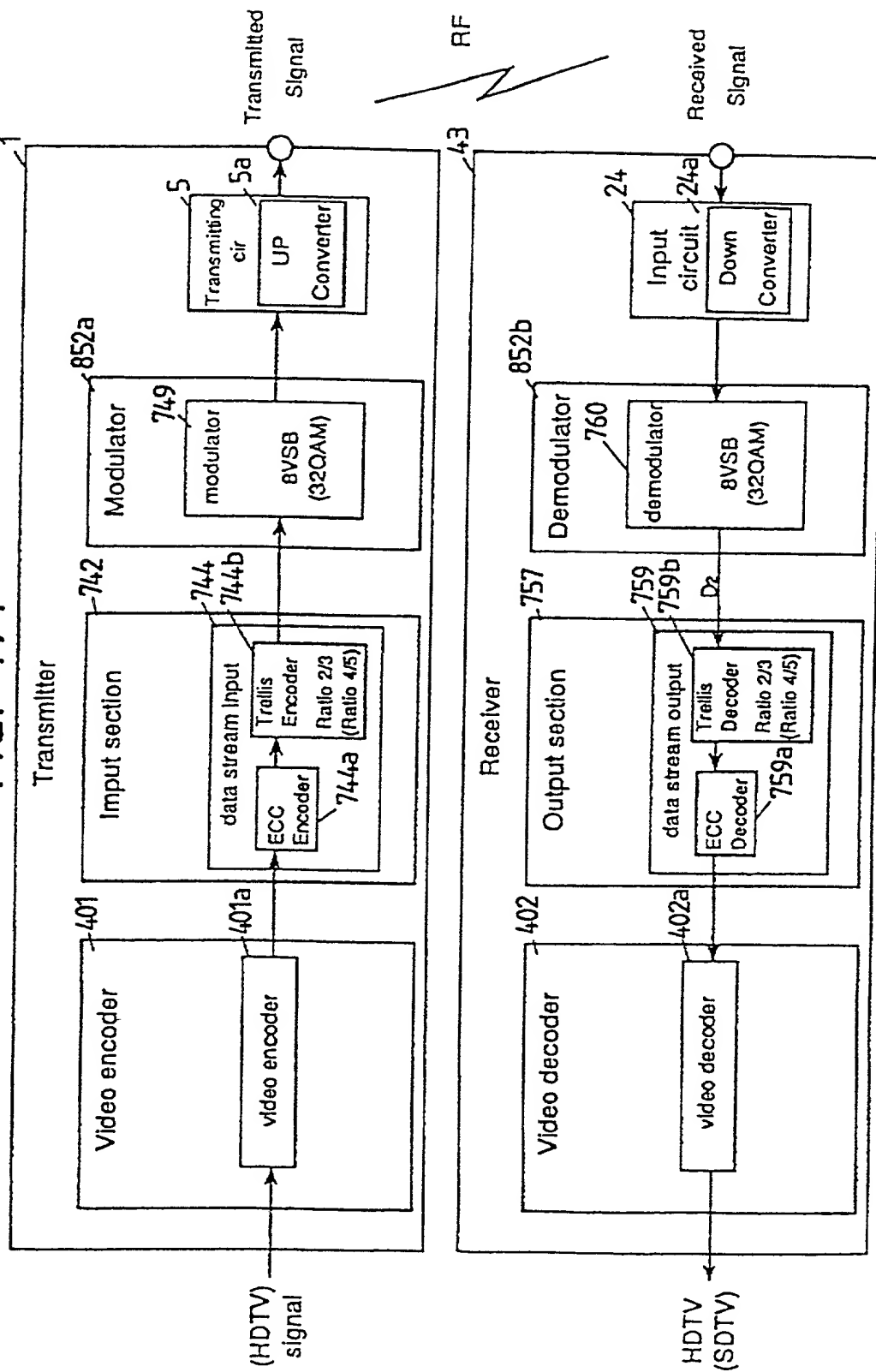




FIG. 172

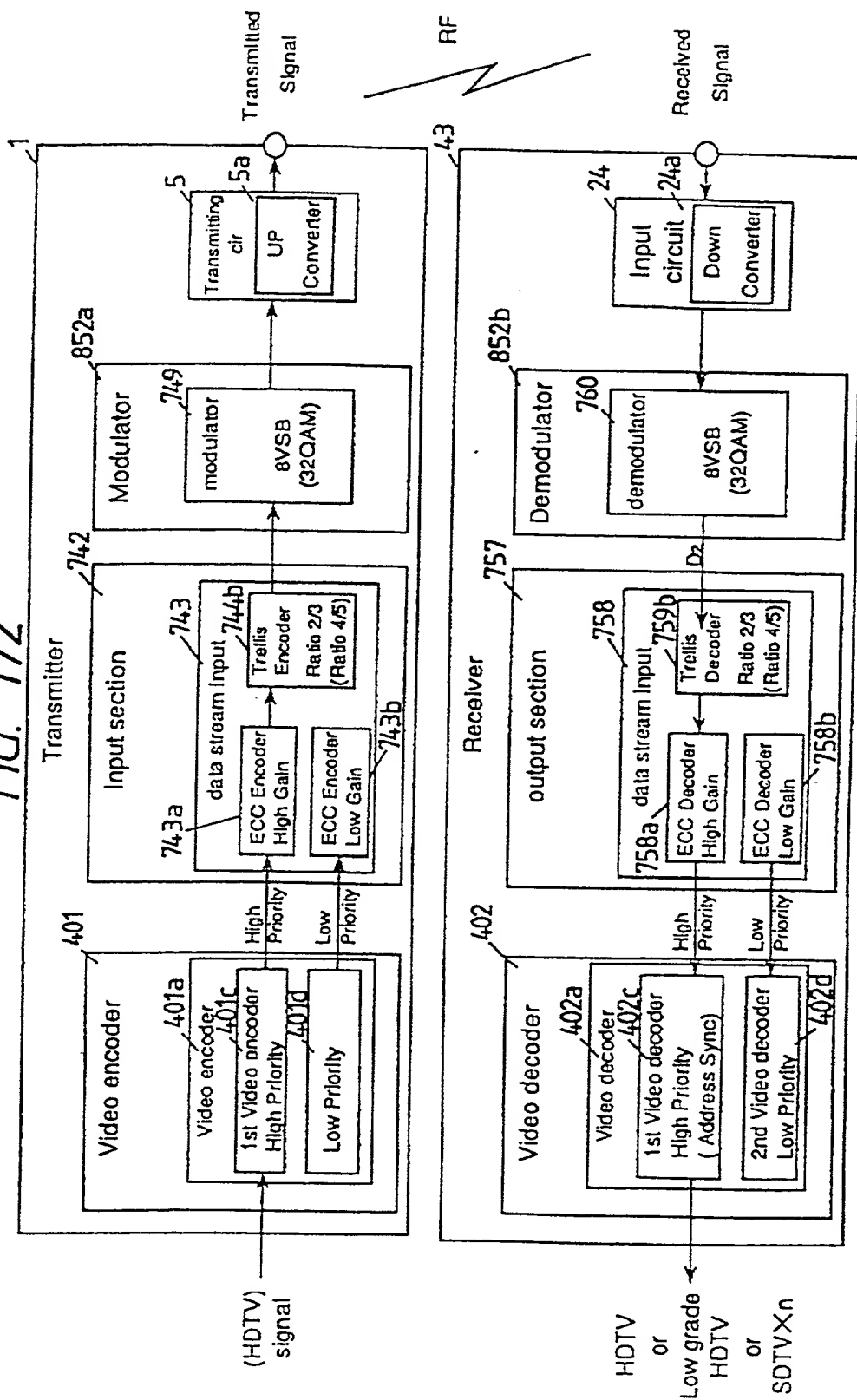


FIG. 173

